

TECHNICKÁ UNIVERZITA V LIBERCI



DIPLOMOVÁ PRÁCE

2010

Bc. Martin Divácký

TECHNICKÁ UNIVERZITA V LIBERCI
FAKULTA TEXTILNÍ

**Vybrané vlastnosti příze a související
nestejnoměrnost v ploše**

**Selected properties of yarn and relating
irregularity in surface**

Vedoucí práce: Prof. Ing. Petr Ursíny, DrSc.

Konzultanti: Ing. Eva Moučková, Ph.D., Ing. Petra Jirásková

Počet stran: 92

Počet tabulek: 11

Počet obrázků: 57

Počet příloh: 1

Počet příloh CD: 2

**Bc. Martin Divácký
7.1. 2010**

TECHNICKÁ UNIVERZITA V LIBERCI
Fakulta textilní
Katedra textilních technologií
Akademický rok: 2008/2009

ZADÁNÍ DIPLOMOVÉ PRÁCE
(PROJEKTU, UMĚLECKÉHO DÍLA, UMĚLECKÉHO VÝKONU)

Jméno a příjmení: **Bc. Martin DIVÁCKÝ**

Studijní program: **N3106 Textilní inženýrství**

Studijní obor: **Textilní a oděvní technologie**

Název tématu: **Vybrané vlastnosti příze a související nestejnoměrnost v ploše**

Zásady pro vypracování:

- 1) Prostudujte teoretické poznatky o vztahu hmotové nestejnoměrnosti příze a nestejnoměrnosti vzhledu u plošných textilií. Experimentální část realizujte v podmírkách bavlnářské prádelny KTC Plavy a provedte rozbor stávajících technologií.
- 2) Navrhnete experiment u vybraných aktuálních přízí, provedte měření a podrobný rozbor parametrů a charakteristických funkcí hmotové nestejnoměrnosti a chlupatosti.
- 3) Provedte vyhodnocení vlivu uvedených vlastností příze na nestejnoměrnost vzhledu u související tkaniny a shrňte nové poznatky k uvedenému vztahu příze a tkaniny.
- 4) Navrhnete technologická opatření v prádelně s cílem omezit případné negativní vlivy struktury hmotové nestejnoměrnosti a chlupatosti příze na nestejnoměrnost v ploše.

Rozsah grafických prací:

Rozsah pracovní zprávy: cca 50 stran

Forma zpracování diplomové práce: tištěná

Seznam odborné literatury:

[1] Ursíny, P.: **Předení I.**, skriptum TU Liberec, 2006

[2] Cihlářová, E.: **Hmotná nestejnoměrnost délkových a plošných a textilií,**
skriptum, TU Liberec, 2002

Vedoucí diplomové práce:

prof. Ing. Petr Ursíny, DrSc.
Katedra textilních technologií

Konzultant diplomové práce:

Ing. Eva Moučková, Ph.D.
Katedra textilních technologií

Ing. Petra Jirásková
Katedra textilních technologií

Datum zadání diplomové práce:

30. října 2008

Termín odevzdání diplomové práce:

5. ledna 2010

V Liberci dne 30. října 2008

Prohlášení

Prohlašuji, že předložená *diplomová* práce je původní a zpracoval jsem ji samostatně. Prohlašuji, že citace použitých pramenů je úplná, že jsem v práci neporušil autorská práva (ve smyslu zákona č. 121/2000 Sb. o právu autorském a o právech souvisejících s právem autorským).

Souhlasím s umístěním *diplomové* práce v Univerzitní knihovně TUL.

Byl jsem seznámen s tím, že na mou diplomovou práci se plně vztahuje zákon č.121/2000 Sb. o právu autorském, zejména § 60 (školní dílo).

Beru na vědomí, že TUL má právo na uzavření licenční smlouvy o užití mé diplomové práce a prohlašuji, že **s o u h l a s í m** s případným užitím mé diplomové práce (prodej, zapůjčení apod.).

Jsem si vědom toho, že užít své diplomové práce či poskytnout licenci k jejímu využití mohu jen se souhlasem TUL, která má právo ode mne požadovat přiměřený příspěvek na úhradu nákladů, vynaložených univerzitou na vytvoření díla (až do jejich skutečné výše).

V Liberci dne 7. ledna 2010

.....

Podpis

Poděkování

Na tomto místě bych rád poděkoval vedoucímu své diplomové práce panu **Prof. Ing. Petru Ursínymu, DrSc.** za odbornou pomoc a vedení, za cenné rady a připomínky.

Zároveň bych chtěl poděkovat konzultantce **Ing. Evě Moučkové, Ph.D.** a **Ing. Petře Jiráskové** za technickou pomoc a v neposlední řadě **Ing. Zuzaně Stehnové** z firmy KTC Plavy za její ochotu a poskytnutí vzorků potřebných k této práci.

Anotace

Tato práce se zabývá zjišťováním nestejnoměrnosti tkanin pomocí analýzy reálného obrazu plošné textilie. Obraz tkaniny je získán naskenováním vzorku tkaniny. Získané obrazy jsou převedeny do šedé škály, je hodnoceno kolísání stupňů šedi v obrazu. Jsou konstruovány plošné variační křivky stupňů šedi. K experimentu jsou použity tkaniny s různou jemností nití, dostavami a vazbami tkanin. Je sledováno, jak průběh křivky ovlivňuje jemnost nití, dostava a vazba tkanin.

Tato práce se také zaměřuje na některé vybrané vlastnosti příze. Je zjišťována hmotová nestejnoměrnost a chlupatost příze sledovaná aparaturou Uster Tester – 4SX. Analyzované jsou polyesterové rotorové příze pod obchodním názvem Syncrofil vyráběné v provoze KTC Plavy.

Annotation

This thesis deals with the evaluation of surface unevenness of fabrics by means of analysis of real image. Image of fabric is obtained by scanning sample fabric. The obtained images are transferred to the grayscale, the grayscale image variations are evaluated. The area variation curves of grayscale image are constructed. The experiment used fabric of different fineness of yarns, setts of fabrics and fabrics weaves. It is monitored, how effect fineness of yarns, sett of fabric and fabric weave have on the course of curve.

This work is also concentrated on some chosen properties of yarn. Mass irregularity and hairiness is found out of yarn which is followed by apparatus Uster Tester - 4SX. Polyester rotor yarns under the business term Syncrofil producing in operation KTC Plavy are analysed.

Klíčová slova

Plošná nestejnoměrnost

Plošná variační křivka

Stupně šedi

Variační koeficient

Tkanina

Chlupatost

Keywords

Surface unevenness

Area variation curve

Grayscale image

Coefficient of variation

Woven fabric

Hairiness



Obsah

1 ÚVOD	12
2 REŠERŠNÍ ČÁST	14
2.1 Teorie hmotové nestejnoměrnosti	14
2.1.1 Lineární hmotová nestejnoměrnost	14
2.1.2 Kvadratická hmotová nestejnoměrnost	15
2.1.3 Limitní hmotová nestejnoměrnost	15
2.1.4 Index nestejnoměrnosti	16
2.1.5 Výrobní nestejnoměrnost	16
2.1.6 Strojová nestejnoměrnost	16
2.2 Charakteristické funkce hmotové nestejnoměrnosti	16
2.2.1 Spektrogram	17
2.2.2 Délková variační křivka	18
2.3 Druhy vad v přízi	19
2.4 Systém Uster-Classimat	21
2.5 Standardy Uster Statistics	22
2.6 Měření hmotové nestejnoměrnosti	22
2.6.1 Kapacitní princip	23
2.6.2 Optický princip	23
2.7 Projev hmotové nestejnoměrnosti	23
2.7.1 Moiré efekt	23
2.7.2 Pruhovitost	24
2.7.3 Mrakovitost	25
2.8 Hodnocení nestejnoměrnosti plošných textilií	25
2.8.1 Vnější plošná variační křivka	26
2.8.2 Vnitřní plošná variační křivka	26
2.9 Statistické zpracování dat	27
2.10 Charakter vazeb testovaných tkanin	28
2.10.1 Plátnová vazba - P1/1	28
2.10.2 Panama - PA2/2	28
2.10.3 Atlasová vazba - A4/1	29



3 EXPERIMENTÁLNÍ ČÁST	30
3.1 Profil firmy KTC Plavy	30
3.2 Koncepce bavlnářské (rotorové) prádelny ve firmě KTC Plavy	31
3.2.1 Bavlňářská čistírna ve firmě KTC Plavy	31
3.2.2 Rozvolňování, čištění a mísení	32
3.2.3 Mykání	33
3.2.4 Zásobování mykacích strojů	33
3.2.5 Protahování	34
3.2.6 Dopřádání na bezvřetenovém (rotorovém) dopřádacím stroji	34
3.2.7 Moderní rotorové dopřádací stroje	34
3.3 Schéma výroby rotorové příze v KTC Plavy	35
3.4 Parametry přízí a tkanin	36
3.5 Odebírání vzorků	37
3.6 Zpracování obrazu vzorku	39
3.7 Nastavení programu	40
3.8 Zpracování dat získaných z digitálních obrazů	40
4 GRAFICKÁ ČÁST EXPERIMENTU	41
4.1 Vyhodnocení měřených přízí aparaturou USTER TESTER 4-SX	41
4.1.1 Grafické a tabelární znázornění naměřených parametrů	42
4.1.2 Grafické znázornění parametrů hmotové nestejnoměrnosti přízí na úsecích 1m, 3m, 10m	52
4.1.3 Grafické znázornění parametrů variability chlupatosti přízí na úsecích 1m, 3m, 10m	54
4.2 Plošné variační křivky	56
4.2.1 Konstrukce vnější plošné variační křivky	56
4.2.2 Vnější plošné variační křivky jednotlivých vzorků tkanin	59
4.2.3 Průměrné vnější plošné variační křivky a intervaly spolehlivosti	62
4.2.4 Vzájemné porovnání průměrných plošných variačních křivek (PVK). .	65
5 ZÁVĚR	68
POUŽITÁ LITERATURA	70
PŘÍLOHY	71



Seznam použitých symbolů a zkratek

- U lineární hmotová nestejnoměrnost [%]
 CV kvadratická hmotová nestejnoměrnost [%]
 CVlim, Ulim ... limitní kvadratická (lineární) nestejnoměrnost [%]
 I index nestejnoměrnosti [-]
 CVef, Uef skutečně naměřená kvadratická (lineární) nestejnoměrnost [%]
 CVf, výrobní nestejnoměrnost [%]
 CVm strojová nestejnoměrnost [%]
 CV(A) vnější variační koeficient stupňů šedi mezi čtverci o ploše A
 PVK plošné variační křivky [-]
 S směrodatná odchylka průměrných stupňů šedi ve čtvercích o ploše A
 $\bar{\bar{X}}$ průměrná hodnota středních stupňů šedi ve čtvercích o ploše A
 A plocha čtverce [cm^2]
 CVV(A) průměrný variační koeficient stupňů šedi uvnitř čtvercového pole o ploše A
 CVi variační koeficient stupňů šedi v i -té čtvercovém poli o ploše
 N počet čtvercových ploch
 Svi směrodatná odchylka stupňů šedi v i -té čtvercovém poli,
 X průměrná hodnota stupňů šedi v i -té čtvercovém poli.
 CV vnější..... vnější variační koeficient stupňů šedi [-]
 L délka úseku [m]
 m(l) okamžitá hodnota hmotnosti dělkového useku prádelnického produktu
 m, n..... počty měření
 Xi naměřená hodnota
 m střední hodnota hmotnosti [kg]
 t jemnost vláken [tex]
 T jemnost dělkového prádelnického produktu [tex]
 l vlnová délka [m]
 μ střední hodnota
 LVC dělkové variační křivky
 apod. a podobně
 kap. kapitola



tzv. tak zvaně
obr. obrázek
tab. tabulka
fy firma
cca cirka
např. například
tj. to je
ot. otáčky
min. minuta
PES Polyester
OE open end – rotorové dopřádání
pix. pixel
dpi dots per inch (body na palec)



1 Úvod

Každý výrobce se snaží vyrábět co nejkvalitnější výrobky, protože pouze tak může obstát na trhu plném konkurence. Nejinak je tomu i v textilním odvětví. Odběratelé se nezaměřují pouze na cenu, kvalitu a ostatní různé důležité vlastnosti, ale kladou též velké nároky na vzhled. Vzhled textilií je jedním ze základních parametrů hodnocených spotřebitelem. V našem případě se bude jednat o vzhled plošné textilie – tkaniny. Plošná textilie (tkanina, pletenina) je odběratelem hodnocena v první řadě právě podle vzhledu. Každá taková vzhledová chyba poukazuje na kvalitu plošné textilie a je zákazníkem hodnocena negativně a snižuje tudíž i prodejnou takového textilie. Vzhled souvisí jak se stejnoměrností vybarvení, tak i se stejnoměrností hmotovou, resp. strukturní.

Nestejnoměrnost lze zjišťovat metodami subjektivními a objektivními, ale ideální jednoduchá a spolehlivá metoda zjišťování nestejnoměrnosti zřejmě zatím neexistuje. Jednou ze subjektivních metod, je nasimulovaný obraz plošné textilie, kterou nabízí aparatura Uster Tester. Zde je to ale stále ve fázi subjektivního posouzení vzhledu plošné textilie. Ideální by bylo již od začátku výrobního procesu zajistit výrobu stejnoměrné textilie, což ale vyžaduje dokonalou a tím drahou technologii (ideální prostředí, dokonalé stroje, bezvadný materiál).

Z pohledu uživatele, který se ale jeví jako subjektivní pozorovatel, je za nestejnoměrnost považována pouze taková, která při používání vadí nebo je alespoň takto vnímána. Díky novým metodám a prostředkům používaných pro hodnocení nestejnoměrnosti plošných textilií by se mohlo předcházet zvyšováním nestejnoměrnosti již ve výrobním procesu a zásadně tak ovlivnit vzhled konečného produktu.

Část experimentu byla realizována v podmínkách bavlnářské přádelny KTC Plavy. Zde byla na přístroji Uster tester-4SX provedena jednotlivá měření a podrobný rozbor parametrů a charakteristických funkcí hmotové nestejnoměrnosti a chlupatosti aktuálně vyráběných přízí. Firma KTC Plavy také poskytla tkaniny vyrobené z těchto přízí.

Tato práce se zabývá jednou z objektivních metod hodnocení nestejnoměrnosti plošných textilií. Pracuje se zde se vzorky několika reálných textilií, které jsou



odebírány z tkanin různých parametrů. Jsou to tkaniny různého materiálového složení, různé dostavy osnovy a útku a různých vazeb. Jednotlivé vzorky tkanin jsou naskenovány. Takto získané digitální obrazy reálné textilie jsou zpracovány speciálně vytvořeným programem dle prof. Militkého v prostředí Matlab, který na základě kolísání stupňů šedi obrazu tkaniny konstruuje vnější plošné variační křivky.

Cílem je sledovat chování vnějších plošných variační křivek a vyhodnotit vliv vybraných vlastností (hmotová nestejnoměrnost, chlupatost) na nestejnoměrnost vzhledu hodnocených tkanin. Také je třeba zhodnotit, zda různé parametry (např. dostava a vazba tkaniny) jednotlivých tkanin ovlivňují průběh a polohu vnějších plošných variačních křivek. Dále je třeba ověřit, zda plošná variační křivka je vhodným nástrojem pro hodnocení nestejnoměrnosti v ploše.

V neposlední řadě je cílem práce navrhnout technologická opatření v přádelně s cílem omezit případné negativní vlivy struktury hmotové nestejnoměrnosti a chlupatosti příze na nestejnoměrnost v ploše.



2 Rešeršní část

2.1 Teorie hmotové nestejnoměrnosti

Hmotová nestejnoměrnost příze je velmi důležitou vlastností. S ní souvisí do určité míry nestejnoměrnost jiných vlastností (zákruty, pevnost apod.). Z hlediska dalšího použití příze je možno uvést, že hmotová nestejnoměrnost příze se projevuje negativně dále i v plošných textiliích (tkanině, pletenině) vadami např. mrakovitostí, pruhovitostí, moiré efektem. (viz kap.2.7). Současně hmotová nestejnoměrnost ovlivňuje i přetrhovost při dopřádání.

V zájmu odstraňování příčin, které zvyšují nestejnoměrnost, je nutno sledovat tuto vlastnost i u přástů, pramenů, stůčky. Z toho je patrné, že problematika hmotové nestejnoměrnosti prolíná značnou částí technologie předení a právě otázka hmotové nestejnoměrnosti u přádelnických produktů v počátku technologického procesu se ukazuje jako velmi důležitý faktor podmiňující otázku hmotové nestejnoměrnosti příze.

Hmotovou nestejnoměrností rozumíme kolísání vláken v průřezu nebo určitých délkových úsecích délkového vlákenného útvaru. K vyjádření hmotové nestejnoměrnosti může být použito různých parametrů nebo charakteristických funkcí. [1]

2.1.1 Lineární hmotová nestejnoměrnost

Lineární hmotová nestejnoměrnost $U[\%]$ je střední lineární odchylka od střední hodnoty hmotnosti délkového úseku vlákenného útvaru. [1]

$$U = \frac{100}{\bar{m} \cdot L} \int_0^L |m(l) - \bar{m}| dl \quad (1)$$

kde:

U lineární hmotová nestejnoměrnost [%]

$m(l)$... okamžitá hodnota hmotnosti délkového úseku přádelnického produktu [kg]

\bar{m} střední hodnota hmotnosti [kg]

L délka úseku [m]



2.1.2 Kvadratická hmotová nestejnoměrnost

Kvadratická hmotová nestejnoměrnost CV[%] představuje variační koeficient hmotnosti délkových úseků vlákenného útvaru. [1]

$$CV = \frac{100}{\bar{m}} \sqrt{\frac{1}{L} \int_0^L (m(l) - \bar{m})^2 dl} \quad (2)$$

kde:

CV kvadratická hmotová nestejnoměrnost [%]

U lineární hmotová nestejnoměrnost [%]

$m(l)$... okamžitá hodnota hmotnosti délkového úseku přádelnického produktu [kg]

\bar{m} střední hodnota hmotnosti [kg]

L délka úseku [m].

2.1.3 Limitní hmotová nestejnoměrnost

Absolutně stejnoměrnou přízi nedokážeme z důvodů vlastní nestejnoměrnosti vláken a jejich náhodnému uspořádání v přízi vyrobit. Minimální možná nestejnoměrnost se nazývá limitní CV_{lim} [%].

Tu vyjadřuje tzv. Martindaleův vztah, ve kterém se zanedbává variabilita příze. Z praxe je známé, že není možné vyrobit absolutně rovnoměrnou přízi. To znamená s variačním koeficientem počtu vláken nulovým. Přírodní vlákna vykazují značnou vlastní nestejnoměrnost, je tedy nutné zohlednit i variační koeficient průřezu či průměru vlákna. [1]

$$CV_{lim} = \frac{100}{\sqrt{n}}, \quad \text{kdy } \bar{n} = \frac{T}{t} \quad (3), \quad U_{lim} = \frac{80}{\sqrt{n}} \quad (4)$$

kde:

CV_{lim} , U_{lim} limitní kvadratická (lineární) nestejnoměrnost [%]

nprůměrný počet vláken [-]

T jemnost délkového přádelnického produktu [tex]

t jemnost vláken [tex]



2.1.4 Index nestejnoměrnosti

Index nestejnoměrnosti I [-] vyjadřuje, jak se reálný přádelnický produkt odchyluje od ideálního. Je tedy měřítkem dokonalosti přádního procesu a jakosti přádelnického produktu. V ideálním případe by se index nestejnoměrnost rovnal 1, v praxi je však vyšší. Jeho hodnota závisí na počtu vláken v průřezu délkového vlákenného produktu. Pro prameny se pohybuje v rozmezí 5-8, pro příze 1,2 – 1,7. [1]

$$I = \frac{CV_{ef}}{CV_{lim}} > 1, \quad I = \frac{U_{ef}}{U_{lim}} > 1 \quad (5)$$

kde:

I index nestejnoměrnosti [-]

CV_{ef}, U_{ef} skutečně naměřená kvadratická (lineární) nestejnoměrnost [%]

CV_{lim}, U_{lim} ... limitní kvadratická (lineární) nestejnoměrnost [%]

2.1.5 Výrobní nestejnoměrnost

Výrobní nestejnoměrnost CV_f [%] vyjadřuje nestejnoměrnost, kterou v přádelnickém produktu zapříčinil výrobní proces. [1]

2.1.6 Strojová nestejnoměrnost

Nestejnoměrnost, kterou do přádelnického produktu vložil určitý stroj, označujeme jako strojovou CV_m [%]. [1]

2.2 Charakteristické funkce hmotové nestejnoměrnosti

Hmotovou nestejnoměrnost lze také popsat charakteristickými funkcemi, které umožňují analyzovat příčiny nestejnoměrnosti a vystihují její strukturu. Mezi charakteristické funkce patří spektrogram a délková variační křivka. [1]



2.2.1 Spektrogram

Spektrogram je amplitudový záznam harmonických složek kolísání hmoty délkového vlákenného produktu v závislosti na vlnové délce. Jde o grafické znázornění, které periodicky načítá odchylky hmotové nestejnoměrnosti do tříd s délkou periody λ . Délkou periody se rozumí délka vlny, se kterou se pravidelně projevuje odchylka hmotové nestejnoměrnosti. V logaritmické stupnici, jenž má tvar speciálního histogramu, je znázorněn záznam rozdělení vlnových délek. [1]

Název spektrogram je odvozený od slova spektrum, což znamená rozdělení délek, ve kterých se pravidelně opakují chyby. Podle toho, jaká mají spektra průběh, se rozdělují na:

ideální – spektrum ideálního produktu.

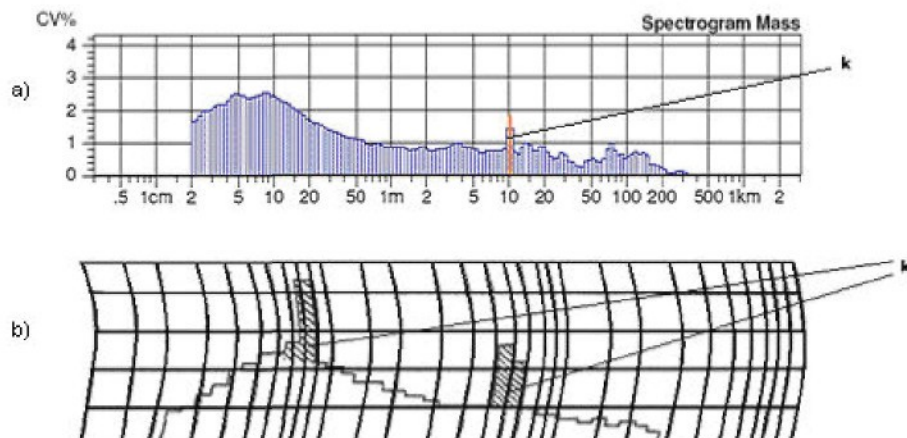
normální – spektrum dokonalého produktu,

reálné – reálný průběh spektra měřeného vlákenného produktu.

Na obr.1a je možné vidět spektrum vlnové délky označené písmenem k – komín. Toto spektrum se vyskytuje ve větším počtu, než ostatní vlnové délky. Z toho vyplývá, že v délkové textilii se pravidelně opakuje výskyt chyby (vychýlení hmotové nestejnoměrnosti).

Obecně to v praxi značí, že v technologickém procesu je do činnosti zařazen nesprávný pracovní orgán, který tuto chybu způsobuje (většinou jde o nesprávnou činnost rotujících orgánů). Reálně se tato situace objevuje v produktu zesílením nebo zeslabením průřezu, které se v pravidelných intervalech opakují.

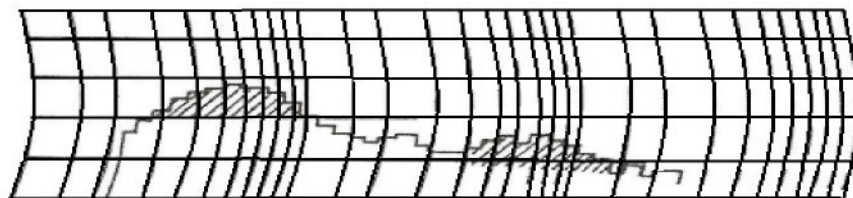
V tomto případě hovoříme o chybách mechanického charakteru, tedy o spektrogramu mechanických závad, který se v odborných terminologiích nazývá charakteristické spektrum a je znázorněno na obr. 1a. Analýzou tohoto spektrogramu jsme schopni dokázat periodickou nestejnoměrnost, která je vkládána do výsledného produktu již zmíněnou nesprávnou činností pracovních orgánů. [1] [2]



Obr. 1 a) Charakteristické spektrum (spektrogram mechanických závad)
b) Spektrogram (reálný výstup aparatury Uster Tester 4-SX [2])

Nestejnoměrnost se ve spektrogramu projevuje také formou kupovitých spekter způsobených průtahovými vlnami.

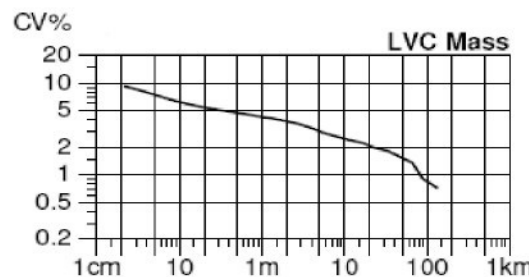
Ve spektrogramu jim náleží určité vyvýšení v podobě šrafováné části viz obr. 2. Příčinou vzniku spektra jsou průtahové vlny. Ty jsou vyvolané nedokonalou kontrolou vláken v průtahovém poli. [1]



Obr. 2 Kupovité spektrum (spektrogram průtahových vln)

2.2.2 Délková variační křivka

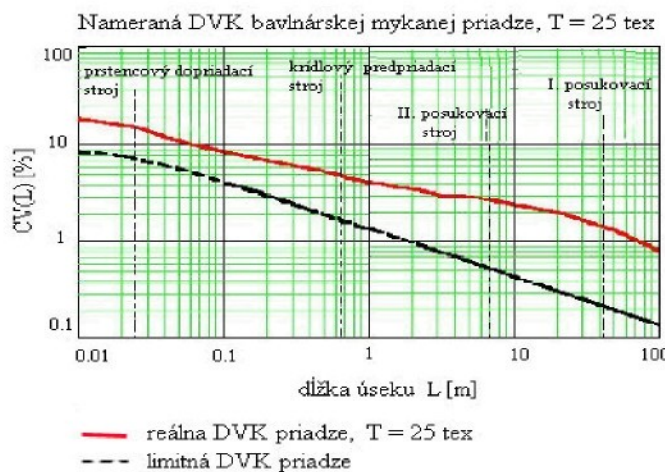
Délková variační křivka (dále jen DVK) vyjadřuje závislost vnější hmotové nestejnoměrnosti $CV(L)$ na délce úseku L vlákenného produktu. Vnější hmotová nestejnoměrnost vyjadřuje variabilitu (variační koeficient) hmotnosti mezi úsekky délky L . Zobrazuje vliv celé technologie na hmotovou nestejnoměrnost příze. Křivku získáváme přímo z měřící aparatury USTER. [2]



Obr. 3 Ukázka délkové variační křivky naměřené aparaturou Uster Tester - 4SX

Hodnocení DVK

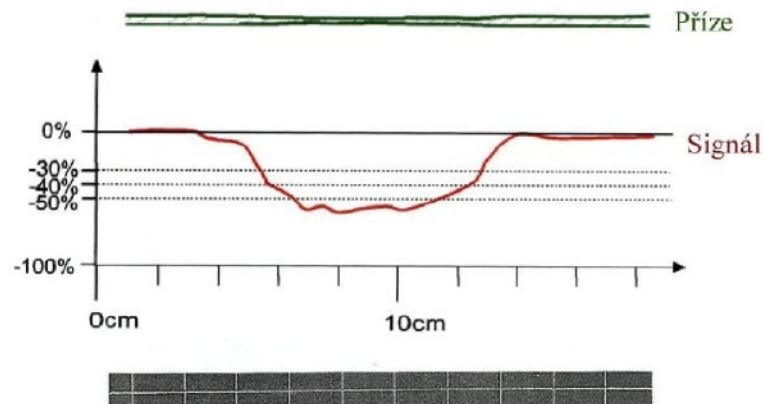
Vyhodnocení DVK spočívá v porovnání reálné křivky s limitní DVK. Odklon reálné křivky směrem nahoru znamená zhoršení hmotové nestejnoměrnosti a odklon směrem dolů značí zlepšení hmotové nestejnoměrnosti viz obr. 4. Dále se určuje délka úseku, na kterém nestejnoměrnost vznikla a v neposlední řadě identifikace stroje, který nestejnoměrnost způsobil. [2]



Obr. 4 Porovnání reálné křivky s limitní křivkou [2]

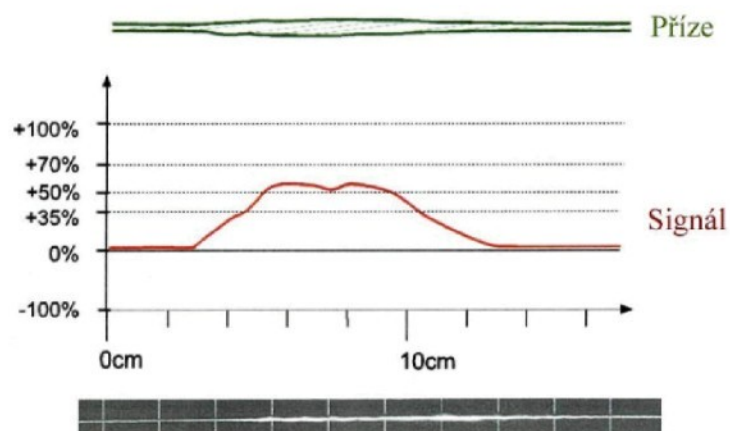
2.3 Druhy vad v přízi

Kvalitu příze kromě parametrů hmotové nestejnoměrnosti určuje i tzv. počet vad v přízi. Vada = slabé nebo silné místo (tj. místo, kde dojde k zeslabení nebo zesílení příčného průřezu vlákenného útvaru o určitou míru – max. však 100% přírůstek nebo 60% úbytek) a nopky (zesílení průřezu příze o víc jak 140% na délce 1-4mm příze). Počet vad se udává na délku 1km a je zjišťován v rámci měření HN. Počet a velikost vad v přízi je důležitým parametrem při přesoukávání příze. [2]

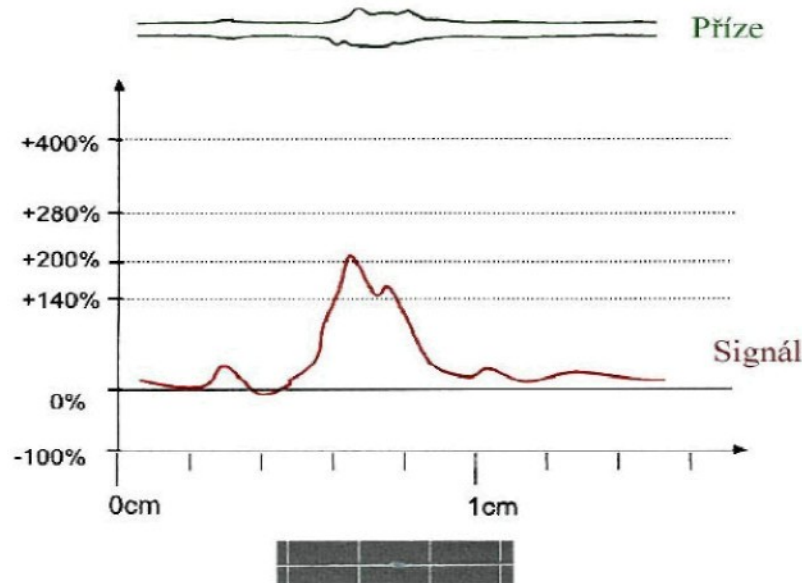


Obr. 5 Vada v přízi (slabé místo) a jemu odpovídající signál

Slabé místo v přízi, jemu odpovídající signál - běžně se sleduje počet slabých míst na 50% (počet překročení hranice úbytku příze o 50%). [2]



Obr. 6 Vada v přízi (silné místo) a jemu odpovídající signál



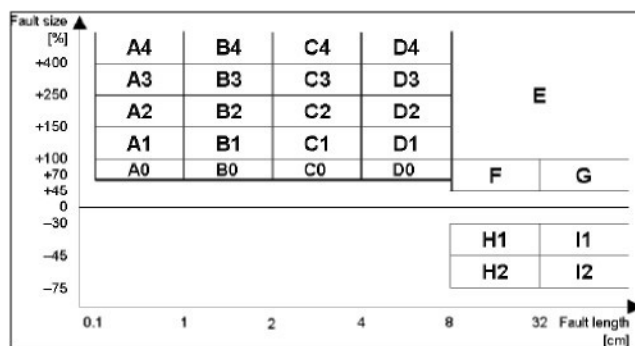
Obr. 7 Nopek v přízi, jemu odpovídající signál

- **imperfecta:** často se vyskytující vady, ale ne tak zřetelné – např.: -50%, +50%
- **rušivé vady:** málo četné, ale hrubé

Rušivé vady se odstraňují během soukání, např. pomocí zařízení Uster-Classimat.

2.4 Systém Uster-Classimat

Uster-Classimat je zařízení obvykle instalované na soukacích strojích (lze i na BD). Zaznamenává vady a rozděluje je do 27 skupin dle úbytku příp. přírůstku průměru příze a délky vady (viz Obr. 8). Odstraňuje hrubé a málo četné vady dle nastavené hranice a počet vad přepočítává na 100km délky příze.



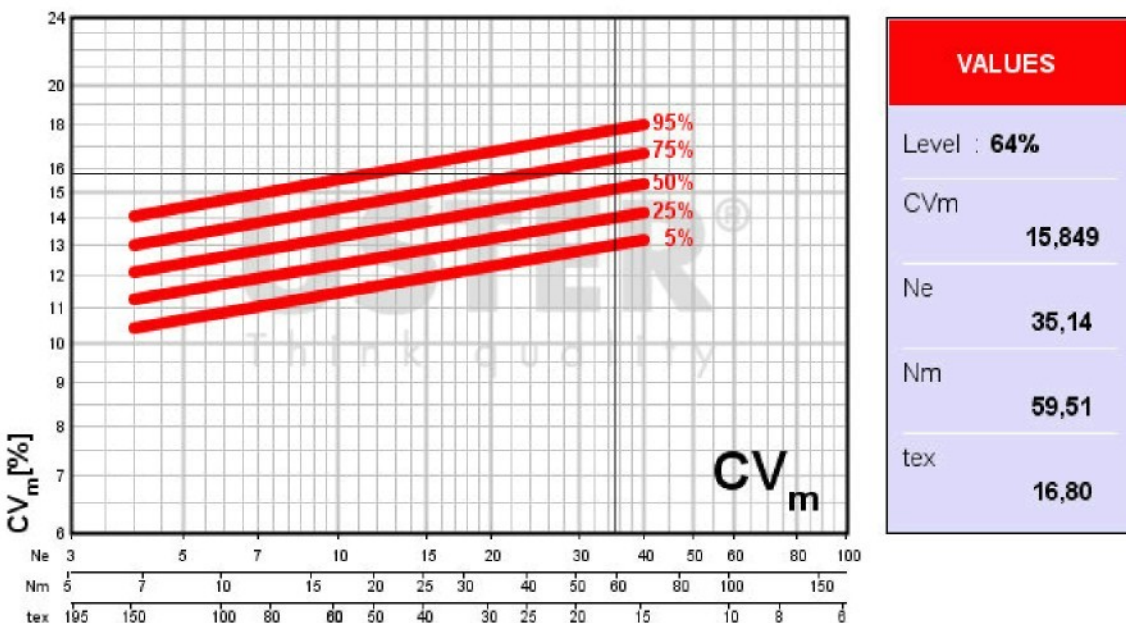
Obr. 8 Uster-Classimat



2.5 Standardy Uster Statistics

Standardy Uster Statistics slouží k porovnání různých parametrů hmotové nestejnoměrnosti námi vyrobené příze (přástu, pramene) s ostatními na trhu se vyskytujícími přízemi (přasty, prameny) stejného typu a jemnosti.

Standardy jsou tvořeny jako síť parametru (I,CV, ...atd.) versus jemnost příze, kterou prochází linie 5, 25, 50, 75 a 95% viz obr. 9. Tyto linie představují místa konstantní kumulativní četnosti celosvětově naměřených parametrů (I, CV,..) a vyjadřují, kolik procent výrobců vyrábí danou přízi (přást, pramen) o stejně nebo lepší kvalitě. [2]



Obr. 9 Standard Uster Statistics

2.6 Měření hmotové nestejnoměrnosti

K měření hmotové nestejnoměrnosti délkových vlákenných útvarů se využívá dvou principů:

- a) kapacitní – Uster-Tester
- b) optický – Zweigle



2.6.1 Kapacitní princip

Zástupcem kapacitního principu měření Hmotové nestejnoměrnosti je aparatura fy Zellweger Uster, která se nazývá Uter – Tester.

Měření hmotové nestejnoměrnosti spočívá v průchodu délkového vlákenného materiálu mezi deskami kondenzátoru. Velice zjednodušeně se dá říci, že se změnou hmoty vlákenného materiálu se mění kapacita kondenzátoru, která je převedena na změnu proudu, jež je úměrná změně hmotnosti vlákenného materiálu. [2]

2.6.2 Optický princip

K optickému měření hmotné nestejnoměrnosti přádelnických produktů se využívá přístroj fy Zwigle. Měřený délkový útvar prochází optickým čidlem, které snímá průměr délkového vlákenného produktu. Zaznamenává se CV[%], slabá, silná místa, nopky. Přístroj rovněž konstruuje spektrogram a délkovou variační křivku. Dokáže též predikovat vzhled výsledné plošné textilie (tkaniny a pleteniny) na základě zjištěné nestejnoměrnosti příze a v závislosti na zvolené vazbě plošné textile. [2]

2.7 Projev hmotové nestejnoměrnosti

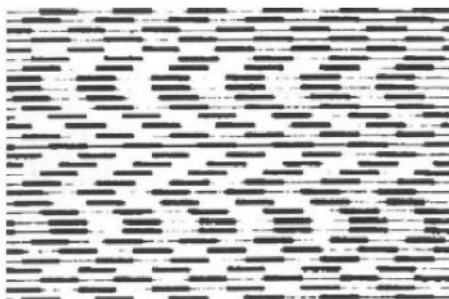
Hmotová nestejnoměrnost plošné textilie se projevuje těmito základními formami:

- moiré efektem,
- pruhovitostí,
- mrakovitostí

2.7.1 Moiré efekt

Vzniká vlivem časté periodické nestejnoměrnosti příze s relativně krátkou vlnovou délkou $\lambda=1 - 50\text{cm}$. Periodicky se tu opakují slabá a silná místa ležící ve výsledné plošné textilii blízko vedle sebe. Příčinou může být např. nečistota v rotoru spřádací jednotky nebo poškozený odváděcí váleček průtahového ústrojí prstencového doprádacího stroje.

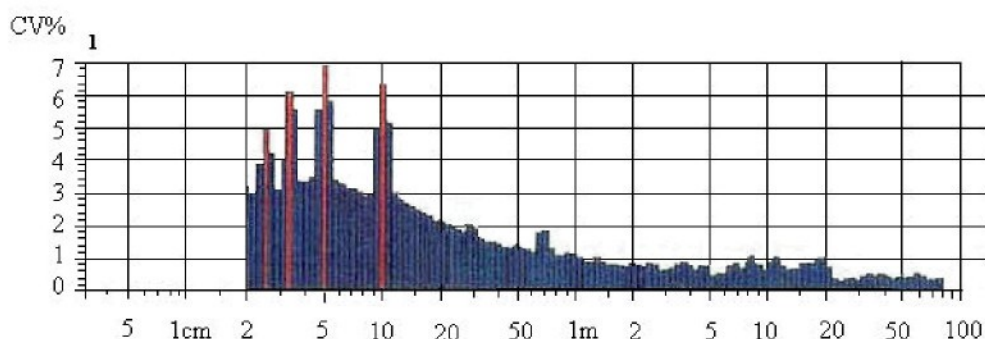
Ve spektrogramu se projevuje formou charakteristických spekter na vlnových délkách $\lambda = u, u/2, u/3$, kde „ u “ je obvod rotoru. V tkanině moiré efekt asociouje strukturu dřeva a dá se rozpoznat vizuálním pohledem na tkaninu. [2]



Obr. 10 Moiré efekt „struktura dřeva“ [2]



Obr. 11 Náčrt moiré efektu plošné textilie [2]

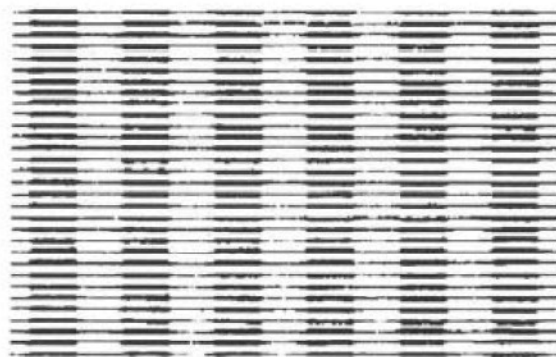


Obr. 12 Projev moiré efektu ve spektrogramu [2]

2.7.2 Pruhovitost

Pruhovitost vzniká díky dlouhoperiodické nestejnoměrnosti příze tj. kolísáním hmotnosti na dlouhých úsecích příze $\lambda > 5\text{m}$. Projevuje se v plošné textilii zřetelnými pruhy, protože vlnová délka periodické chyby je větší než tkací šířka nebo obvod (popřípadě šířka) pleteniny.

Periodické vady příze o vlnové délce $\lambda = 50\text{cm}$ až 5m lze v plošné textilii rozpoznat velmi obtížně, pouze při splnění určitých podmínek. [2]



Obr. 13 Náčrt pruhovitosti [2]

2.7.3 Mrakovitost

Hodnotí se jako neklidný vzhled tkaniny. Vzniká vlivem téměř periodických vad v přízi (kupovitá spektra). Projev hmotové nestejnoměrnosti příze v plošné textílii se posuzuje na základě vizuálního zhodnocení vzhledu textilie. [2]

2.8 Hodnocení nestejnoměrnosti plošných textilií

Jak již bylo uvedeno, nestejnoměrnost plošné textilie se projevuje na jejím vzhledu a pomocí něho se také hodnotí. Abychom mohli hodnotit vzhled plošné textile pomocí plošných variačních křivek, potřebujeme mít k dispozici její obraz. Ten je možný získat např. z aparatury Uster Tester - 4SX, kdy se jedná o obraz nasimulovaný softwarem z údajů získaných měřením hmotné nestejnoměrnosti příze, nebo nasnímáním reálné tkaniny. Získaný obraz tkaniny je pak převeden do šedé škály. Jsou sledovány stupně šedi jednotlivých obrazových bodů a na základě jejich kolísání mohou být konstruovány vnější a vnitřní plošné variační křivky.



Obr. 14 Obraz nasimulované tkaniny na aparatuře Uster Tester – 4SX



Šedá škála obrazu vykazuje různou úroveň v závislosti na struktuře nestejnoměrnosti příze, ze které je obraz sestavený. Nestejnoměrnost úrovně šedi v obrazu je vyjádřen variačním koeficientem, podobně jako naměřená hodnota CV u délkových textilií, která je variačním koeficientem kolísání hmoty proměřeného úseku příze. Nestejnoměrnost plošné textílie je převedena na kolísání barevného odstínu v jejím vzhledu, což je vlastně nestejnoměrnost vybarvení. [5] [6]

2.8.1 Vnější plošná variační křivka

Vnější plošná variační křivka je stanovena jako vnější variabilita stupňů šedi obrazu tkaniny v závislosti na velikosti sledované plochy $CV(A)$. [6]

$$CV(A) [\%] = \frac{\sqrt{S^2}}{\bar{X}} \quad (6), \quad \bar{X} = \frac{\sum_{i=1}^{N1} \bar{x}_i}{N1} \quad (7), \quad S^2 = \frac{\sum_{i=1}^{N1} (\bar{x}_i - \bar{X})^2}{N1-1} \quad (8)$$

kde:

$CV(A)$ vnější variační koeficient stupňů šedi mezi čtverci o ploše A v obrazu vzorku tkaniny,

S směrodatná odchylka průměrných stupňů šedi ve čtvercích o ploše A obsažených v obrazu vzorku,

\bar{X} průměrná hodnota středních stupňů šedi ve čtvercích o ploše A obsažených v obrazu vzorku,

A plocha čtverce.

2.8.2 Vnitřní plošná variační křivka

Vnitřní plošná variační křivka je vyjádřena průměrným variačním koeficientem stupňů šedi uvnitř čtvercových ploch v závislosti na velikosti sledované plochy čtverce $CVV(A)$.

$$CVV(A) [\%] = \frac{\sum_{i=1}^N CV_i}{N} \quad (9),$$

$$CV_i [\%] = \frac{\sqrt{Sv_i^2}}{X_i} \quad (10)$$



kde:

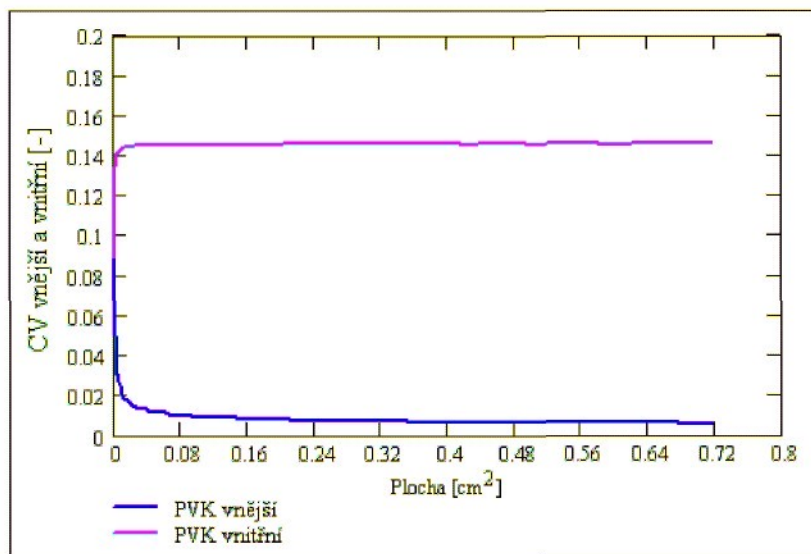
$CVV(A)$... průměrný variační koeficient stupňů šedi uvnitř čtvercového pole o ploše A [%],

CVi variační koeficient stupňů šedi v i -té čtvercové ploše [%],

N počet čtvercových ploch,

Svi směrodatná odchylka stupňů šedi v i -té čtvercové ploše,

X průměrná hodnota stupňů šedi v i -té čtvercové ploše.



Obr. 15 Ukázka vnější a vnitřní plošné variační křivky

2.9 Statistické zpracování dat

Při statistickém zpracovávání dat, kde jednotlivé naměřené hodnoty souboru dat vzájemně kolísají, se používají klasické postupy zjištění základních charakteristik. Počítají se hodnoty výběrových charakteristik (průměr a rozptyl). [2]

$$\bar{X} = \frac{1}{n} \sum_{i=1}^n X_i \quad (11), \quad s^2 = \frac{1}{n-1} \sum_{i=1}^n (X_i - \bar{X})^2 \quad (12)$$

kde:

X výběrový průměr

s^2 výběrový rozptyl

n počet měření

X_i naměřená hodnota



Hodnoty parametrů souboru leží uvnitř určitého intervalu, jehož velikost je závislá na přesnosti, se kterou byly stanoveny příslušné hodnoty výběrových charakteristik. Při vyhodnocování výsledků měření je nutné klást důraz na výpočet intervalu spolehlivosti daného parametru, v tomto případě střední hodnoty m . Výběrový průměr X je bodovým odhadem střední hodnoty s rozdelením $X \sim N(m; s^2/n)$. V intervalu $m \pm 1,96 s/\sqrt{n}$ leží přibližně 95% náhodných veličin X z rozsahu výběru n : [2]

$$\mu - 1,96 \frac{s}{\sqrt{n}} \leq \bar{X} \leq \mu + 1,96 \frac{s}{\sqrt{n}}, \quad \text{kde: } \mu \dots \text{střední hodnota} \quad (13)$$

2.10 Charakter vazeb testovaných tkanin

V této kapitole bude stručně popsán charakter vazeb všech testovaných tkanin. Jedná se o vazby: Plátno 1/1, Panama 2/2 a Atlas 4/1- satén.

2.10.1 Plátnová vazba - P1/1

Plátno je nejjednodušší nejhustěji provázaný základní typ vazby tkaniny. Husté provázání plátna zajišťuje dobré zaplnění tkaniny v obou směrech. Každá malá nepravidelnost v tloušťce nití a také každá nepřesnost v tkacím procesu se výrazně projeví na výsledné tkanině a na jejím zhoršení kvality. Je to tzv. vazba „oboulícní“, to znamená, že podíl osnovních vazebních bodů a útkových vazebních bodů je v poměru 1:1 a rub má v neupraveném stavu stejný vzhled jako líc. Střída 2/2 je součet čísel v notaci (tj. 1+1=2) udává počet osnovních nití ve střídě vazby. [3]

2.10.2 Panama - 2/2

Panamová vazba neboli zdvojené plátno je vazbou odvozenou. Rozšiřuje plátnovou vazbu dvěma směry (po osnově i po útku). Existují tři druhy panamy (pravidelná, nepravidelná a složená). Nejmenší a nejjednoduší je pravidelná dvojitá panama PA 2/2, která má ve střídě vazby 4 osnovní a 4 útkové vazně body. Vazba typická jemným zrnitým povrchem a větší porozitou. [3]



2.10.3 Atlasová vazba - A4/1

Atlasová vazba vytváří na tkanině hladký povrch s nevýrazným jemným šikmým řádkováním různého sklonu. Je to vazba, jejíž vazní body jsou ve střídě pravidelně rozloženy a nesmějí se vzájemně dotýkat, tj. u osnovního atlasu se nedotýkají útkové vazní body a naopak. Atlas, v němž převládají osnovní vazní body, je osnovní atlas a atlas, v němž převládají útkové vazní body, je útkový atlas. Nejmenší počet osnovních nití a útků ve střídě vazby má pětivazný atlas. Vzdálenost vazních bodů se určuje číslem postupným a vzestupným číslem. [3]



3 Experimentální část

K experimentu byly použity různé příze a tkaniny dodané firmou Kümpers textil s.r.o, (KTC), závod Plavy. Zde byly také prováděny veškeré zkoušky na aparatuře USTER TESTER-4SX. Měřila se limitní a kvadratická nestejnoměrnost přízí, chlupatost, počet slabých a silných míst, nopky atd.

Výstupem byly spektrogramy, LVC křivky hmotové nestejnoměrnosti a chlupatosti pro délky různých úseků, hmotnostní diagramy, DR křivky, vady (tj. slabá a silná místa, nopky). Přístroj poskytnul taky konstrukci obrazu povrchového vzhledu plošné textilie - nasimulovaný obraz tkaniny. Příze i tkaniny byly odebrány přímo z výroby.

Experiment se zabývá zjišťováním plošné nestejnoměrnosti tkanin. Ty jsou hodnocené pomocí kolísání stupňů šedi v obraze a následně konstruované vnější plošné variační křivky stupňů šedi.

3.1 Profil firmy KTC Plavy

Firma KTC Plavy je v současné době součástí německé společnosti Kümpers GmbH & Co.KG, která byla založena na konci 19. století. Franzem-Augustem Kümpensem. Tvrzý konkurenční boj a snižování cen donutilo na začátku 90. let přesunout část výroby do ČR a Slovenska.

Firma Kümpers GmbH & Co.KG působící v Německu vyrábí příze, které mají uplatnění nejen v technických oborech. Firma spolupracuje a dodává své výrobky dalším průmyslovým odvětvím, jako je např. automobilový průmysl (BMW) a loďařský průmysl. Prezentuje své výrobky na nejprestižnějších textilních veletrzích, jedním z nejznámějších je Tech Textil ve Frankfurtu nad Mohanem, je certifikována normou DIN EN ISO 9001.

Firma Kümpers Textil s.r.o. je od roku 1995 výrobcem technických tkanin, bytových tkanin a tkanin pro moderní ošacení, vyráběné z bavlny, viskózy, polyesteru a jejich směsí. Dále je výrobcem tkalcovských přízí v mnoha jemnostech a druzích. Vyrábí příze rotorové (OE) na strojích Schlafhorst – AUTOCORO.



Tkaniny jsou vyráběny na strojích SÜLZER o maximální tkací šířce 390cm. Druhy vyráběných tkanin jsou: bavlněné kepry, plátna a další složené vazby.

Příklady technických tkanin:

Tkaniny na kabely, podklad pro smirková plátna, roletoviny, tiskařská plátna, tkaniny na klínové řemeny, na hadice, na filtry, na lepící pásky a jiné.

Firma vyrábí příze prstencové i rotorové. Mezi vysoce kvalitní rotorovou přízi patří označení SYNCROFIL. Je to označení pro polyesterovou rotorovou přízi vykazující velice dobré parametry hmotové nestejnoměrnosti. Tyto parametry se srovnávají v celosvětových Standardech USTER-STATISTIC, kde se pohybují na hranici 5%, což nasvědčuje dlouhodobému vývoji v předení. [4][9]

3.2 Koncepce bavlnářské (rotorové) prádelny ve firmě KTC Plavy

Obecný postup přípravy přízí v bavlnářské prádelně - Rotorová technologie

- Rozvolňování,
- Mísení,
- Čištění,
- Mykání,
- Posukování,
- Dopřádání.

3.2.1 Bavlnářská čistírna ve firmě KTC Plavy

V provozu KTC Plavy se používají moderní automatické čistírenské linky, kde se používají stroje od firmy Trützschler a Rieter. Tato čistírna je kontinuálně propojena s mykacími stroji a dělí se na čistírnu, kde se zpracovává vlákenný materiál pro prstencové dopřádání a vlákenný materiál pro rotorové dopřádání (zpracování 100% polyesteru a 100% viskózy).



3.2.2 Rozvolňování, čištění a mísení

V bavlnářské čistírně KTC Plavy je proces čištění pro rotorové dopřádání rozdělen na 2 linky. Linka na zpracování 100% PES a linka na zpracování 100% viskózy.

V provozu KTC Plavy je používán automatický rozvolňovací stroje značky Blendomat od firmy Rieter, které pracují pomocí ozubeného odebíracího válce, jenž má možnost otočení o 100° a může tedy odebírat vlákennou surovinu svrchu, z balíku na obou stranách podél tohoto stroje. Také se zde používá stroj se šikmým ohroceným pásem od firmy Trützschler, který je ekonomicky výhodnější pro malé partie. Co se týče chemických vláken, tak ty se v bavlnářské lince nečistí, pouze se rozvolňují.

S rozvolňováním probíhá rozvláknování, tj. rozdelení většího vlákenného materiálu na menší vločky, kontinuální zpracování vlákenného materiálu, který je postupně čechrán ve volném stavu – vlákenný materiál je zpracováván čechracími orgány bez sevření podávacím ústrojím (např. stupňovitá čistička) nebo v sevřeném stavu, kde je materiál na vstupu sevřen podávacím ústrojím a vystaven působení pracovního orgánu (např. horizontálním čechradlem). Účelem čechrání je další rozvláknování chomáčků vláken na menší pomocí různě ohrocených válců a odstranit z chomáčků nečistoty pomocí tzv. roštnic nebo proudu vzduchu.

V provozu KTC Plavy se používá zařízení Cleanomat firmy Trützschler. Cleanomat je stroj se sadou válců, které nahrazují soustavu čechradel. Válce mají speciální povlaky od hrotů na 1. válci po jemné jehly na posledním válci.

Procesy rozvolňování čištění a mísení probíhají společně, nelze je od sebe oddělit. Mísení vlákenného materiálu probíhá ve vločce nebo v pramenu.

V moderních bavlnářských provozech se používají mísící agregáty zajišťující intenzivní promíchání chomáčků vláken mezi sebou (ve vločce). Liší se principem odebírání a následného ukládání vlákenného materiálu. Chomáčky vláken jsou rozdeleny do šachet stroje, z nichž se např. spodem odvádějí buď k ohrocenému pásu, může být použit pro mísení surovin ve vločce (směsování bavlny a chemických vláken v daném poměru) nebo k dalšímu stroji, promísení je zajištěno rozdílnou délkou dráhy od jednotlivých šachet k ohrocenému pásu. Vlákenný materiál je ke strojům dopravován pomocí dopravníku, a to pneumaticky. Ke zhuštění vloček slouží různé typy



kondenzorů. Pro kontinuální zásobování mykacích strojů dochází k propojení poslední části zóny právě s mykacími stroji.

V provozu KTC Plavy se používají mísicí agregáty s označením Multimixer MCM6 (šestikomorový), Multimixer MPM8 (osmikomorový) a Multimixer MPM04. Cílem tohoto procesu je získat vlákenný materiál s důkladně promíchanými komponenty tak, aby bylo možné vyrábět přízi stabilních vlastností. K míchání dochází i na mykacích strojích a posukovacích strojích. Za mísicími agregáty v čistírně pro syntetický materiál je v provozu KTC Plavy umístněna tzv. MSL věž pro dávkování malého množství materiálu.

Potěrání je zařazeno na závěr soustavy čistírenské linky. Dochází při něm k odstraňování nečistot a dělení vlákenných vloček. Provádí se na potěracích agregátech zpravidla pomocí ohroceného křídlenu. Ten bývá trojramenný. [4][7]

3.2.3 Mykání

Proces rozvláknování (mykání) je zajišťován na mykacích strojích. Účelem je vyrobit z předkládaného vlákenného materiálu co nejstejnoměrnější pavučinu, resp. pramen – mykanec, výjimečně při vlnařské mykané technologii přásty.

Účelem je: jemnější rozvolňování, čištění, napřimování, ojednocování, urovnání vláken do podélného směru, vytvoření pavučiny (pramenu, přástu). [1]

3.2.4 Zásobování mykacích strojů

Vlákenný materiál je doprováděn k mykacímu stroji víckovému, který se používá pro bavlnu a chemická vlákna bavlnářského typu, zpravidla ve formě vloček.

V provozu KTC Plavy se používají moderní mykací stroje DK903, DK740 a TC03 od firmy Trützschler s automatickou výměnou konví na výstupu.

Na mykacích strojích je na výstupu regulována jemnost (průměr) výsledného pramene. Zjištěná hodnota se porovná s nastavenou hodnotou jemnosti pramene. V případě rozdílu mezi těmito hodnotami dojde ke změně otáček podávacího válečku mykacího stroje. [1]



3.2.5 Protahování

Protahování zajišťuje napřímení vláken do rovnoběžného směru a také zjemňování vlákenného útvaru. Současným družením se zlepšuje stejnoměrnost, protahováním se vytváří vhodná předloha pro další stroje. Protahování se zpravidla provádí v tzv. pasážích. Jejich počet závisí na použité technologii.

V dnešní bavlnářské prádelně se používají koncepce moderních strojů s automatickým vyrovnáváním nestejnoměrnosti (pouze na jedné pasáži), systémem odsávání, kontinuálním monitorovacím systémem a vysokou rychlostí odváděcích válců. [1]

V provozu KTC Plavy se používají protahovací stroje firmy Rieter. Např. stroje typu SB51, SB851, SB-D10, RSB 851 atd. V rotorové technologii se používají 2 posukovací stroje. 1. pasáž - hrubý posukovací stroj, 2. pasáž - jemný posukovací stroj. Na druhé pasáži je používána regulace průtahu.

3.2.6 Dopřádání na bezvretenovém (rotorovém) dopřádacím stroji

Předlohou je pramen uložený v konvích a výstupem je příze navinutá na cívce s křížovým vinutím. Podstatou tvorby trvalého zákrutu je oddělení procesu zakrucování a navíjení. Firma KTC Plavy vyrábí rotorové příze na strojích Schlaufhorst - AUTOCORO. Jemnosti vyráběných přízí jsou Nm 40/1 - Nm 10/1.

3.2.7 Moderní rotorové dopřádací stroje

Moderní rotorové dopřádací stroje používají především v moderních prádelnách. Tyto stroje jsou vybaveny automatickým odstraňováním přetrhů, automatickým zapřádáním při spuštění stroje, automatickou výměnou koncových cívek, dále jsou stroje vybaveny zařízením Uster Tester, které kontroluje nestejnoměrnost přímo při dopřádání. Tyto stroje dosahují vysokých odváděcích rychlostí nad 100m/min a mají vysoké otáčky rotorů – 150 000 ot./min. Stroje obsahují také přídavné zařízení např. parafinovací zařízení. Rotorové příze velice smyčkují, proto se provádí fixace zákrutu pařením. [8] [10]



3.3 Schéma výroby rotorové příze v KTC Plavy

Technologické operace:

Čistírenská linka



Mykání
(regulace)



Posukování - I. pasáž
(družení, průtah)



Posukování – II. pasáž
(regulace průtahu)



Dopřádání – OE



3.4 Parametry přízí a tkanin

Materiálové složení: 100% PES – OE

Syncrofil P5

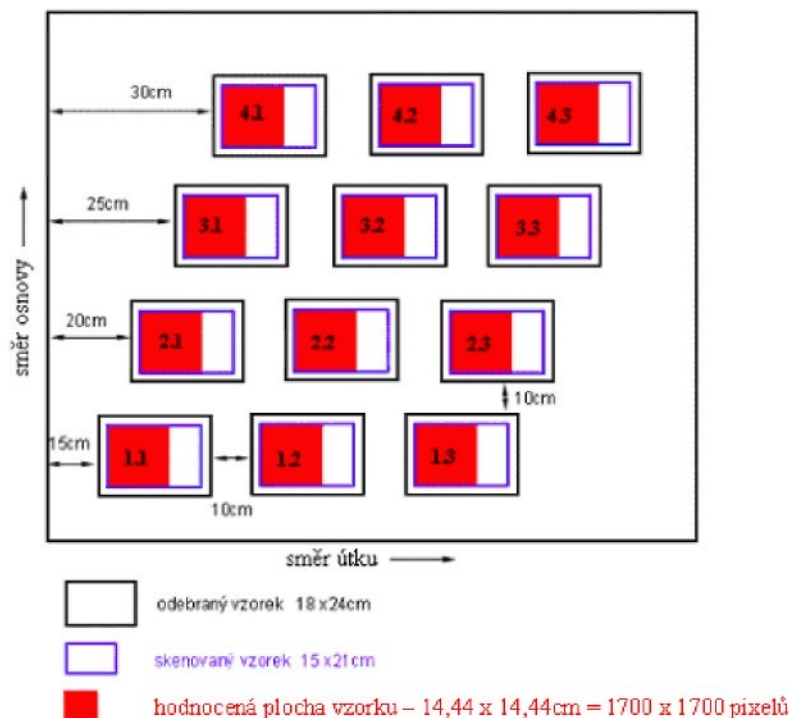
Název tkaniny:	Jemnost příze: (tex)		Dostava: (níte/1cm)		Vazba:
	osnova	útek	osnova	útek	
RR	29,5	29,5	20	14	Plátно 1/1
GG	35,5	35,5	24	18	Panama 2/2
FF	50	50	40	22	Atlas 4/1
GN	35,5	83	34	26	Atlas 4/1
FV	50	100	26	22	Atlas 4/1

Tab. 1 Parametry hodnocených přízí a tkanin



3.5 Odebírání vzorků

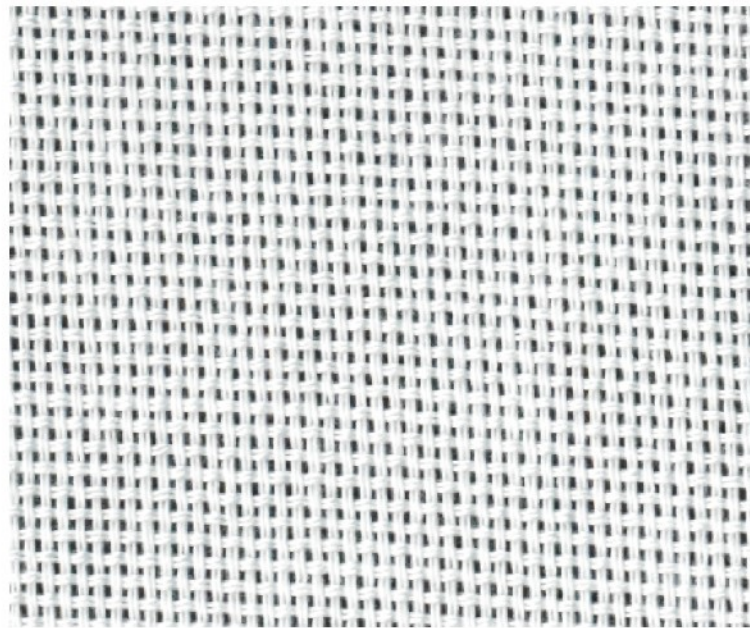
Z každé tkaniny bylo odebráno náhodně dvanáct vzorků o velikosti 18 x 24 cm, (viz Obr.16). Vzorky byly vyžehleny, aby se odstranily sklady vzniklé při jejich odebírání a při manipulaci s textilií.



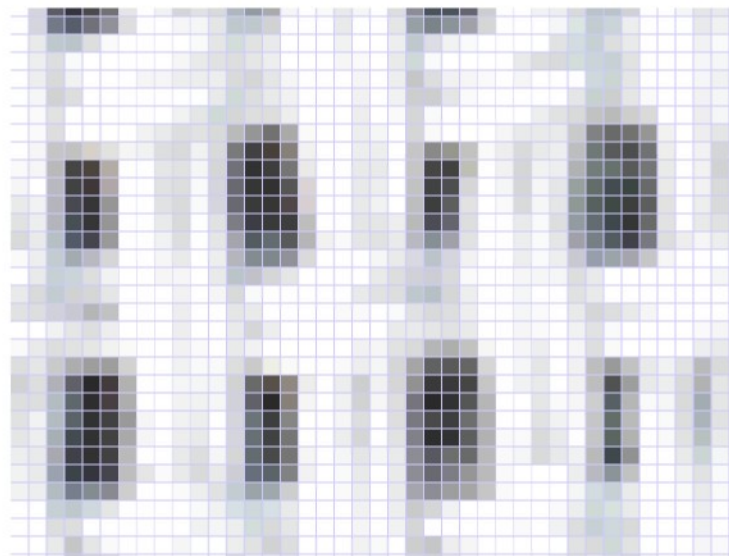
Obr. 16 Schéma odebírání vzorků z testovaných tkanin

Všechny vzorky byly skenovány při rozlišení 300 dpi z lícní strany tkaniny s černým pozadím (podkladem). Černé pozadí se vytvořilo vložením černých desek na skenovaný vzorek. Tak byly vzorky s černým podkladem mírně zatíženy.

Černé pozadí bylo použito proto, že dřívější studie [6] prokázaly vyšší variační koeficient stupňů šedi vzorku s tmavým podkladem. Místa mezi jednotlivými nitěmi jsou vlivem prosvítání podkladu černá a jednotlivé stupně šedi tak více kolísají.



Obr. 17 Výřez obrazu reálné tkaniny PA 2/2

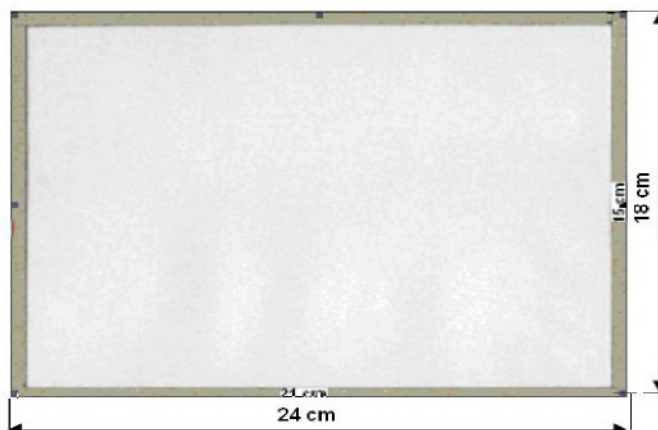


Obr. 18 Výřez z digitálního obrazu tkaniny vazby PA 2/2 převedený na stupně šedi, rozlišení 300 dpi

Tloušťka příze v obrazu vzorku odpovídá cca 3 pix.



K nasnímání vzorků byl použit plochý scanner typu HP Scanner 5530. Jednotlivé skenované obrazy byly uloženy s příponou tif. Nastavení skeneru bylo standardní. Skutečná velikost získaného obrazu reálné tkaniny pro skenování byla 15 x 21cm. Bylo tím dosaženo vyhotovením speciální šablony na vzorky tkaniny před vlastním skenováním (viz Obr. 19).



Obr. 19 Skutečná velikost skenovaného obrazu reálné tkaniny

3.6 Zpracování obrazu vzorku

Práce se zabývá hodnocením obrazu reálné tkaniny. Získané obrazy tkaniny byly zpracovávány v prostředí MATLAB pomocí speciálně vytvořeného programu prof. Militkým „plošné variační křivky“.

Nasnímané obrazy tkanin byly pomocí softwaru převedeny na stupně šedi. (256 stupňů šedi). Dále byly sledovány stupně šedi jednotlivých obrazových bodů a počítán variační koeficient stupňů šedi v celé hodnocené ploše vzorku a v různě velkých čtvercích vzorku. Jinak vzato, program sleduje stupně šedi jednotlivých obrazových bodů, počítá variační koeficient stupňů šedi v celém vzorku o definované velikosti a v různě velkých čtvercích vzorku. Byly konstruovány vnější plošné variační křivky stupňů šedi sledovaného vzorku dle vztahů (6), (7), (8). [6]



3.7 Nastavení programu

Velikost sledovaného vzorku: 1700 x 1700 bodů, rozlišení 300dpi, tj. 14,44 x 14,44 cm,

Minimální počet sledovaných čtverců ve vzorku: $10 \times 10 = 100$ čtverců,

Maximální velikost čtverce: 170×170 bodů, tj. $1,44 \times 1,44 \text{ cm} = 2,07 \text{ cm}^2$.

Aby křivka měla souřadnici x odpovídající skutečné ploše vzorku v cm^2 , byl proveden přepočet souřadnic dle vztahu (14):

$$K = \frac{A_{\max}}{B_{\max}}, \quad X_s = \frac{Ai}{K}, \quad (14)$$

kde:

A_{\max} ... plocha největšího sledovaného čtverce (pixely) ($170 \times 170 = 28900$ pixelů),

B_{\max} ... plocha největšího sledovaného čtverce (cm^2) ($1,439 \times 1,439 = 2,0707 \text{ cm}^2$),

K přepočítávací koeficient (13956,63),

X_s skutečná plocha jednotlivých čtverců (cm^2),

A_i jednotlivé plochy čtverců, v nichž je počítán variační koeficient stupňů šedi (pixely).

3.8 Zpracování dat získaných z digitálních obrazů

Jak již bylo několikrát zmíněno, speciálně vytvořeným programem byla konstruována vnější plošná variační křivka stupňů šedi jednotlivých vzorků tkanin. Se získanými hodnotami variačních koeficientů stupňů šedi obrazů vzorků tkanin bylo dále pracováno v programu Mathcad 7 Professional.

Z jednotlivých vnějších plošných variačních křivek (z dvanácti vzorků od jedné tkaniny) byla zkonstruována průměrná vnější plošná variační křivka (dále jen PVK). Dále byly počítány 95 % intervaly spolehlivosti středních hodnot plošných variačních křivek neboli variačních koeficientů stupňů šedi v závislosti na sledované ploše.



4 Grafická část experimentu

Grafická část experimentu je věnována samotným grafickým výstupům. Jsou zde znázorněny spektrogramy a některé délkové variační křivky přízí proměřených na přístroji Uster tester - 4SX. Dále jsou vidět grafy porovnávající hmotovou nestejnoměrnost přízí, chlupatost přízí, variabilitu chlupatosti přízí, slabá a silná místa, nopky atd. Také jsou zde zobrazeny vnější plošné variační křivky vzorků hodnocených tkanin. Mezi sebou budou porovnány průměrné PVK i jejich intervaly spolehlivosti.

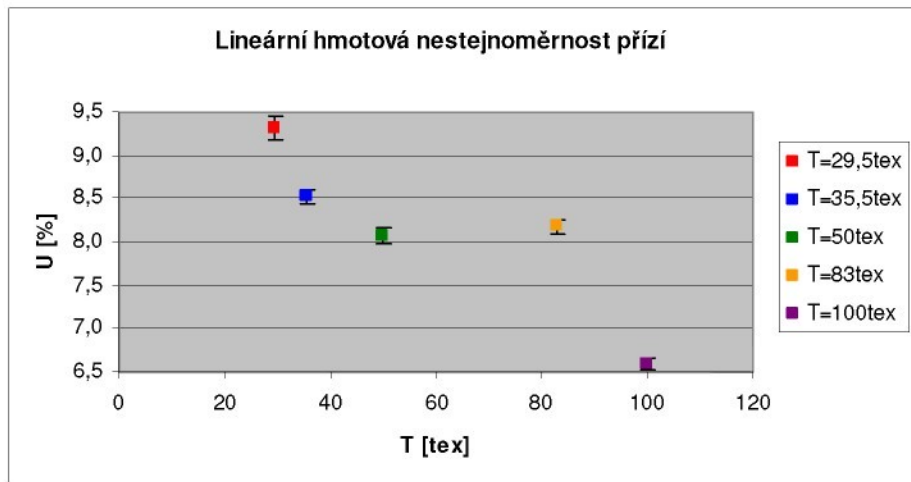
4.1 Vyhodnocení měřených přízí aparaturou USTER TESTER 4-SX

V následující části experimentu jsou uvedené grafy, které popisují přízí z hlediska statistiky. Získané hodnoty, které byly graficky znázorněny, byly naměřené aparaturou USTER TESTER-4SX. Všechny uvedené grafy jsou následně zobrazeny a vyhodnoceny. Jednotlivé hodnoty těchto grafů jsou zaznamenány vždy v tabulce nad grafem.

4.1.1 Grafické a tabelární znázornění naměřených parametrů

T [tex]	29,5	35,5	50	83	100
Cívka	U [%]				
1	9,69	8,50	8,35	8,04	6,62
2	9,09	8,57	7,97	8,31	6,47
3	9,60	8,77	8,09	8,27	6,67
4	9,26	8,43	8,14	8,25	6,73
5	9,25	8,38	7,96	8,16	6,67
6	9,11	8,65	8,04	8,35	6,42
7	9,19	8,55	8,08	8,15	6,72
8	9,40	8,49	7,94	7,92	6,53
9	9,28	8,48	8,10	8,13	6,58
10	9,29	8,38	8,01	8,16	6,58
Mean	9,32	8,52	8,07	8,17	6,60
s	0,19	0,12	0,12	0,13	0,10
Q95	0,14	0,09	0,09	0,09	0,07
Max	9,69	8,77	8,35	8,35	6,73
Min	9,09	8,38	7,94	7,92	6,42

Tab. 2 Naměřené hodnoty lineární hmotové nestejnoměrnosti na aparatuře Uster Tester-4SX

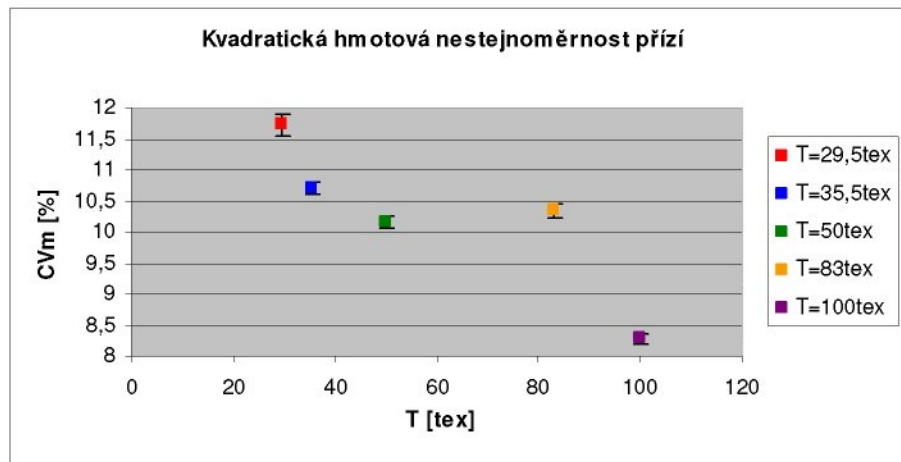


Obr. 20 Grafické znázornění lineární hmotové nestejnoměrnosti

Na obr. 20 vidíme grafické zobrazení lineární nestejnoměrnosti proměřených přízí. Jsou zobrazeny střední hodnoty a jejich 95% intervaly spolehlivosti. Je možno vidět, že se zvyšující se jemností příze hodnota U klesá. U příze jemnosti 83 tex je zjištěna zvýšená nestejnoměrnost. Kromě této hodnoty se IS u ostatních přízí nepřekrývají, což znamená, že hodnoty lineární nestejnoměrnosti mají statisticky významný rozdíl.

T [tex]	29,5	35,5	50	83	100
Cívka	CV _m [%]				
1	12,19	10,70	10,51	10,16	8,29
2	11,43	10,82	9,98	10,52	8,14
3	12,09	10,99	10,19	10,44	8,38
4	11,66	10,60	10,27	10,44	8,44
5	11,64	10,55	10,02	10,39	8,36
6	11,46	10,87	10,10	10,54	8,07
7	11,58	10,77	10,23	10,30	8,41
8	11,83	10,68	9,99	9,98	8,20
9	11,66	10,64	10,21	10,27	8,25
10	11,72	10,59	10,10	10,34	8,25
Mean	11,73	10,72	10,16	10,34	8,28
s	0,25	0,14	0,16	0,17	0,12
Q95	0,18	0,10	0,11	0,12	0,09
Max	12,19	10,99	10,51	10,54	8,44
Min	11,43	10,55	9,98	9,98	8,07

Tab. 3 Naměřené hodnoty kvadratické hmotové nestejnoměrnosti na aparatuře Uster Tester-4SX

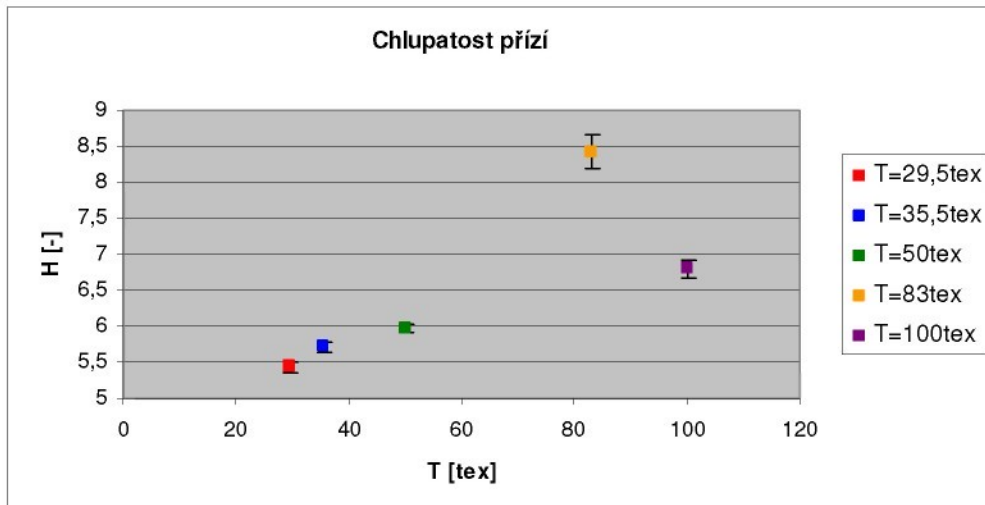


Obr. 21 Grafické znázornění kvadratické hmotové nestejnoměrnosti přízí

Na obr. 21 vidíme grafické zobrazení kvadratické nestejnoměrnosti proměřených přízí. Jsou zobrazeny střední hodnoty a jejich 95% intervaly spolehlivosti. Je možno vidět, že se zvyšující se jemností příze hodnota CV klesá. U příze jemnosti 83 tex je zjištěna zvýšená nestejnoměrnost. Kromě této hodnoty se IS u ostatních přízí nepřekrývají, což znamená, že hodnoty kvadratické nestejnoměrnosti mají statisticky významný rozdíl.

T [tex]	29,5	35,5	50	83	100
Cívka	H [-]				
1	5,48	5,71	6,01	8,23	6,67
2	5,39	5,63	5,89	7,94	6,50
3	5,41	5,67	6,06	8,14	6,77
4	5,49	5,62	5,84	8,39	6,97
5	5,42	5,72	5,92	8,61	6,96
6	5,29	5,62	5,94	9,00	6,61
7	5,33	5,67	5,89	8,18	6,72
8	5,47	5,81	6,04	8,56	6,97
9	5,58	5,91	6,04	8,38	6,94
10	5,56	5,83	6,05	8,85	6,89
Mean	5,44	5,72	5,97	8,43	6,80
s	0,09	0,10	0,08	0,33	0,17
Q95	0,07	0,07	0,06	0,24	0,12
Max	5,58	5,91	6,06	9,00	6,97
Min	5,29	5,62	5,84	7,94	6,50

Tab. 4 Naměřené hodnoty chlupatosti přízí na aparatuře Uster Tester-4SX

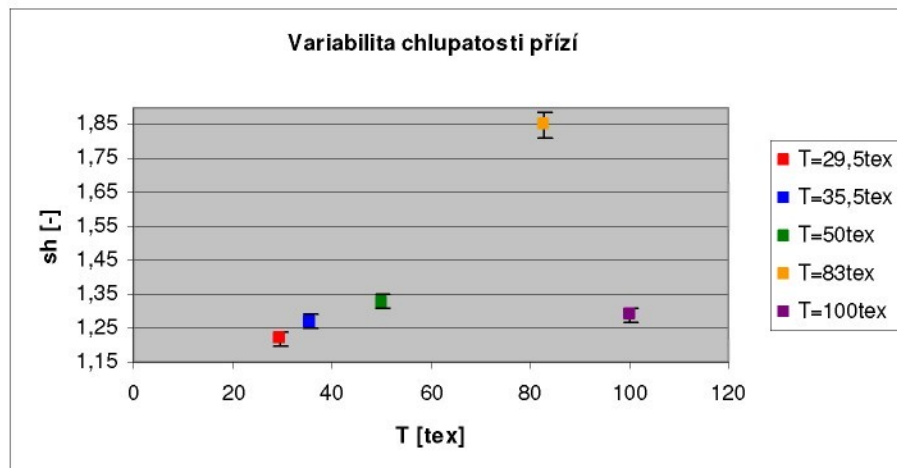


Obr. 22 Grafické znázornění chlupatosti přízí

Na obr. 22 vidíme grafické zobrazení chlupatosti proměřených přízí. Jsou zobrazeny střední hodnoty a jejich 95% intervaly spolehlivosti. Je možno vidět, že se zvyšující se jemností příze hodnota H roste. U příze jemnosti 83 tex je zjištěna zvýšená chlupatost. Dle hodnot IS je vidět, že hodnoty chlupatosti mají statisticky významný rozdíl.

T [tex]	29,5	35,5	50	83	100
Cívka	sh [-]				
1	1,26	1,29	1,33	1,8	1,26
2	1,22	1,28	1,33	1,83	1,3
3	1,24	1,28	1,37	1,84	1,33
4	1,22	1,22	1,29	1,86	1,33
5	1,17	1,28	1,3	1,94	1,31
6	1,16	1,23	1,31	1,96	1,22
7	1,18	1,27	1,32	1,78	1,28
8	1,21	1,28	1,34	1,82	1,29
9	1,24	1,3	1,35	1,81	1,3
10	1,25	1,27	1,34	1,85	1,26
Mean	1,22	1,27	1,33	1,85	1,29
s	0,03	0,02	0,02	0,06	0,03
Q95	0,02	0,02	0,02	0,04	0,02
Max	1,26	1,3	1,37	1,96	1,33
Min	1,16	1,22	1,29	1,78	1,22

Tab. 5 Naměřené hodnoty variability chlupatosti přízí na aparatuře Uster Tester-4SX



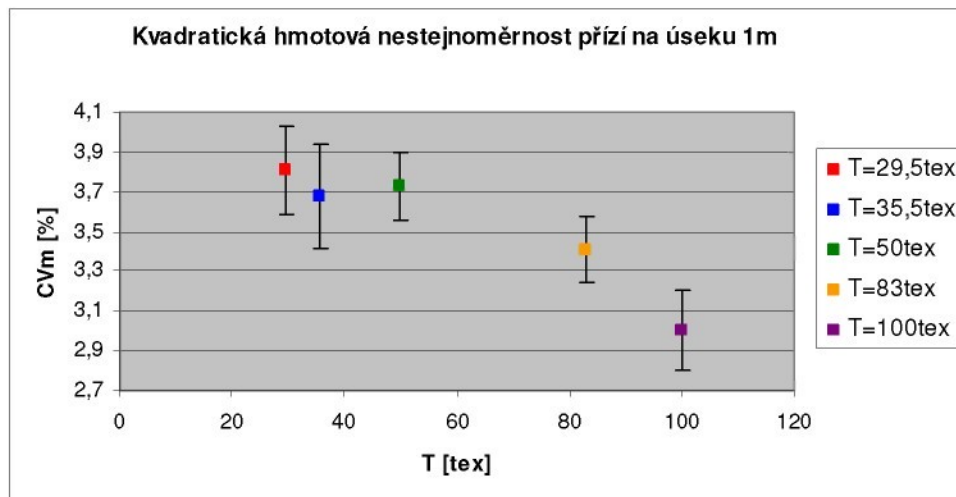
Obr. 23 Grafické znázornění variability chlupatosti přízí

Na obr. 23 vidíme grafické zobrazení variability chlupatosti proměřených přízí. Jsou zobrazeny střední hodnoty a jejich 95% intervaly spolehlivosti. Hodnoty příze jemnosti 83 tex vykazují zřetelné vychýlení - zvýšenou variabilitu chlupatosti. Kromě této hodnoty můžeme vidět i pokles hodnot příze 100 tex. Hodnoty IS této příze s hodnotami IS přízí 35,5tex a 50tex se překrývají. Z hlediska statistiky jsou rozdíly těchto hodnot nevýznamné.



T [tex]	29,5	35,5	50	83	100
Cívka	CVm [%] 1m				
1	4,47	3,50	4,11	3,10	3,62
2	3,65	3,80	3,65	3,81	2,71
3	4,04	4,06	3,81	3,32	2,95
4	3,60	3,94	3,73	3,67	3,25
5	3,61	3,15	3,44	3,29	2,84
6	4,06	4,33	3,89	3,69	2,77
7	3,90	3,55	4,03	3,38	2,99
8	3,58	3,64	3,37	3,23	3,17
9	3,48	3,49	3,71	3,21	2,89
10	3,69	3,28	3,57	3,39	2,75
Mean	3,81	3,67	3,73	3,41	3,00
s	0,30	0,36	0,24	0,23	0,28
Q95	0,22	0,26	0,17	0,17	0,20
Max	4,47	4,33	4,11	3,81	3,62
Min	3,48	3,15	3,37	3,10	2,71

Tab. 6 Naměřené hodnoty kvadratické hmotové nestejnoměrnosti příze na úseku 1m na aparatuře Uster Tester-4SX



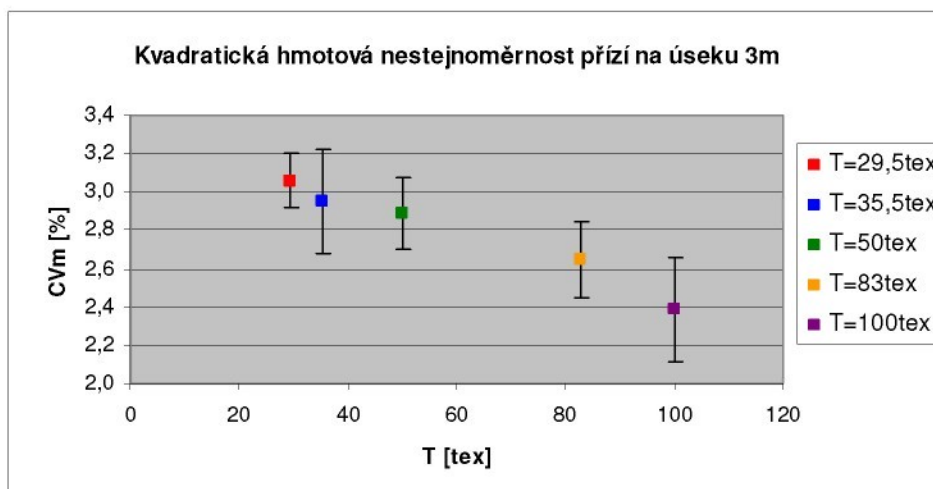
Obr. 24 Grafické znázornění kvadratické hmotové nestejnoměrnosti příze na úseku 1m

Na obr. 24 vidíme grafické zobrazení kvadratické nestejnoměrnosti proměřených přízí na úseku 1m. Jsou zobrazeny střední hodnoty a jejich 95% intervaly spolehlivosti. IS u přízí 29,5tex; 35,5tex; 50tex a 83tex se vzájemně překrývají, což znamená, že hodnoty kvadratické nestejnoměrnosti nemají statisticky významný rozdíl.



T [tex]	29,5	35,5	50	83	100
Cívka	CVm [%] 3m				
1	3,23	2,64	3,35	2,34	3,21
2	2,89	2,97	2,95	3,05	2,14
3	3,19	3,29	2,95	2,52	2,22
4	2,99	3,12	2,94	3,02	2,76
5	2,98	2,45	2,53	2,49	2,18
6	3,36	3,73	3,03	2,94	2,14
7	3,32	2,77	3,14	2,79	2,34
8	2,84	3,01	2,49	2,4	2,68
9	2,84	2,94	2,72	2,38	2,25
10	2,92	2,58	2,82	2,61	1,99
Mean	3,06	2,95	2,89	2,65	2,39
s	0,20	0,37	0,26	0,27	0,38
Q95	0,14	0,27	0,19	0,20	0,27
Max	3,36	3,73	3,35	3,05	3,21
Min	2,84	2,45	2,49	2,34	1,99

Tab. 7 Naměřené hodnoty kvadratické hmotové nestejnoměrnosti přízí na úseku 3m na aparatuře Uster Tester-4SX

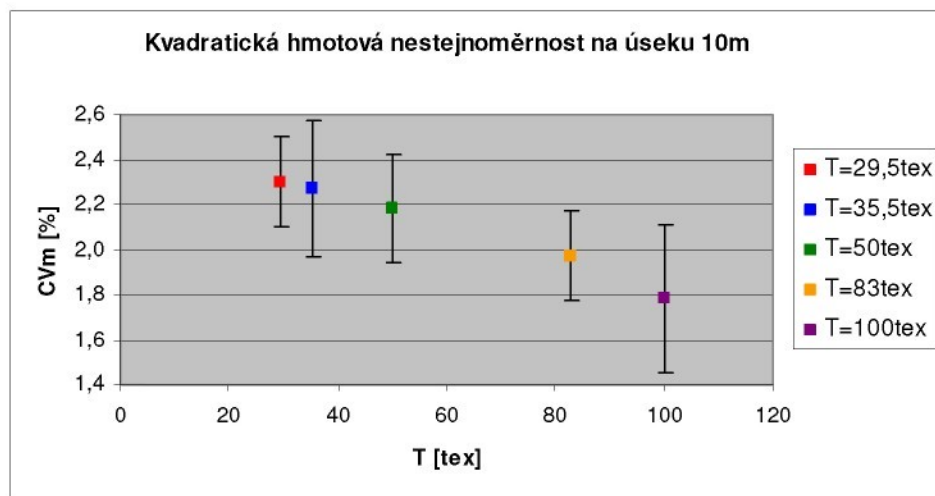


Obr. 25 Grafické znázornění kvadratické hmotové nestejnoměrnosti přízí na úseku 3m

Na obr. 25 vidíme grafické zobrazení kvadratické hmotové nestejnoměrnosti proměřených přízí na úseku 3m. Jsou zobrazeny střední hodnoty a jejich 95% intervaly spolehlivosti. Je opět vidět, že se zvyšující se jemností hmotová nestejnoměrnost přízí klesá. IS u hodnot přízí 35,5tex; 50tex; 83tex a 100tex se vzájemně překrývají - statisticky nevýznamný rozdíl.

T [tex]	29,5	35,5	50	83	100
Cívka	CVm [%] 10m				
1	2,03	1,76	2,69	1,74	2,71
2	2,09	2,33	2,14	2,42	1,67
3	2,14	2,60	2,32	1,92	1,67
4	2,30	2,26	2,35	2,21	2,38
5	2,42	1,77	1,74	1,79	1,53
6	2,79	3,13	2,42	2,43	1,31
7	2,74	2,16	2,46	1,99	1,59
8	2,15	2,46	1,75	1,77	1,98
9	2,31	2,38	1,74	1,72	1,62
10	2,05	1,89	2,14	1,74	1,31
Mean	2,30	2,27	2,18	1,97	1,78
s	0,27	0,42	0,34	0,28	0,46
Q95	0,20	0,30	0,24	0,20	0,33
Max	2,79	3,13	2,69	2,43	2,71
Min	2,03	1,76	1,74	1,72	1,31

Tab. 8 Naměřené hodnoty kvadratické hmotové nestejnoměrnosti přízí na úseku 10m na aparatuře Uster Tester-4SX

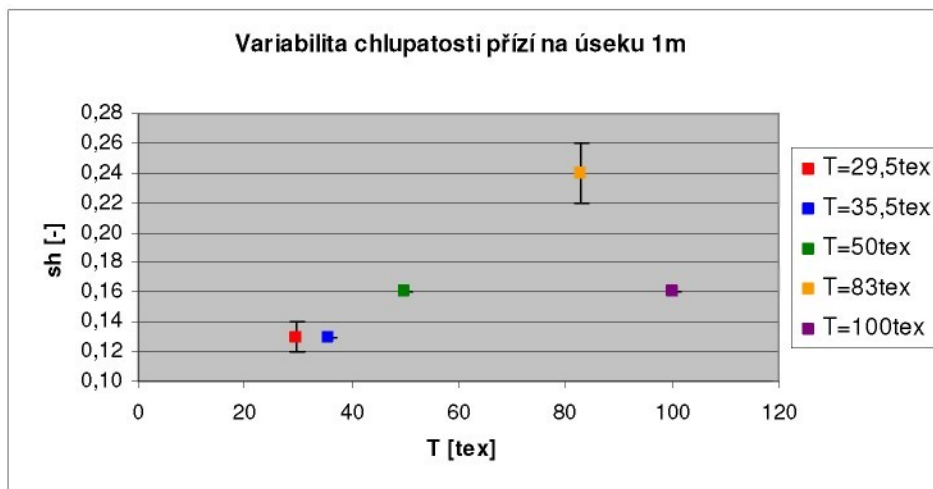


Obr. 26 Grafické znázornění kvadratické hmotové nestejnoměrnosti přízí na úseku

Na obr. 26 vidíme grafické zobrazení kvadratické hmotové nestejnoměrnosti proměřených přízí na úseku 10m. Jsou zobrazeny střední hodnoty a jejich 95% intervaly spolehlivosti. Je opět vidět, že se zvyšující se jemností hmotová nestejnoměrnost přízí klesá. IS hodnot přízí 29,5tex; 35,5tex; 50tex; 83tex a 100tex se vzájemně překrývají - statisticky nevýznamný rozdíl.

T [tex]	29,5	35,5	50	83	100
Cívka	sh[-) 1m	sh[-) 1m	sh[-) 1m	sh[-) 1m	sh[-) 1m
1	0,15	0,13	0,16	0,23	0,16
2	0,12	0,14	0,16	0,21	0,16
3	0,14	0,14	0,17	0,25	0,16
4	0,14	0,12	0,15	0,22	0,17
5	0,12	0,13	0,15	0,26	0,16
6	0,12	0,13	0,16	0,27	0,16
7	0,12	0,13	0,16	0,22	0,16
8	0,13	0,13	0,16	0,24	0,17
9	0,14	0,13	0,16	0,22	0,17
10	0,15	0,13	0,15	0,25	0,17
Mean	0,13	0,13	0,16	0,24	0,16
s	0,01	0,00	0,01	0,02	0,01
Q95	0,01	0,00	0,00	0,02	0,00
Max	0,15	0,14	0,17	0,27	0,17
Min	0,12	0,12	0,15	0,21	0,16

Tab. 9 Naměřené hodnoty variability chlupatosti příze na úseku 1m na aparatuře Uster Tester-4SX

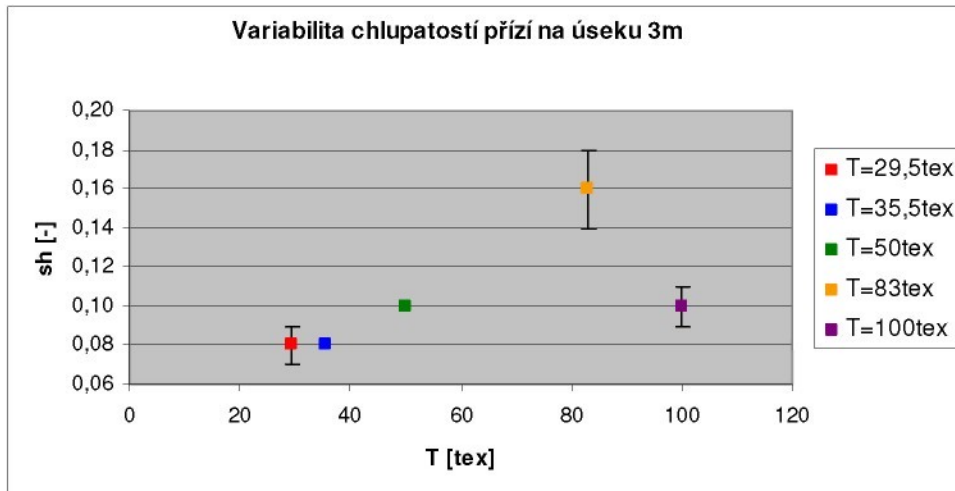


Obr. 27 Grafické znázornění variability chlupatosti příze na úseku 1m

Na obr. 27 vidíme grafické zobrazení variability chlupatosti proměřených přízí na úseku 1m. Jsou zobrazeny střední hodnoty a jejich 95% intervaly spolehlivosti. IS hodnot příze 29,5tex a 35,5tex se vzájemně překrývají. To znamená, že tyto hodnoty mají statisticky nevýznamné rozdíly. Naměřené střední hodnoty příze 50tex a 100tex jsou shodné. U příze jemnosti 83 tex je zjištěna zvýšená hodnota variability chlupatosti.

T [tex]	29,5	35,5	50	83	100
Cívka	sh[-] 3m	sh[-] 3m	sh[-] 3m	sh[-] 3m	sh[-] 3m
1	0,09	0,08	0,10	0,15	0,09
2	0,07	0,09	0,10	0,13	0,10
3	0,08	0,09	0,10	0,16	0,09
4	0,09	0,08	0,09	0,14	0,10
5	0,08	0,08	0,09	0,19	0,10
6	0,07	0,08	0,10	0,20	0,11
7	0,08	0,07	0,10	0,14	0,10
8	0,09	0,08	0,09	0,16	0,10
9	0,09	0,08	0,10	0,13	0,11
10	0,09	0,08	0,10	0,17	0,11
Mean	0,08	0,08	0,10	0,16	0,10
s	0,01	0,01	0,00	0,02	0,11
Q95	0,01	0,00	0,00	0,02	0,01
Max	0,09	0,09	0,10	0,20	0,11
Min	0,07	0,07	0,09	0,13	0,09

Tab. 10 Naměřené hodnoty variability chlupatosti přízí na úseku 3m na aparatuře Uster Tester-4SX

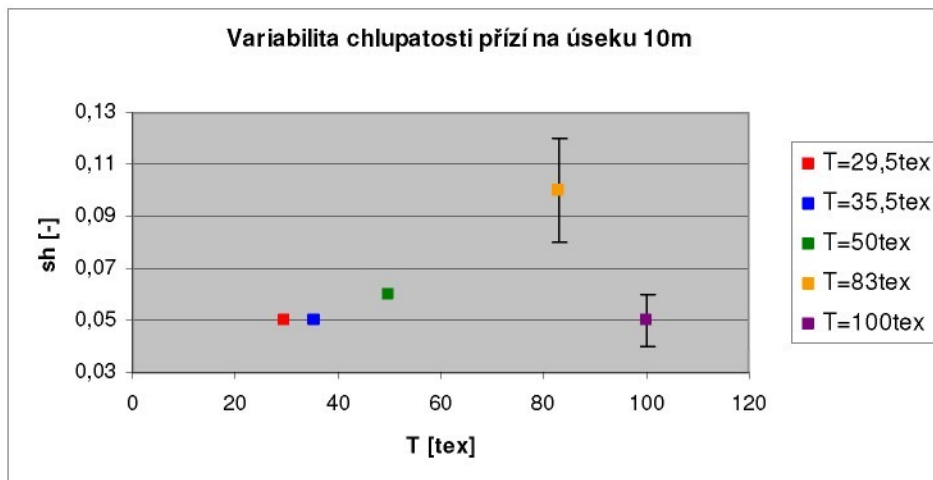


Obr. 28 Grafické znázornění variability chlupatosti přízí na úseku 3m

Na obr. 28 vidíme grafické zobrazení variability chlupatosti proměřených přízí na úseku 3m. Jsou zobrazeny střední hodnoty a jejich 95% intervaly spolehlivosti. Naměřené střední hodnoty přízí 29,5tex a 35,5tex jsou shodné. Stejně tak je tomu u hodnot 50tex a 100tex. U příze jemnosti 83 tex je zjištěna zvýšená hodnota variability chlupatosti.

T [tex]	29,5	35,5	50	83	100
Cívka	sh[-] 10m	sh[-] 10m	sh[-] 10m	sh[-] 10m	sh[-] 10m
1	0,05	0,05	0,07	0,08	0,06
2	0,04	0,06	0,06	0,08	0,05
3	0,05	0,05	0,06	0,10	0,04
4	0,06	0,04	0,05	0,08	0,06
5	0,05	0,05	0,05	0,12	0,05
6	0,04	0,06	0,06	0,15	0,06
7	0,05	0,04	0,06	0,08	0,05
8	0,05	0,05	0,06	0,11	0,05
9	0,05	0,05	0,06	0,07	0,07
10	0,06	0,05	0,06	0,11	0,06
Mean	0,05	0,05	0,06	0,10	0,05
s	0,01	0,01	0,01	0,02	0,01
Q95	0,00	0,00	0,00	0,02	0,01
Max	0,06	0,06	0,07	0,15	0,07
Min	0,04	0,04	0,05	0,07	0,04

Tab. 11 Naměřené hodnoty variability chlupatosti příze na úseku 10m na aparatuře Uster Tester-4SX

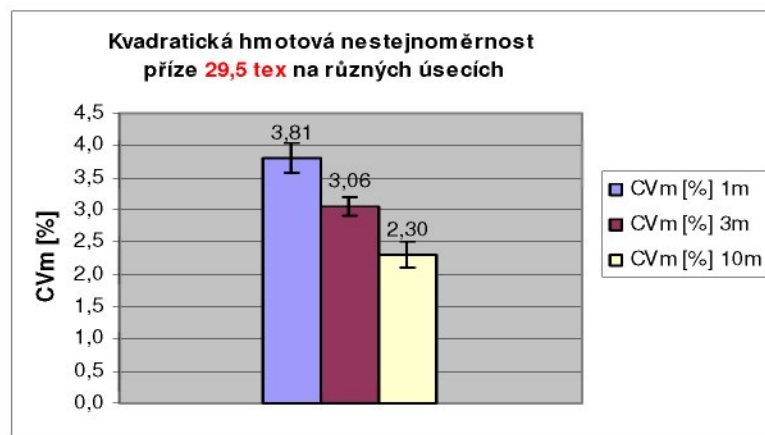


Obr. 29 Grafické znázornění variability chlupatosti příze na úseku 10m

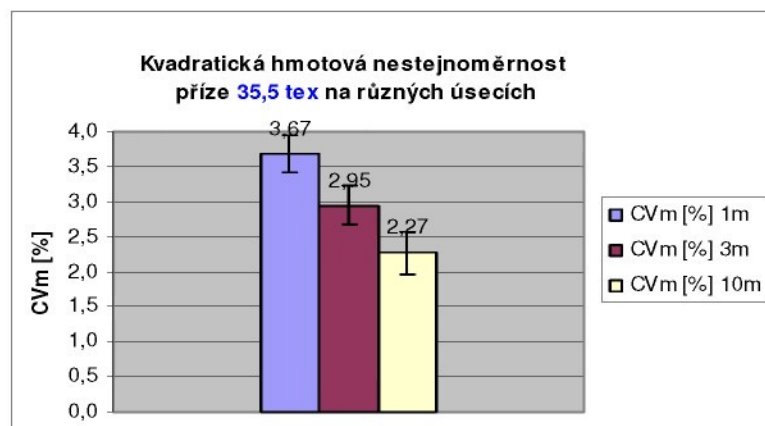
Na obr. 29 vidíme grafické zobrazení variability chlupatosti proměřených přízí na úseku 3m. Jsou zobrazeny střední hodnoty a jejich 95% intervaly spolehlivosti. Naměřené střední hodnoty příze 29,5tex; 35,5tex a 100tex jsou shodné. U příze jemnosti 83 tex je zjištěna zvýšená hodnota variability chlupatosti.



4.1.2 Grafické znázornění parametrů hmotové nestejnoměrnosti přízí na úsecích 1m, 3m, 10m



Obr. 30 Grafické znázornění kvadratické hmotové nestejnoměrnosti příze 29,5 tex na úsecích 1m, 3m a 10m



Obr. 31 Grafické znázornění kvadratické hmotové nestejnoměrnosti příze 35,5 tex na úsecích 1m, 3m a 10m



Obr. 32 Grafické znázornění kvadratické hmotové nestejnoměrnosti příze 50 tex na úsecích 1m, 3m a 10m



Obr. 33 Grafické znázornění kvadratické hmotové nestejnoměrnosti příze 83tex na úsecích 1m, 3m a 10m

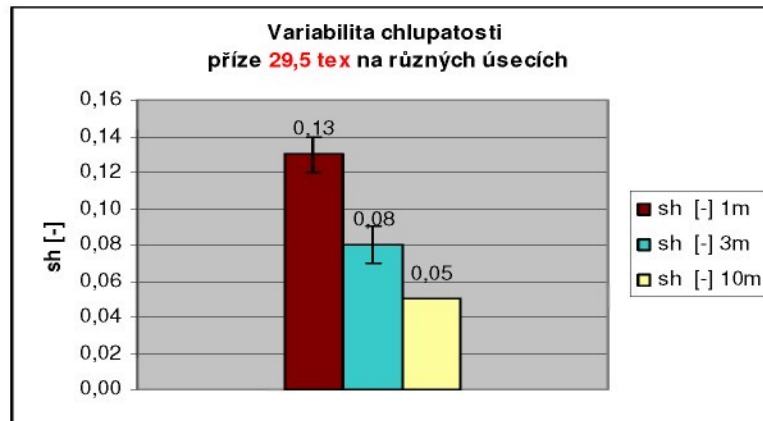


Obr. 34 Grafické znázornění kvadratické hmotové nestejnoměrnosti příze 100 tex na úsecích 1m, 3m a 10m

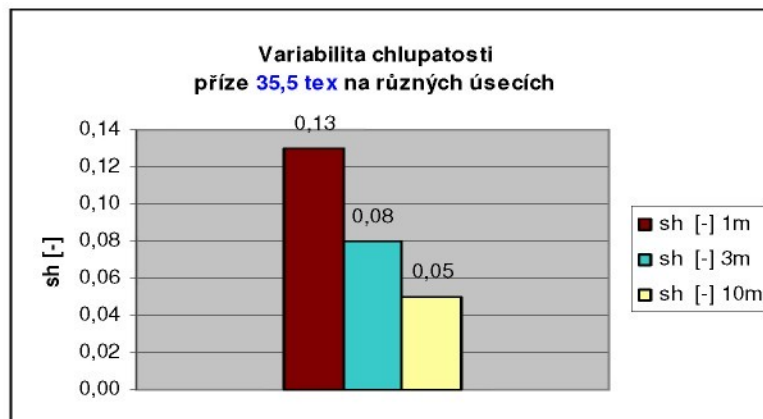
Na obr. 30 - 34 je možno vidět grafické znázornění kvadratické hmotové nestejnoměrnosti proměřených přízí na úsecích 1m, 3m a 10m. Jsou zobrazeny střední hodnoty a jejich 95% intervaly spolehlivosti. Je vidět, že variabilita hmotnosti mezi většími úseky klesá. Což vlastně kopíruje průběh délkové variační křivky.



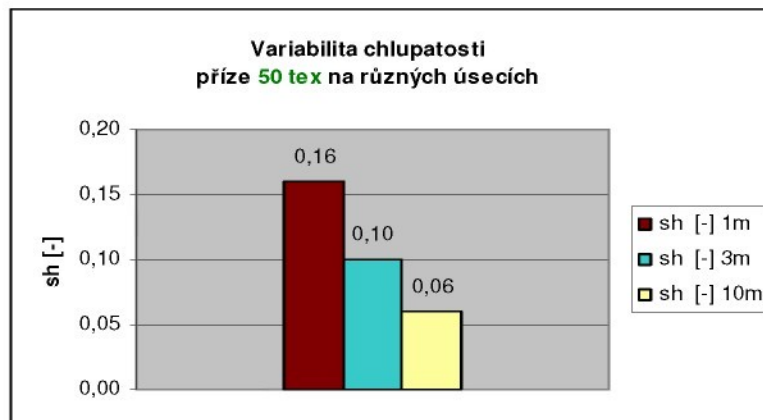
4.1.3 Grafické znázornění parametrů variability chlupatosti příze na úsecích 1m, 3m, 10m



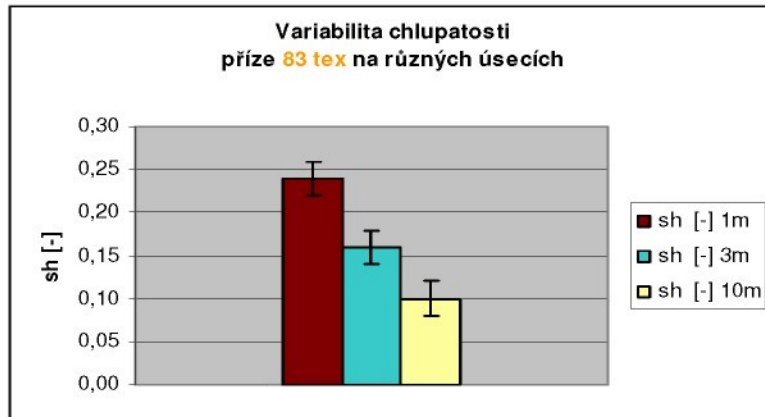
Obr. 35 Grafické znázornění variability chlupatosti příze 29,5 tex na úsecích 1m, 3m a 10m



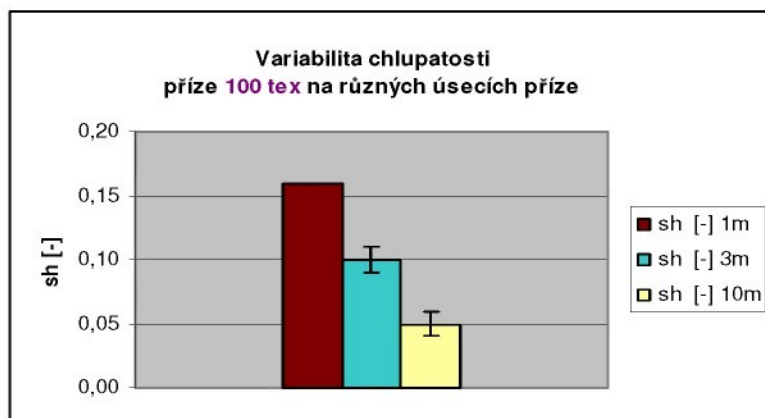
Obr. 36 Grafické znázornění variability chlupatosti příze 35,5 tex na úsecích 1m, 3m a 10m



Obr. 37 Grafické znázornění variability chlupatosti příze 50 tex na úsecích 1m, 3m a 10m



Obr. 38 Grafické znázornění variability chlupatosti příze 83 tex na úsecích 1m, 3m a 10m



Obr. 39 Grafické znázornění variability chlupatosti příze 100 tex na úsecích 1m, 3m a 10m

Na obr. 35 - 39 je možno vidět grafické znázornění variability chlupatosti proměřených přízí na úsecích 1m, 3m a 10m. Jsou zobrazeny střední hodnoty a jejich 95% intervaly spolehlivosti. Je vidět, že variabilita mezi většími úseky klesá.

Závěrem lze konstatovat, že u příze jemnosti 83 tex byly naměřeny zvýšené hodnoty jak hmotové lineární a kvadratické nestejnoměrnosti, tak i chlupatosti a variability chlupatosti. Ve spektrogramech ani LVC křivkách nebyly však zjištěny žádné anomálie. Při srovnání naměřených hodnot této příze s hodnotami ostatních přízí vyskytujících se na trhu ve standardu Uster Statistics se však nejedná o výrazně vychylující se hodnoty.

Obecně lze říci, že všechny tyto vyráběné příze s označením Syncrofil vykazují velice dobré parametry hmotové nestejnoměrnosti. Jejich parametry při srovnání v celosvětových standardech Uster Statistics se pohybují na hranici 5%.

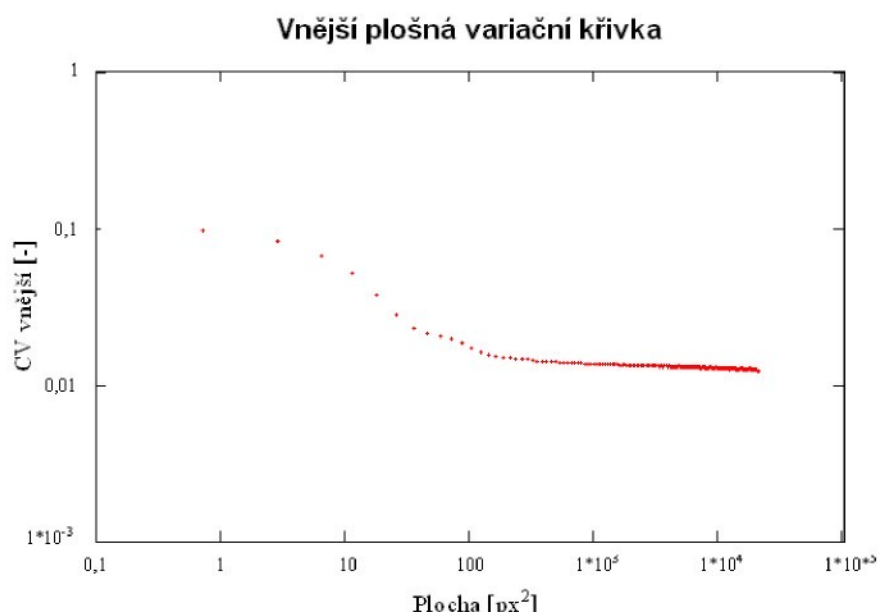


4.2 Plošné variační křivky

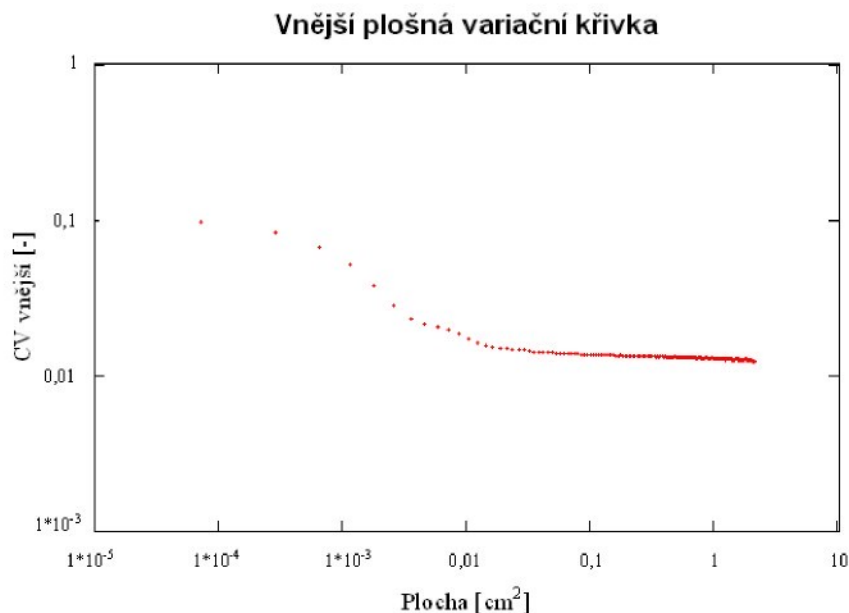
4.2.1 Konstrukce vnější plošné variační křivky

Na obr. 40 je vidět vnější plošná variační křivka, která se skládá z jednotlivých bodů. Vzhledem k tomu, že se sledovaná plocha skládá ze 1700×1700 bodů a minimální počet sledovaných čtverců je 10, křivku tvoří 170 bodů. Každý bod představuje jeden variační koeficient stupňů šedi obrazu tkaniny v závislosti na velikosti sledované plochy.

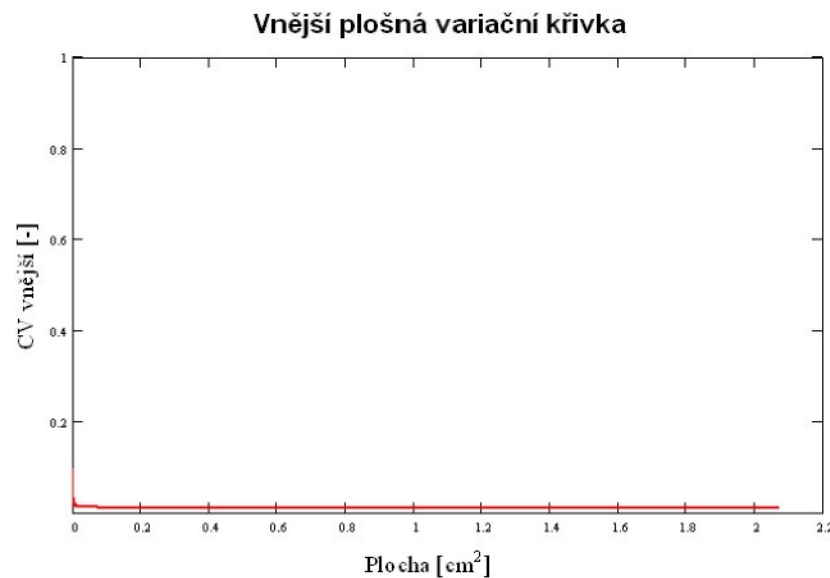
Aby křivka měla souřadnici x odpovídající skutečné ploše vzorku v cm^2 , byl proveden přepočet souřadnic dle vztahu (14), (viz Obr. 41).



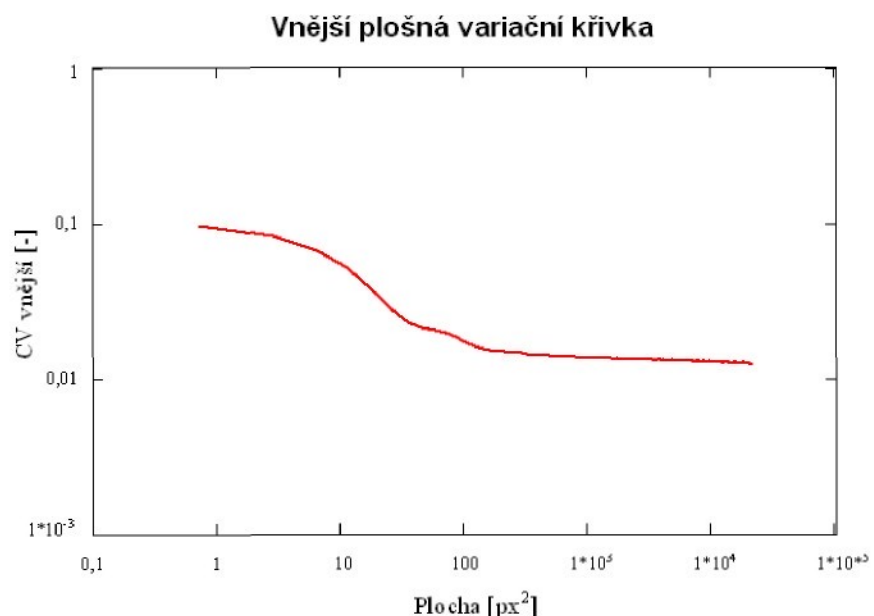
Obr. 40 Konstrukce vnější plošné variační křivky (souřadnice x v px^2)

Obr. 41 Konstrukce vnější plošné variační křivky (souřadnice x v cm²)

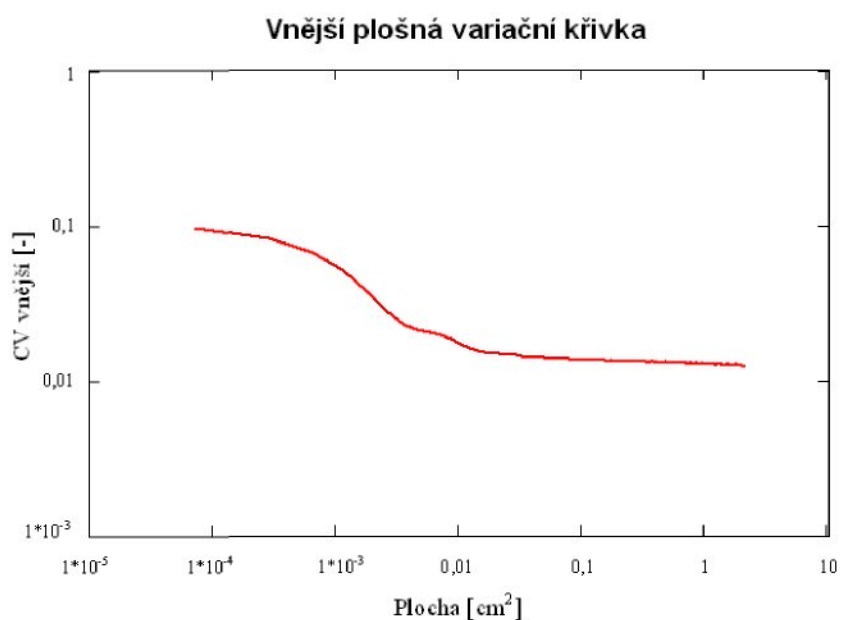
Na obr. 42 je znázorněna křivka, kdy bylo v programu Mathcad 7 Professional zvoleno lineární měřítko. Na obr. 43 je vidět stejná křivka, ale tentokrát bylo zvoleno logaritmické měřítko. Průběh křivky je zde tak zobrazen mnohem přehledněji. Na obr. 44 je vidět stejná křivka opět ale přepočtena na cm².



Obr. 42 Konstrukce vnější plošné variační křivky - lineární měřítko



Obr. 43 Konstrukce vnější plošné variační křivky - logaritmické měřítko (souřadnice x v px²)

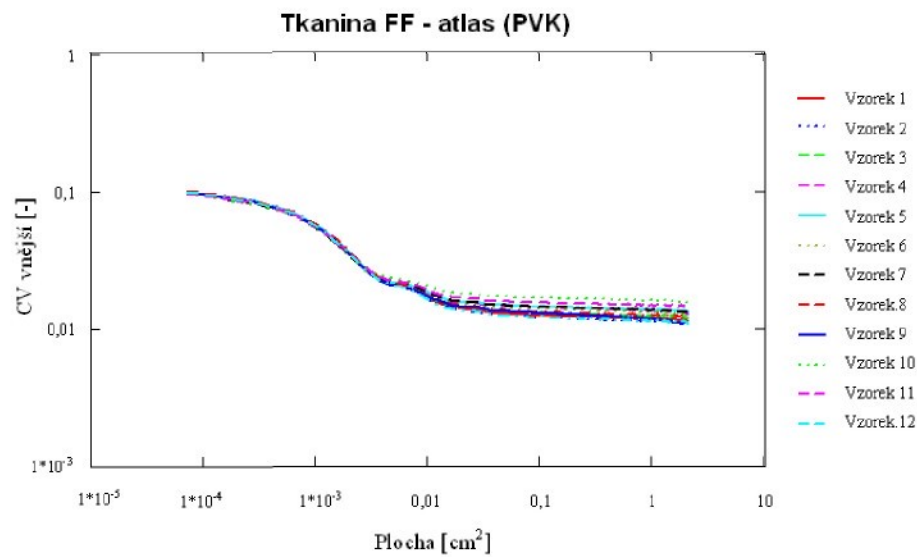


Obr. 44 Konstrukce vnější plošné variační křivky - logaritmické měřítko (souřadnice x v cm²)

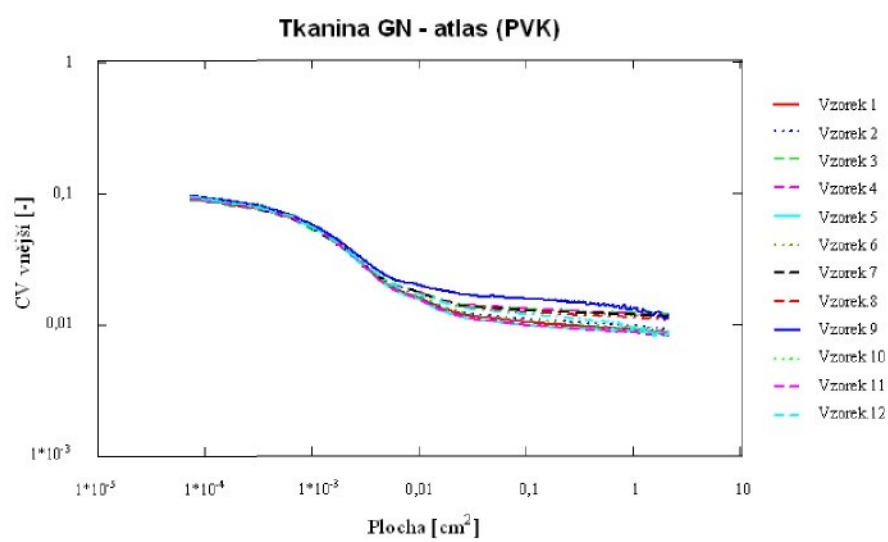


4.2.2 Vnější plošné variační křivky jednotlivých vzorků tkanin

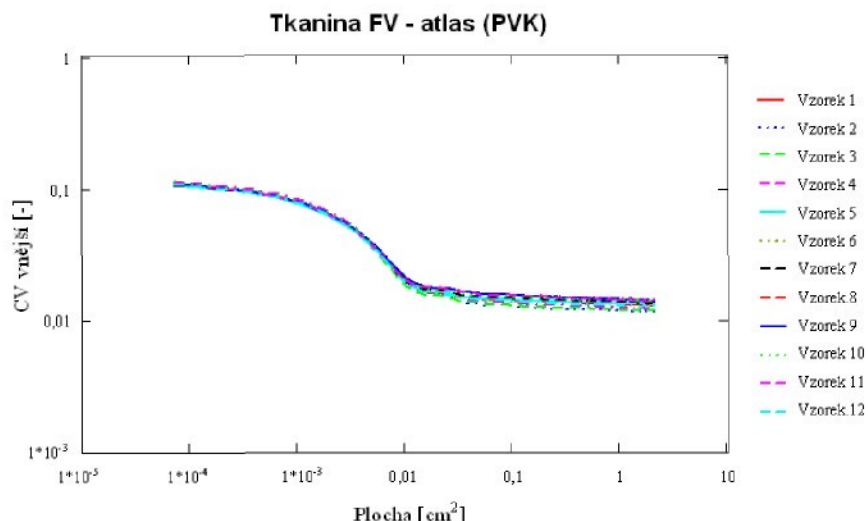
Jak bylo už výše uvedeno, z každé tkaniny bylo náhodně odebráno 12 vzorků tkaniny, a tak bylo vždy zkonstruováno 12 vnějších plošných variačních křivek (tj. každému vzorku náleží jedna vnější plošná variační křivka).



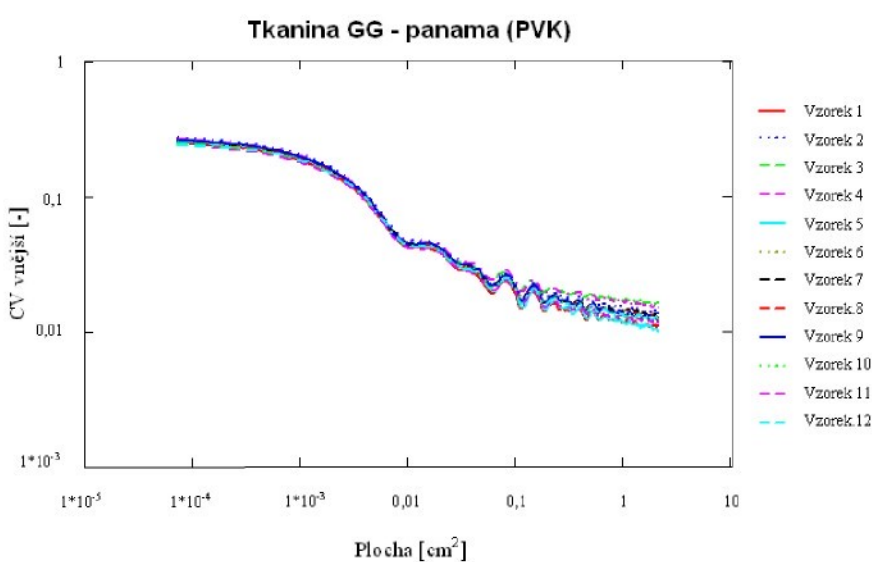
Obr. 45 Vnější plošné variační křivky 12 vzorků tkaniny FF



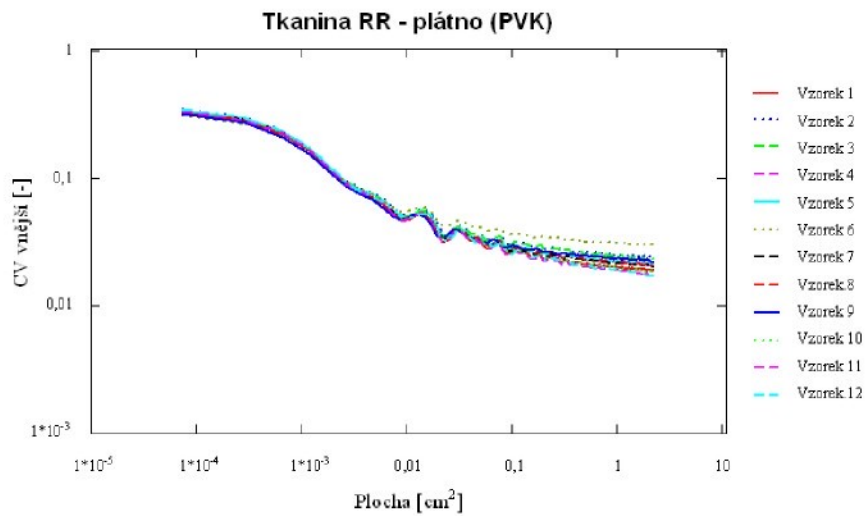
Obr. 46 Vnější plošné variační křivky 12 vzorků tkaniny GN



Obr. 47 Vnější plošné variační křivky 12 vzorků tkaniny FV



Obr. 48 Vnější plošné variační křivky 12 vzorků tkaniny GG



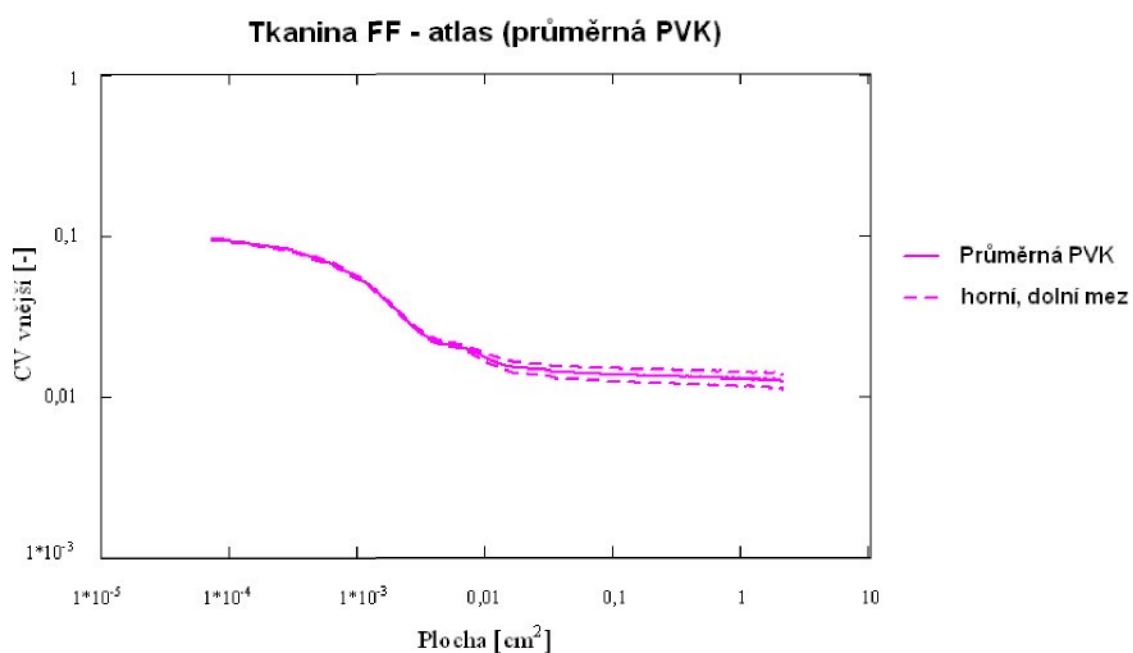
Obr. 49 Vnější plošné variační křivky 12 vzorků tkaniny RR



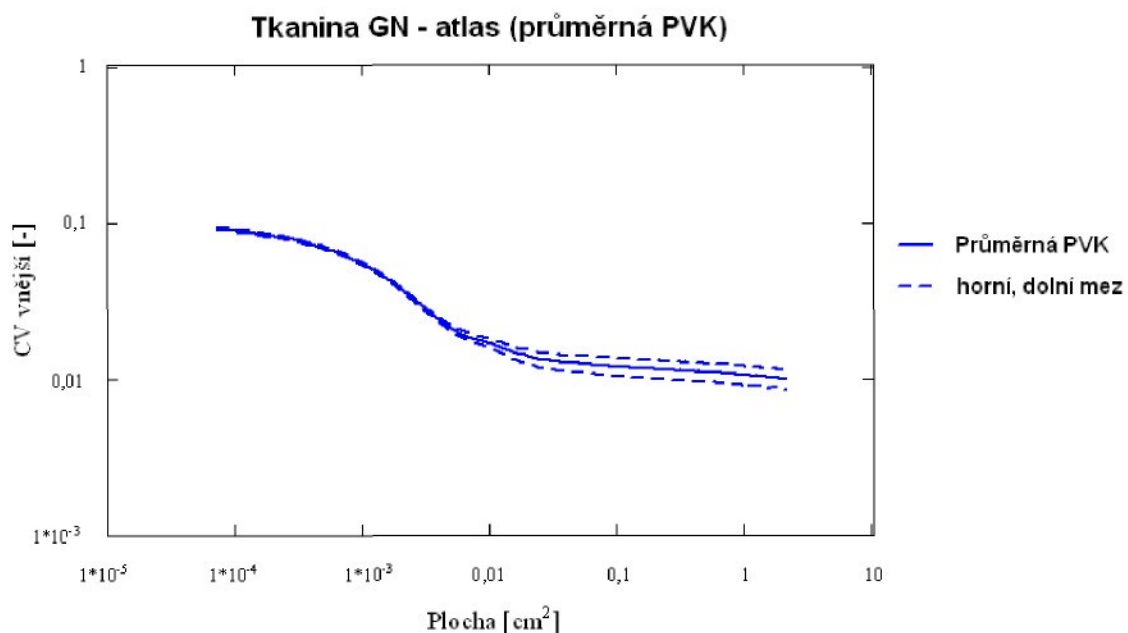
4.2.3 Průměrné vnější plošné variační křivky a intervaly spolehlivosti

Z jednotlivých vnějších plošných variačních křivek byla zkonstruována průměrná vnější plošná variační křivka

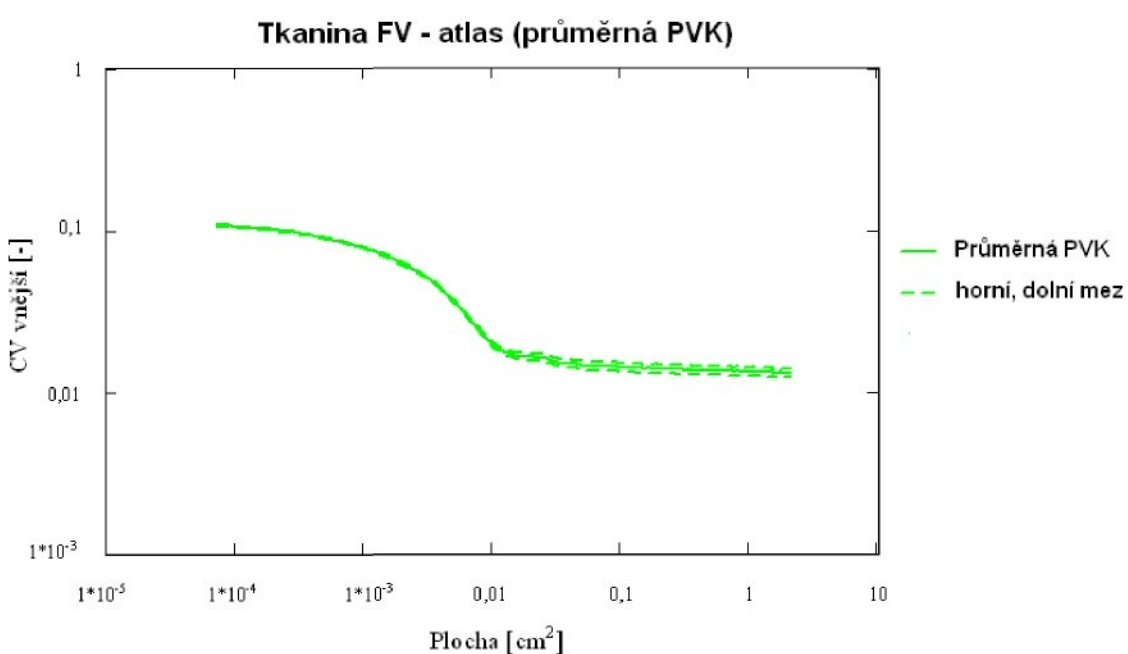
Dále byly počítány a graficky znázorněny 95 % intervaly spolehlivosti středních hodnot plošných variačních křivek neboli variačních koeficientů stupňů šedi v závislosti na sledované ploše viz obr. 50-54.



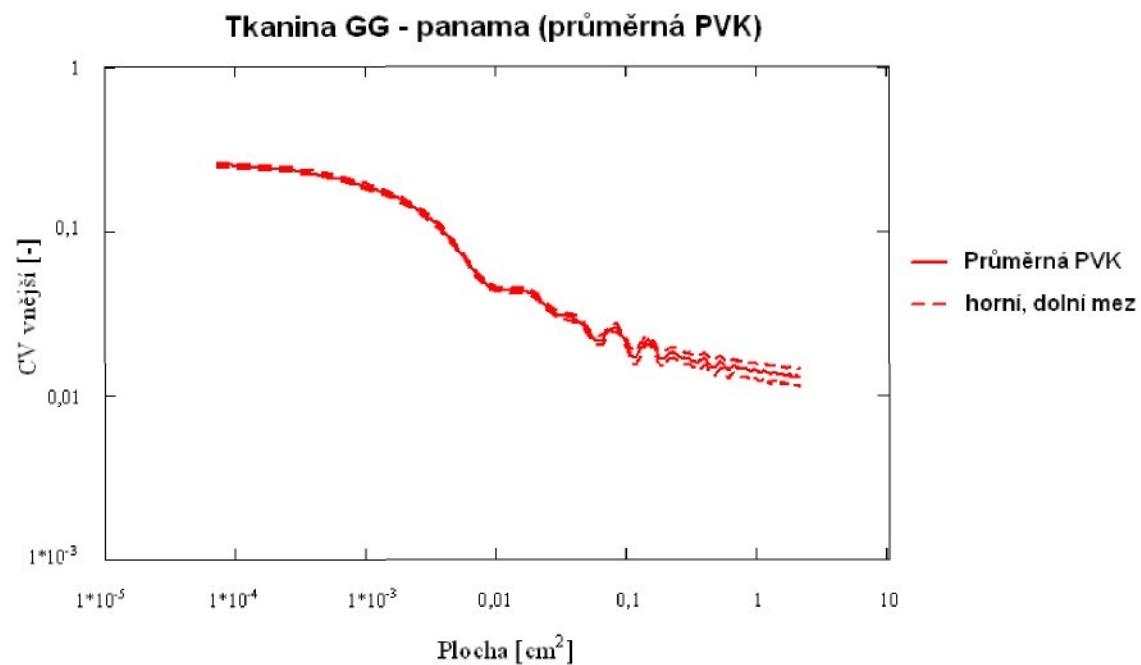
Obr. 50 Průměrná vnější plošná variační křivka a intervaly spolehlivosti - tkanina FF



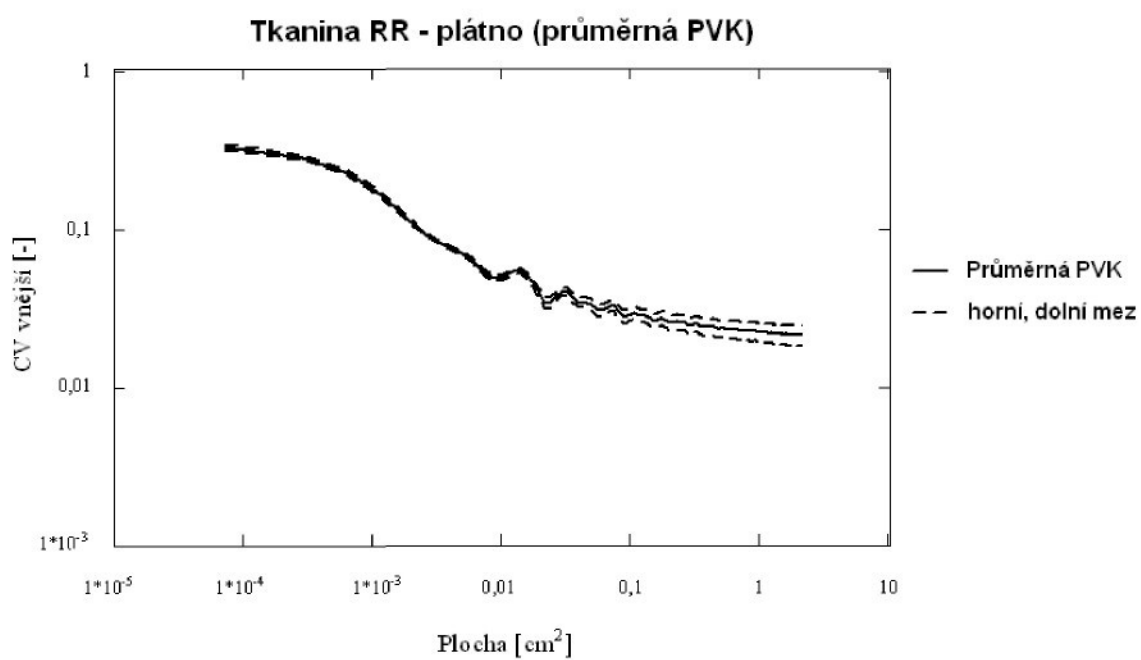
Obr. 51 Průměrná vnější plošná variační křivka a intervaly spolehlivosti - tkanina GN



Obr. 52 Průměrná vnější plošná variační křivka a intervaly spolehlivosti - tkanina FV



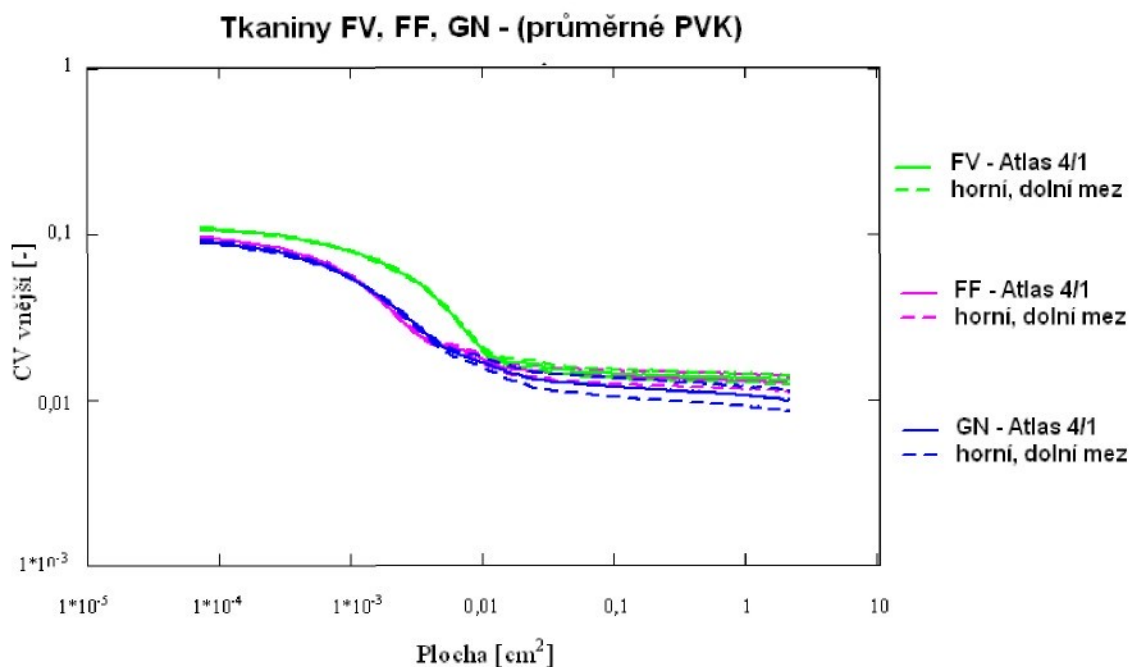
Obr. 53 Průměrná vnější plošná variační křivka a intervaly spolehlivosti - tkanina GG



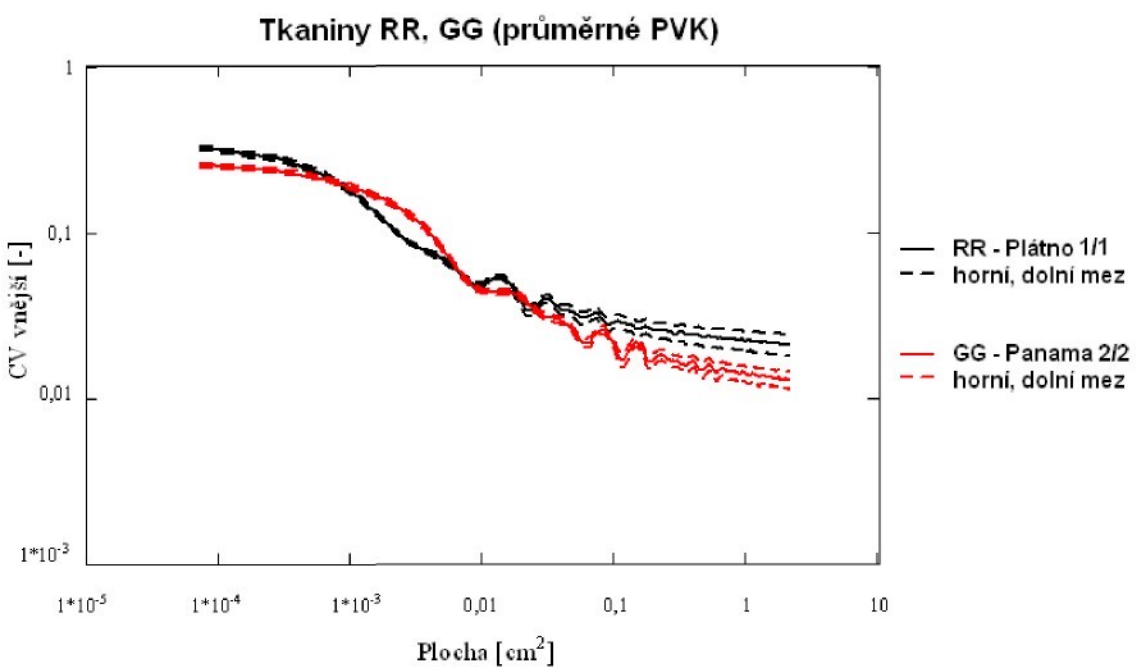
Obr. 54 Průměrná vnější plošná variační křivka a intervaly spolehlivosti - tkanina RR



4.2.4 Vzájemné porovnání průměrných plošných variačních křivek (PVK)



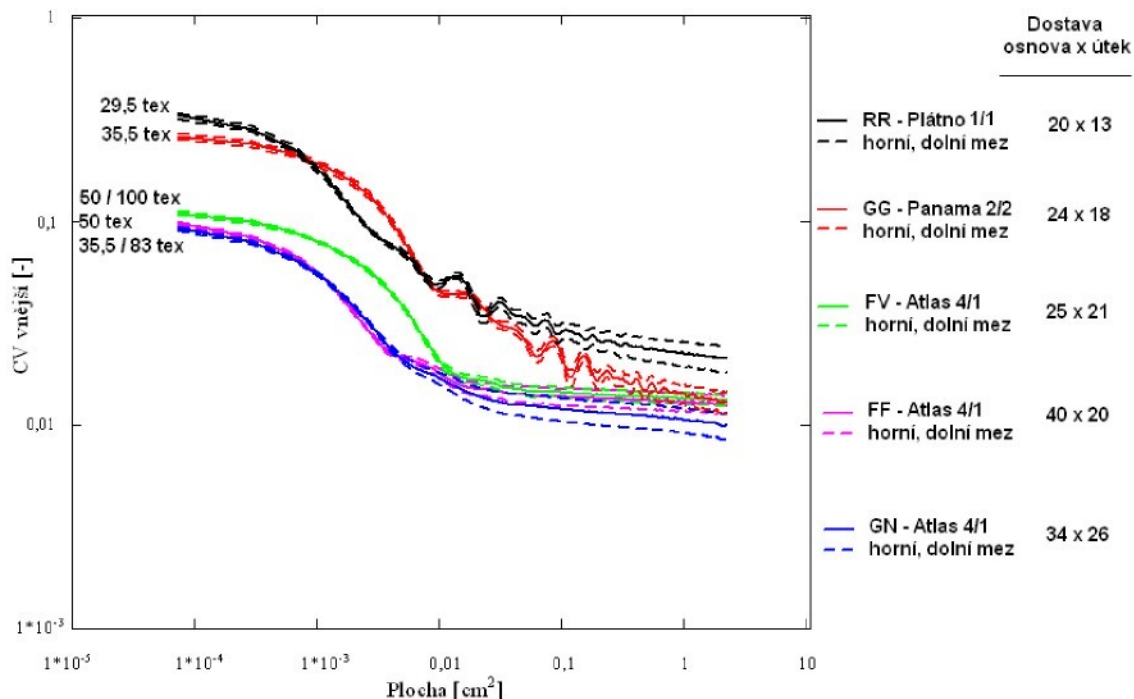
Obr. 55 Průměrné vnější PVK a jejich intervaly spolehlivosti – tkaniny FF, GN a FV.



Obr. 56 Průměrné vnější PVK a jejich intervaly spolehlivosti – tkaniny GG a RR.



Porovnání všech průměrných PVK



Obr. 57 Průměrné vnější PVK a jejich intervaly spolehlivosti – tkaniny FF, GN, FV, GG a RR

V této kapitole se vzájemně mezi sebou porovnávaly všechny průměrné vnější plošné variační křivky. V grafu můžeme vidět dvě skupiny křivek. První skupinu křivek tvoří červená a černá křivka, které jsou položeny nejvýše. Na menších plochách čtverců je černá křivka položena nad červenou a asi na ploše od $0,001\text{cm}^2$ do $0,01\text{ cm}^2$ se dostává pod ní. Jejich výrazné zvlnění je způsobeno patrně jejich vazbou. Obě křivky náleží tkaninám vyrobených v plátnové vazbě (přičemž tkanina GG ve zdvojené plátnové vazbě – panamě PA2/2). Je třeba si všimnout, že obě tkaniny mají nejmenší dostavu osnovy i útku ze všech testovaných tkanin.

Druhou skupinu křivek tvoří křivky (zelená, fialová, modrá), které náleží tkaninám utkaných v atlasové vazbě (osnovní atlas 4/1 – satén). Tyto křivky jsou položeny níže a to hlavně na plochách mezi $0,0004\text{ cm}^2$ až $0,1\text{ cm}^2$. Jedná se o tkaniny s větší dostavou po útku i osnově, než tomu bylo u tkanin RR a GG.



Z grafu je vidět, že u plátnové vazby se jeví trochu vyšší variabilita než u atlasové vazby. Největší rozdíly jsou na malých plochách čtverců. Na velkých plochách už vazba a dostava tkaniny ztrácí na významu. Na plochách 1 cm^2 můžeme vidět, že IS křivek se překrývají, čili jejich hodnoty na větších plochách čtverců mají statisticky nevýznamný rozdíl - jsou statisticky nevýznamné.



5 Závěr

V závěru diplomové práce jsou shrnutý hlavní body a zhodnoceny výsledky jednotlivých měření. Rešeršní část je zaměřena na teoretické poznatky o vztahu hmotové nestejnoměrnosti příze a nestejnoměrnosti vzhledu u plošných textilií. V této části jsou dále také popsány některé vybrané vlastnosti příze ovlivňující vzhled tkaniny. Hlavní pozornost této práce je však věnována experimentální části.

První část experimentu byla realizována v podmínkách bavlnářské přádelny KTC Plavy. Zde byla na přístroji Uster Tester - 4SX provedena jednotlivá měření a podrobný rozbor parametrů a charakteristických funkcí hmotové nestejnoměrnosti a chlupatosti aktuálně vyráběných přízí. Jednalo se o 5 přízí různých jemností a to: 29,5tex; 35,5tex; 50tex; 83tex; 100tex. Jedná se o 100% polyesterové příze vyráběné rotorovou technologií. Hodnotila se kvadratická a lineární hmotová nestejnoměrnost, chlupatost, dále kvadratická hmotová nestejnoměrnost a variabilita chlupatosti na různých úsecích měřené příze. Firma KTC Plavy také poskytla tkaniny vyrobené z těchto přízí.

U příze jemnosti 83tex byly naměřeny zvýšené hodnoty jak hmotové lineární a kvadratické nestejnoměrnosti, tak i chlupatosti a variability chlupatosti. Při srovnání naměřených hodnot této příze s hodnotami ostatních přízí vyskytujících se na trhu ve standardu Uster Statistics se však nejedná o výrazně vychylující se hodnoty.

Obecně lze říci, že všechny tyto příze s označením Syncrofil vykazují velice dobré parametry hmotové nestejnoměrnosti. Jejich parametry při srovnání v celosvětových standardech Uster Statistics se pohybují na hranici 5%.

Hlavním úkolem této diplomové práce bylo zpracování tématiky plošné nestejnoměrnosti plošných textilií. Cílem bylo sledovat chování vnějších plošných variační křivek a vyhodnotit vliv vybraných vlastností (hmotové nestejnoměrnosti a variability chlupatosti) na nestejnoměrnost vzhledu hodnocených tkanin.

Při hodnocení nestejnoměrnosti v ploše byla zvolena metoda pomocí plošných variačních křivek. Jedná se o objektivní metodu hodnocení plošné nestejnoměrnosti textilií. Bylo zde pracováno se vzorky několika reálných textilií, které byly odebírány z



tkanin různých parametrů. Jedná se o tkaniny různého materiálového složení, různé dostavy osnovy a útku a různých vazeb.

Obraz reálné textilie byl získán naskenováním vzorků jednotlivých tkanin při rozlišení 300dpi z lícní strany tkaniny. Vzorek byl vždy ve scanneru mírně zatížen černými deskami, aby nedocházelo ke zvlnění materiálu. Černé pozadí bylo použito, protože dřívější studie prokázaly [6], že variační koeficient stupňů šedi vzorku s tmavým podkladem je vyšší. Místa mezi nitěmi jsou díky prosvítání podkladu černá a jednotlivé stupně šedi více kolísají.

Takto získané digitální obrazy reálné textilie byly zpracovány speciálně vytvořeným programem dle prof. Militkého v prostředí Matlab, který na základě kolísání stupňů šedi obrazu tkaniny konstruuje vnější plošné variační křivky. Se získanými hodnotami variačních koeficientů stupňů šedi obrazů vzorků tkanin bylo dále pracováno v programu Mathcad 7 Professional. Byly sledovány stupně šedi jednotlivých obrazových bodů a počítán variační koeficient stupňů šedi v celé hodnocené ploše vzorku a v různě velkých čtvercích vzorku.

Bylo hodnoceno celkem 5 různých tkanin, přičemž z každé tkaniny bylo odebráno vždy 12 vzorků. Dostali jsme tak 12 plošných variačních křivek. Z těchto křivek byla zkonstruována průměrná vnější plošná variační křivka a její 95 % intervaly spolehlivosti. Všechny křivky byly mezi sebou porovnány. U vzorků tkaniny RR s nejmenší dostavou osnovy a útku (tj. nejřidší tkaninou) je vnější PVK položena nejvíce. Její hodnoty CV vnější jsou ze všech nejvyšší, a to hlavně na malých plochách. Tedy u plátnové vazby se jeví trochu vyšší variabilita než u atlasové vazby. Je to dáno tím, že u této tkaniny nejvíce prosvěcuje černé pozadí. Na menších plochách je zachycen vliv vazby a dostavy tkaniny, zatímco na větších plochách se vliv vazby a dostavy ztrácí.

Je třeba si uvědomit, že vliv na průběh plošné variační křivky by mohla mít i změna parametrů při získávání a hodnocení vzorků. To znamená hodnocení většího počtu vzorků, hodnocení větší velikosti vzorků nebo použití vyššího rozlišení scanneru).

Závěrem lze tedy konstatovat, že na nestejnoměrnost v ploše má vliv nejen struktura hmotové nestejnoměrnosti a variabilita chlupatosti, ale i vazba a dostava tkaniny.



Použitá literatura

- [1] Ursíny, P.: Předení I., skriptum TU Liberec, 2001.
- [2] Moučková, E.: Hmotová nestejnoměrnost délkových a plošných textilií, elektronické skriptum TU Liberec, 2003
- [3] Mrazíková, I.: Vazby tkanin listové základní, odvozené a složené, skriptum TU Liberec, 2006
- [4] Tesařík, M.: Analýza hmotové nestejnoměrnosti rotorových a prstencových přízí, D.P., TU Liberec, 2008
- [5] Moučková, E., Jirásková, P.: Influence of weft sett on course of area variation curve of woven fabric. 6th International Conference – TEXSCI, TUL, 2007
- [6] Moučková, E., Jirásková, P., Janoušek, J.: Povrchová nestejnoměrnost tkanin, TUL, 2007
- [7] Ursíny, P.: Spřádání bavlnářským způsobem I, Vysoká škola strojní a textilní v Liberci, 1985
- [8] Ursíny, P.: Spřádání bavlnářským způsobem II, Vysoká škola strojní a textilní v Liberci, 1991
- [9] <http://www.kuempers.cz/>



Seznam příloh

Příloha 1: Tabulky I -V Hodnoty CV vnější, hodnoty rozptylu a 95% IS

Příloha 2: CD Obrazy naskenovaných vzorků všech testovaných tkanin (300dpi)

Příloha 3: CD Výstupní hodnoty z aparatury Uster Tester – 4SX



Vybrané vlastnosti příze a související nestejnoměrnost v ploše

n	Vzorek 1	Vzorek 2	Vzorek 3	Vzorek 4	Vzorek 5	Vzorek 6	Vzorek 7	Vzorek 8	Vzorek 9	Vzorek 10	Vzorek 11	Vzorek 12	Průměr hodnot CV vnější [-]	IS – horní mez	IS – dolní mez	Rozptyl hodnot CV vnější [-]
146	0.011	0.016	0.015	0.011	0.012	0.011	0.012	0.013	0.013	0.013	0.013	0.012	0.013	0.014	0.011	2.072E-6
147	0.011	0.016	0.015	0.011	0.012	0.011	0.012	0.013	0.013	0.013	0.013	0.012	0.013	0.014	0.011	2.033E-6
148	0.011	0.016	0.015	0.011	0.012	0.011	0.012	0.013	0.013	0.013	0.013	0.012	0.013	0.014	0.011	2.029E-6
149	0.011	0.016	0.014	0.011	0.012	0.011	0.012	0.013	0.013	0.013	0.013	0.012	0.013	0.014	0.011	2.006E-6
150	0.011	0.015	0.014	0.011	0.011	0.011	0.012	0.013	0.013	0.013	0.013	0.012	0.013	0.014	0.011	2.025E-6
151	0.011	0.015	0.014	0.011	0.011	0.011	0.012	0.013	0.013	0.013	0.013	0.012	0.013	0.014	0.011	2.023E-6
152	0.011	0.015	0.014	0.011	0.011	0.011	0.012	0.013	0.013	0.013	0.013	0.012	0.013	0.014	0.011	2.006E-6
153	0.011	0.015	0.014	0.011	0.011	0.011	0.012	0.013	0.013	0.013	0.013	0.012	0.012	0.014	0.011	1.986E-6
154	0.011	0.015	0.014	0.011	0.011	0.011	0.012	0.013	0.013	0.013	0.013	0.012	0.012	0.014	0.011	1.929E-6
155	0.011	0.016	0.015	0.011	0.012	0.011	0.013	0.014	0.013	0.013	0.013	0.012	0.013	0.014	0.011	2.268E-6
156	0.011	0.016	0.015	0.011	0.012	0.011	0.013	0.014	0.013	0.013	0.013	0.012	0.013	0.014	0.011	2.235E-6
157	0.011	0.016	0.015	0.011	0.012	0.011	0.012	0.013	0.013	0.013	0.013	0.012	0.013	0.014	0.011	2.207E-6
158	0.011	0.016	0.015	0.011	0.012	0.011	0.012	0.013	0.013	0.013	0.013	0.012	0.013	0.014	0.011	2.18E-6
159	0.011	0.016	0.015	0.011	0.012	0.011	0.012	0.013	0.013	0.013	0.013	0.012	0.013	0.014	0.011	2.15E-6
160	0.011	0.016	0.015	0.011	0.012	0.011	0.012	0.013	0.013	0.013	0.013	0.012	0.013	0.014	0.011	2.095E-6
161	0.011	0.016	0.014	0.011	0.012	0.011	0.012	0.013	0.013	0.013	0.013	0.012	0.013	0.014	0.011	2.049E-6
162	0.011	0.016	0.014	0.011	0.012	0.011	0.012	0.013	0.013	0.013	0.013	0.012	0.013	0.014	0.011	2.008E-6
163	0.011	0.015	0.014	0.011	0.012	0.011	0.012	0.013	0.013	0.013	0.013	0.012	0.013	0.014	0.011	1.983E-6
164	0.011	0.015	0.014	0.011	0.012	0.011	0.012	0.013	0.013	0.013	0.013	0.012	0.013	0.014	0.011	1.965E-6
165	0.011	0.015	0.014	0.011	0.012	0.011	0.012	0.013	0.013	0.013	0.013	0.012	0.013	0.014	0.011	1.921E-6
166	0.011	0.015	0.014	0.011	0.011	0.011	0.012	0.013	0.013	0.013	0.013	0.012	0.012	0.014	0.011	1.893E-6
167	0.011	0.015	0.014	0.011	0.011	0.011	0.012	0.013	0.013	0.013	0.013	0.012	0.012	0.014	0.011	1.876E-6
168	0.011	0.015	0.014	0.011	0.011	0.011	0.012	0.013	0.013	0.013	0.013	0.012	0.012	0.014	0.011	1.895E-6
169	0.011	0.015	0.014	0.011	0.011	0.011	0.012	0.013	0.013	0.013	0.013	0.012	0.012	0.014	0.011	1.902E-6
170	0.011	0.015	0.014	0.011	0.011	0.011	0.012	0.013	0.013	0.013	0.013	0.012	0.012	0.014	0.011	1.886E-6

Příloha 1, tab.I Tkanina FF - Hodnoty CV vnější, průměr hodnot CV vnější, rozptyl hodnot CV vnější,
95% intervaly spolehlivosti – horní a dolní meze (zdroj: Mathcad 7 Professional)



Vybrané vlastnosti příze a související nestejnoměrnost v ploše

n	Vzorek 1	Vzorek 2	Vzorek 3	Vzorek 4	Vzorek 5	Vzorek 6	Vzorek 7	Vzorek 8	Vzorek 9	Vzorek 10	Vzorek 11	Vzorek 12	Průměr hodnot CV vnější [-]	IS – horní mez	IS – dolní mez	Rozptyl hodnot CV vnější [-]
150	0.014	0.014	0.014	0.013	0.013	0.012	0.012	0.012	0.013	0.014	0.014	0.014	0.013	0.014	0.012	7.62E-7
151	0.014	0.014	0.014	0.013	0.013	0.012	0.012	0.012	0.013	0.014	0.014	0.014	0.013	0.014	0.012	8.056E-7
152	0.014	0.014	0.014	0.013	0.013	0.012	0.012	0.012	0.013	0.014	0.014	0.014	0.013	0.014	0.012	8.335E-7
153	0.014	0.014	0.014	0.013	0.013	0.012	0.012	0.012	0.013	0.014	0.014	0.014	0.013	0.014	0.012	8.736E-7
154	0.014	0.014	0.014	0.013	0.013	0.012	0.012	0.012	0.013	0.014	0.014	0.014	0.013	0.014	0.012	8.948E-7
155	0.014	0.014	0.014	0.013	0.013	0.012	0.012	0.012	0.013	0.014	0.013	0.014	0.013	0.014	0.012	7.105E-7
156	0.014	0.014	0.014	0.013	0.013	0.012	0.012	0.012	0.013	0.014	0.013	0.014	0.013	0.014	0.012	7.222E-7
157	0.014	0.014	0.014	0.013	0.013	0.012	0.012	0.012	0.013	0.014	0.013	0.014	0.013	0.014	0.012	7.224E-7
158	0.014	0.014	0.014	0.013	0.013	0.012	0.012	0.012	0.013	0.014	0.013	0.014	0.013	0.014	0.012	7.278E-7
159	0.014	0.014	0.014	0.013	0.013	0.012	0.012	0.012	0.013	0.014	0.013	0.014	0.013	0.014	0.012	7.334E-7
160	0.014	0.014	0.014	0.013	0.013	0.012	0.012	0.012	0.013	0.014	0.013	0.014	0.013	0.014	0.012	7.322E-7
161	0.014	0.014	0.014	0.013	0.013	0.012	0.012	0.012	0.013	0.014	0.013	0.014	0.013	0.014	0.012	7.382E-7
162	0.014	0.014	0.014	0.013	0.013	0.012	0.012	0.012	0.013	0.014	0.013	0.014	0.013	0.014	0.012	7.329E-7
163	0.014	0.014	0.014	0.013	0.013	0.012	0.012	0.012	0.013	0.014	0.013	0.014	0.013	0.014	0.012	7.498E-7
164	0.014	0.014	0.014	0.013	0.013	0.012	0.012	0.012	0.013	0.014	0.013	0.014	0.013	0.014	0.012	7.867E-7
165	0.014	0.014	0.014	0.013	0.013	0.012	0.012	0.012	0.013	0.014	0.014	0.014	0.013	0.014	0.012	7.9E-7
166	0.014	0.014	0.014	0.013	0.013	0.012	0.012	0.012	0.013	0.014	0.014	0.014	0.013	0.014	0.012	8.068E-7
167	0.014	0.014	0.014	0.013	0.013	0.012	0.012	0.012	0.013	0.014	0.014	0.014	0.013	0.014	0.012	8.297E-7
168	0.014	0.014	0.014	0.013	0.013	0.012	0.012	0.012	0.013	0.014	0.014	0.014	0.013	0.014	0.012	8.7E-7
169	0.014	0.014	0.014	0.013	0.013	0.012	0.012	0.012	0.013	0.014	0.014	0.014	0.013	0.014	0.012	8.769E-7
170	0.014	0.014	0.014	0.013	0.013	0.012	0.012	0.012	0.013	0.013	0.013	0.014	0.013	0.014	0.012	9.039E-7

Příloha 1, tab.II Tkanina FV - Hodnoty CV vnější, průměr hodnot CV vnější, rozptyl hodnot CV vnější,
95% intervaly spolehlivosti – horní a dolní meze (zdroj: Mathcad 7 Professional)

Vybrané vlastnosti příze a související nestejnoměrnost v ploše



n	Vzorek 1	Vzorek 2	Vzorek 3	Vzorek 4	Vzorek 5	Vzorek 6	Vzorek 7	Vzorek 8	Vzorek 9	Vzorek 10	Vzorek 11	Vzorek 12	Průměr hodnot CV vnější [-]	IS – horní mez	IS – dolní mez	Rozptyl hodnot CV vnější [-]
147	0.012	8.651E-3	8.317E-3	8.128E-3	8.787E-3	9.337E-3	0.012	0.012	8.676E-3	0.011	0.011	0.011	0.01	0.012	8.665E-3	2.492E-6
148	0.012	8.69E-3	8.314E-3	8.231E-3	8.762E-3	9.321E-3	0.012	0.012	8.633E-3	0.011	0.011	0.011	0.01	0.012	8.673E-3	2.475E-6
149	0.012	8.711E-3	8.284E-3	8.343E-3	8.742E-3	9.349E-3	0.012	0.012	8.604E-3	0.011	0.011	0.011	0.01	0.012	8.682E-3	2.447E-6
150	0.012	8.684E-3	8.305E-3	8.516E-3	8.756E-3	9.338E-3	0.012	0.012	8.565E-3	0.011	0.011	0.011	0.01	0.012	8.701E-3	2.382E-6
151	0.012	8.707E-3	8.278E-3	8.699E-3	8.747E-3	9.399E-3	0.012	0.012	8.509E-3	0.011	0.011	0.011	0.01	0.012	8.722E-3	2.351E-6
152	0.012	8.652E-3	8.32E-3	8.931E-3	8.74E-3	9.411E-3	0.012	0.012	8.452E-3	0.011	0.011	0.011	0.01	0.012	8.743E-3	2.319E-6
153	0.012	8.628E-3	8.341E-3	9.113E-3	8.737E-3	9.386E-3	0.012	0.012	8.414E-3	0.011	0.011	0.011	0.01	0.012	8.754E-3	2.312E-6
154	0.012	8.611E-3	8.348E-3	9.305E-3	8.743E-3	9.396E-3	0.012	0.012	8.347E-3	0.011	0.011	0.011	0.01	0.012	8.765E-3	2.321E-6
155	0.012	8.361E-3	8.404E-3	8.349E-3	8.884E-3	9.412E-3	0.012	0.011	8.557E-3	0.012	0.012	0.011	0.01	0.011	8.669E-3	2.349E-6
156	0.011	8.389E-3	8.368E-3	8.322E-3	8.834E-3	9.343E-3	0.012	0.011	8.547E-3	0.012	0.012	0.011	0.01	0.011	8.644E-3	2.31E-6
157	0.011	8.38E-3	8.361E-3	8.335E-3	8.796E-3	9.241E-3	0.012	0.011	8.508E-3	0.012	0.011	0.011	0.01	0.011	8.621E-3	2.309E-6
158	0.011	8.293E-3	8.333E-3	8.225E-3	8.784E-3	9.193E-3	0.012	0.011	8.491E-3	0.012	0.011	0.011	9.984E-3	0.011	8.572E-3	2.36E-6
159	0.011	8.311E-3	8.291E-3	8.197E-3	8.727E-3	9.134E-3	0.012	0.011	8.437E-3	0.012	0.011	0.011	9.944E-3	0.011	8.536E-3	2.35E-6
160	0.011	8.313E-3	8.22E-3	8.093E-3	8.7E-3	9.089E-3	0.012	0.011	8.423E-3	0.012	0.011	0.011	9.916E-3	0.011	8.494E-3	2.397E-6
161	0.011	8.302E-3	8.164E-3	8.075E-3	8.657E-3	9.018E-3	0.012	0.011	8.408E-3	0.011	0.011	0.011	9.885E-3	0.011	8.46E-3	2.407E-6
162	0.011	8.265E-3	8.118E-3	7.998E-3	8.622E-3	9.062E-3	0.012	0.011	8.381E-3	0.011	0.011	0.011	9.861E-3	0.011	8.428E-3	2.433E-6
163	0.011	8.207E-3	8.091E-3	8.015E-3	8.593E-3	9.02E-3	0.012	0.012	8.377E-3	0.011	0.011	0.011	9.833E-3	0.011	8.405E-3	2.418E-6
164	0.011	8.191E-3	8.08E-3	8.127E-3	8.531E-3	9.082E-3	0.012	0.011	8.386E-3	0.011	0.011	0.011	9.831E-3	0.011	8.421E-3	2.356E-6
165	0.011	8.196E-3	8.061E-3	8.23E-3	8.499E-3	9.117E-3	0.012	0.011	8.357E-3	0.011	0.011	0.011	9.835E-3	0.011	8.432E-3	2.329E-6
166	0.011	8.178E-3	8.065E-3	8.294E-3	8.469E-3	9.143E-3	0.012	0.011	8.312E-3	0.011	0.011	0.011	9.837E-3	0.011	8.433E-3	2.335E-6
167	0.011	8.144E-3	8.032E-3	8.447E-3	8.464E-3	9.186E-3	0.012	0.011	8.306E-3	0.011	0.011	0.011	9.841E-3	0.011	8.448E-3	2.3E-6
168	0.011	8.104E-3	8.052E-3	8.57E-3	8.457E-3	9.211E-3	0.012	0.011	8.296E-3	0.011	0.011	0.011	9.859E-3	0.011	8.464E-3	2.306E-6
169	0.012	8.099E-3	8.081E-3	8.737E-3	8.46E-3	9.238E-3	0.012	0.011	8.286E-3	0.011	0.011	0.011	9.882E-3	0.011	8.491E-3	2.292E-6
170	0.012	8.104E-3	8.096E-3	8.88E-3	8.462E-3	9.274E-3	0.012	0.011	8.266E-3	0.011	0.011	0.011	9.908E-3	0.011	8.512E-3	2.31E-6

Příloha 1, tab.III Tkanina GN - Hodnoty CV vnější, průměr hodnot CV vnější, rozptyl hodnot CV vnější, 95% intervaly spolehlivosti – horní a dolní meze (zdroj: Mathcad 7 Professional)



Tabulka IV
Tkanina GG -- hodnoty CV vnější



Příloha 1, tab.IV Tkanina GG - Hodnoty CV vnější, průměr hodnot CV vnější, rozptyl hodnot CV vnější, 95% intervaly spolehlivosti – horní a dolní meze (zdroj: Mathcad 7 Professional)

Tabulka V

Tkanina RR -- hodnoty CV vnější

n	Vzorek 1	Vzorek 2	Vzorek 3	Vzorek 4	Vzorek 5	Vzorek 6	Vzorek 7	Vzorek 8	Vzorek 9	Vzorek 10	Vzorek 11	Vzorek 12	Průměr hodnot CV vnější [-]	IS – horní mez	IS – dolní mez	Rozptyl hodnot CV vnější [-]
1	0.31	0.329	0.324	0.335	0.321	0.338	0.334	0.333	0.334	0.297	0.326	0.323	0.325	0.336	0.314	1.405E-4
2	0.263	0.282	0.277	0.289	0.274	0.29	0.286	0.285	0.286	0.258	0.28	0.276	0.279	0.288	0.27	9.962E-5
3	0.207	0.224	0.22	0.231	0.217	0.231	0.227	0.226	0.227	0.208	0.223	0.219	0.222	0.229	0.214	6.419E-5
4	0.152	0.165	0.163	0.173	0.16	0.171	0.168	0.167	0.167	0.156	0.164	0.161	0.164	0.169	0.158	3.673E-5
5	0.109	0.117	0.117	0.123	0.114	0.123	0.12	0.119	0.119	0.114	0.117	0.115	0.117	0.121	0.114	1.583E-5
6	0.085	0.089	0.089	0.091	0.086	0.093	0.091	0.09	0.09	0.09	0.088	0.088	0.089	0.091	0.087	4.552E-6
7	0.074	0.078	0.077	0.077	0.075	0.081	0.08	0.079	0.079	0.079	0.077	0.077	0.078	0.079	0.076	3.577E-6
8	0.066	0.072	0.07	0.07	0.069	0.075	0.074	0.072	0.073	0.073	0.071	0.072	0.071	0.074	0.069	5.213E-6
9	0.057	0.064	0.062	0.063	0.061	0.067	0.065	0.064	0.065	0.066	0.063	0.063	0.063	0.066	0.061	6.919E-6
10	0.049	0.053	0.052	0.055	0.051	0.057	0.055	0.053	0.054	0.058	0.053	0.053	0.053	0.056	0.051	6.228E-6
11	0.046	0.047	0.046	0.049	0.045	0.05	0.049	0.047	0.047	0.053	0.047	0.046	0.048	0.05	0.046	4.542E-6
12	0.05	0.048	0.048	0.048	0.048	0.05	0.05	0.049	0.049	0.054	0.048	0.048	0.049	0.051	0.047	3.249E-6
13	0.052	0.053	0.052	0.051	0.051	0.055	0.054	0.052	0.053	0.057	0.052	0.052	0.053	0.055	0.051	3.175E-6
14	0.049	0.054	0.052	0.053	0.051	0.056	0.055	0.054	0.055	0.057	0.053	0.053	0.054	0.056	0.052	4.743E-6
15	0.042	0.049	0.047	0.049	0.046	0.053	0.051	0.049	0.05	0.054	0.049	0.049	0.049	0.052	0.046	9.115E-6
16	0.035	0.04	0.038	0.041	0.037	0.044	0.042	0.041	0.042	0.047	0.04	0.041	0.041	0.044	0.038	9.825E-6



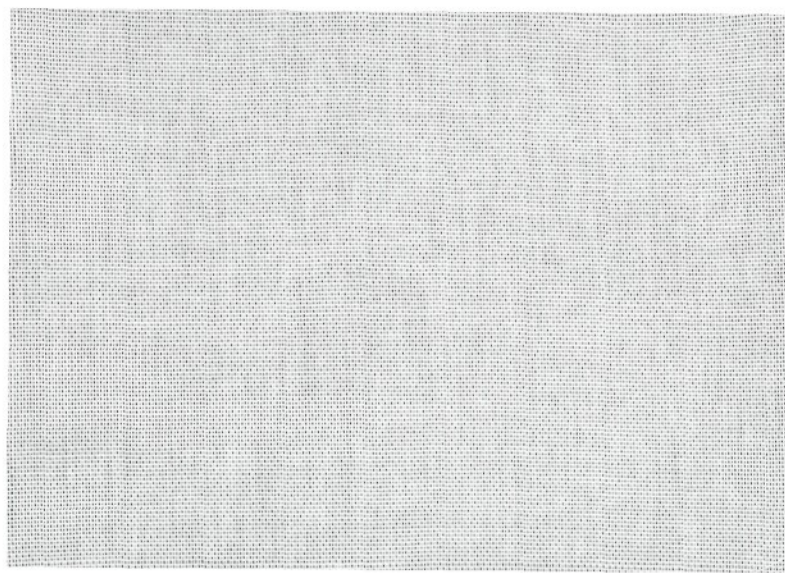
Vybrané vlastnosti příze a související nestejnoměrnost v ploše

170	0.022	0.019	0.017	0.017	0.019	0.024	0.023	0.021	0.021	0.03	0.02	0.02	0.021	0.024	0.018	1.176E-5
-----	-------	-------	-------	-------	-------	-------	-------	-------	-------	------	------	------	-------	-------	-------	----------

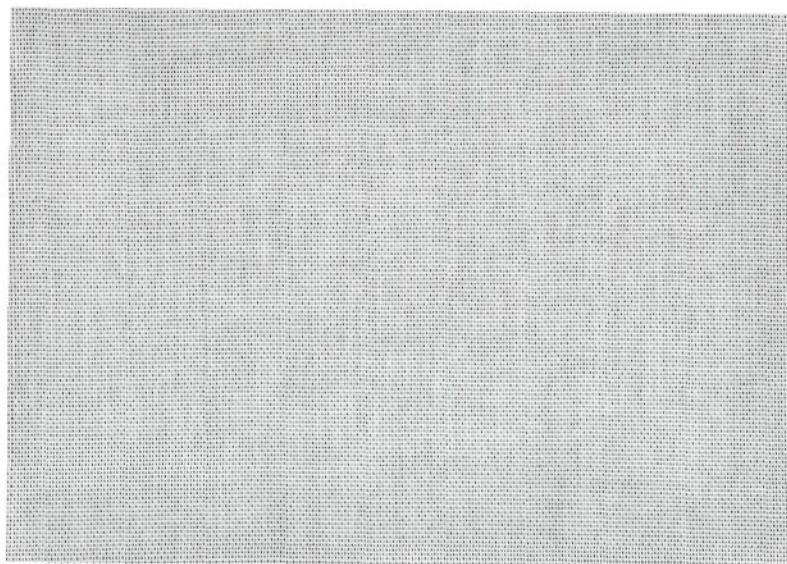
Příloha 1, tab.V Tkanina RR - Hodnoty CV vnější, průměr hodnot CV vnější, rozptyl hodnot CV vnější,
95% intervaly spolehlivosti – horní a dolní meze (zdroj: Mathcad 7 Professional)

Príloha 2 – Naskenované vzorky tkaniny GG

Vzorek tkaniny GG (1)



Vzorek tkaniny GG (2)



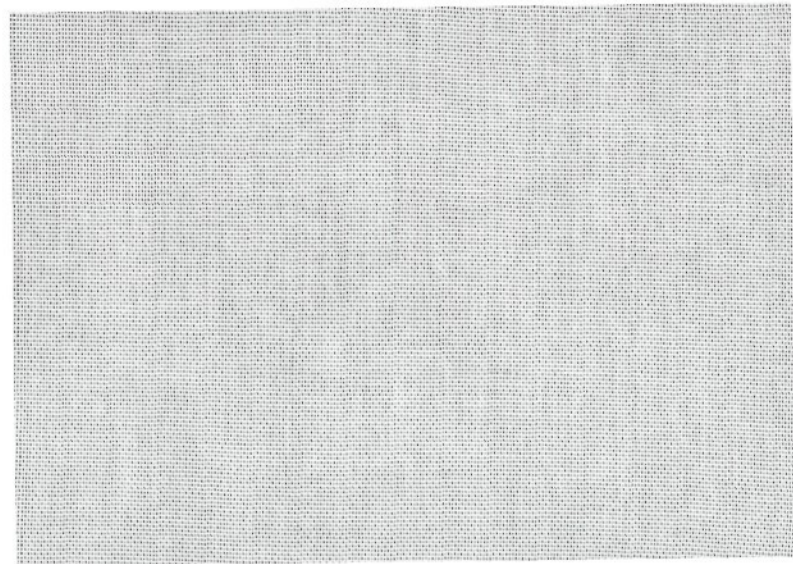
Vzorek tkaniny GG (3)



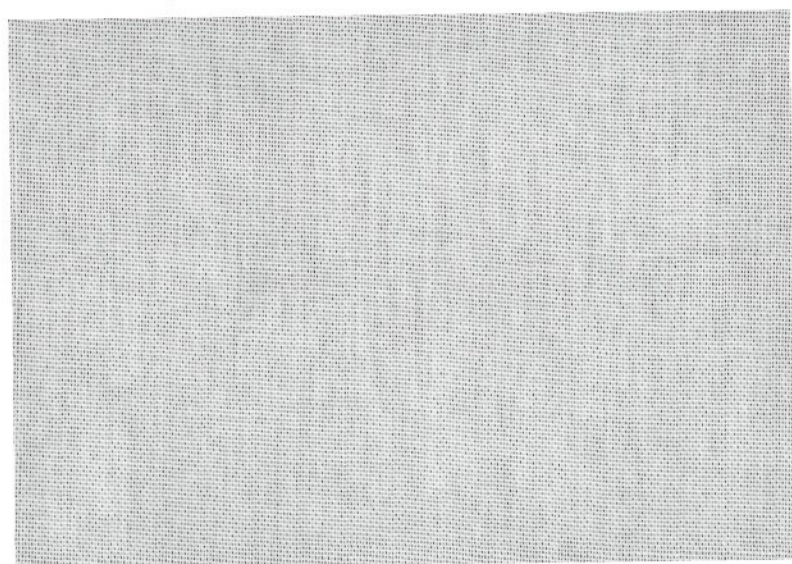
Vzorek tkaniny GG (4)



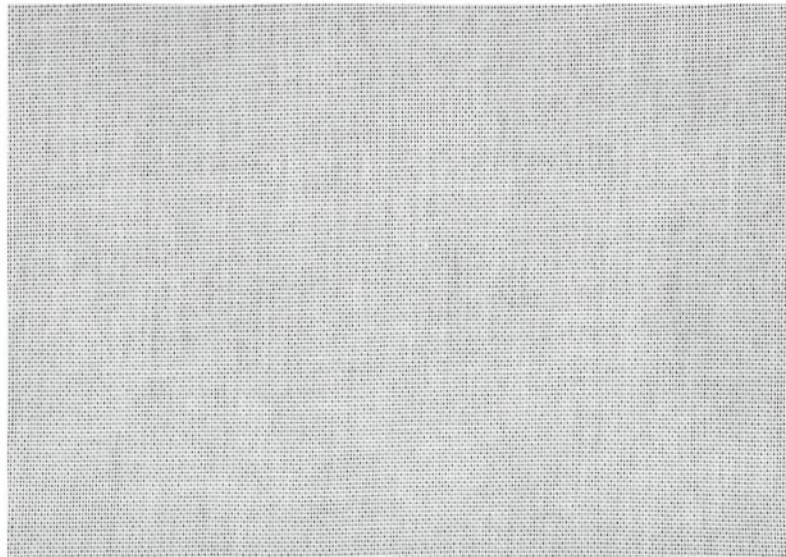
Vzorek tkaniny GG (5)



Vzorek tkaniny GG (6)



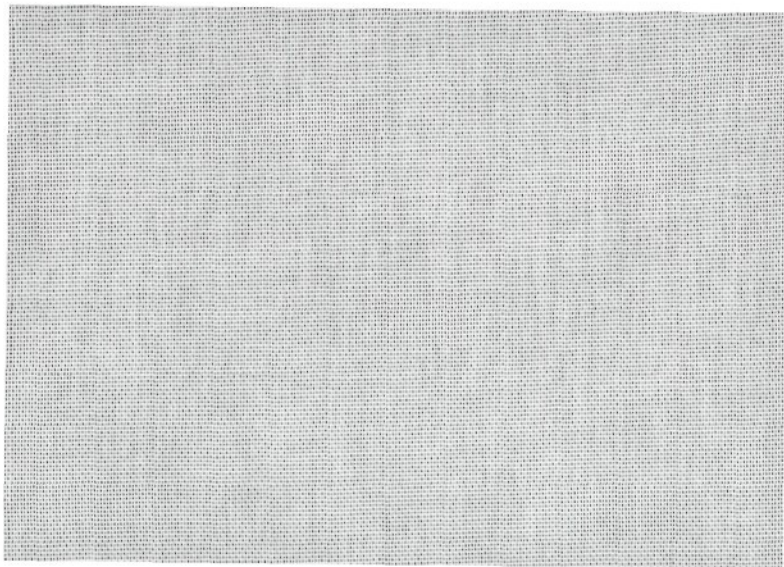
Vzorek tkaniny GG (7)



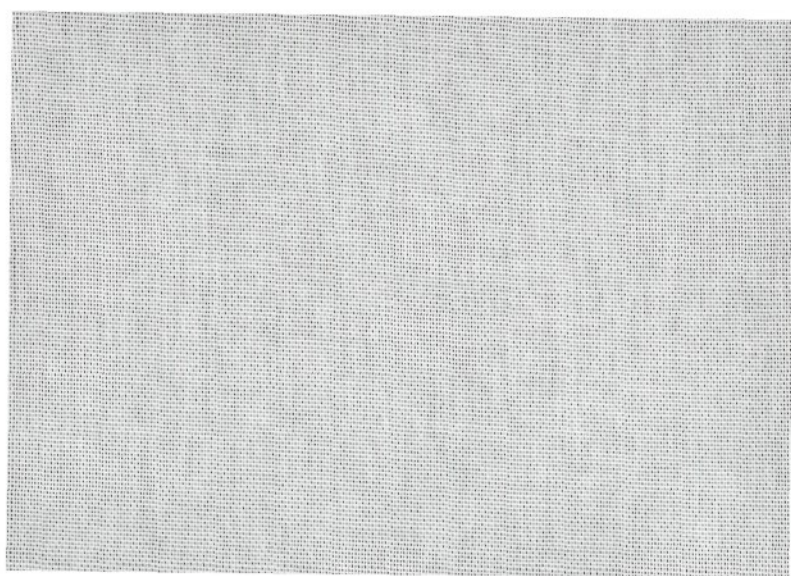
Vzorek tkaniny GG (8)



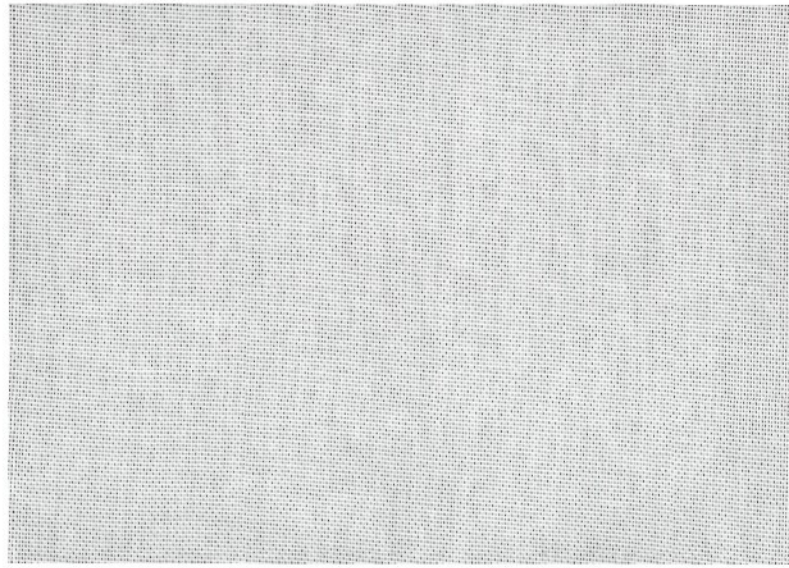
Vzorek tkaniny GG (9)



Vzorek tkaniny GG (10)



Vzorek tkaniny GG (11)

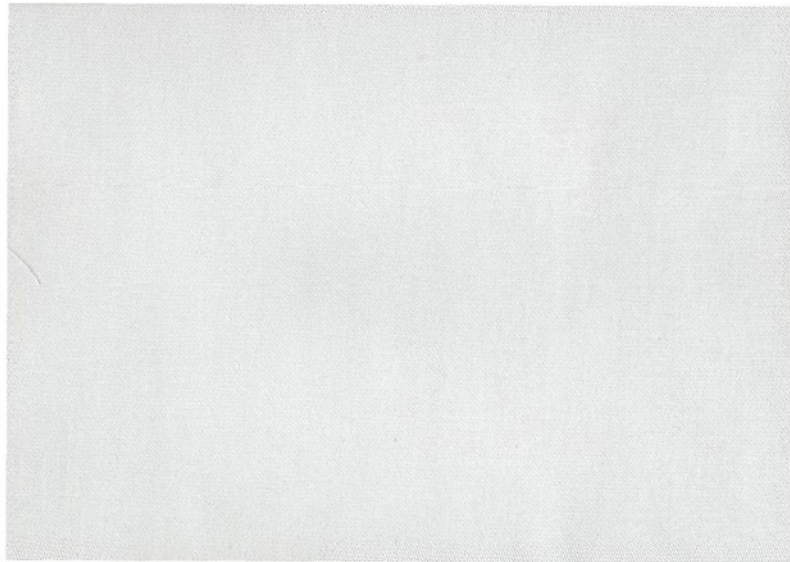


Vzorek tkaniny GG (12)



Príloha 2 – Naskenované vzorky tkaniny FF

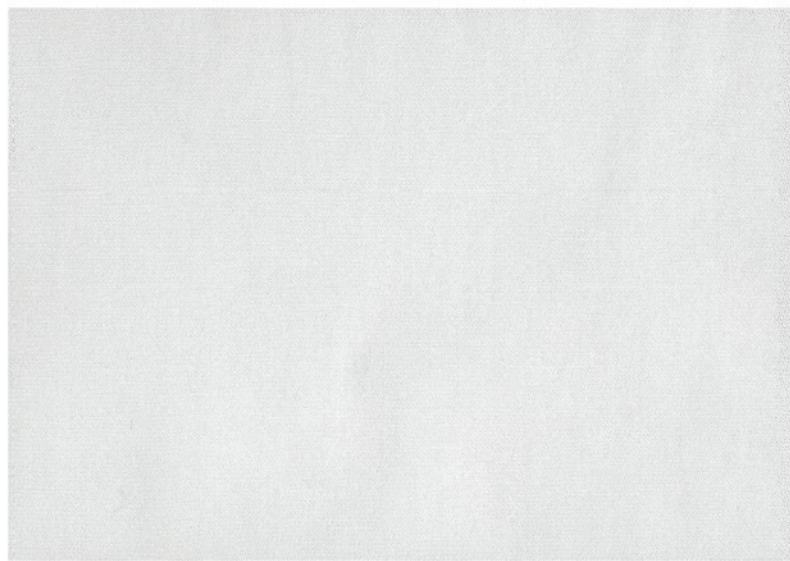
Vzorek tkaniny FF (1)



Vzorek tkaniny FF (2)



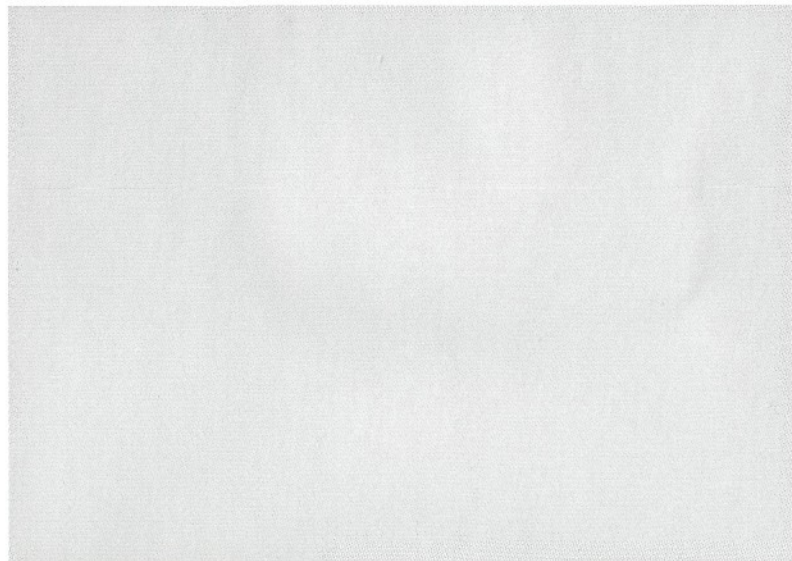
Vzorek tkaniny FF (3)



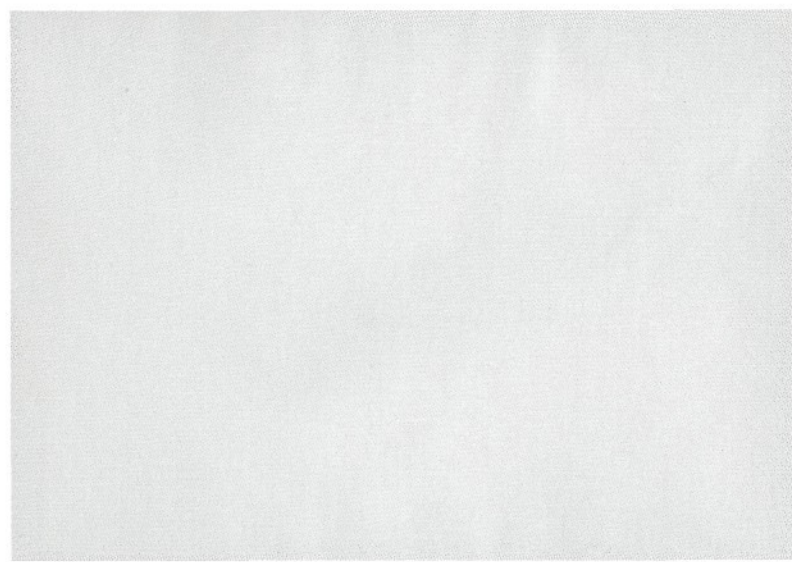
Vzorek tkaniny FF (4)



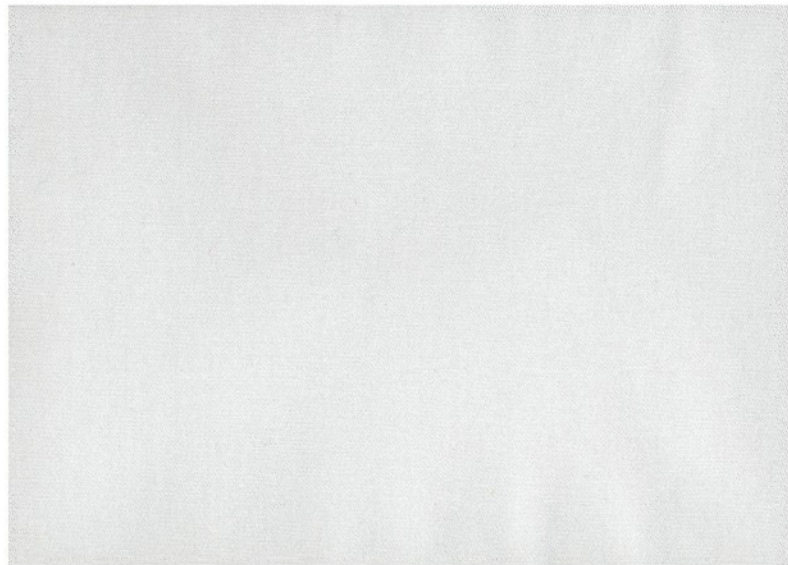
Vzorek tkaniny FF (5)



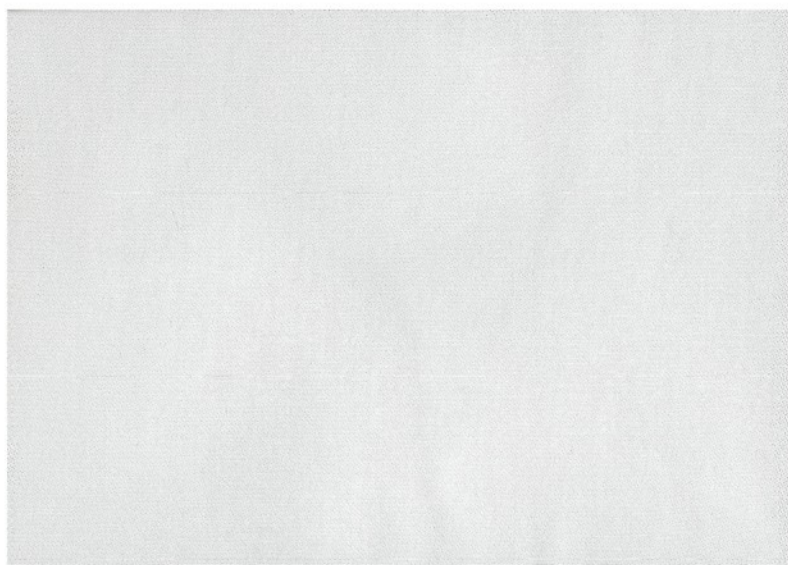
Vzorek tkaniny FF (6)



Vzorek tkaniny FF (7)



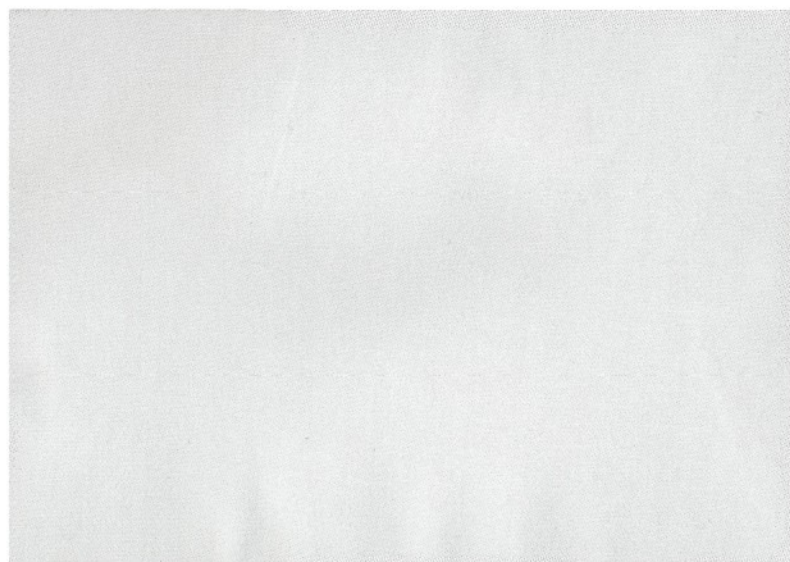
Vzorek tkaniny FF (8)



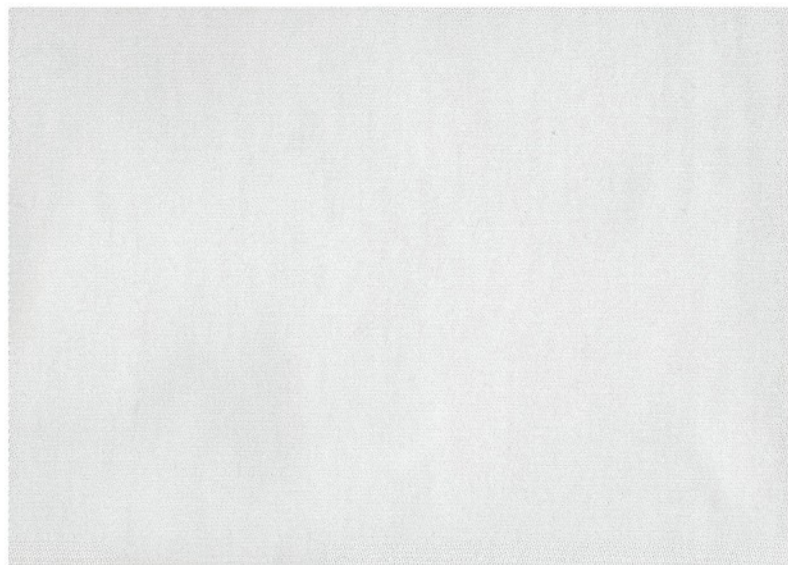
Vzorek tkaniny FF (9)



Vzorek tkaniny FF (10)



Vzorek tkaniny FF (11)

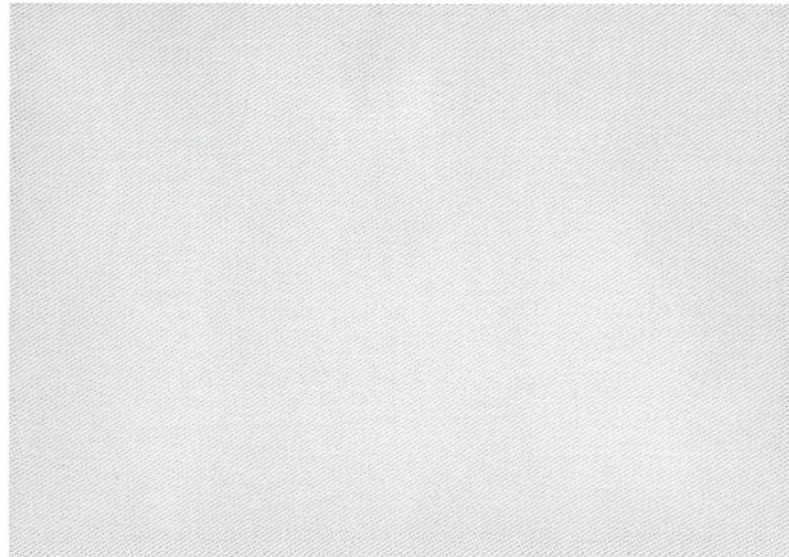


Vzorek tkaniny FF (12)



Príloha 2 – Naskenované vzorky tkaniny FV

Vzorek tkaniny FV (1)



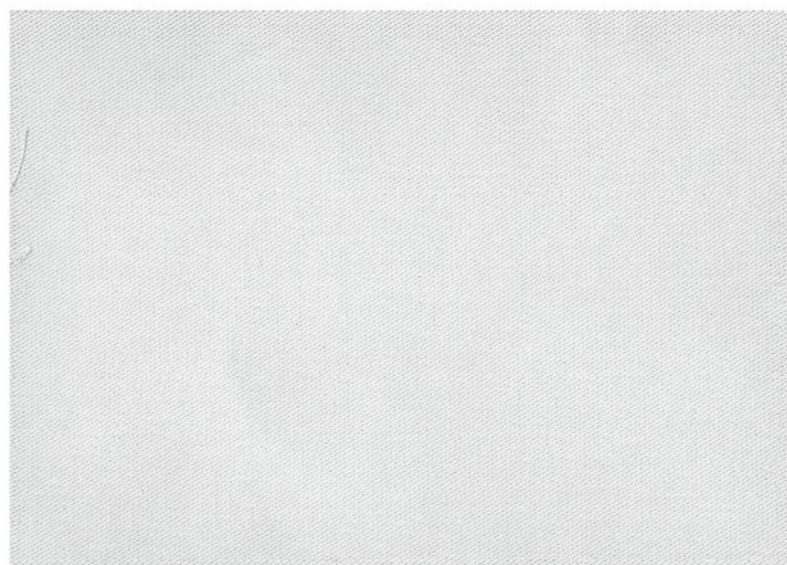
Vzorek tkaniny FV (2)



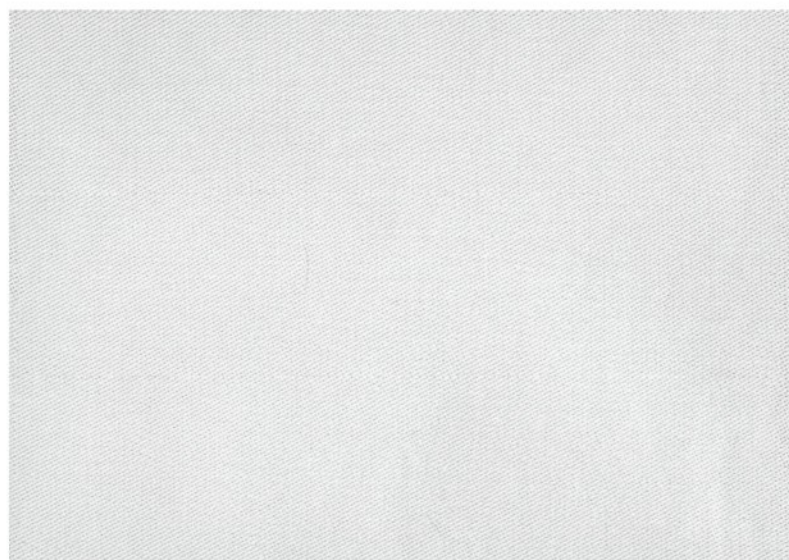
Vzorek tkaniny FV (3)



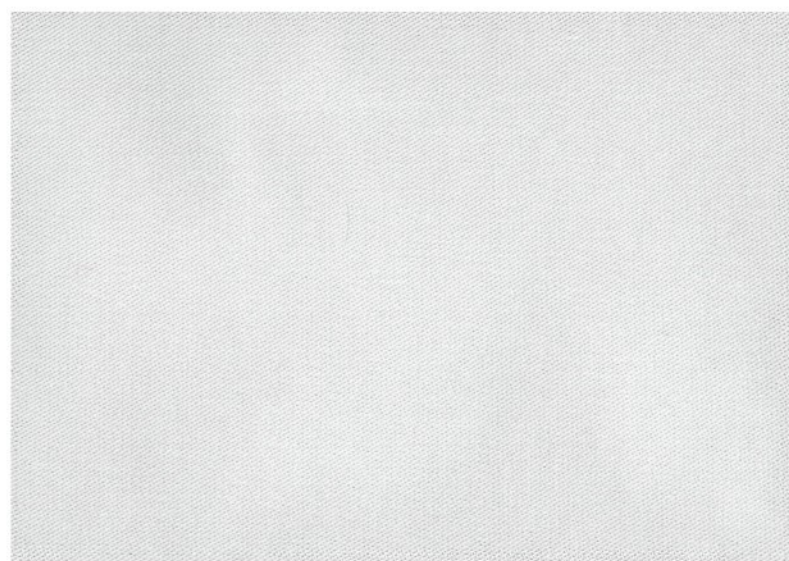
Vzorek tkaniny FV (4)



Vzorek tkaniny FV (5)



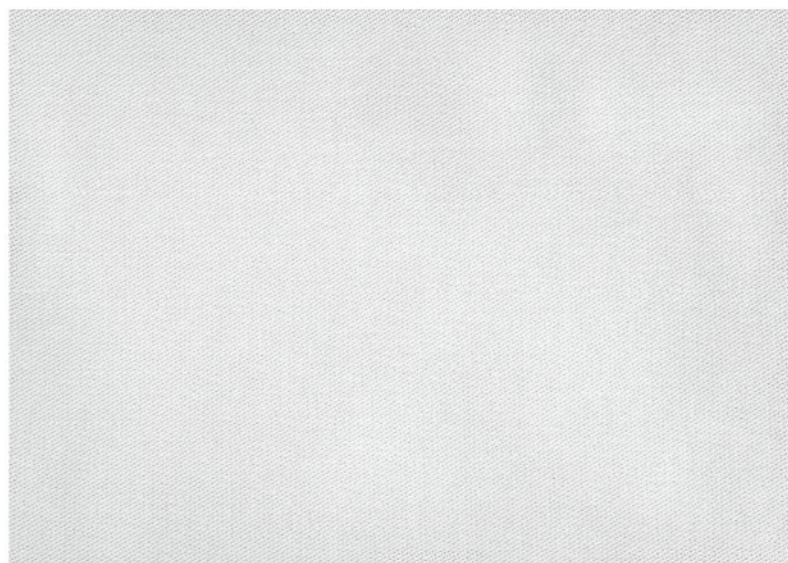
Vzorek tkaniny FV (6)



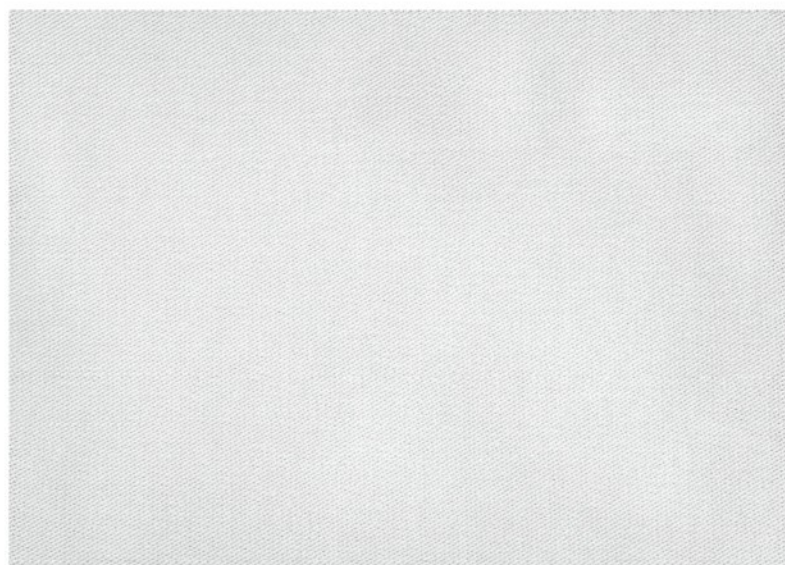
Vzorek tkaniny FV (7)



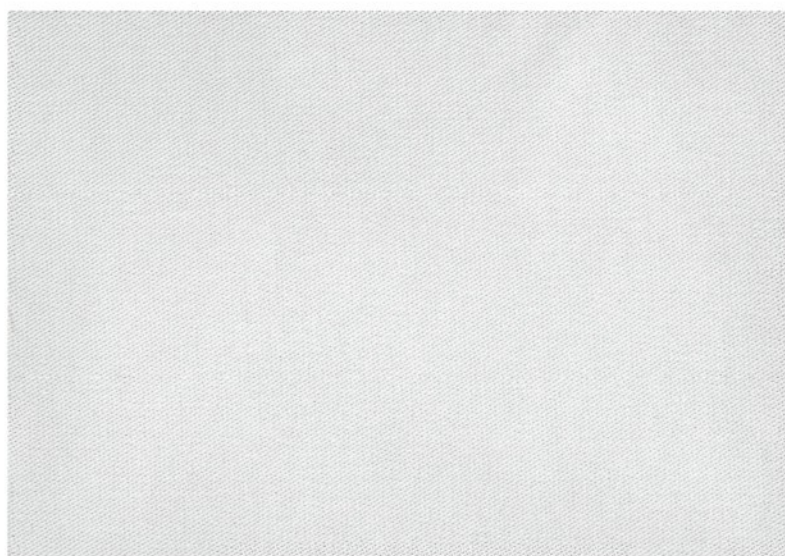
Vzorek tkaniny FV (8)



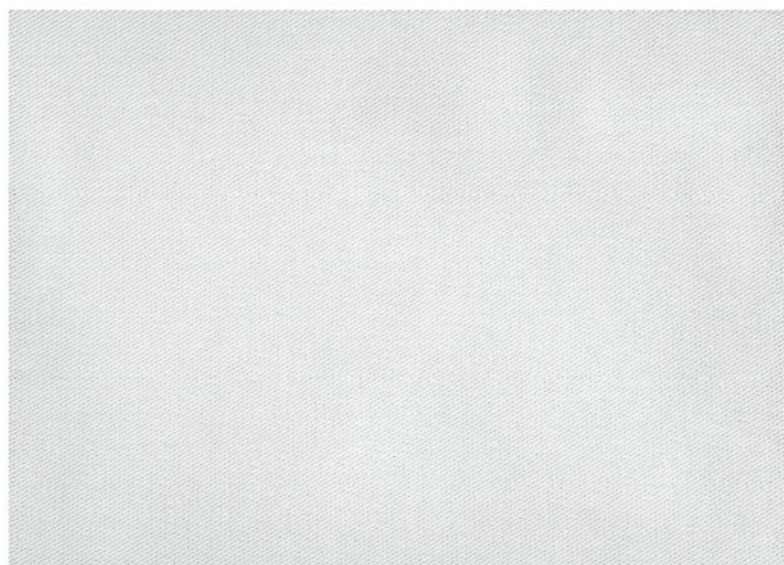
Vzorek tkaniny FV (9)



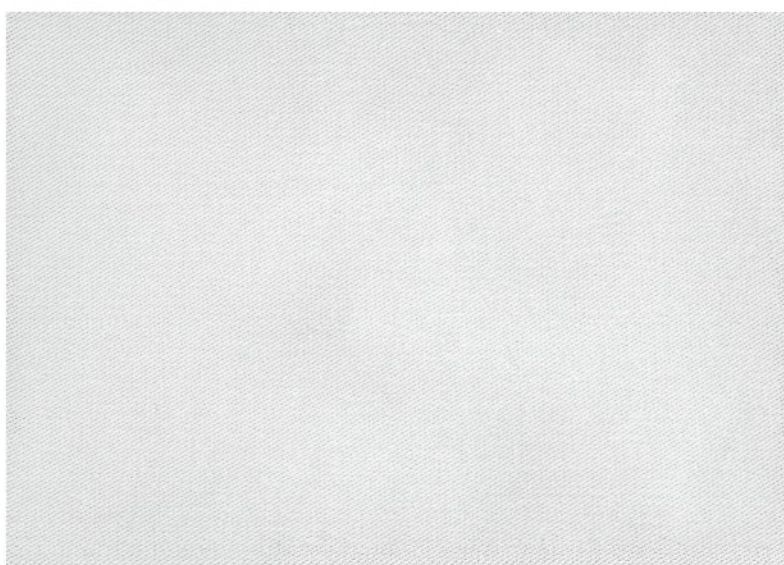
Vzorek tkaniny FV (10)



Vzorek tkaniny FV (11)



Vzorek tkaniny FV (12)



Príloha 2 – Naskenované vzorky tkaniny GN

Vzorek tkaniny GN (1)



Vzorek tkaniny GN (2)



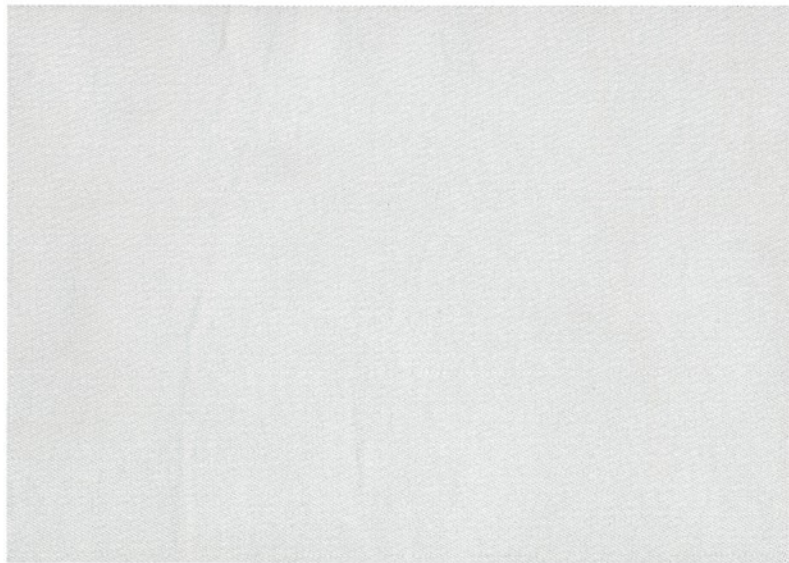
Vzorek tkaniny GN (3)



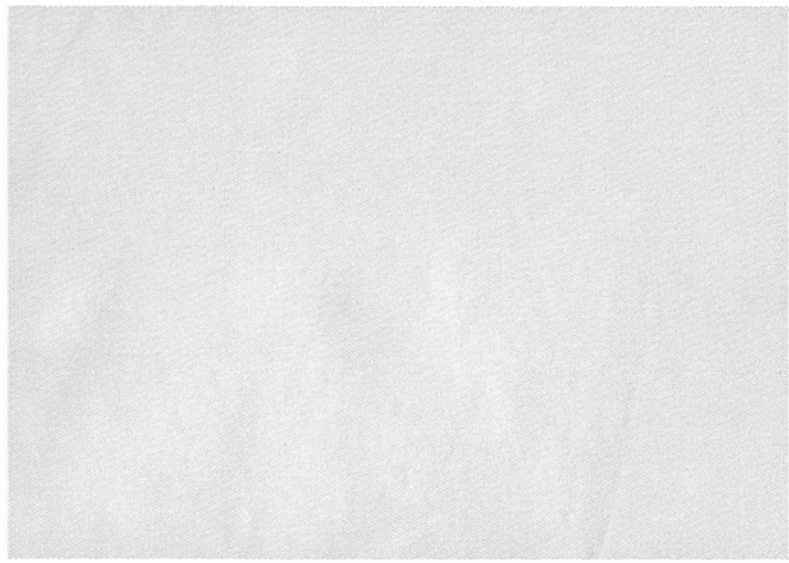
Vzorek tkaniny GN (4)



Vzorek tkaniny GN (5)



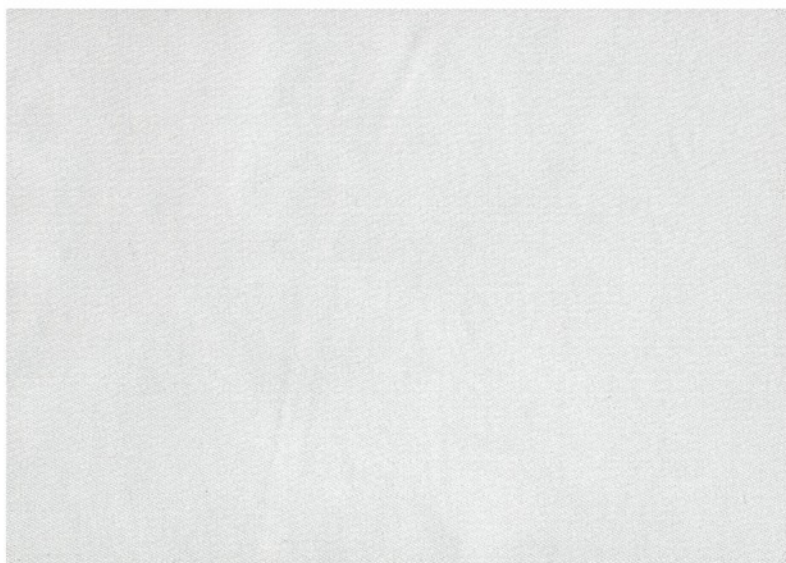
Vzorek tkaniny GN (6)



Vzorek tkaniny GN (7)



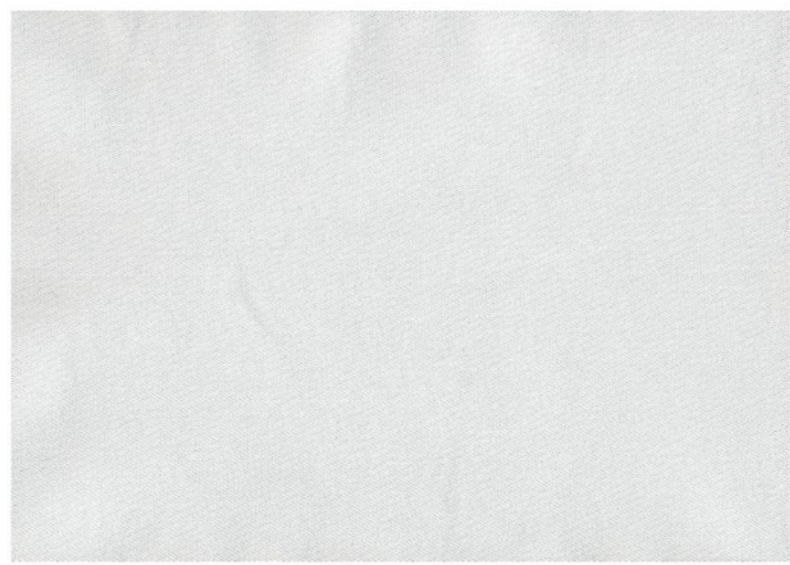
Vzorek tkaniny GN (8)



Vzorek tkaniny GN (9)



Vzorek tkaniny GN (10)



Vzorek tkaniny GN (11)



Vzorek tkaniny GN (12)



Príloha 2 – Naskenované vzorky tkaniny RR

Vzorek tkaniny RR (1)



Vzorek tkaniny RR (2)



Vzorek tkaniny RR (3)



Vzorek tkaniny RR (4)



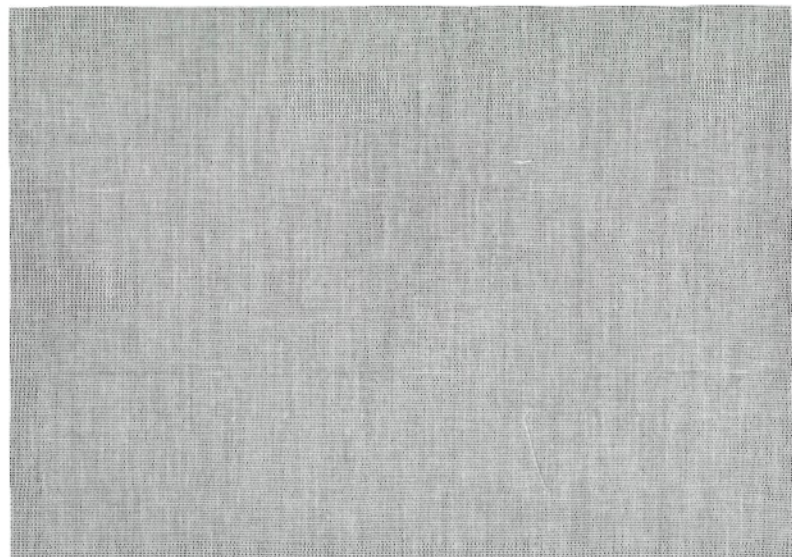
Vzorek tkaniny RR (5)



Vzorek tkaniny RR (6)



Vzorek tkaniny RR (7)



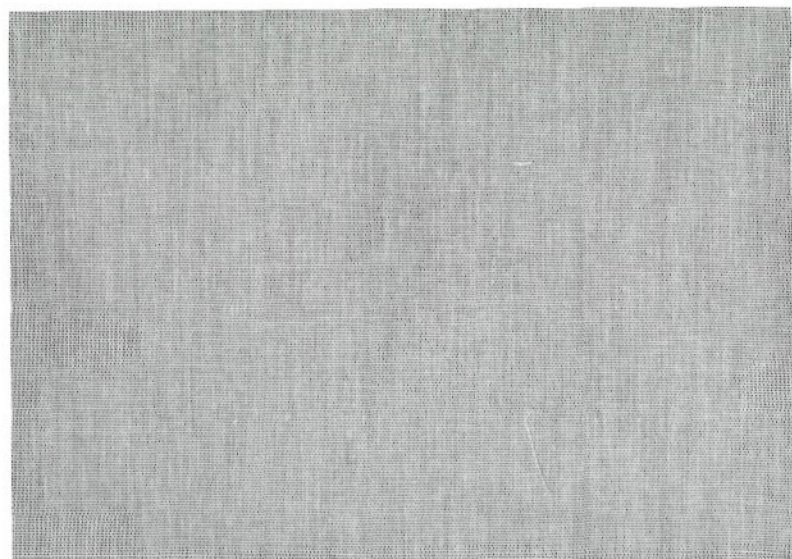
Vzorek tkaniny RR (8)



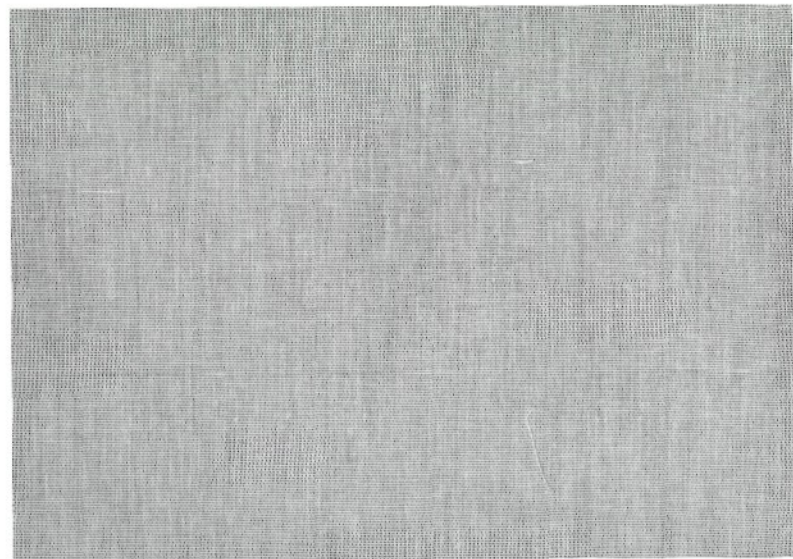
Vzorek tkaniny RR (9)



Vzorek tkaniny RR (10)



Vzorek tkaniny RR (11)



Vzorek tkaniny RR (12)



Příloha 3

1. příze: $T = 100 \text{ tex} = \text{Nm } 10$ - Parametry získané měřením na aparatuře

Uster Tester – 4SX

KUENTER TESTER 4 - SX R 1.8.01
Kuempers Textil s.r.o., Plavy

Mon 24.11.08 09:19

Operator

Kolarova

Page 1

Style 100%PES-OE Sample ID 08469 Nom. count Nm 10 Nom. twist 0 T/m
 Tests 10 / ↑ v= 400 m/min It= 1 min Meas. slot 3 Short staple

Standard table

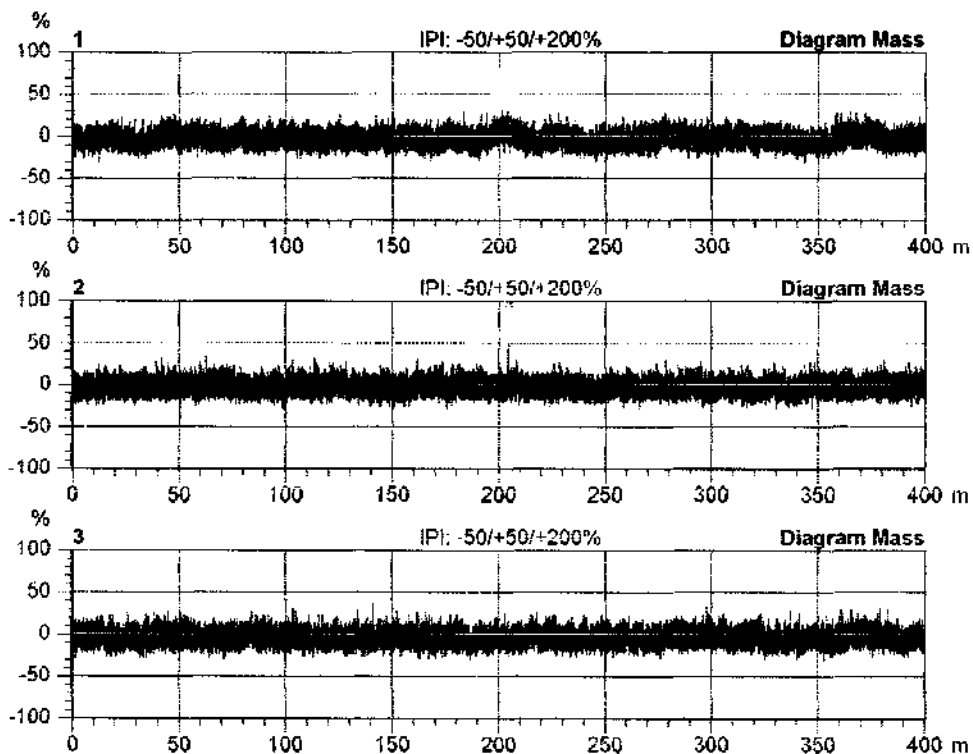
Article Syncrofil P5 Material class Yarn Mach. Nr. OE 61
Uster Statistics
Fiber
partie : 2617/37 6.11.22.25.39.45.52.57.66.67

Nr	U%	CVm	Index	CVm 1m	CVm 3m	CVm 10m	Rel. Cnt ±	H	sh	sh 1m	sh 3m	sh 10m
	%	%		%	%	%	%					
1	6.82	8.29		3.62	3.21	2.71	2.0	6.67	1.26	0.16	0.09	0.06
2	6.47	8.14		2.71	2.14	1.67	2.4	6.50	1.30	0.16	0.10	0.05
3	6.67	8.38		2.95	2.22	1.67	1.1	6.77	1.33	0.16	0.09	0.04
4	6.73	8.44		3.25	2.76	2.38	-1.0	6.97	1.33	0.17	0.10	0.06
5	6.67	8.36		2.84	2.18	1.53	-0.7	6.96	1.31	0.16	0.10	0.05
6	6.42	8.07		2.77	2.14	1.31	-0.4	6.61	1.22	0.17	0.11	0.06
7	6.72	8.41		2.99	2.34	1.59	-1.0	6.72	1.28	0.17	0.10	0.05
8	6.53	8.20		3.17	2.68	1.98	1.6	6.97	1.29	0.16	0.10	0.05
9	6.58	8.25		2.89	2.25	1.62	-2.3	6.94	1.30	0.17	0.11	0.07
10	6.58	8.25		2.75	1.99	1.31	-1.6	6.89	1.26	0.17	0.11	0.06
Mean	6.60	8.28		3.00	2.39	1.78	0.0	6.80	1.29	0.16	0.10	0.05
CV	1.6	1.4		9.4	15.8	25.6	1.6	2.5	2.7	3.4	7.7	14.1
s	0.10	0.12		0.28	0.38	0.46	1.6	0.17	0.03	0.01	0.01	0.01
Q95	0.07	0.09		0.20	0.27	0.33	1.2	0.12	0.02	0.00	0.01	0.01
Max	6.73	8.44		3.62	3.21	2.71	2.4	6.97	1.33	0.17	0.11	0.07
Min	6.42	8.07		2.71	1.99	1.31	-2.3	6.50	1.22	0.16	0.09	0.04

Style 100%PES-OE Sample ID 08469 Nom. count Nm 10
Tests 10 / 1 v= 400 m/min t= 1 min Meas. slot 3 Norm. twist 0 T/m
Short staple

KTC 34 SP

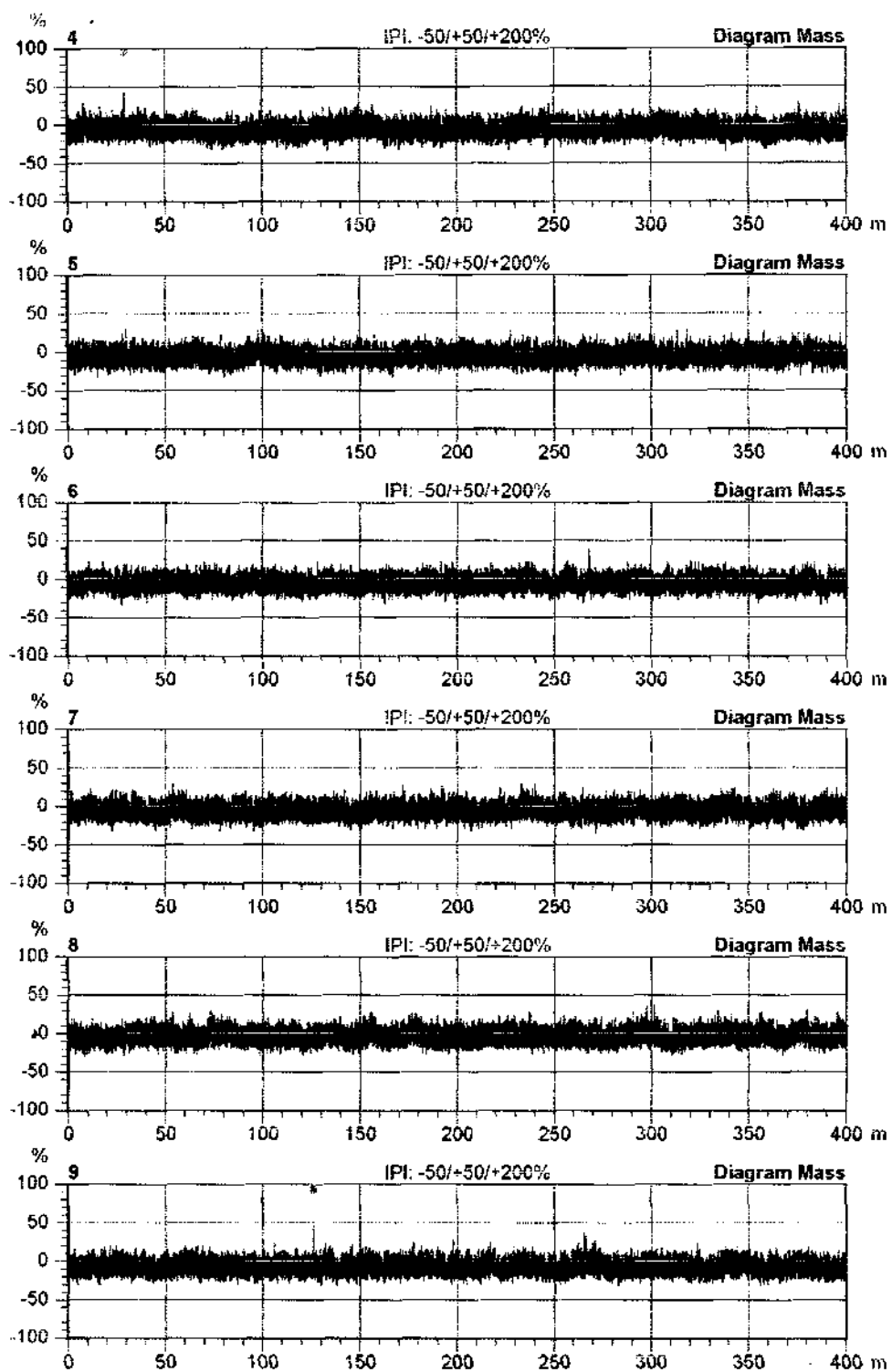
Nr	sh
1	1.26
2	1.30
3	1.33
4	1.33
5	1.31
6	1.22
7	1.28
8	1.29
9	1.30
10	1.26
Mean	1.29
CV	2.7
Q95	0.02
Max	1.33
Min	1.22



USTER TESTER 4 - SX R 1.8.0* Mon 24.11.08 09:19 Operator Kolarova Page 3
Kuempers Textil s.r.o. Plavy

Style 100%PES-OE Sample ID 08469 Norm. count Nm 10 0 T/m
Tests 10 / 1 v= 400 m/min t= 1 min Meas. slot 3 Short staple

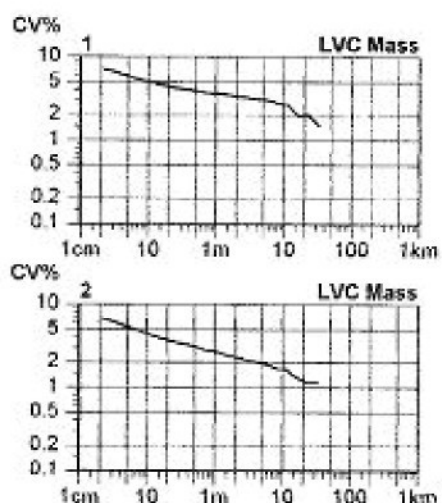
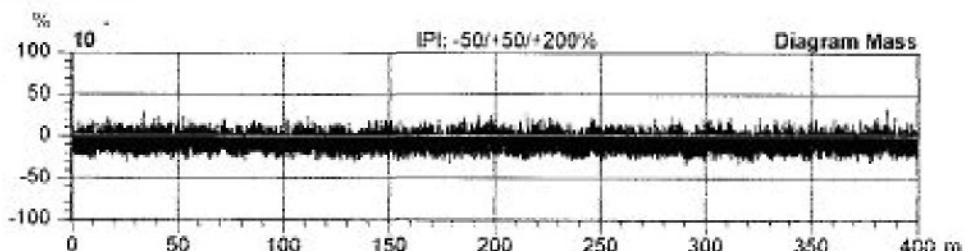
KTC 34 SP



USTER TESTER 4 - SX R 1.8.0* Mon 24.11.08 09:19 Operator Kolarova Page 4
Kuempers Textil s.r.o. Plavy

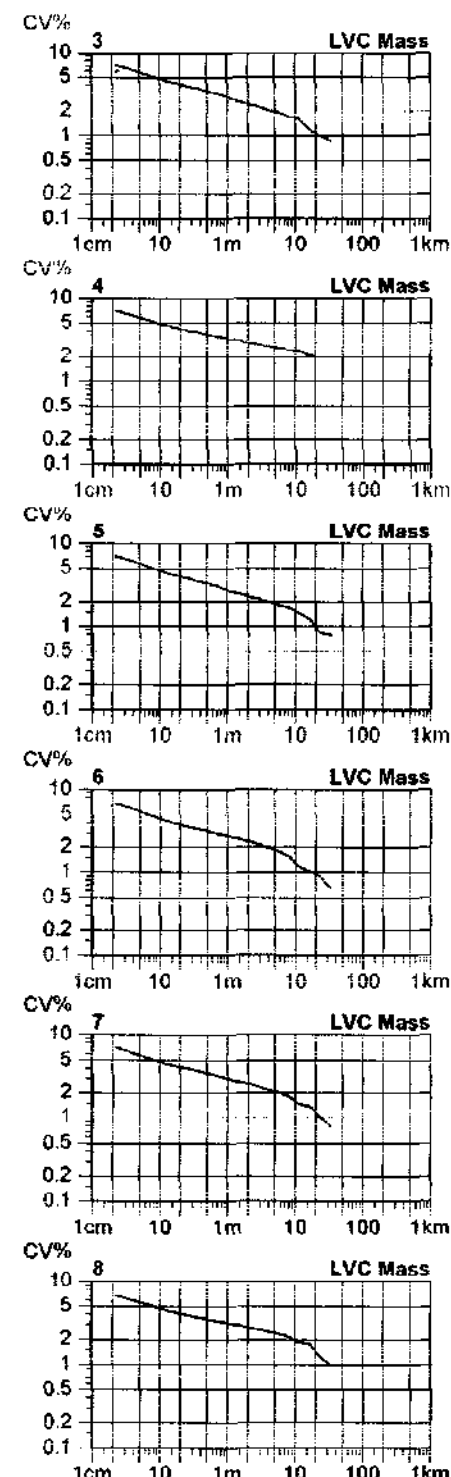
Style 100%PES-OE Sample ID 08469 Nom. count Nm 10
Tests 10 / 1 v= 400 m/min t= 1 min Meas. slot 3 Nom. twist 0 T/m
Short staple

KTC 34 SP



Style 100%PES-OE Sample ID 08469 Nom. count Nm 10
Tests 10 / 1 v= 400 m/min t= 1 min Meas. slot 3 Nom. twist 0 T/m
Short staple

KTC 34 SP



USTER TESTER 4 - SX R 1.8.0*
Kuempers Textil s.r.o. Plavy

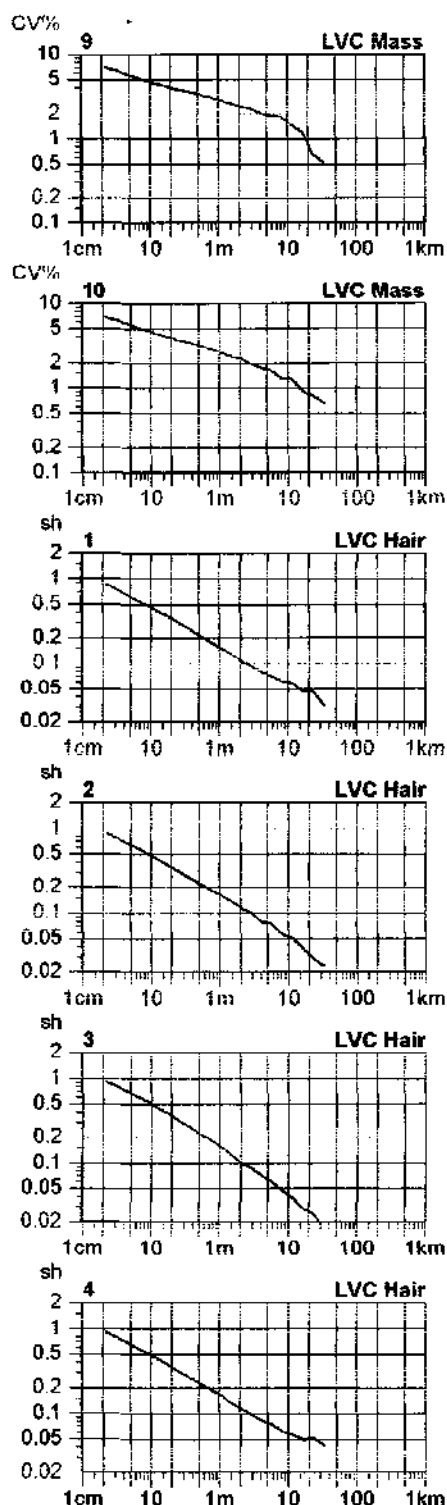
Mon 24.11.08 09:19

Operator Kolarova

Page 6

Style 100%PES-OE Sample ID 08469
Tests 10 / 1 v= 400 m/min t= 1 min
Nom. count Meas. slot Nm 10 3
Nom. twist Short staple 0 T/m

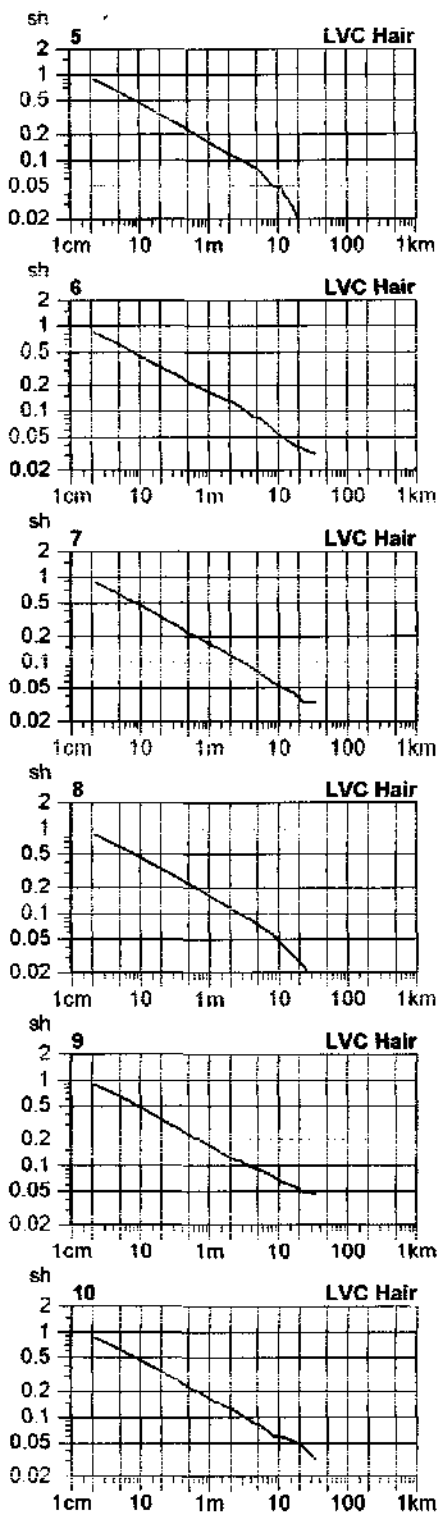
KTC 34 SP



JUSTER TESTER 4 - SX R 1.8.0* Mon 24.11.08 09:19 Operator Kolarova Page 7
Kuempers Textil s.r.o. Plavy

Style 100%PES-OE Sample ID 08469 Nom. count Nm 10
Tests 10 / 1 v= 400 m/min t= 1 min Meas. slot 3 Nom. twist 0 T/m
Short staple

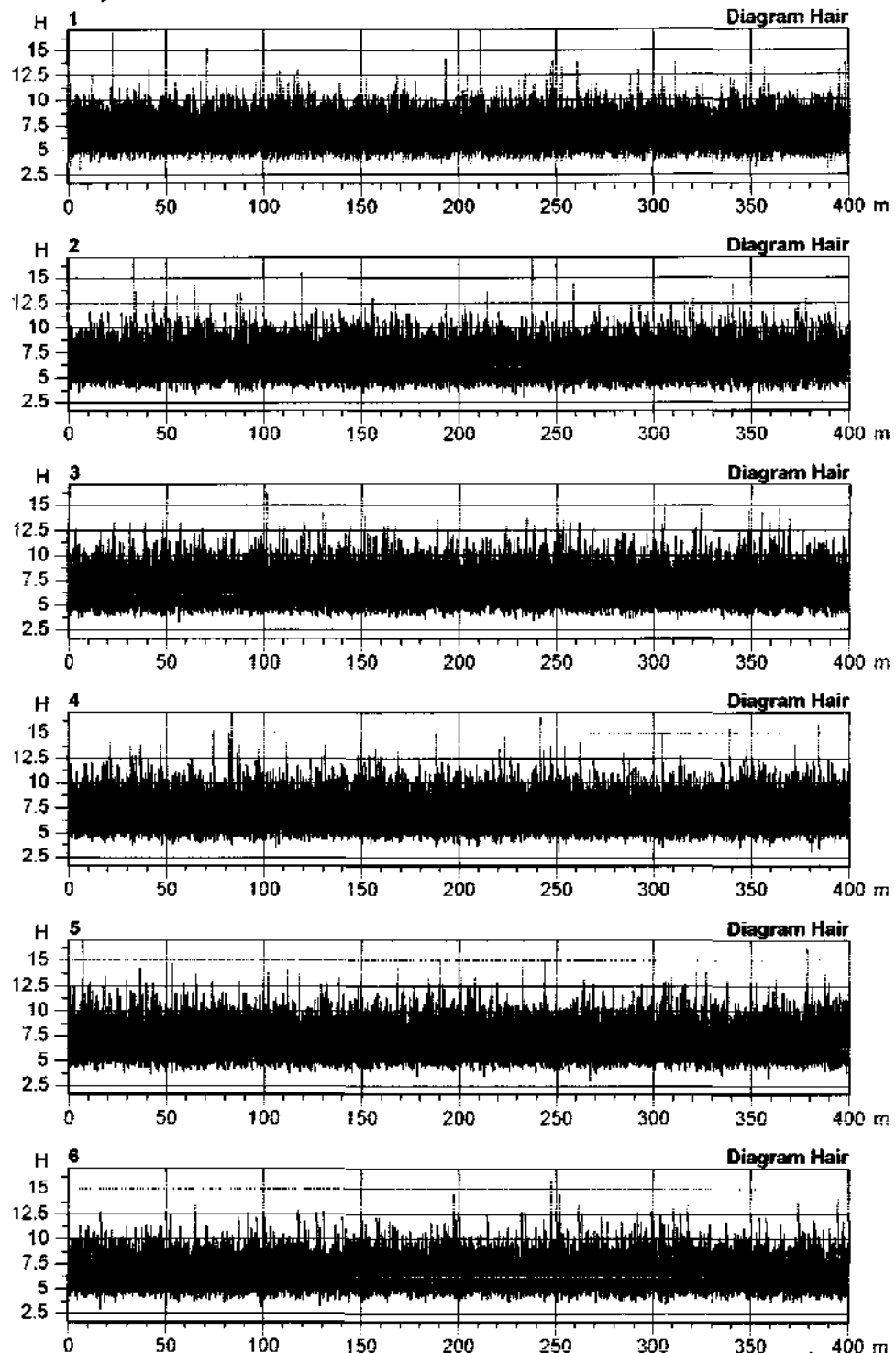
KTC 34 SP



USTER TESTER 4 - SX R 1.8.0* Mon 24.11.08 09:19 Operator Kolarova
Kuempers Textil s.r.o. Plavy

Style 100%PES-OE Sample ID 08469 Nom. count Nm 10
Tests 10 / 1 v= 400 m/min t= 1 min Meas. slot 3 Nom. twist 0 T/m
Short staple

Hairiness Diagram

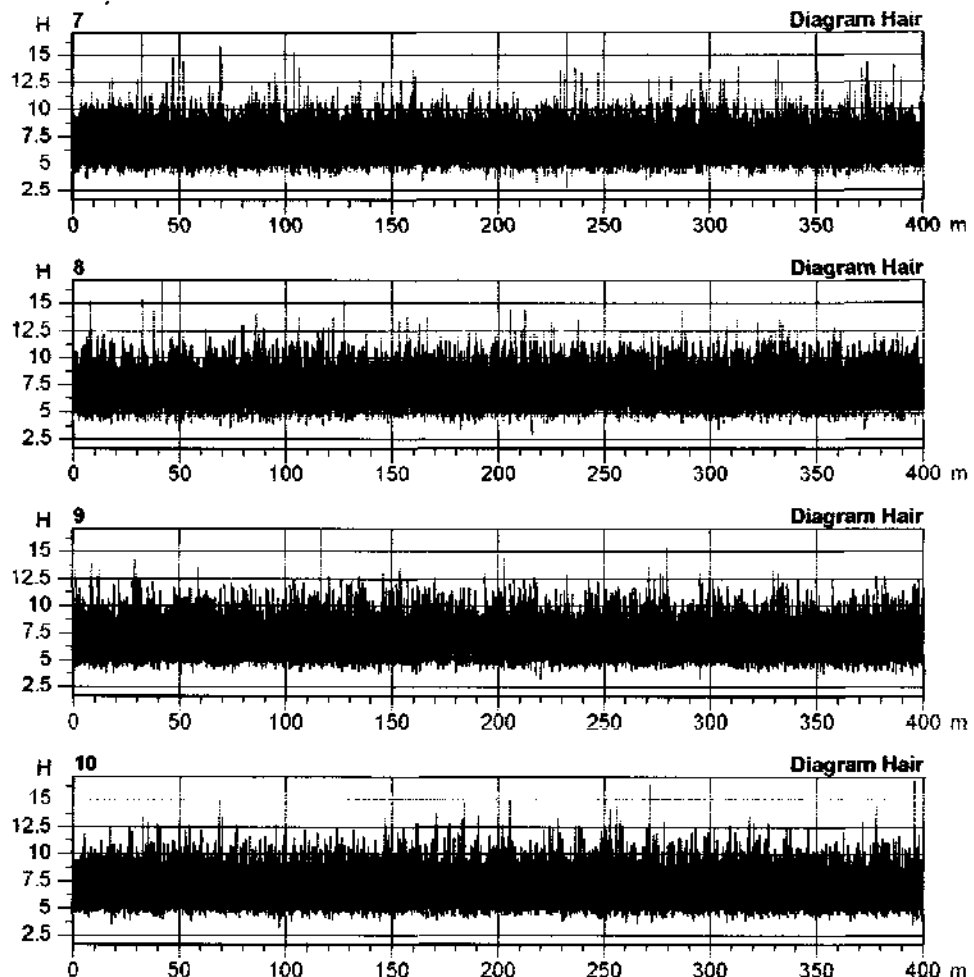


USTER TESTER 4 - SX R 1.8.0* Mon 24.11.08 09:19 Operator Kolarova
Kuempers Textil s.r.o. Plavy

Page 2

Style 100%PES-OE Sample ID 08469 Nom. count Nm 10
Tests 10 / 1 v= 400 m/min t= 1 min Meas. slot 3 Nom. twist 0 T/m
Short staple

Hairiness Diagram

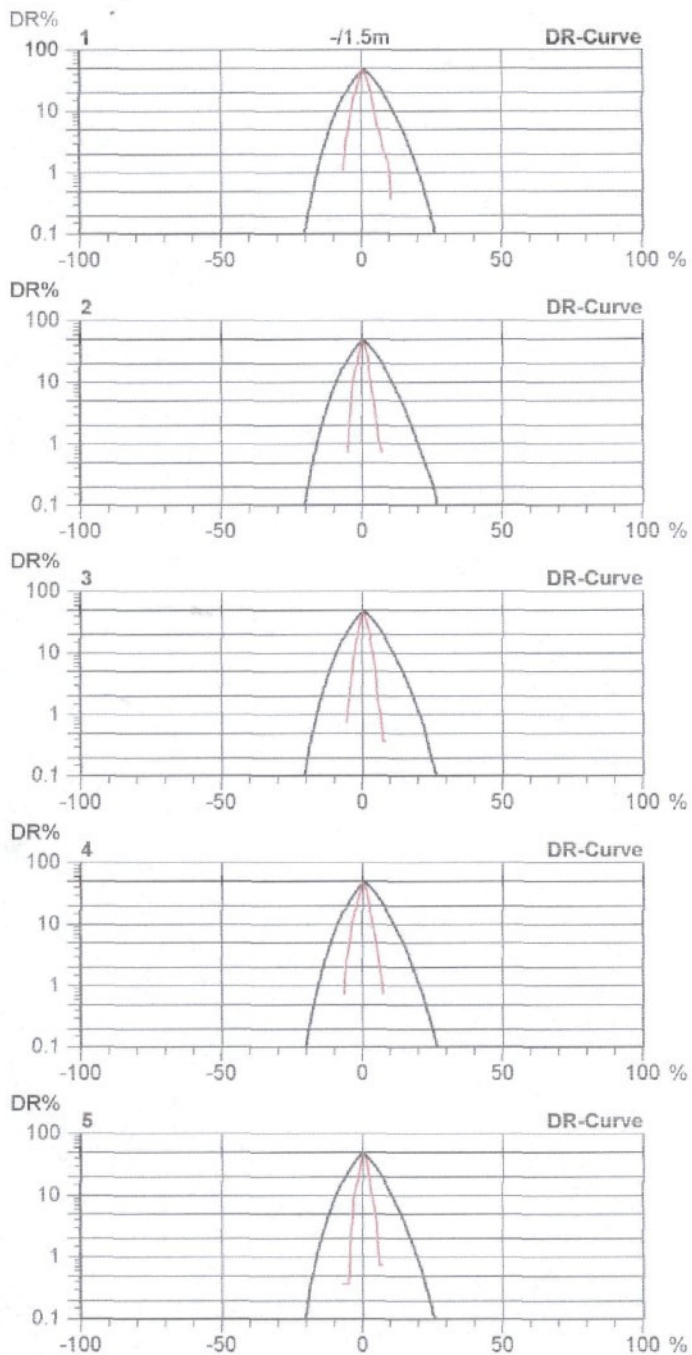


USTER TESTER 4 - SX R 1.8.0* Mon 24.11.08 09:19 Operator Kolarova
Kuempers Textil s.r.o. Plavy

Page 8

Style 100%PES-OE Sample ID 08469 Nom. count Nm 10
Tests 10 / 1 v= 400 m/min t= 1 min Meas. slot 3 Nom. twist 0 T/m
Short staple

KTC 34 SP



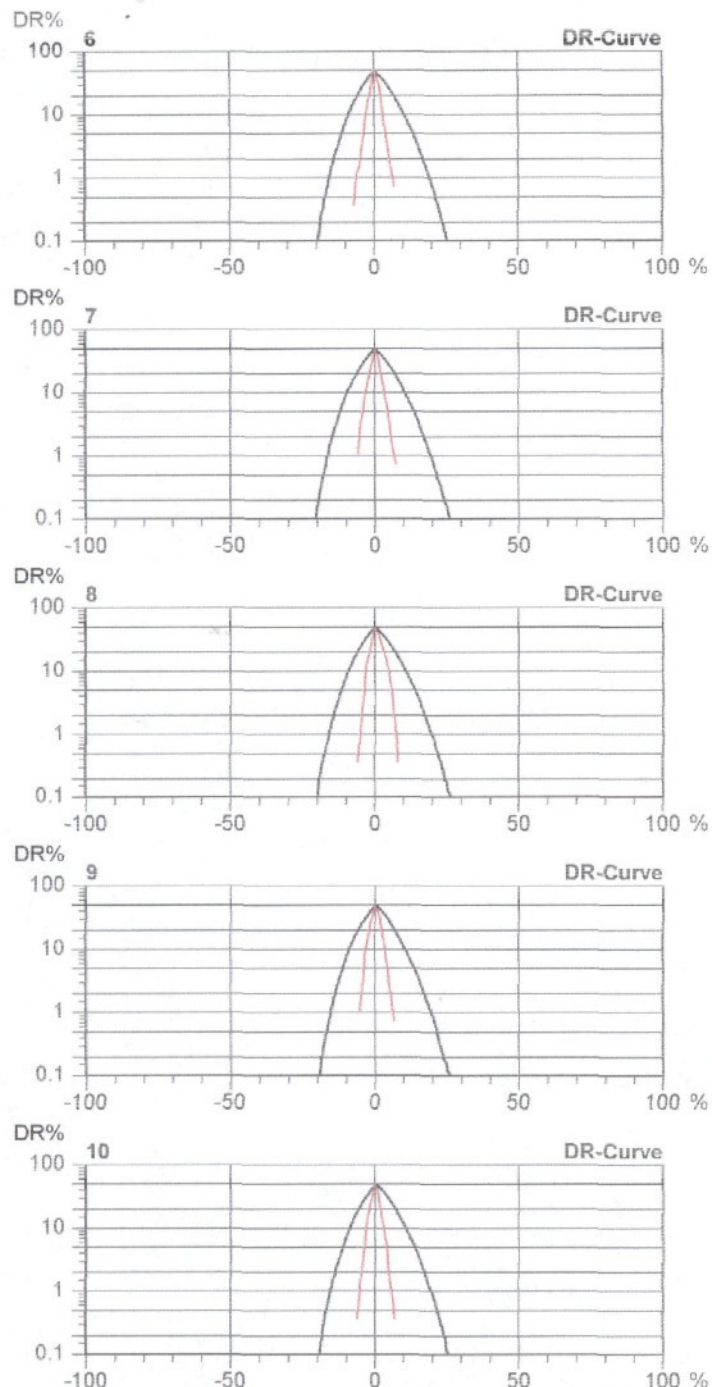
USTER TESTER 4 - SX R 1.8.0*
Kuempers Textil s.r.o. Plavy

Mon 24.11.08 09:19 Operator Kolarova

Page 9

Style 100%PES-OE Sample ID 08469 Nom. count Nm 10
Tests 10 / 1 v= 400 m/min t= 1 min Meas. slot 3 Nom. twist 0 T/m
Short staple

KTC 34 SP



USTER TESTER 4 - SX R 1.8.0*
Kuempers Textil s.r.o. Plavy

Mon 24.11.08 09:19

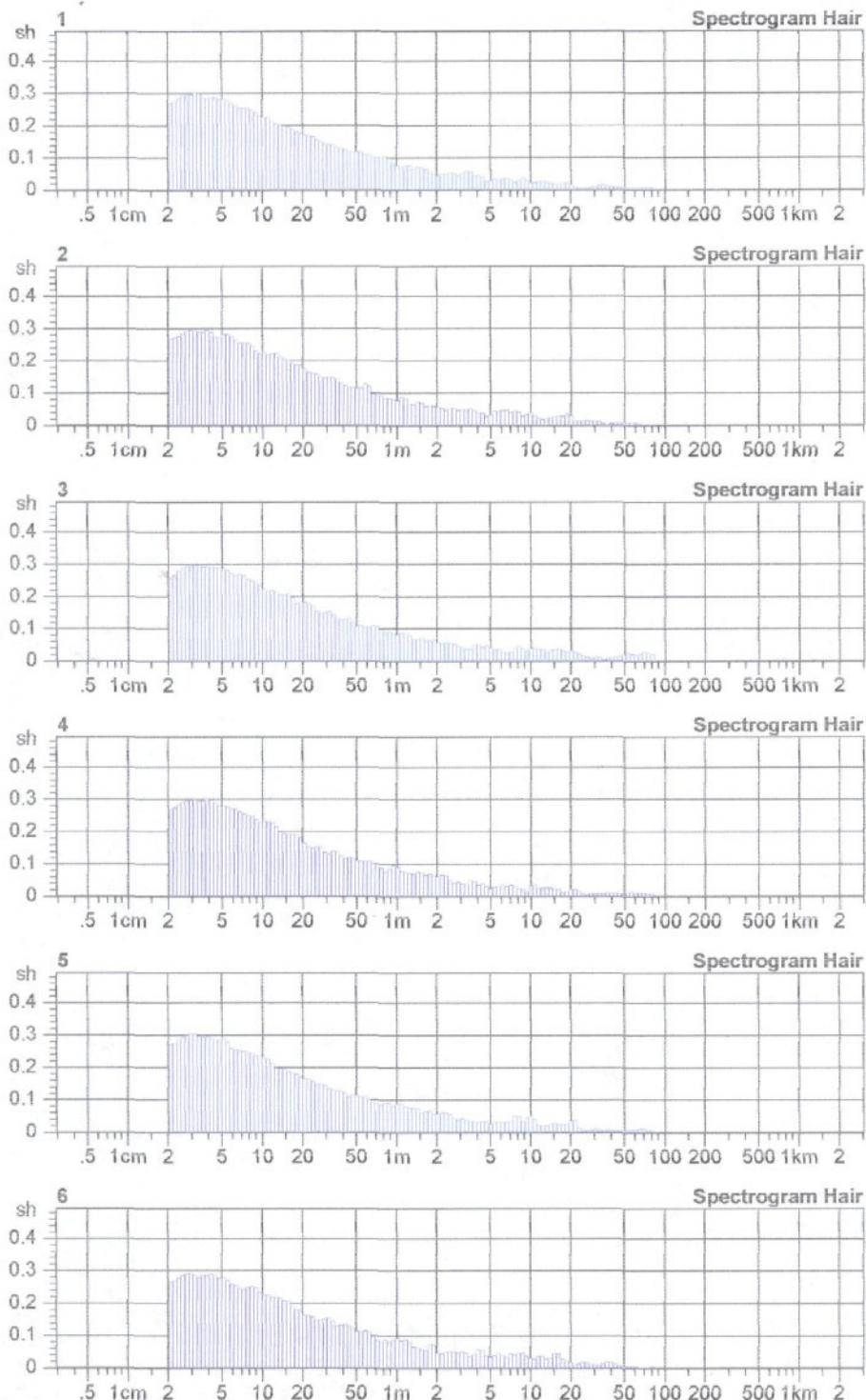
Operator

Kolarova

Page 1

Style 100%PES-OE Sample ID 08469 Nom. count Nm 10
Tests 10 / 1 v= 400 m/min t= 1 min Meas. slot 3 Nom. twist 0 T/m
Short staple

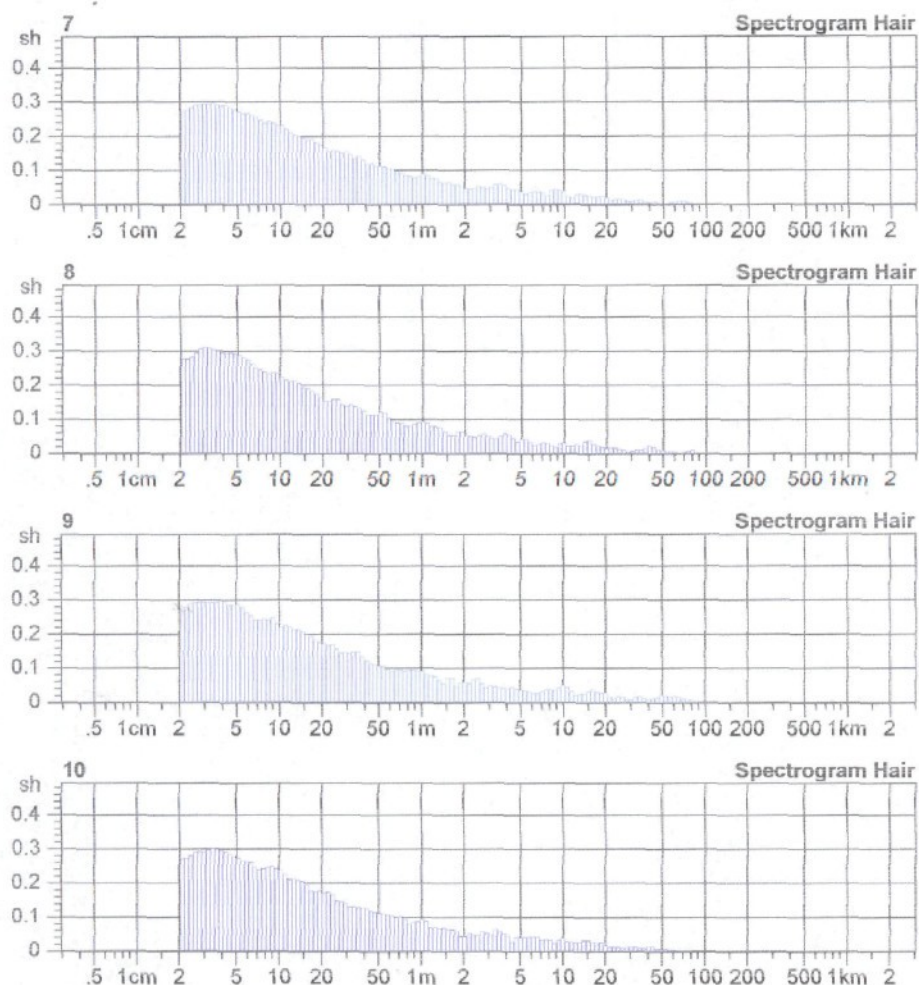
Hairiness Spectrogram

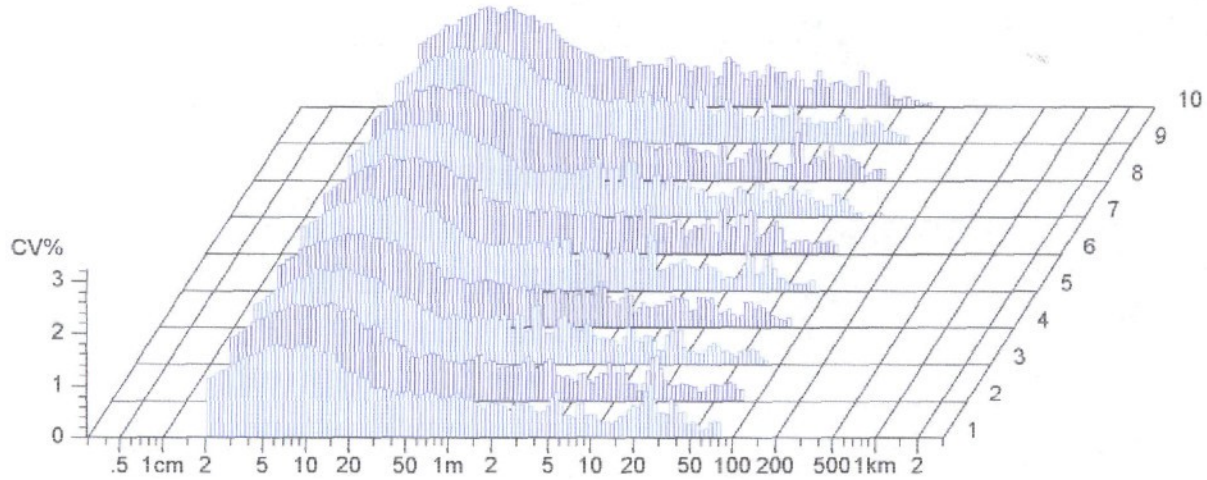


USTER TESTER 4 - SX R 1.8.0* Mon 24.11.08 09:19 Operator Kolarova Page 2
Kuempers Textil s.r.o. Plavy

Style 100%PES-OE Sample ID 08469 Nom. count Nm 10
Tests 10 / 1 v= 400 m/min t= 1 min Meas. slot 3 Nom. twist 0 T/m
Short staple

Hairiness Spectrogram





Příloha 3

**3. příze: T = 83 tex = Nm 12 - Parametry získané měřením na aparatuře Uster
Tester – 4SX**

Style 100%PES-OE Sample ID 08745 Nom. count Nm 12 Nom. twist 0 T/m
 Tests 10 / 1 v= 400 m/min t= 1 min Meas. slot 3 Short staple

Standard table

Article Syncrofil P5 Material class Yarn Mach. Nr. OE 6
 Uster Statistics
 Fiber
 partie : 2668/17 Vext. 1-10

Nr	U%	CVm	Index	CVm 1m	CVm 3m	CVm 10m	Rel. Cnt ±	H	sh	sh 1m	sh 3m	sh 10m
	%	%		%	%	%	%					
1	8.04	10.16		3.10	2.34	1.74	-0.2	8.23	1.80	0.23	0.15	0.08
2	8.31	10.52		3.81	3.05	2.42	-1.3	7.94	1.83	0.21	0.13	0.08
3	8.27	10.44		3.32	2.52	1.92	-0.1	8.14	1.84	0.25	0.16	0.10
4	8.25	10.44		3.67	3.02	2.21	-0.8	8.39	1.86	0.22	0.14	0.08
5	8.16	10.39		3.29	2.49	1.79	-0.7	8.61	1.94	0.26	0.19	0.12
6	8.35	10.54		3.69	2.94	2.43	-0.5	9.00	1.96	0.27	0.20	0.15
7	8.15	10.30		3.36	2.79	1.99	0.7	8.18	1.78	0.22	0.14	0.08
8	7.92	9.98		3.23	2.40	1.77	1.5	8.56	1.82	0.24	0.16	0.11
9	8.13	10.27		3.21	2.38	1.72	0.3	8.38	1.81	0.22	0.13	0.07
10	8.16	10.34		3.39	2.61	1.74	0.5	8.85	1.85	0.25	0.17	0.11
Mean	8.17	10.34		3.41	2.65	1.97	0.0	8.43	1.85	0.24	0.16	0.10
CV	1.6	1.7		6.9	10.3	14.2	0.8	3.9	3.1	9.3	14.2	24.0
s	0.13	0.17		0.23	0.27	0.28	0.8	0.33	0.06	0.02	0.02	0.02
Q95	0.09	0.12		0.17	0.20	0.20	0.6	0.24	0.04	0.02	0.02	0.02
Max	8.35	10.54		3.61	3.05	2.43	1.5	9.00	1.96	0.27	0.20	0.15
Min	7.92	9.98		3.10	2.34	1.72	-1.3	7.94	1.78	0.21	0.13	0.07

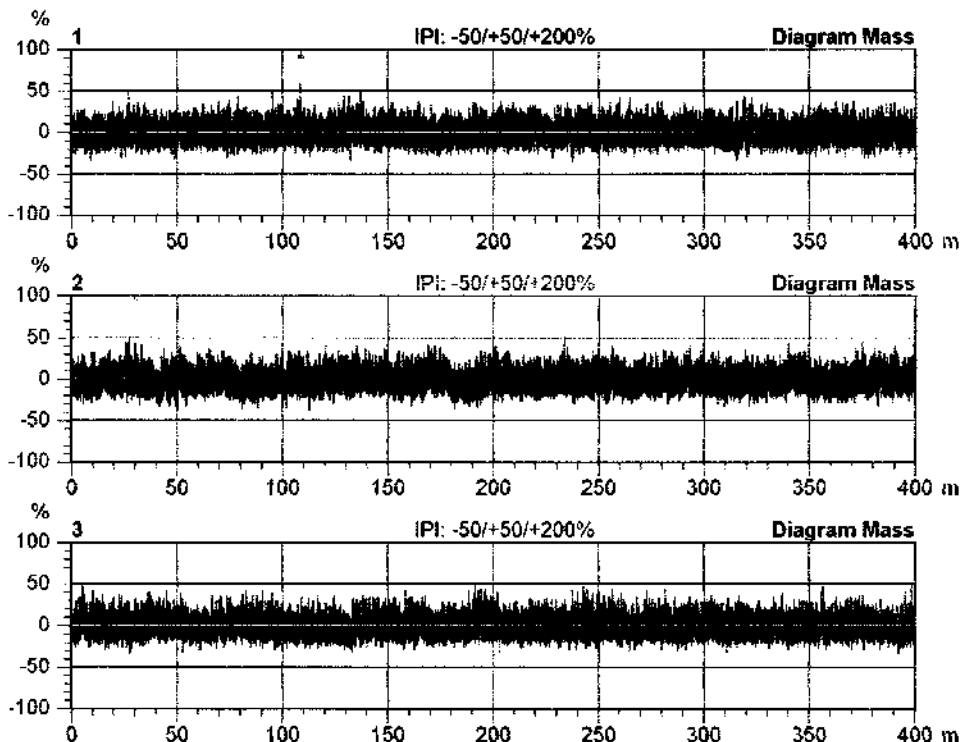
Ni	Thin -30%	Thin -40%	Thin -50%	Thick +35%	Thick +50%	Thick +70%	Neps +140%	Neps +200%	Neps +280%
	/km	/km	/km	/km	/km	/km	/km	/km	/km
1	170.0	5.0	0.0	62.5	2.5	0.0	12.5	0.0	0.0
2	187.5	0.0	0.0	82.5	0.0	0.0	22.5	2.5	0.0
3	192.5	0.0	0.0	92.5	0.0	0.0	12.5	0.0	0.0
4	162.5	0.0	0.0	77.5	0.0	0.0	40.0	0.0	0.0
5	250.0	100	0.0	55.0	0.0	0.0	27.5	0.0	0.0
6	172.5	0.0	0.0	95.0	0.0	0.0	65.0	2.5	0.0
7	152.5	0.0	0.0	107.5	5.0	0.0	15.0	0.0	0.0
8	160.0	0.0	0.0	37.5	2.5	0.0	10.0	2.5	0.0
9	172.5	0.0	0.0	47.5	2.5	0.0	22.5	0.0	0.0
10	187.5	2.5	0.0	85.0	2.5	0.0	30.0	0.0	0.0
Mean	180.8	1.6	0.0	74.3	1.5	0.0	25.8	0.8	0.0
CV	15.2	191.1		30.6	116.5		64.7	161.0	
s	27.8	3.3	0.0	22.7	1.7	0.0	16.7	1.2	0.0
Q95	19.7	2.4		16.2	1.3		11.9	0.9	
Max	250.0	10.0	0.0	107.5	5.0	0.0	65.0	2.5	0.0
Min	152.5	0.0	0.0	37.5	0.0	0.0	10.0	0.0	0.0

USTER TESTER 4 - SX R 1.8.0* Tue 13.01.09 12:55 Operator Kolarova Page 2
Kuempers Textil s.r.o. Plavy

Style 100%PES-OE Sample ID 08745 Nom. count Nm 12 0 T/m
Tests 10 / 1 v= 400 m/min t= 1 min Meas. slot 3 Short staple

KTC 34 SP

Nr	sh
1	1.80
2	1.83
3	1.84
4	1.86
5	1.94
6	1.96
7	1.78
8	1.82
9	1.81
10	1.85
Mean	1.85
CV	3.1
Q95	0.04
Max	1.96
Min	1.78



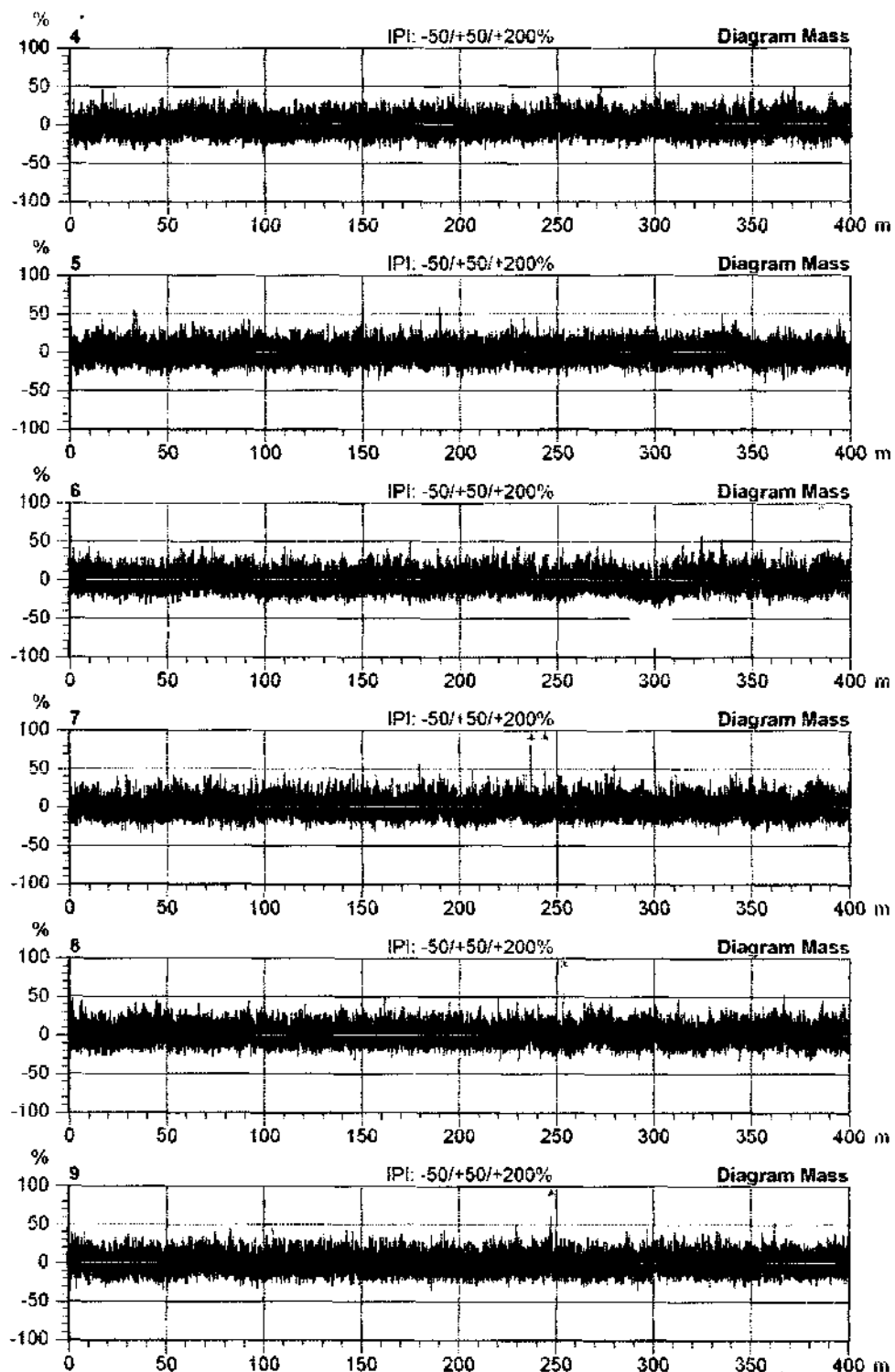
USTER TESTER 4 - SX R 1.6.0*
Tue 13.01.09 12:55
Kuempers Textil s.r.o., Plavy

Operator Kolarova

Page 3

Style 100%PES-OE Sample ID 08745 Nom. count Nm 12 Nom. twist 0 T/m
Tests 10 / 1 v= 400 m/min t= 1 min Meas. slot 3 Short staple

KTC 34 SP

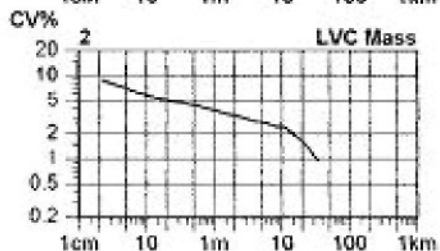
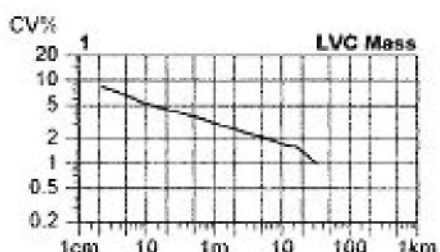
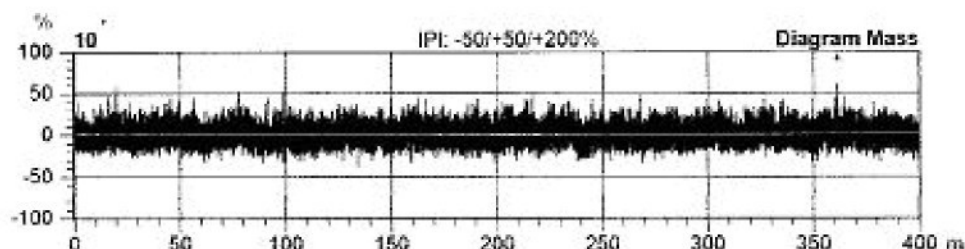


USTER TESTER 4 - SX R 1.8.0* Tue 13.01.09 12:55 Operator Kolarova Page 4

Kuempers Textil s.r.o. Plavy

Style 100%PES-OE Sample ID 06745 Nom. count Nm 12
Tests 10 / 1 v= 400 m/min t= 1 min Meas. slot 3 Norm. twist 0 T/m
Short staple

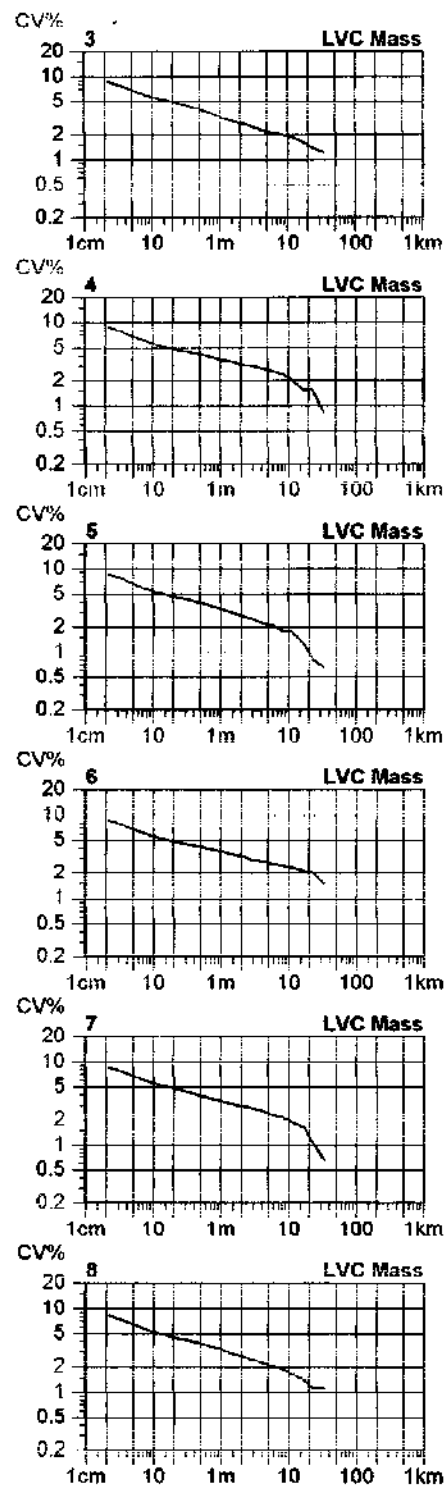
KTC 34 SP



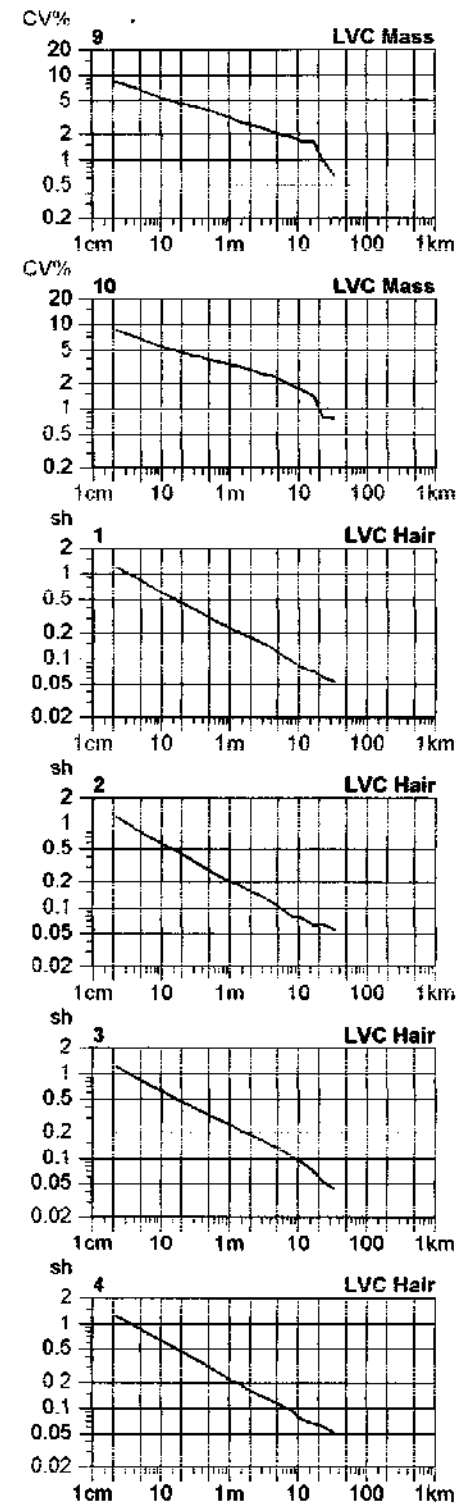
USTER TESTER 4 - SX R 1.8.0* Tue 13.01.09 12:55 Operator Kolarova Page 5
Kuempers Textil s.r.o. Plavy

Style 100%PES-OE Sample ID 08745 Nom. count Nm 12
Tests 10 / 1 v= 400 m/min t= 1 min Meas. slot 3 Norm. twist 0 T/m
Short staple

KTC 34 SP



Style Tests	100%PES-OE 10 / 1	Sample ID $v = 400 \text{ m/min}$	08745 $t = 1 \text{ min}$	Nom. count Meas. slot	Nm 12 3	Nom. twist Short staple	0 T/m
-------------	----------------------	--------------------------------------	------------------------------	--------------------------	------------	----------------------------	-------

KTC 34 SP

USTER TESTER 4 - SX R 1.8.0*
Kuempers Textil s.r.o. Plavy

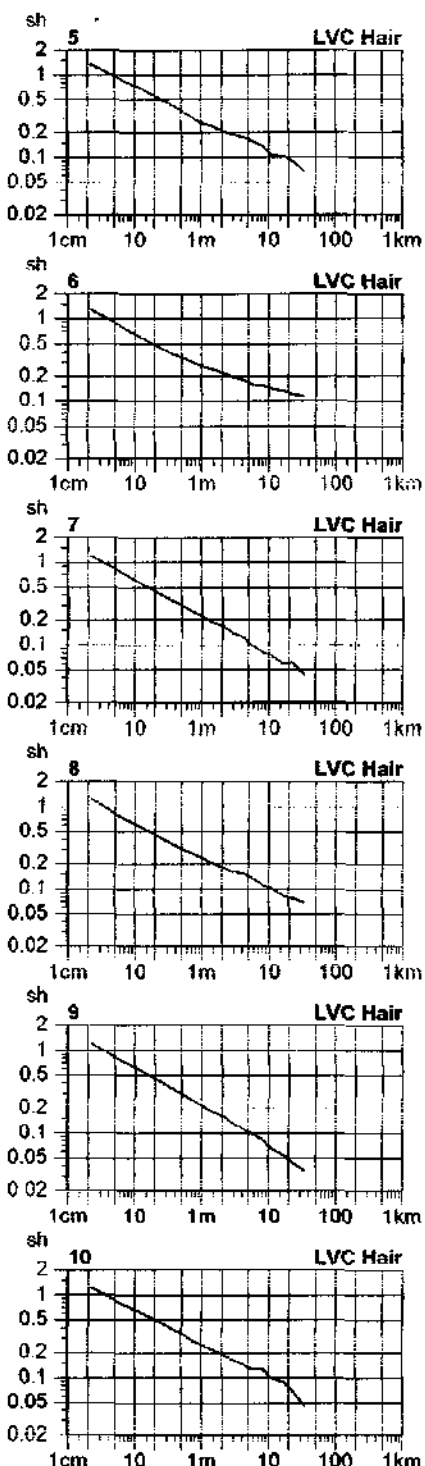
Tue 13.01.09 12:55

Operator Kolarova

Page 7

Style 100%PES-OE Sample ID 08745 Nom. count Nm 12
Tests 10 / 1 v= 400 m/min t= 1 min Meas. slot 3 Nom. twist 0 T/m
Short staple

KTC 34 SP



USTER TESTER 4 - SX R 1.8.0*
Kuempers Textil s.r.o. Plavy

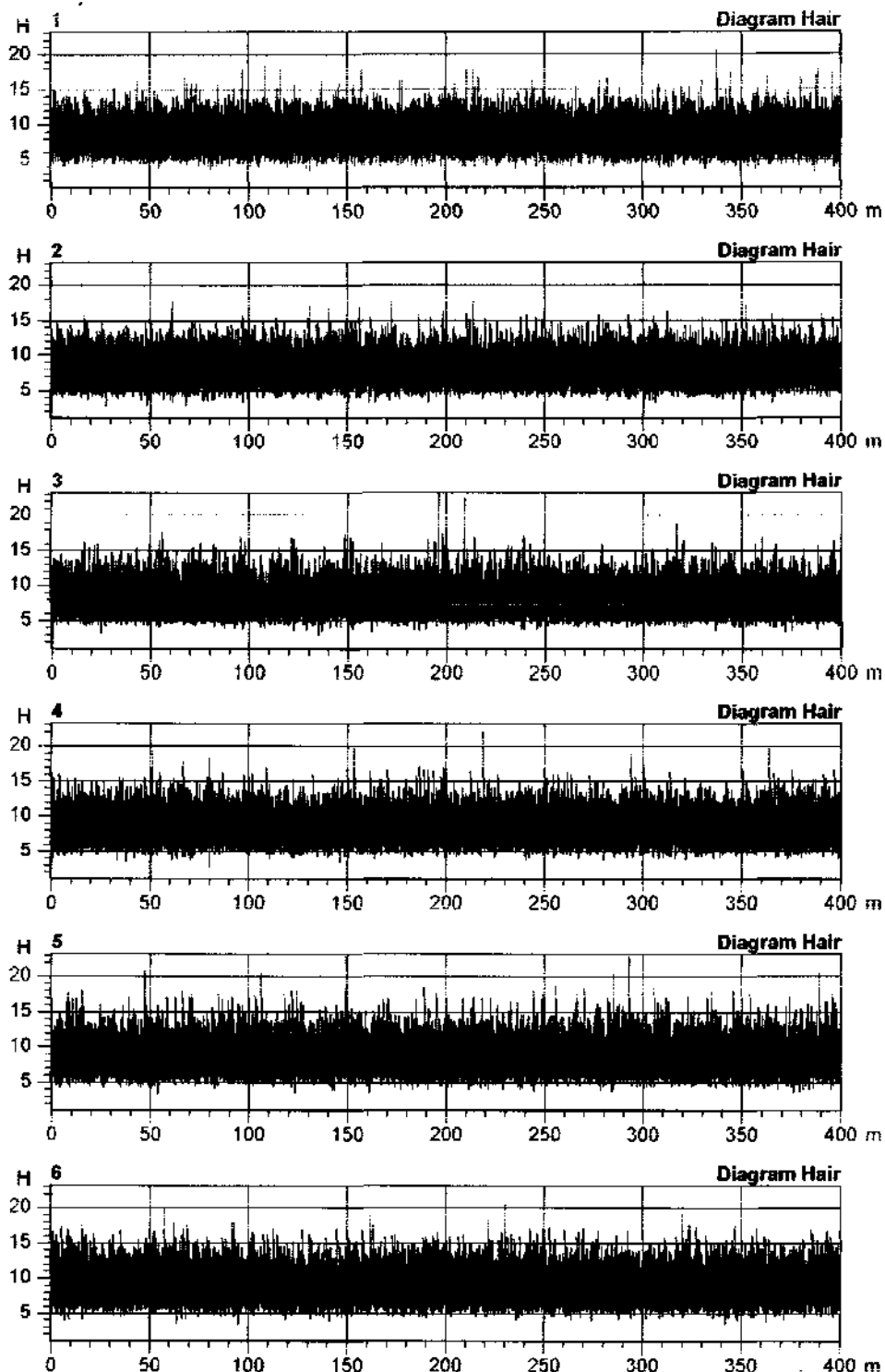
Tue 13.01.09 12:55

Operator Kolarova

Page 1

Style 100%PES-OE Sample ID 08745 Nom. count Nm 12 Nom. twist 0 T/m
Tests 10 / 1 v= 400 m/min t= 1 min Meas. slot 3 Short staple

Hairiness Diagram



USTER TESTER 4 - SX R 1.8.0*
Kuempers Textil s.r.o. Plavy

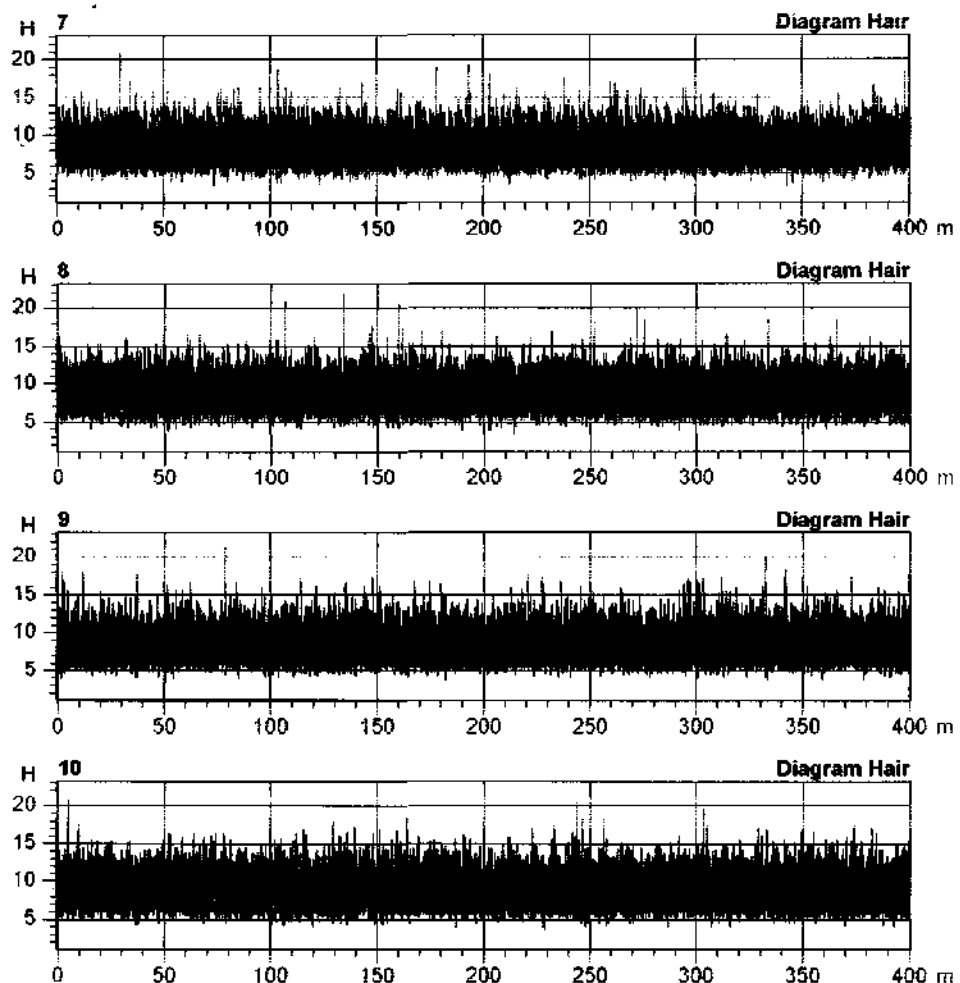
Tue 13.01.09 12:55

Operator Kolarova

Page 2

Style 100%PES-OE Sample ID 08745 Norm. count Nm 12
Tests 10 / 1 v= 400 m/min t= 1 min Meas. slot 3 Nom. twist 0 T/m
Short staple

Hairiness Diagram



USTER TESTER 4 - SX R 1.8.0*
Kuempers Textil s.r.o. Plavy

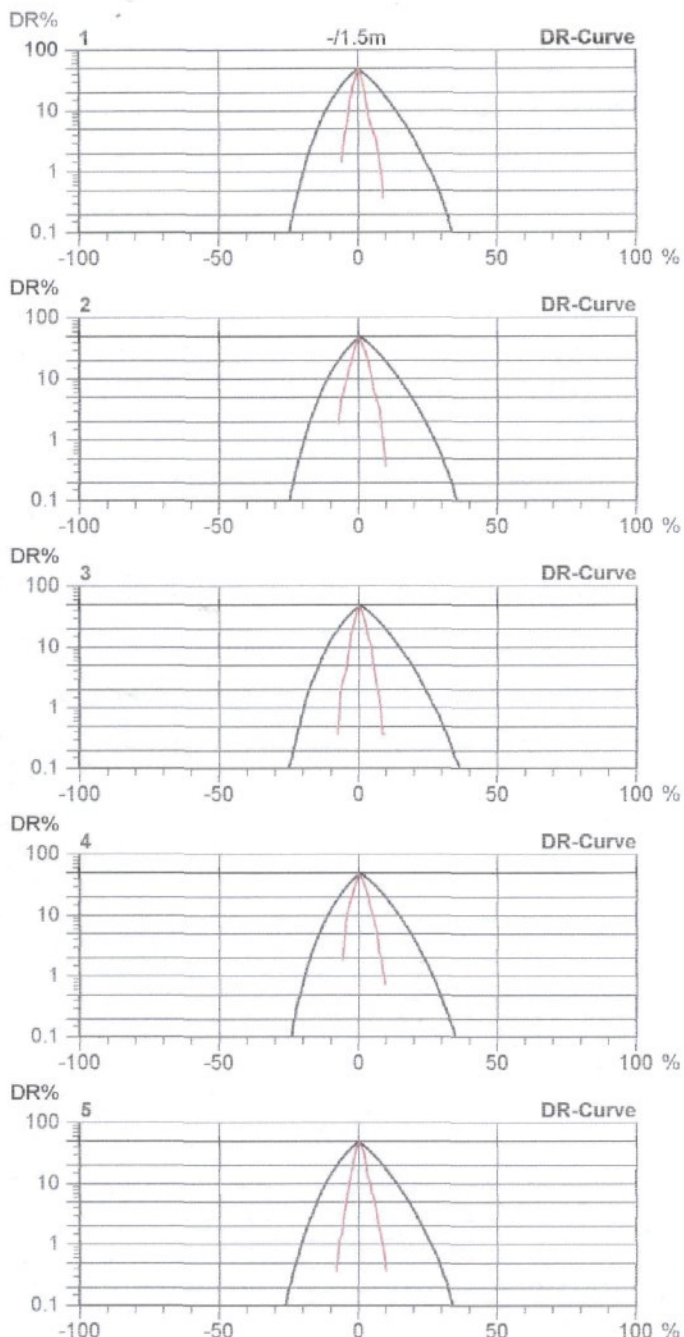
Tue 13.01.09 12:55

Operator Kolarova

Page 8

Style 100%PES-OE Sample ID 08745 Nom. count Nm 12
Tests 10 / 1 v= 400 m/min t= 1 min Meas. slot 3 Nom. twist 0 T/m
Short staple

KTC 34 SP



USTER TESTER 4 - SX R 1.8.0*
Kuempers Textil s.r.o. Plavy

Tue 13.01.09 12:55

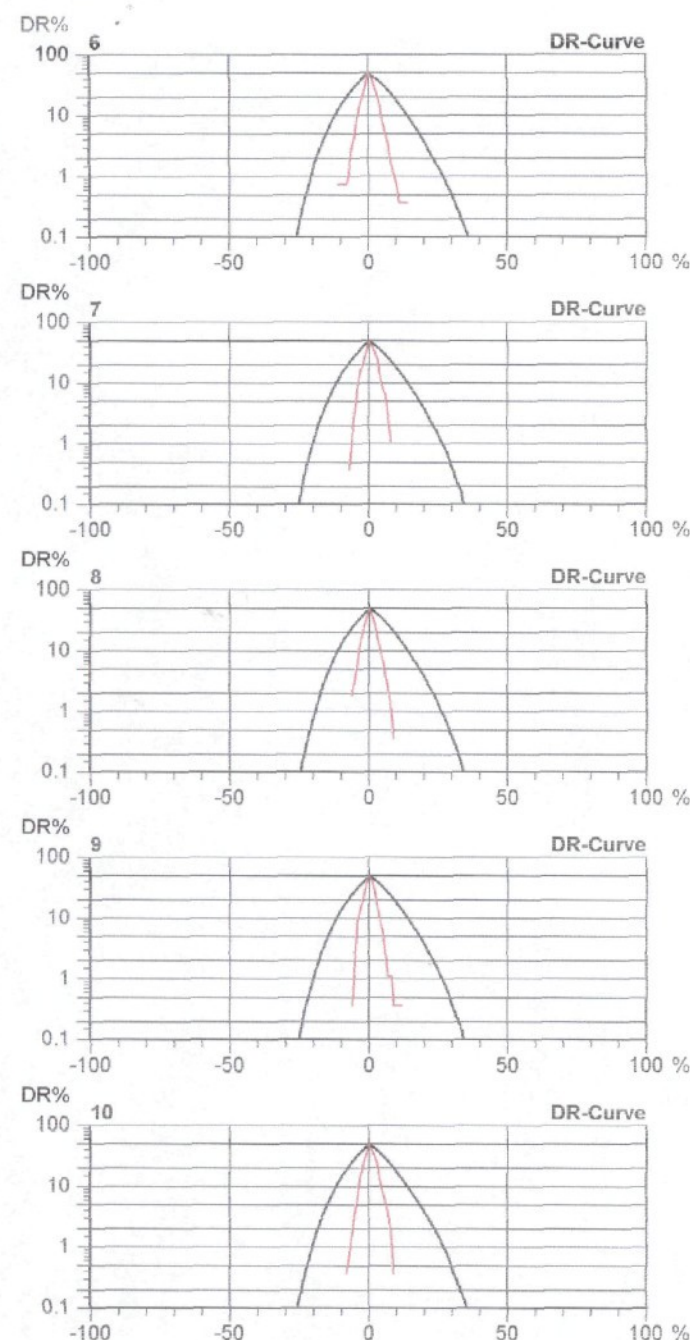
Operator

Kolarova

Page 9

Style 100%PES-OE Sample ID 08745 Nom. count Nm 12
Tests 10 / 1 v= 400 m/min t= 1 min Meas. slot 3 Nom. twist 0 T/m
Nom. twist Short staple

KTC 34 SP



USTER TESTER 4 - SX R 1.8.0*
Kuempers Textil s.r.o. Plavy

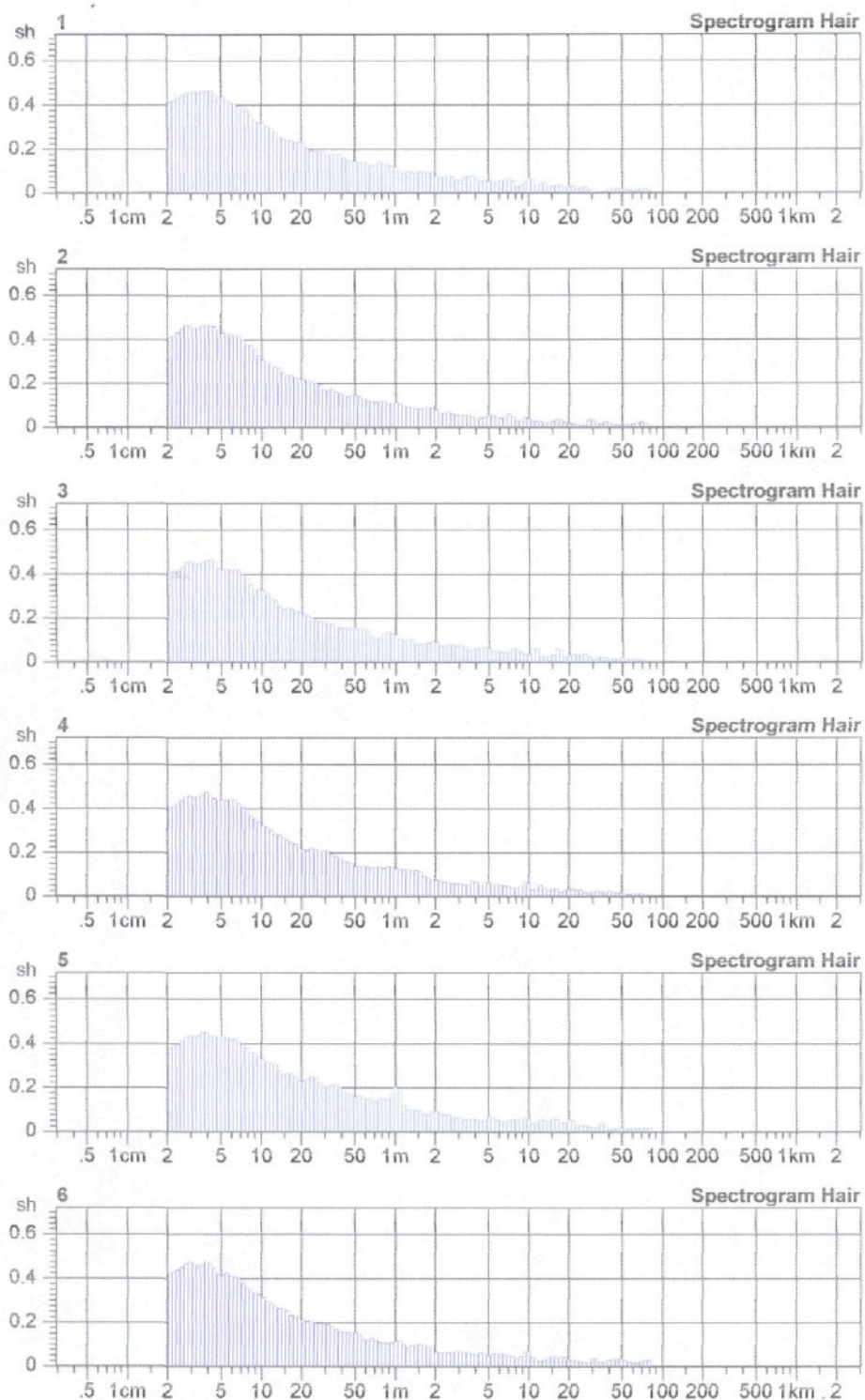
Tue 13.01.09 12:55

Operator Kolarova

Page 1

Style 100%PES-OE Sample ID 08745 Nom. count Nm 12
Tests 10 / 1 v= 400 m/min t= 1 min Meas. slot 3 Nom. twist 0 T/m
Short staple

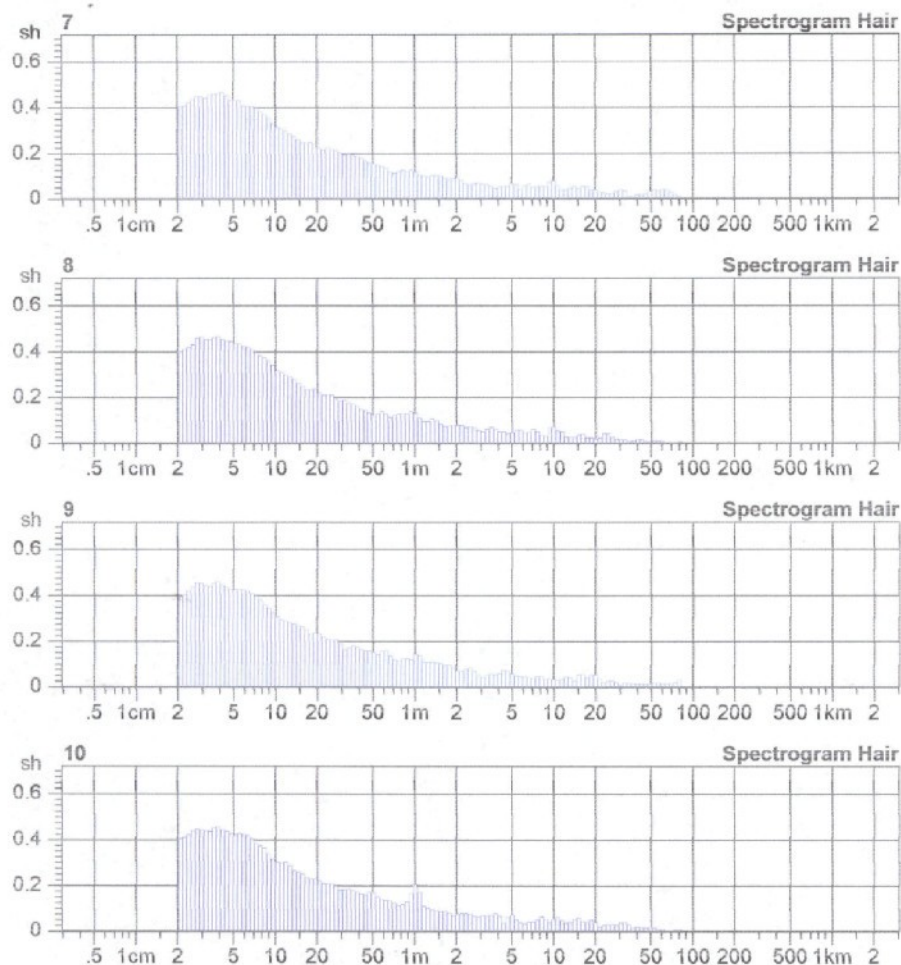
Hairiness Spectrogram

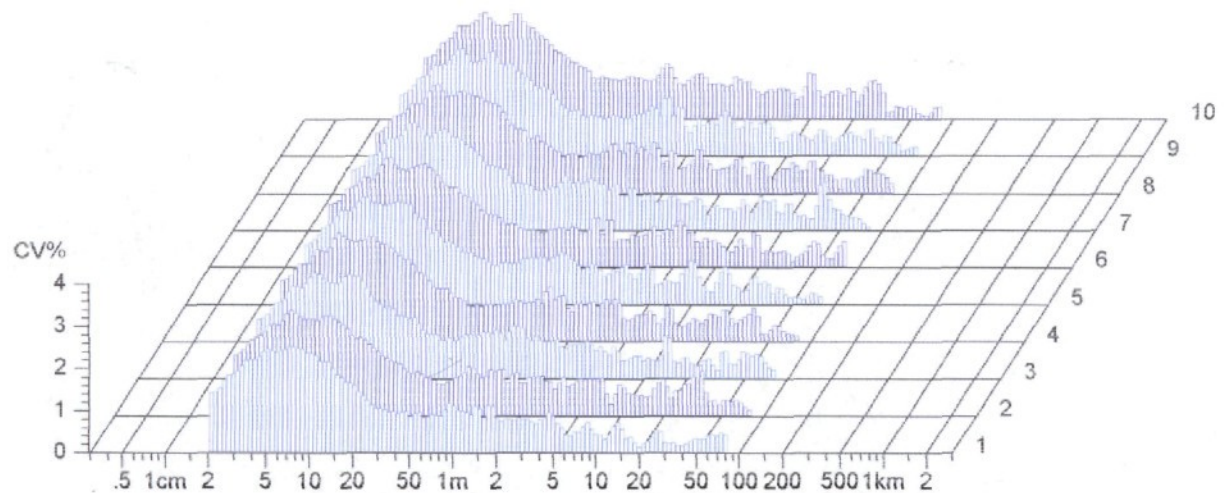


USTER TESTER 4 - SX R 1.8.0* Tue 13.01.09 12:55 Operator Kolarova
Kuempers Textil s.r.o. Plavy

Style 100%PES-OE Sample ID 08745 Nom. count Nm 12 Nom. twist 0 T/m
Tests 10 / 1 v= 400 m/min t= 1 min Meas. slot 3 Short staple

Hairiness Spectrogram





Příloha 3

2. příze: $T = 20 \text{ tex} = \text{Nm } 20$ - Parametry získané měřením na aparatuře Uster Tester – 4SX

USTER TESTER 4 - SX R 1.8.0" Mon 19.01.09 13:48 Operator Jechova Page 1
 Kuempers Textil s.r.o. Plavy

Style 100%PES-OE Sample ID 08806 Nom. count Nm 20 0 T/m
 Tests 10 / 1 v= 400 m/min t= 1 min Meas. slot 3 Short staple

Standard table

Article Syncrofil P5 Material class Yarn Mach. Nr. OE 5
 Uster Statistics
 Fiber
 partie : 2597/21 2.28,55,91,97,110,147,154,180,185

Nr	U%	CVm	Index	CVm 1m	CVm 3m	CVm 10m	Rel. Cnt ±	H	sh	sh 1m	sh 3m	sh 10m
	%	%		%	%	%	%					
1	8.35	10.51		4.11	3.35	2.89	-0.1	6.01	1.33	0.16	0.10	0.07
2	7.97	9.98		3.65	2.95	2.14	-0.8	5.89	1.33	0.16	0.10	0.06
3	8.09	10.19		3.81	2.95	2.32	1.9	6.06	1.37	0.17	0.10	0.06
4	8.14	10.27		3.73	2.94	2.35	-2.1	5.84	1.29	0.15	0.09	0.05
5	7.96	10.02		3.44	2.53	1.74	0.7	5.92	1.30	0.15	0.09	0.05
6	8.04	10.10		3.89	3.03	2.42	-1.8	5.94	1.31	0.16	0.10	0.06
7	8.08	10.23		4.03	3.14	2.46	0.7	5.89	1.32	0.16	0.10	0.06
8	7.94	9.99		3.37	2.49	1.75	-0.2	6.04	1.34	0.16	0.09	0.06
9	8.10	10.21		3.71	2.72	1.74	-0.2	6.04	1.35	0.16	0.10	0.06
10	8.01	10.10		3.57	2.82	2.14	1.9	6.05	1.34	0.15	0.10	0.06
Mean	8.07	10.16		3.73	2.89	2.18	0.0	5.97	1.33	0.16	0.10	0.06
CV	1.5	1.6		6.4	9.1	15.5	1.4	1.3	1.8	3.8	4.4	8.5
s	0.12	0.16		0.24	0.26	0.34	1.4	0.06	0.02	0.01	0.00	0.01
Q95	0.09	0.11		0.17	0.19	0.24	1.0	0.06	0.02	0.00	0.00	0.00
Max	8.35	10.51		4.11	3.35	2.69	1.9	6.06	1.37	0.17	0.10	0.07
Min	7.94	9.98		3.37	2.49	1.74	-2.1	5.84	1.29	0.15	0.09	0.05

Nr	Thin -30% /km	Thin -40% /km	Thin -50% /km	Thick +35% /km	Thick +50% /km	Thick +70% /km	Neps +140% /km	Neps +200% /km	Neps +280% /km
1	280.0	7.5	0.0	30.0	0.0	0.0	32.5	0.0	0.0
2	160.0	2.5	0.0	25.0	0.0	0.0	20.0	0.0	0.0
3	172.5	0.0	0.0	27.5	0.0	0.0	12.5	0.0	0.0
4	200.0	2.5	0.0	35.0	0.0	0.0	15.0	0.0	0.0
5	202.5	0.0	0.0	37.5	2.5	0.0	10.0	2.5	0.0
6	182.5	7.5	0.0	27.5	0.0	0.0	2.5	0.0	0.0
7	192.5	7.5	0.0	42.5	0.0	0.0	15.0	0.0	0.0
8	192.5	0.0	0.0	37.5	0.0	0.0	12.5	0.0	0.0
9	272.5	2.5	0.0	42.5	0.0	0.0	15.0	0.0	0.0
10	190.0	2.5	0.0	25.0	0.0	0.0	22.5	0.0	0.0
Mean	203.5	3.3	0.0	33.0	0.3	0.0	15.8	0.3	0.0
CV	19.8	96.3		20.8	316.2		50.8	316.2	
s	40.4	3.1	0.0	6.9	0.8	0.0	8.0	0.8	0.0
Q95	28.9	2.2		4.9	0.6		5.7	0.6	
Max	280.0	7.5	0.0	42.5	2.5	0.0	32.5	2.5	0.0
Min	160.0	0.0	0.0	25.0	0.0	0.0	2.5	0.0	0.0

USTER TESTER 4 - SX R 1.8.0*
Kuempers Textil s.r.o. Plavy

Mon 19.01.09 13:48

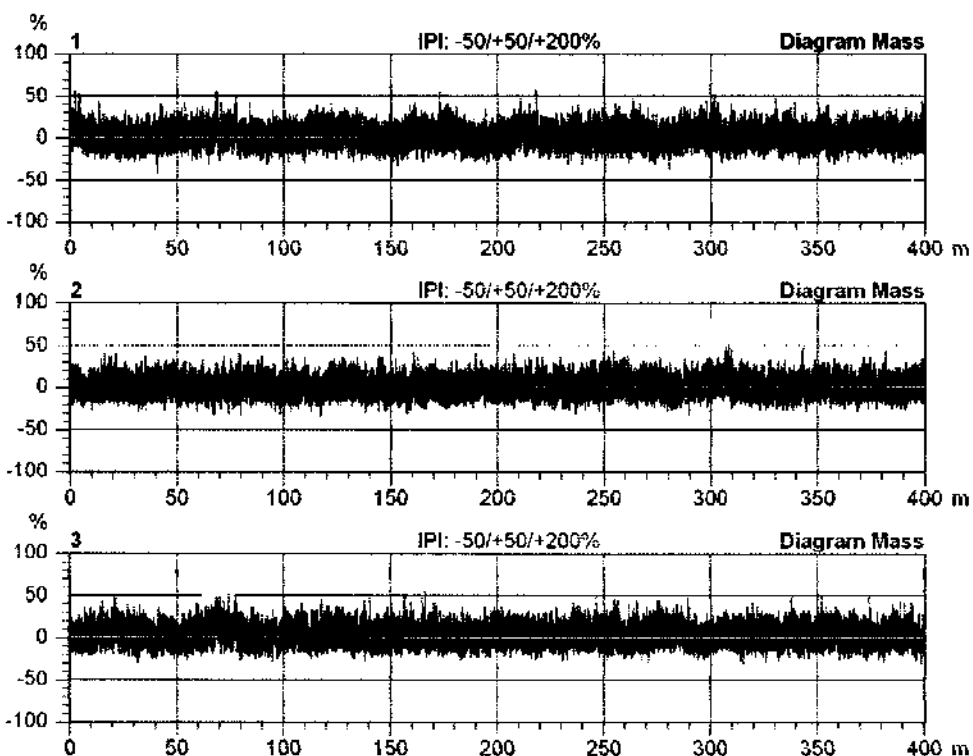
Operator Jechova

Page 2

Style 100%PES-OE Sample ID 08806 Nom. count Nm 20
Tests 10 / 1 v= 400 m/min t= 1 min Meas. slot 3 Nom. twist 0 T/m
Short staple

KTC 34 SP

Nr	sh
1	1.33
2	1.33
3	1.37
4	1.29
5	1.30
6	1.31
7	1.32
8	1.34
9	1.35
10	1.34
Mean	1.33
CV	1.8
Q95	0.02
Max	1.37
Min	1.29



USTER TESTER 4 - SX R 1.8.0*
Kuempers Textil s.r.o. Plavy

Mon 19.01.09 13:48

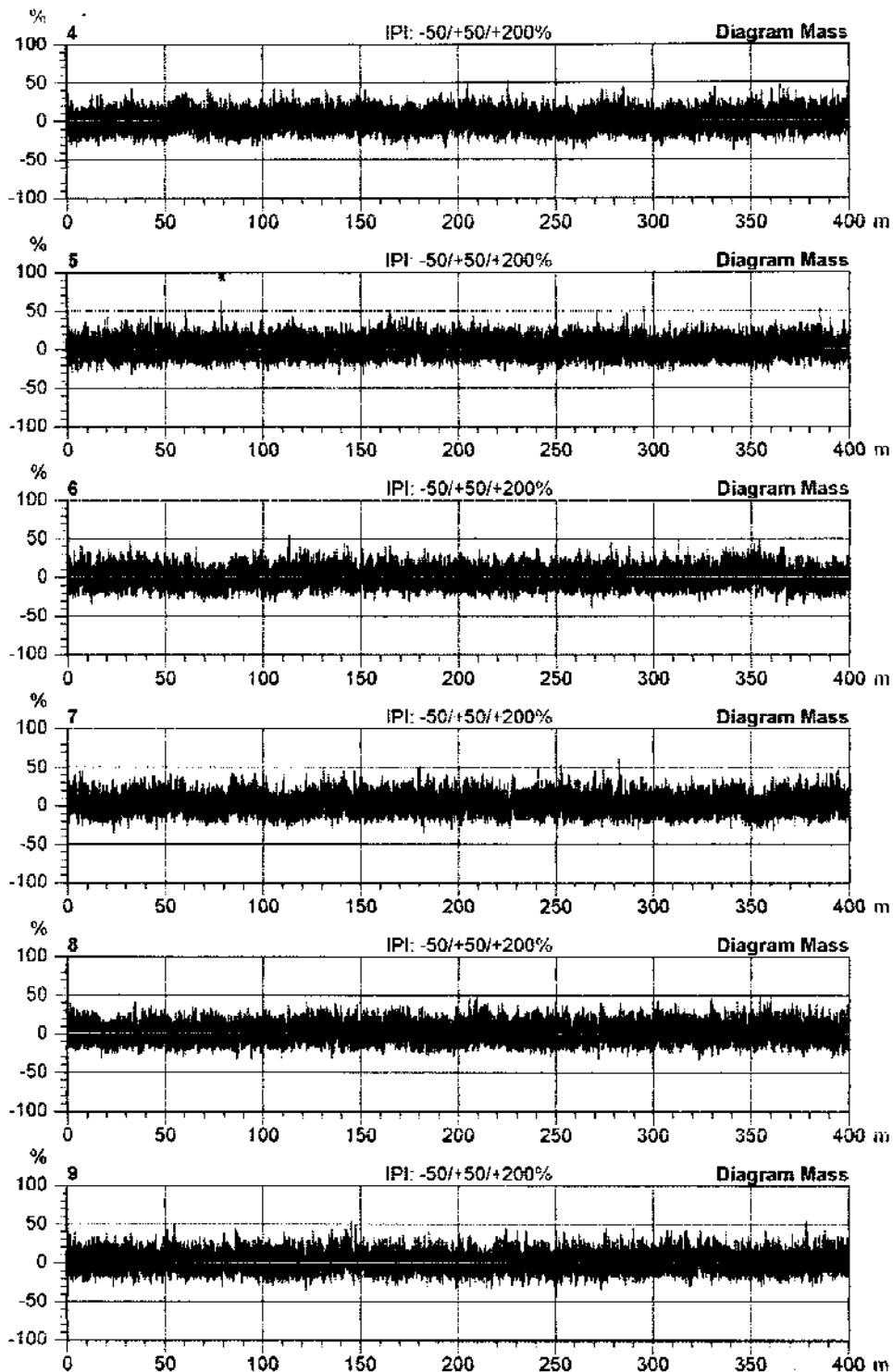
Operator

Jechova

Page 3

Style 100%PES-OE Sample ID 08806 Nom. count Nm 20 Nom. twist 0 T/m
Tests 10 / 1 v= 400 m/min t= 1 min Meas. slot 3 Short staple

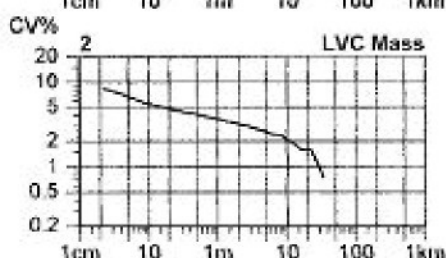
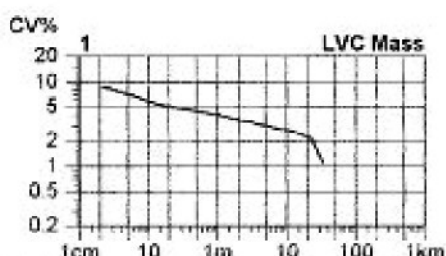
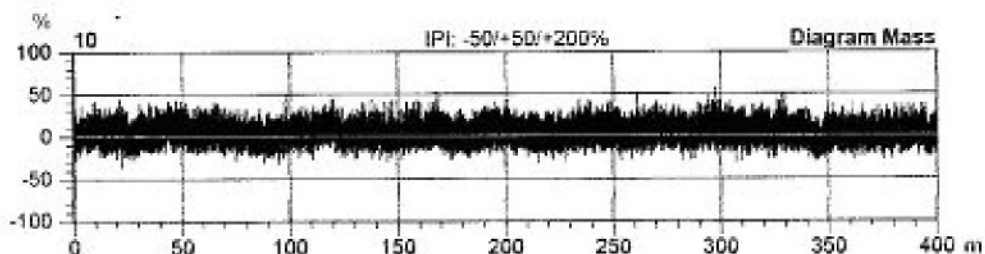
KTC 34 SP



USTER TESTER 4 - SX R 1.8.0* Mon 19.01.09 13:48 Operator Jechova
Kuempers Textil s.r.o. Plavy

Style 100%PES-OE Sample ID 08806 Nom. count Nm 20
Tests 10 / 1 v= 400 m/min t= 1 min Meas. slot 3 Nom. twist 0 T/m
Short staple

KTC 34 SP

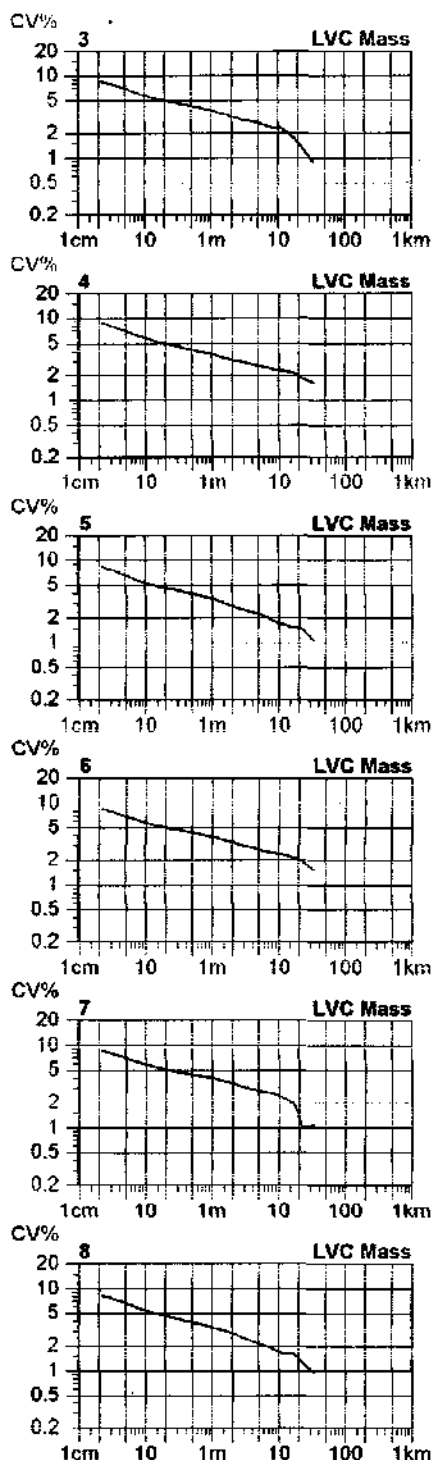


..

USTER TESTER 4 - SX R 1.8.0* Mon 19.01.09 13:48 Operator Jechova Page 5
Kuempers Textil s.r.o. Plavy

Style 100%PES-OE Sample ID 08806 Norm. count Nm 20
Tests 10 / 1 v= 400 m/min t= 1 min Meas. slot 3 Norm. twist 0 T/m
Short staple

KTC 34 SP



USTER TESTER 4 - SX R 1.8.0*
Kuempers Textil s.r.o. Plavy

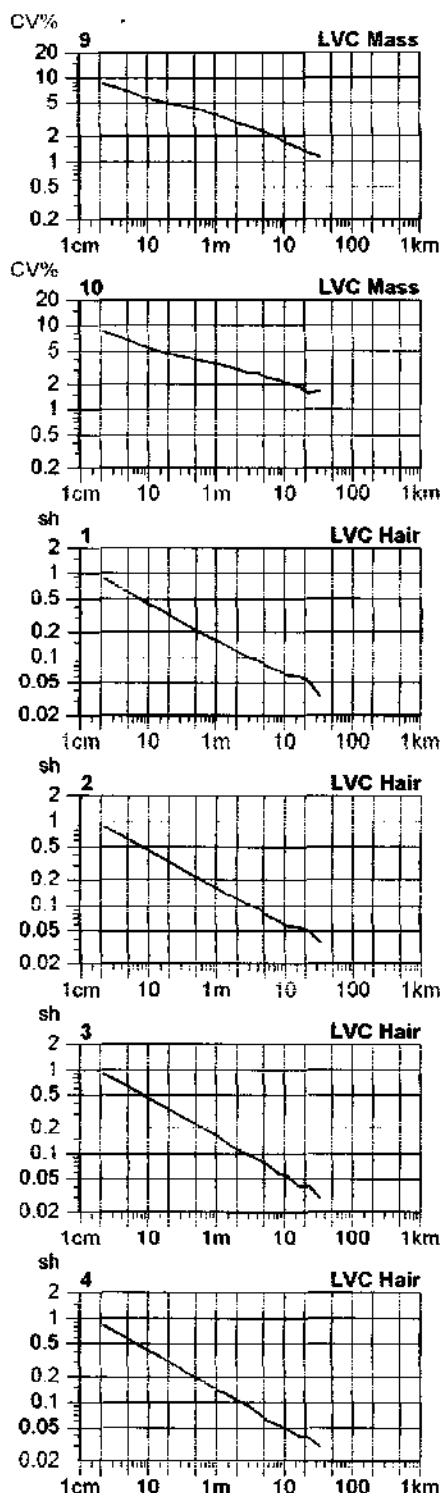
Mon 19.01.09 13:48

Operator Jechova

Page 6

Style 100%PES-OE Sample ID 08806 Nom. count Nm 20
Tests 10 / 1 v= 400 m/min t= 1 min Meas. slot 3 Nom. twist 0 T/m
Short staple

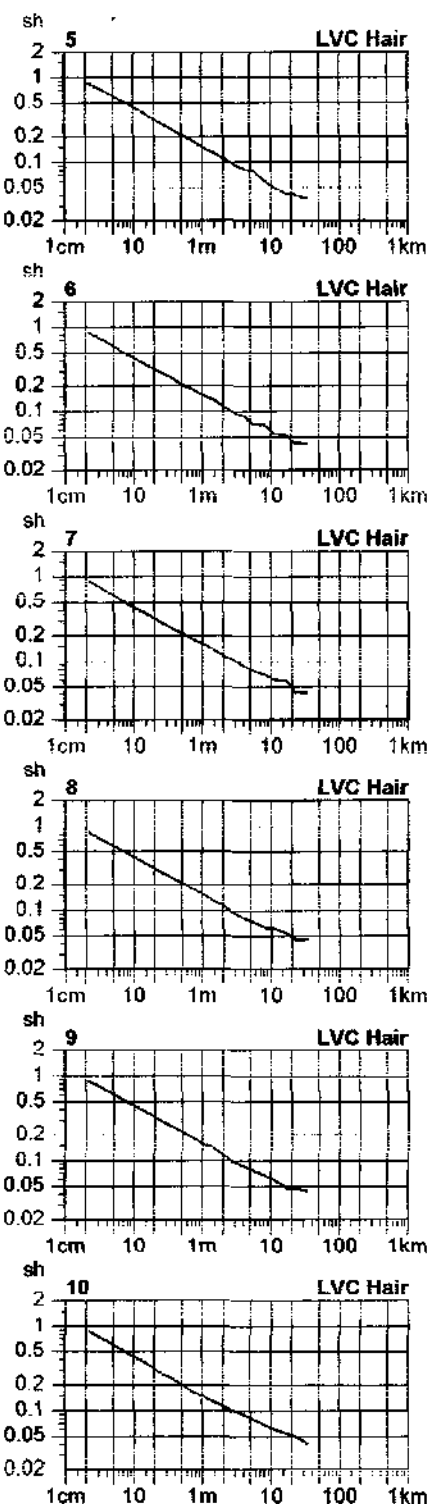
KTC 34 SP



USTER TESTER 4 - SX R 1.8.0* Mon 19.01.09 13:48 Operator Jechova Page 7
Kuempers Textil s.r.o. Plavy

Style 100%PES-OE Sample ID 08806 Nom. count Nm 20
Tests 10 / 1 v= 400 m/min t= 1 min Meas. slot 3 Nom. twist 0 T/m
Short staple

KTC 34 SP



USTER TESTER 4 - SX R 1.8.0*
Kuempers Textil s.r.o. Plavy

Mon 19.01.09 13:48

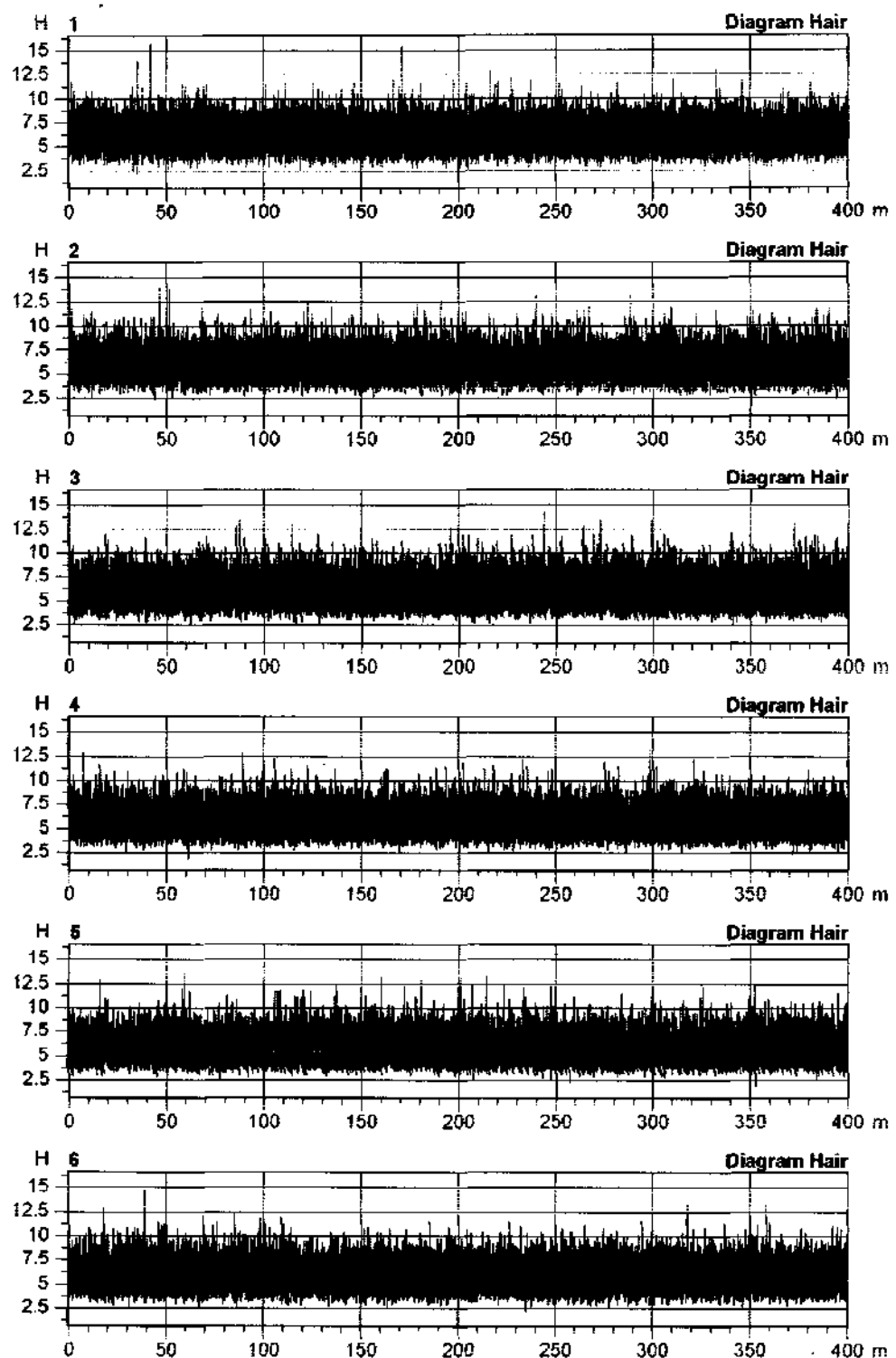
Operator

Jechova

Page 1

Style 100%PES-OE Sample ID 08806 Nom. count Nm 20
Tests 10 / 1 v= 400 m/min t= 1 min Meas. slot 3 Norn. twist 0 T/m
Short staple

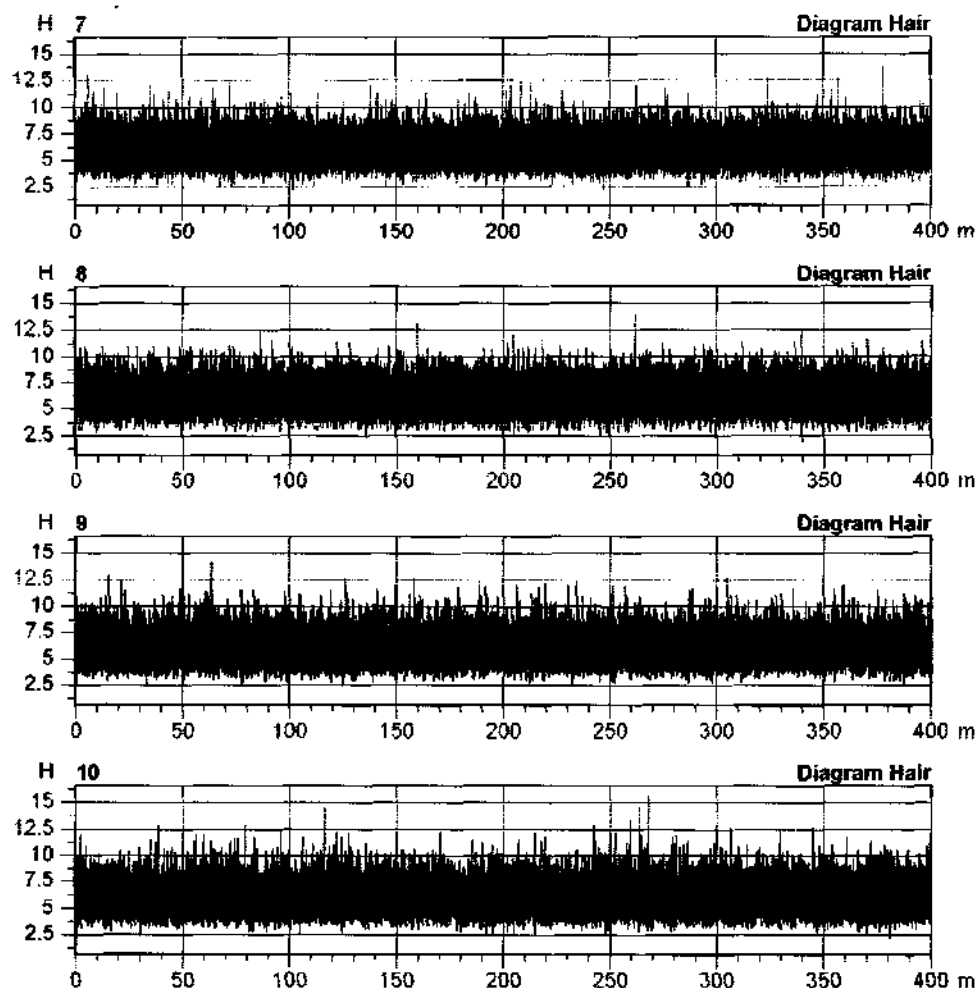
Hairiness Diagram



USTER TESTER 4 - SX R 1.8.0* Mon 19.01.09 13:48 Operator Jechova
Kuempers Textil s.r.o. Plavy

Style 100%PES-OE Sample ID 08806 Nom. count Nm 20 0 T/m
Tests 10 / 1 v= 400 m/min t= 1 min Meas. slot 3 Short staple

Hairiness Diagram



USTER TESTER 4 - S

Kuempers Textil s.r.o. SX R 1.8.0*

Mon 19.01.09 13:48

Operator

Jechova

Page 8

Plavy

Style 100%PES

Tests 10 / 1

S-OE

Sample ID

v= 400 m/min

08806

t= 1 min

Nom. count

Meas. slot

Nm 20

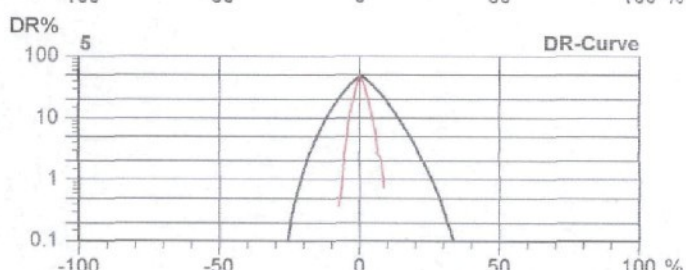
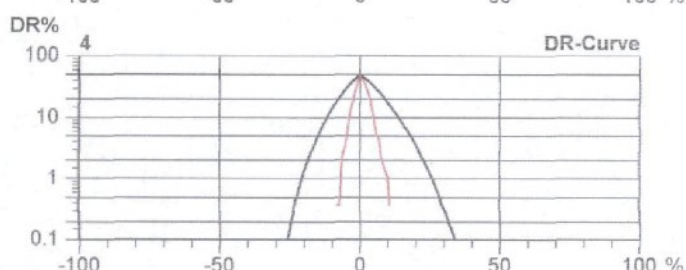
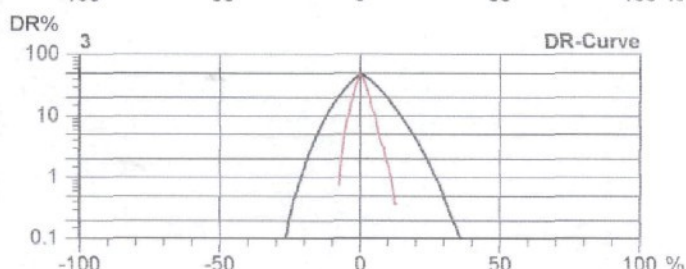
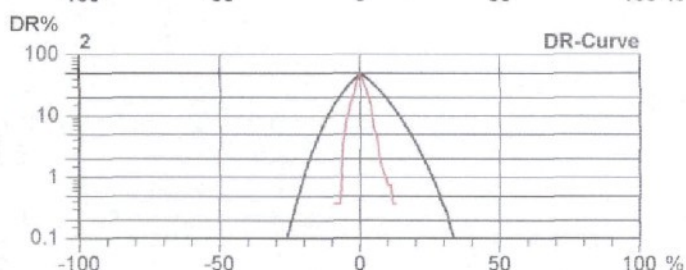
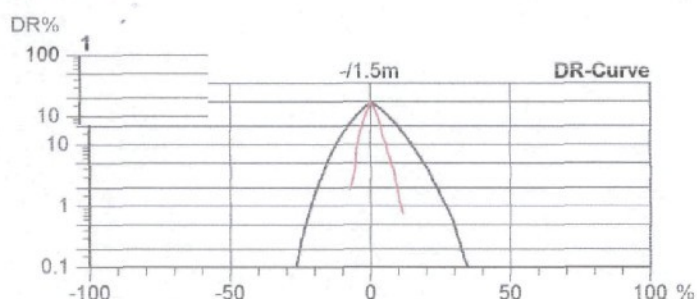
3

Nom. twist

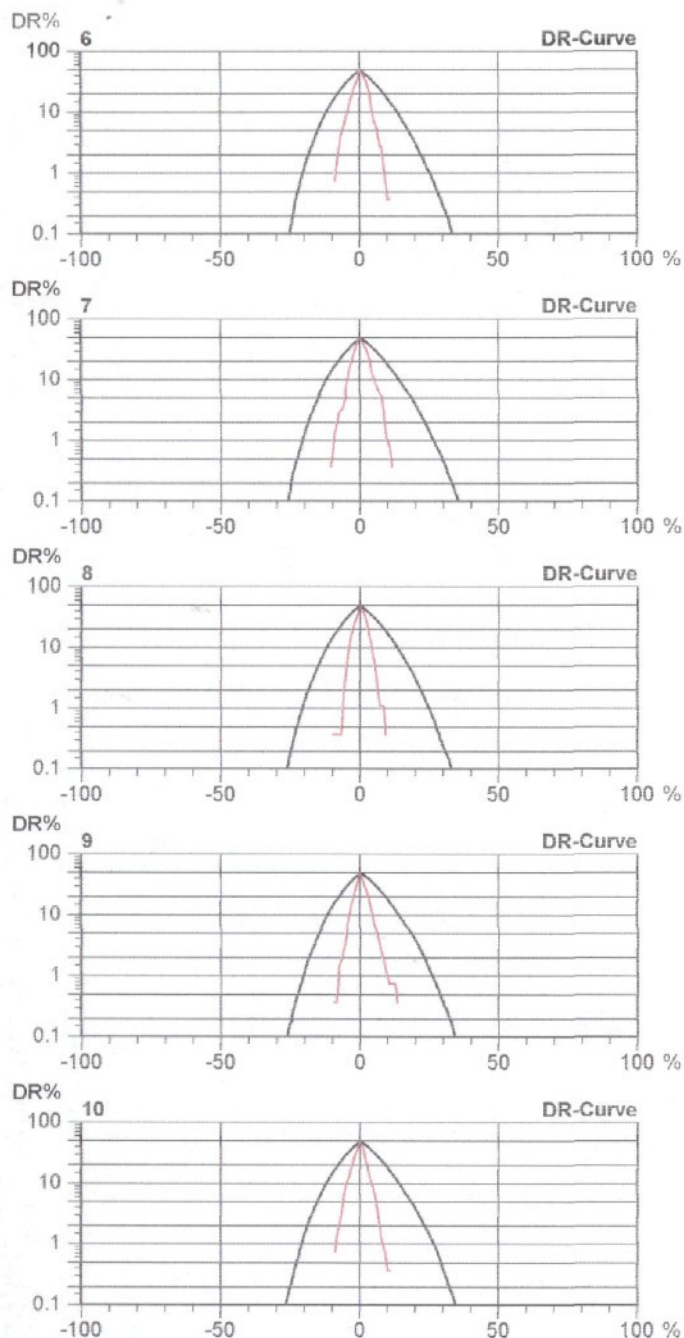
Short staple

0 T/m

KTC 34 SP



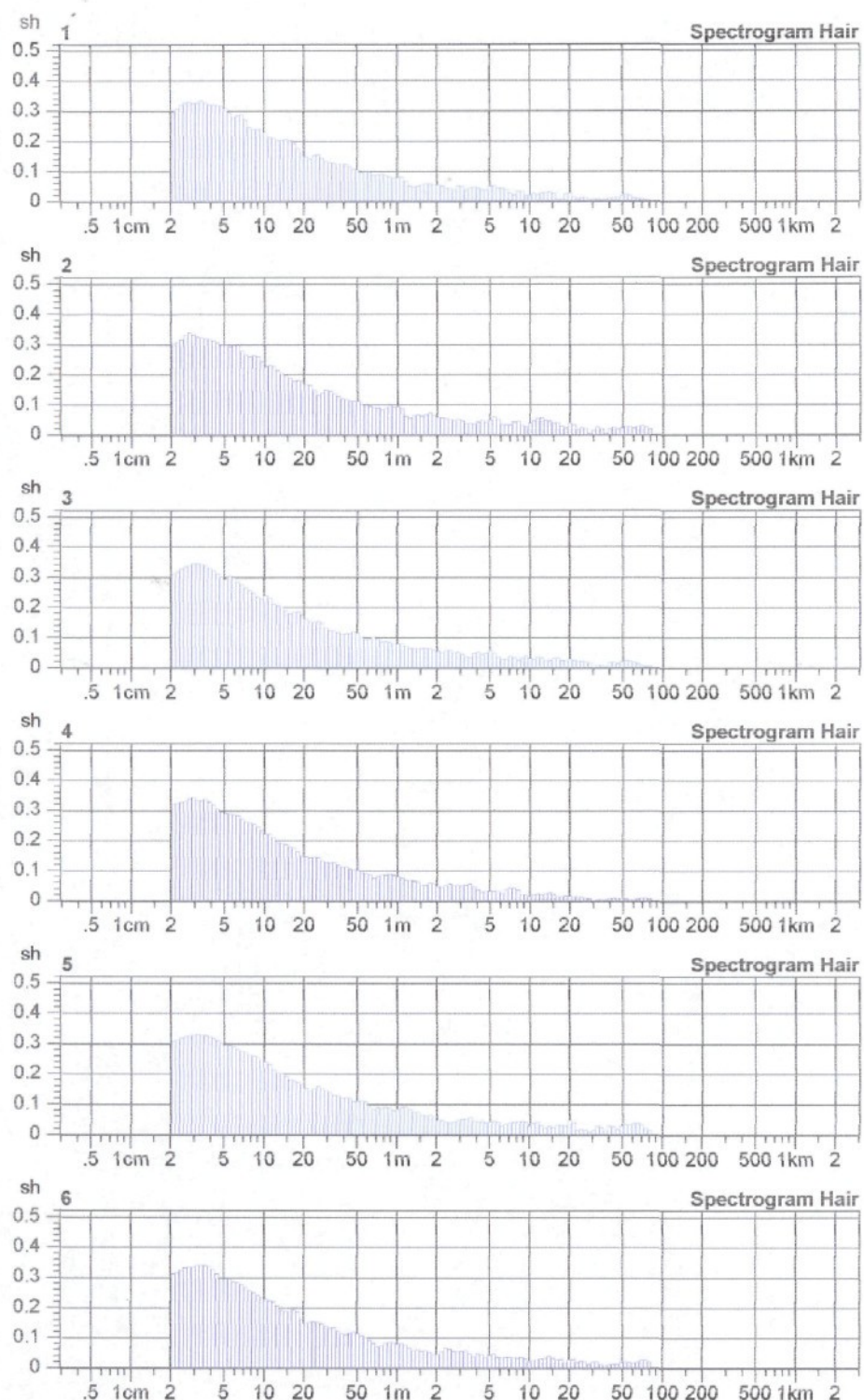
Style 100%PES-OE Sample ID 08806 Nom. count Nm 20
Tests 10 / 1 v= 400 m/min t= 1 min Meas. slot 3 Nom. twist 0 T/m
Nom. twist Short staple

KTC 34 SP

USTER TESTER 4 - SX R 1.8.0* Mon 19.01.09 13:48 Operator Jechova Page 1
Kuempers Textil s.r.o. Plavy

Style 100%PES-OE Sample ID 08806 Nom. count Nm 20
Tests 10 / 1 v= 400 m/min t= 1 min Meas. slot 3 Nom. twist 0 T/m
Short staple

Hairiness Spectrogram



USTER TESTER 4 - SX R 1.8.0*
Kuempers Textil s.r.o. Plavy

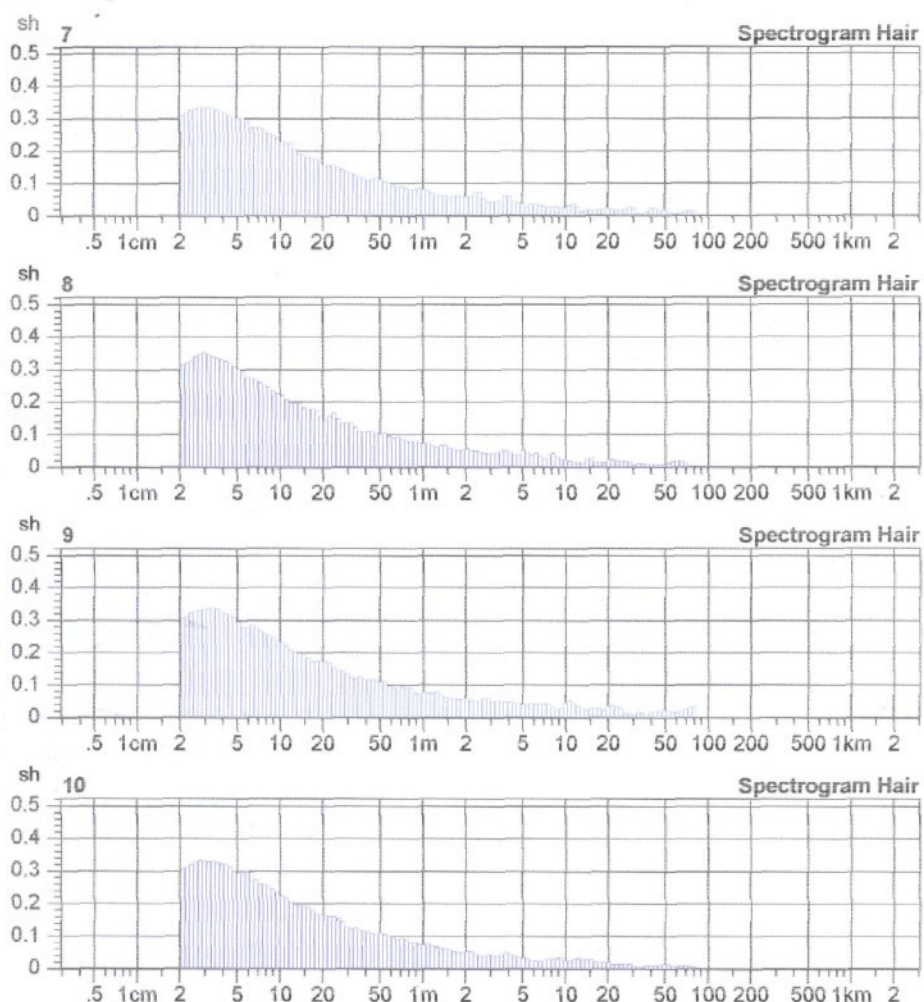
Mon 19.01.09 13:48

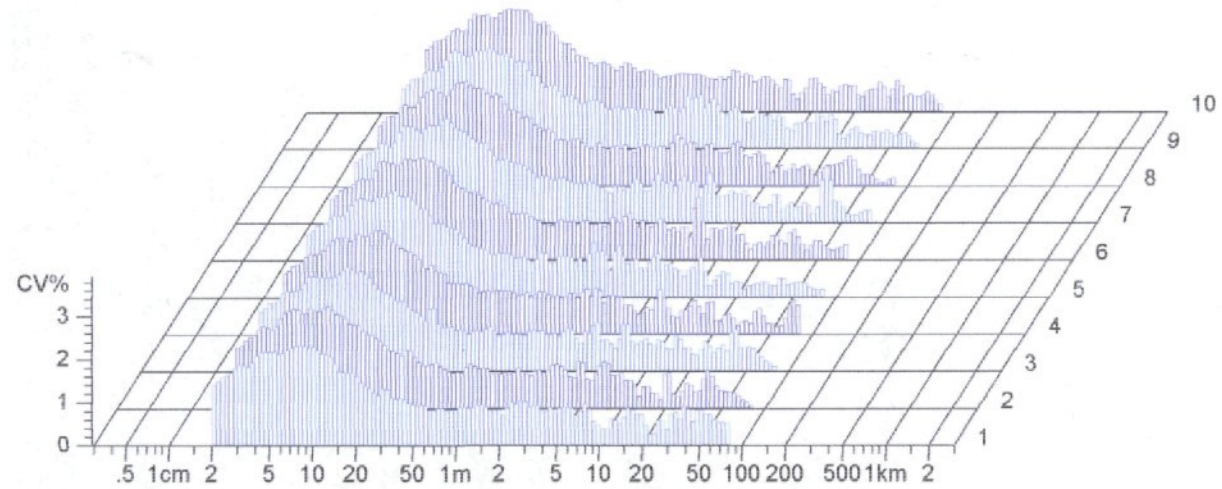
Operator Jechova

Page 2

Style 100%PES-OE Sample ID 08806 Nom. count Nm 20 Nom. twist 0 T/m
Tests 10 / 1 v= 400 m/min t= 1 min Meas. slot 3 Short staple

Hairiness Spectrogram





Příloha 3

**4. příze: T = 35,5 tex = Nm 28- Parametry získané měřením na aparatuře Uster
Tester – 4SX**

Style 100%PES-OE
Tests 10 / 1 Sample ID 08636
v= 400 m/min t= 1 min Nom. count 3 Nm 28
Meas. slot 3 Nom. twist
Short staple 0 T/m

Standard table

Article Syncrofil P5 Material class Yarn Mach. Nr. OE 4
Uster Statistics
Fiber
partie : 2660/7 1,5,9,14,21,34,52,63,77,141

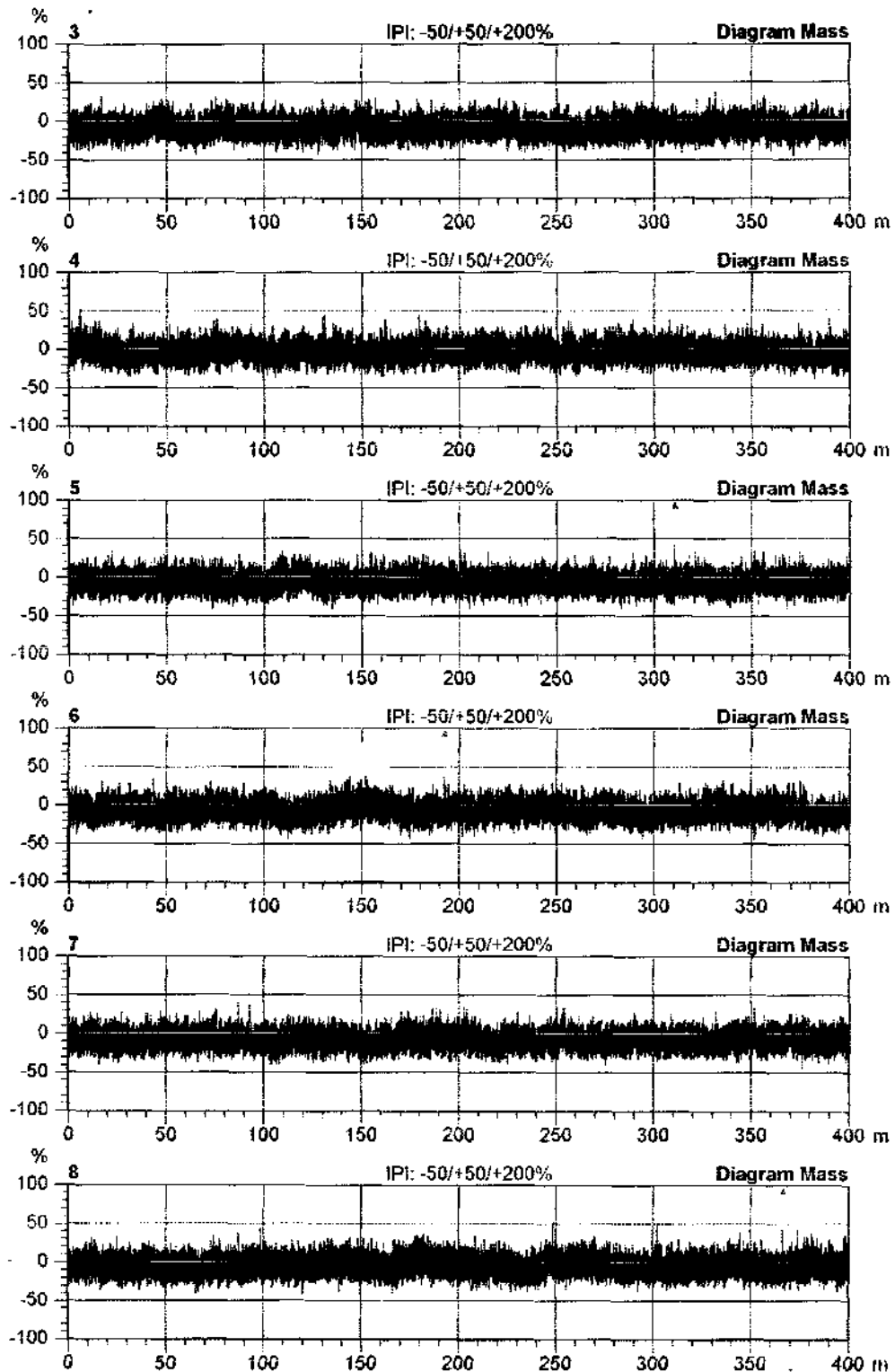
Nr	U%	CVm	Index	CVm fm	CVm 3m	CVm 10m	Rel. Cnt ±	H	sh	sh 1m	sh 3m	sh 10m
1	8.50	10.70		3.50	2.84	1.76	1.2	5.71	1.29	0.13	0.08	0.05
2	8.57	10.82		3.80	2.97	2.33	0.2	5.63	1.28	0.14	0.09	0.06
3	8.77	10.99		4.06	3.29	2.60	-2.8	5.67	1.28	0.14	0.09	0.06
4	8.43	10.60		3.94	3.12	2.26	2.8	5.62	1.22	0.12	0.08	0.04
5	8.38	10.55		3.15	2.45	1.77	-0.6	5.72	1.28	0.13	0.08	0.05
6	8.65	10.87		4.33	3.73	3.13	-0.9	5.62	1.23	0.13	0.08	0.06
7	8.55	10.77		3.55	2.77	2.16	-2.7	5.67	1.27	0.13	0.07	0.04
8	8.49	10.68		3.64	3.01	2.46	0.9	5.81	1.28	0.13	0.08	0.05
9	8.48	10.64		3.49	2.94	2.38	0.9	5.91	1.30	0.13	0.08	0.05
10	8.38	10.59		3.22	2.58	1.89	1.0	5.83	1.27	0.13	0.08	0.05
Mean	8.52	10.72		3.67	2.95	2.27	-0.0	5.72	1.27	0.13	0.08	0.05
CV	1.4	1.3		9.9	12.7	18.4	1.8	1.8	1.8	3.8	6.6	10.7
s	0.12	0.14		0.36	0.37	0.42	1.8	0.10	0.02	0.00	0.01	0.01
Q95	0.09	0.10		0.26	0.27	0.30	1.3	0.07	0.02	0.00	0.00	0.00
Max	8.77	10.99		4.33	3.73	3.13	2.8	5.91	1.30	0.14	0.09	0.06
Min	8.38	10.55		3.15	2.45	1.76	-2.8	5.62	1.22	0.12	0.07	0.04

Nr	Thin -30%	Thin -40%	Thin -50%	Thick +35%	Thick +50%	Thick +70%	Neps +140%	Neps +200%	Neps +280%
1	460.0	10.0	0.0	37.5	0.0	0.0	42.5	2.5	0.0
2	442.5	7.5	0.0	40.0	0.0	0.0	37.5	2.5	0.0
3	530.0	12.5	0.0	40.0	0.0	0.0	37.5	0.0	0.0
4	440.0	2.5	0.0	40.0	0.0	0.0	27.5	0.0	0.0
5	407.5	15.0	0.0	57.5	2.5	0.0	45.0	0.0	0.0
6	510.0	17.5	0.0	55.0	2.5	0.0	30.0	0.0	0.0
7	397.5	10.0	0.0	42.5	0.0	0.0	27.5	0.0	0.0
8	375.0	10.0	0.0	55.0	2.5	0.0	20.0	0.0	0.0
9	395.0	12.5	0.0	52.5	0.0	0.0	40.0	0.0	0.0
10	397.5	15.0	0.0	70.0	0.0	0.0	42.5	2.5	0.0
Mean	435.5	11.3	0.0	49.0	0.8	0.0	35.0	0.8	0.0
CV	11.9	38.1		21.7	161.0		23.6	161.0	
s	51.8	4.3		10.6	1.2		8.2	1.2	
Q95	37.0	3.1		7.6	0.9		5.9	0.9	
Max	530.0	17.5	0.0	70.0	2.5	0.0	45.0	2.5	0.0
Min	375.0	2.5	0.0	37.5	0.0	0.0	20.0	0.0	0.0

USTER TESTER 4 - SX R 1.8.0* Tue 09.12.08 11:29 Operator Kolarova Page 2
Kat 02

Style 100%PES-OE Sample ID 08636 Nom. count Nm 28 Nom. twist 0 T/m
Tests 10 / 1 v= 400 m/min t= 1 min Meas. slot 3 Short staple

KTC 1



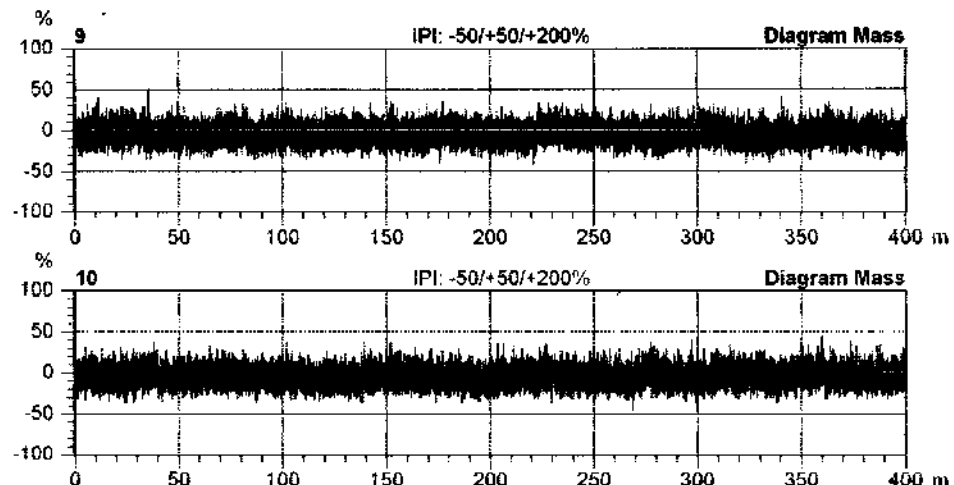
USTER TESTER 4 - SX R 1.8.0* Tue 09.12.08 11:29 Operator Kolarova Page 3

Kat

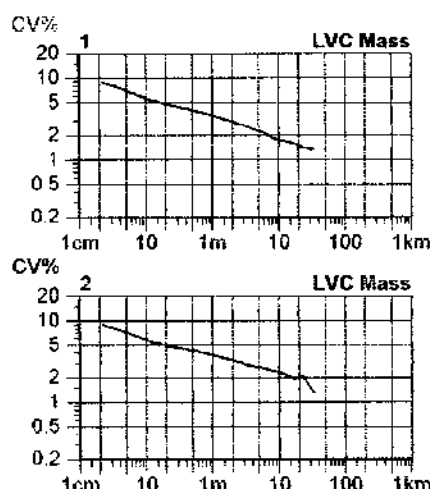
Page 02

Style 100%PES-OE Sample ID 08636 Nom. count Nm 28 Nom. twist 0 T/m
Tests 10 / 1 v= 400 m/min t= 1 min Meas. slot 3 Short staple

KTC 1



Spectrogram Mass



USTER TESTER 4 - SX R 1.8.0*
Kuempers Textil s.r.o. Plavy

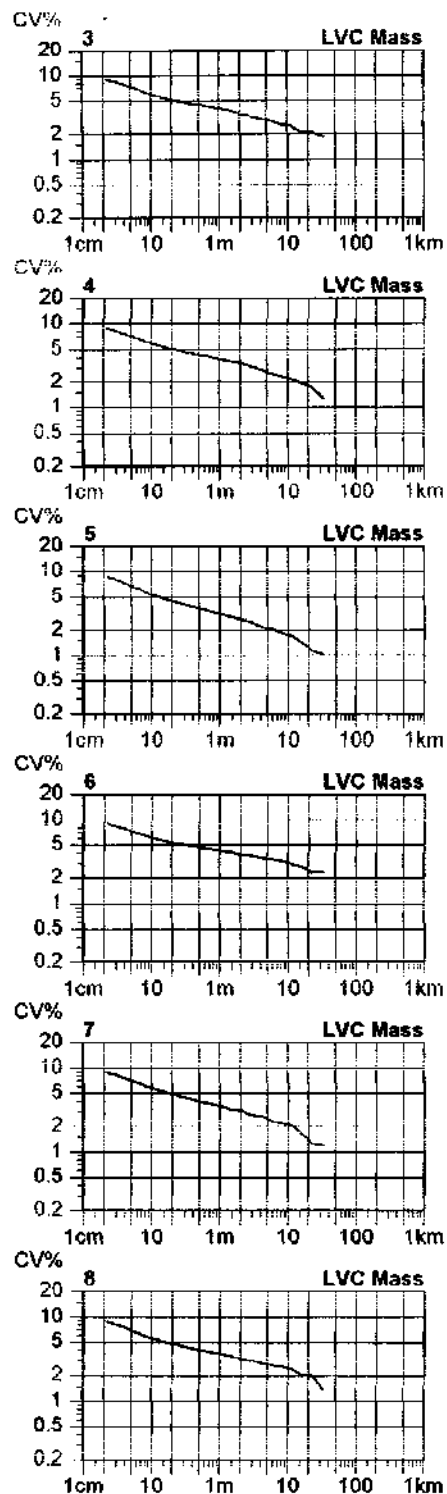
Tue 09.12.08 11:29

Operator Kolarova

Page 5

Style 100%PES-OE Sample ID 08636 Nom. count Nm 28
Tests 10 / 1 v= 400 m/min t= 1 min Meas. slot 3 Nom. twist 0 T/m
Short staple

KTC 34 SP



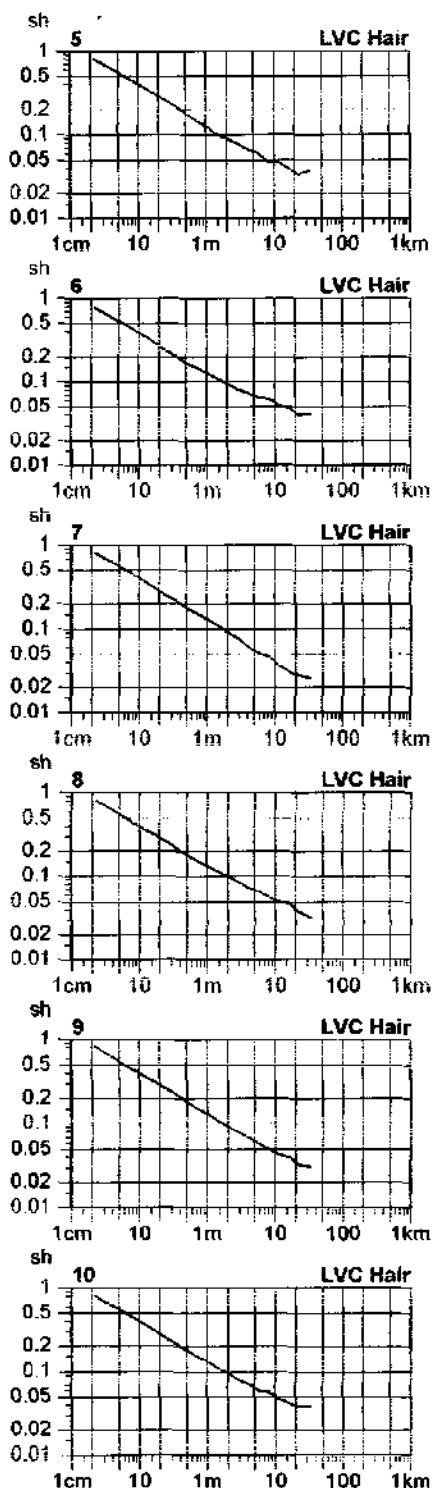
USTER TESTER 4 - SX R 1.8.0* Tue 09.12.08 11:29
Kuempers Textil s.r.o. Plavy

Operator Kolarova

Page 7

Style 100%PES-OE Sample ID 08636 Nom. count Nm 28
Tests 10 / 1 v= 400 m/min t= 1 min Meas. slot 3 Nom. twist 0 T/m
Short staple

KTC 34 SP



USTER TESTER 4 - SX R 1.8.0*
Kuempers Textil s.r.o. Plavy

Tue 09.12.08 11:29

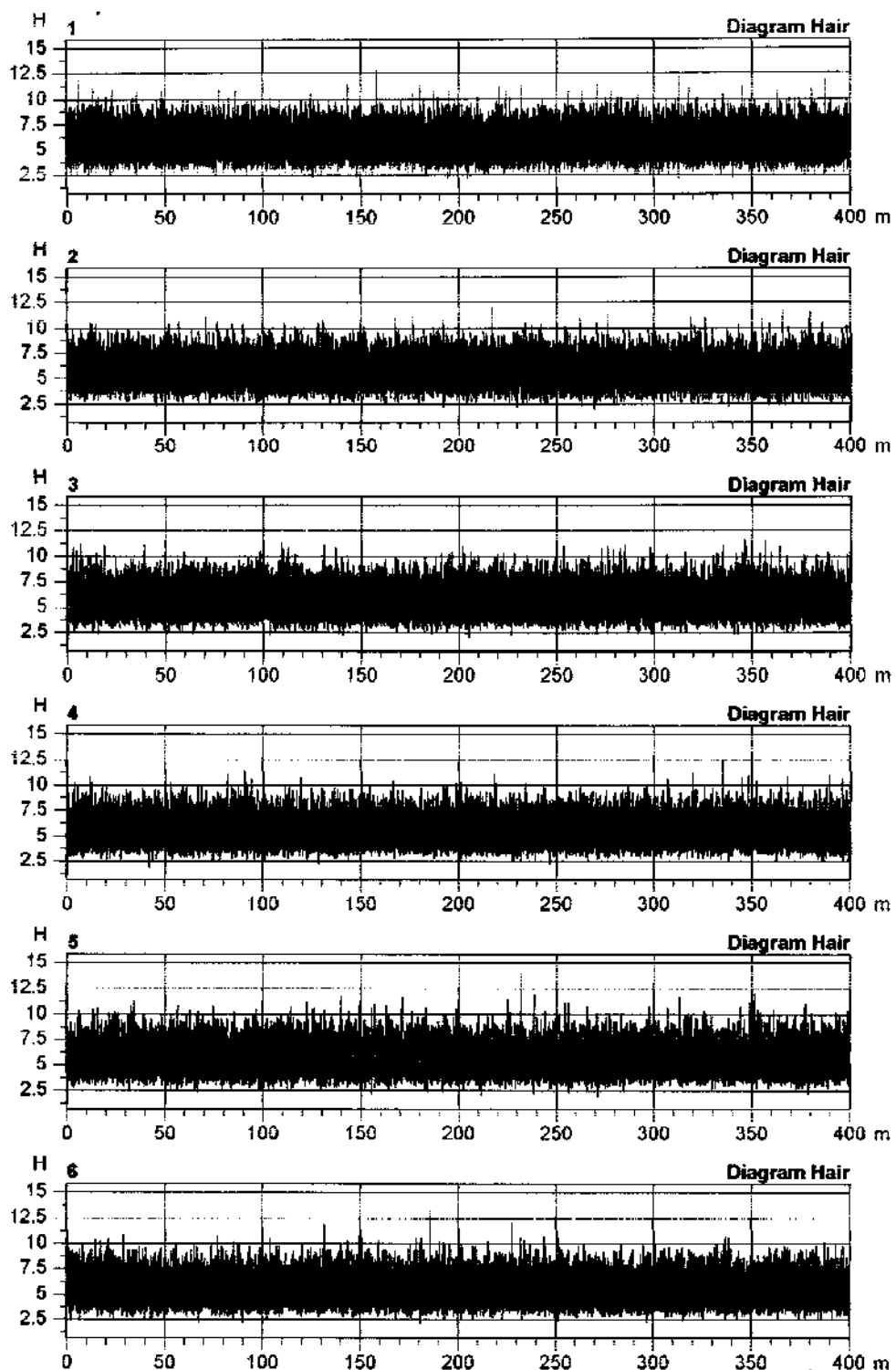
Operator

Kolarova

Page 1

Style 100%PES-OE Sample ID 08636 Nom. count Nm 28 Nom. twist 0 T/m
Tests 10 / 1 v= 400 m/min t= 1 min Meas. slot 3 Short staple

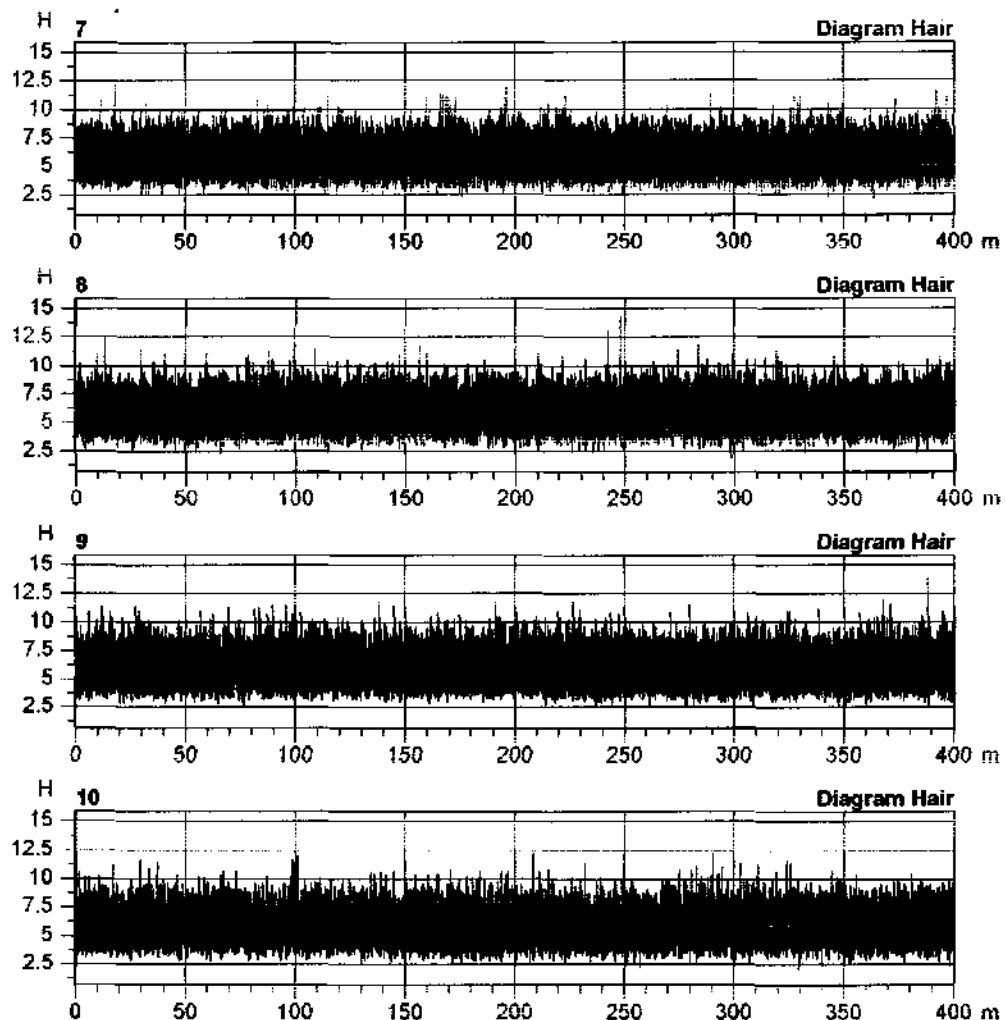
Hairiness Diagram



USTER TESTER 4 - SX R 1.8.0* Tue 09.12.08 11:29 Operator Kolarova
Kuempers Textil s.r.o. Plavy

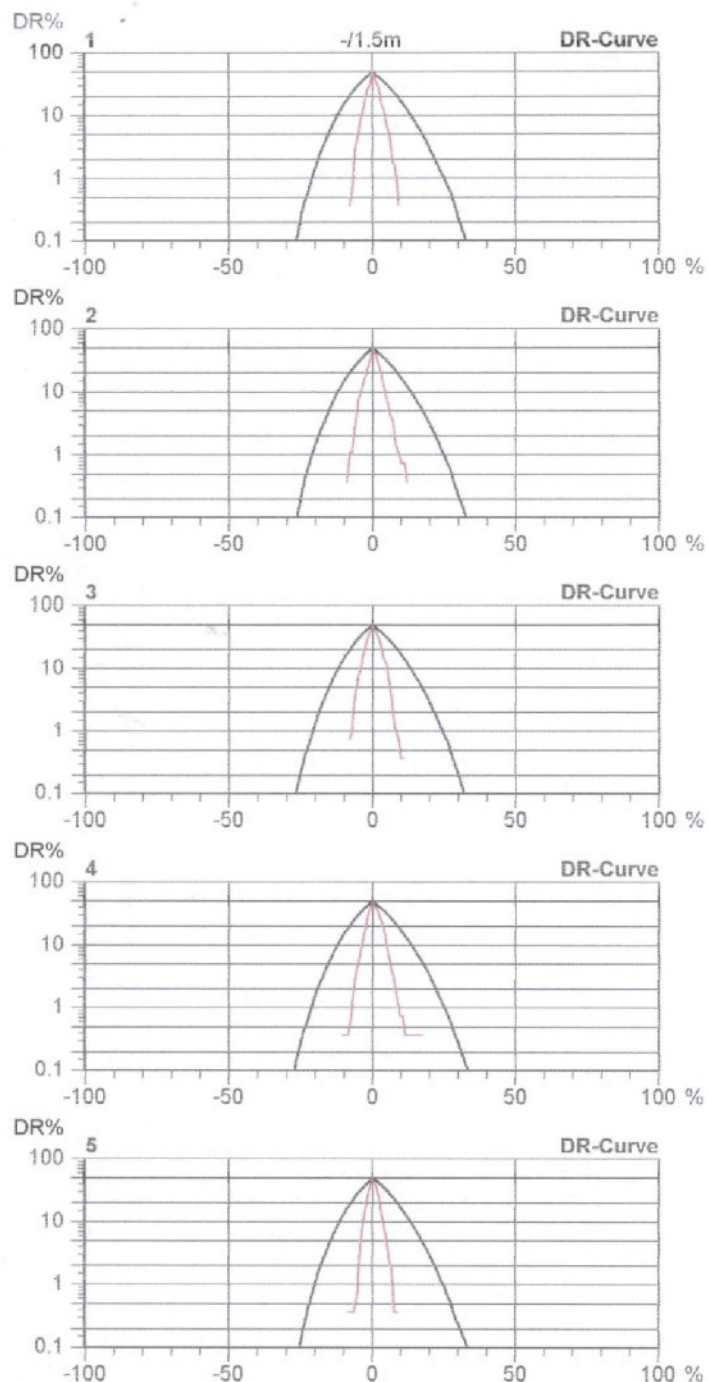
Style 100%PES-OE Sample ID 08636 Nom. count Nm 28
Tests 10 / 1 v= 400 m/min t= 1 min Meas. slot 3 Nom. twist 0 T/m
Short staple

Hairiness Diagram



Style 100%PES-OE Sample ID 08636 Nom. count Nm 28
Tests 10 / 1 v= 400 m/min t= 1 min Meas. slot 3 Nom. twist 0 T/m
Short staple

KTC 34 SP



USTER TESTER 4 - SX R 1.8.0*
Kuempers Textil s.r.o. Plavy

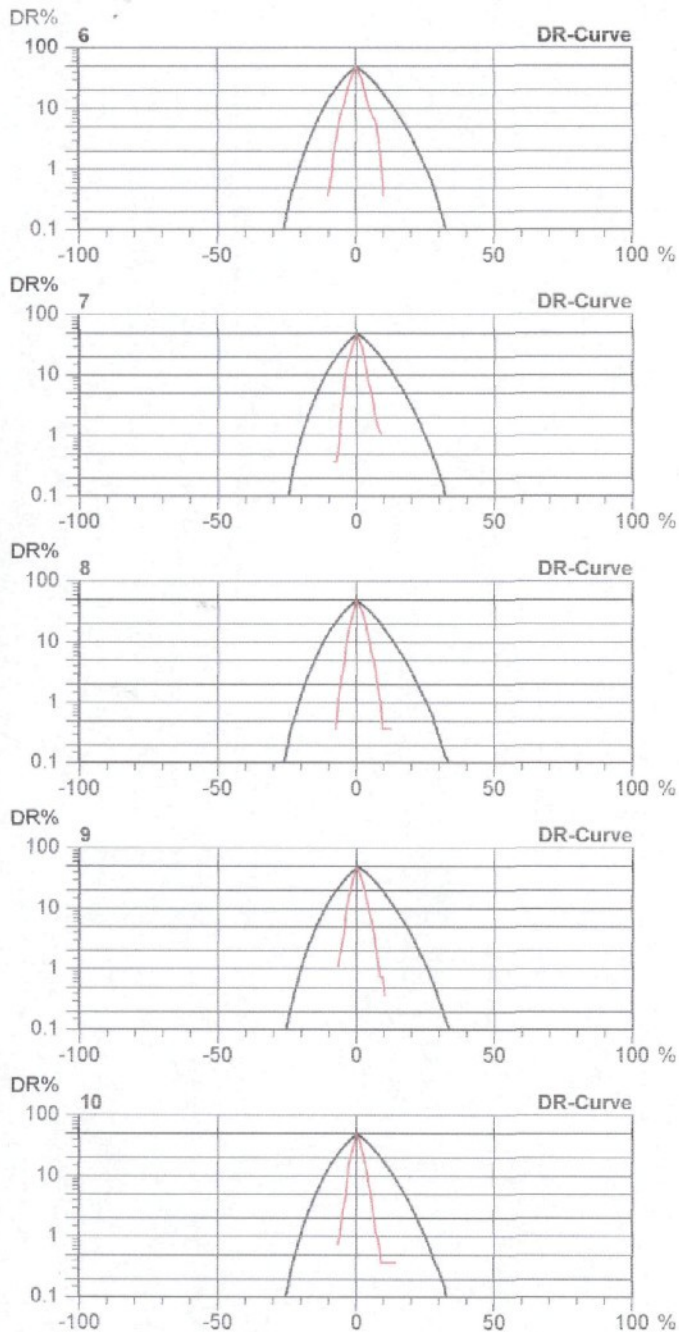
Tue 09.12.08 11:29

Operator Kolarova

Page 9

Style 100%PES-OE Sample ID 08636 Nom. count Nm 28
Tests 10 / 1 v= 400 m/min t= 1 min Meas. slot 3 Nom. twist 0 T/m
Nom. twist Short staple

KTC 34 SP



USTER TESTER 4 - SX R 1.8.0*
Kuempers Textil s.r.o. Plavy

Tue 09.12.08 11:29

Operator Kolarova

Page 1

Style 100%PES-OE
Tests 10 / 1

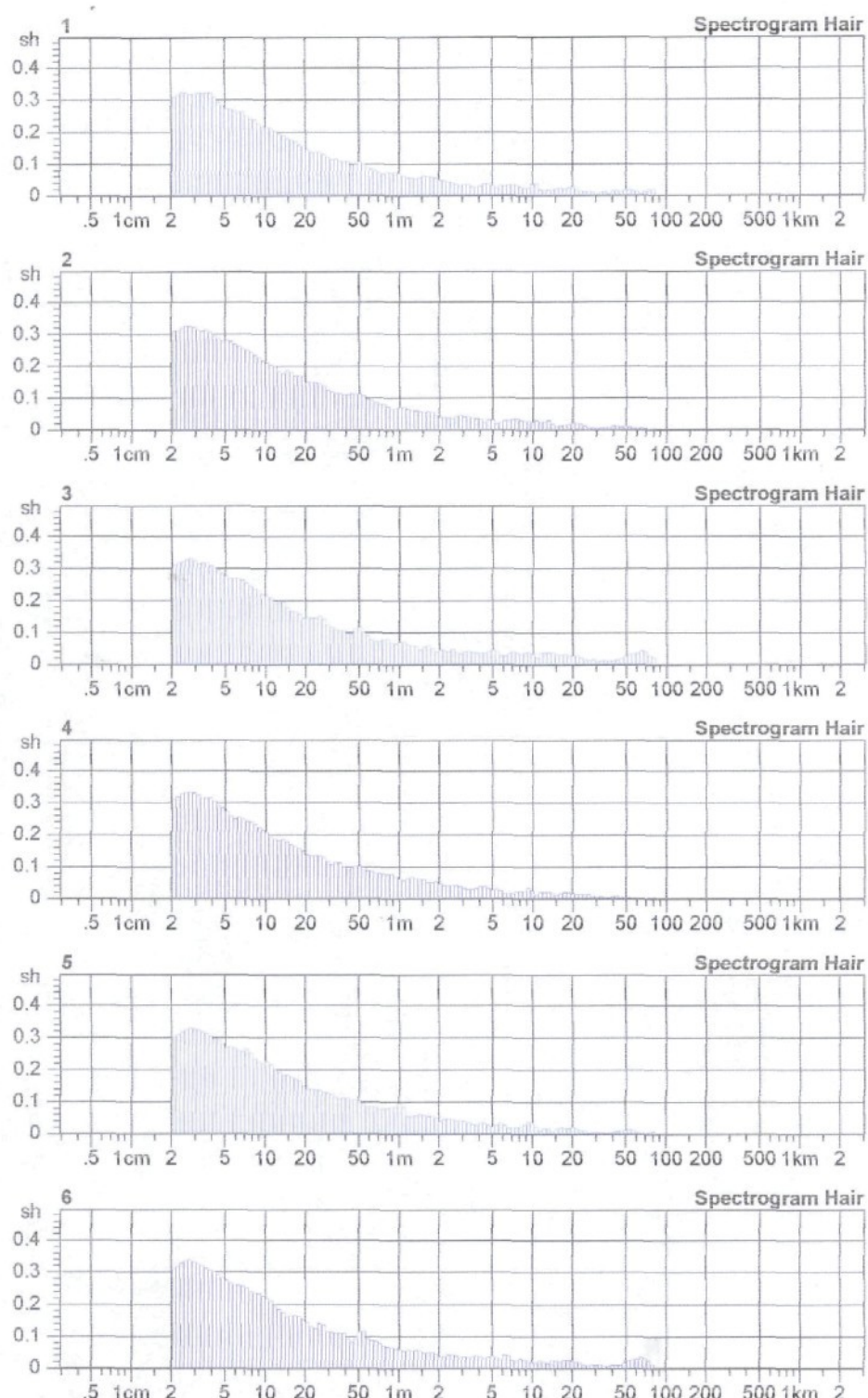
Sample ID 08636
v= 400 m/min t= 1 min

Nom. count 3
Meas. slot

Nm 28

Nom. twist 0 T/m
Short staple

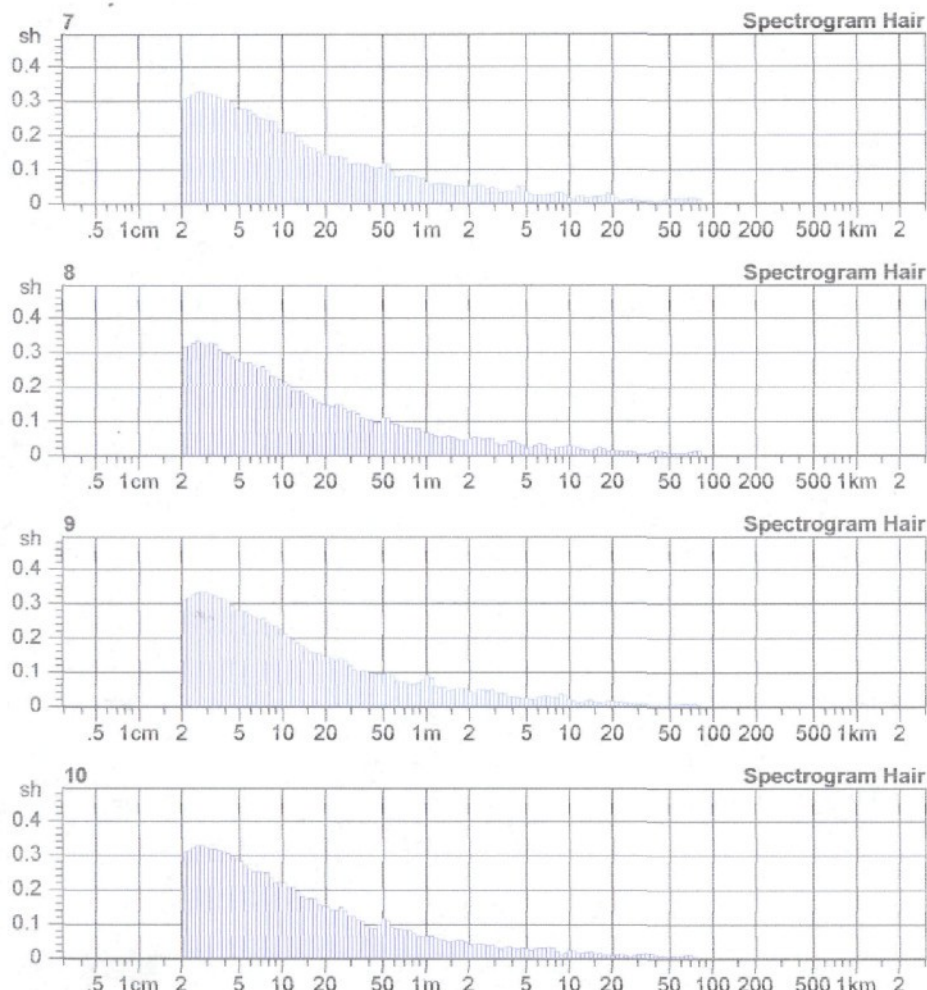
Hairiness Spectrogram

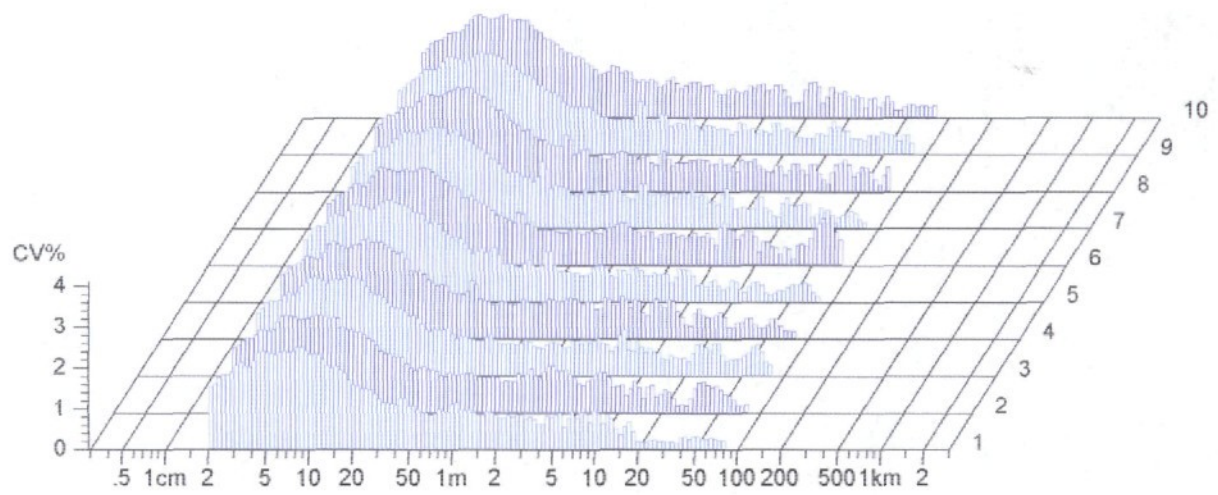


USTER TESTER 4 - SX R 1.8.0* Tue 09.12.08 11:29 Operator Kolarova
Kuempers Textil s.r.o. Plavy

Style 100%PES-OE Sample ID 08636 Nom. count Nm 28
Tests 10 / 1 v= 400 m/min t= 1 min Meas. slot 3 Nom. twist 0 T/m
Short staple

Hairiness Spectrogram





Příloha 3

**5. příze: T = 29,5 tex = Nm 34- Parametry získané měřením na aparatuře Uster
Tester – 4SX**

Style 100%PES-OE Sample ID 08796 Nom. count Nm 34 0 T/r
 Tests 10 / 1 v= 400 m/min t= 1 min Meas. slot 3 Short staple

Standard table

Article Syncrofil P5 Material class Yarn Mach. Nr. OE 4
 Uster Statistics
 Fiber
 partie : 2599/18 3,5,11,17,36,44,48,136,148,168

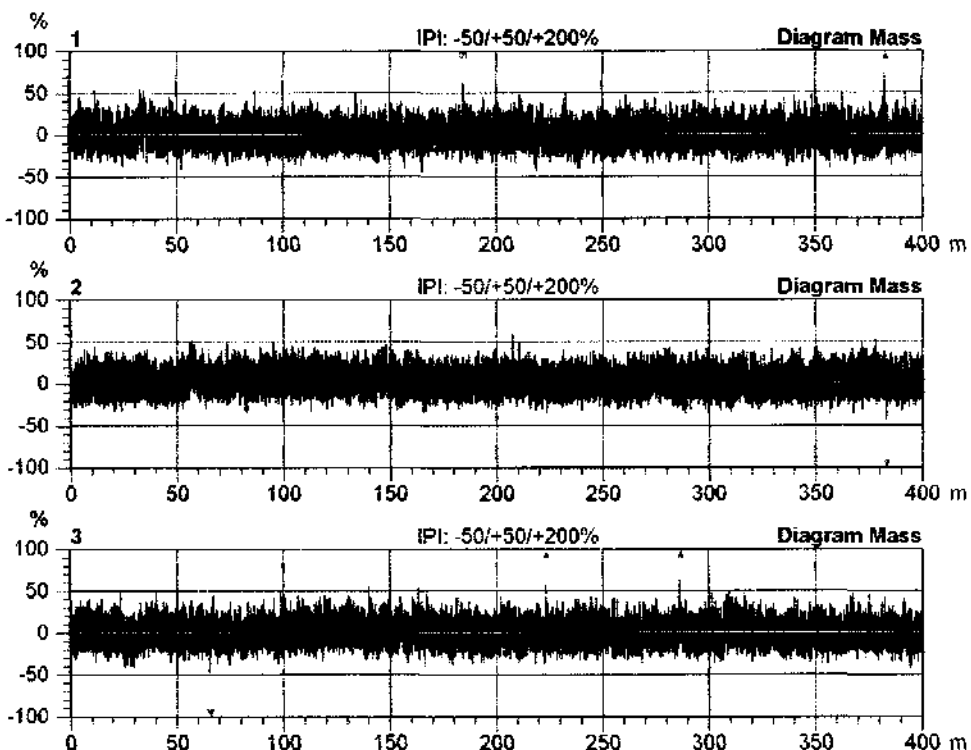
Nr	U%	Cvm	Index	Cvm	Cvm	Cvm	Rel. Cnt ±	H	sh	sh 1m	sh 3m	sh 10m
				1m	3m	10m						
1	9.69	12.19		4.47	3.23	2.03	-1.7	5.48	1.26	0.15	0.09	0.05
2	9.09	11.43		3.65	2.89	2.09	1.0	5.39	1.22	0.12	0.07	0.04
3	9.60	12.09		4.04	3.19	2.14	-2.1	5.41	1.24	0.14	0.08	0.05
4	9.26	11.66		3.60	2.99	2.30	1.3	5.49	1.22	0.14	0.09	0.06
5	9.25	11.64		3.61	2.98	2.42	0.5	5.42	1.17	0.12	0.08	0.05
6	9.11	11.46		4.06	3.36	2.79	2.3	5.29	1.16	0.12	0.07	0.04
7	9.19	11.58		3.90	3.32	2.74	-0.6	5.33	1.18	0.12	0.08	0.05
8	9.40	11.83		3.58	2.84	2.15	-0.5	5.47	1.21	0.13	0.09	0.05
9	9.28	11.66		3.48	2.84	2.31	-1.0	5.58	1.24	0.14	0.09	0.05
10	9.29	11.72		3.69	2.92	2.05	0.8	5.56	1.25	0.15	0.09	0.06
Mean	9.32	11.73		3.81	3.06	2.30	0.0	5.44	1.22	0.13	0.08	0.05
CV	2.1	2.1		8.0	6.5	11.9	1.4	1.7	2.9	9.1	9.4	10.8
s	0.19	0.25		0.30	0.20	0.27	1.4	0.09	0.03	0.01	0.01	0.01
Q95	0.14	0.18		0.22	0.14	0.20	1.0	0.07	0.02	0.01	0.01	0.00
Max	9.69	12.19		4.47	3.36	2.79	2.3	5.58	1.26	0.15	0.09	0.06
Min	9.09	11.43		3.48	2.84	2.03	-2.1	5.29	1.16	0.12	0.07	0.04

Nr	Thin -30%	Thin -40%	Thin -50%	Thick +35%	Thick +50%	Thick +70%	Neps +140%	Neps +200%	Neps +280%
	/km	/km	/km	/km	/km	/km	/km	/km	/km
1	1070	60.0	0.0	137.5	2.5	0.0	62.5	2.5	0.0
2	720	45.0	2.5	87.5	0.0	0.0	85.0	0.0	0.0
3	1015	50.0	2.5	137.5	5.0	0.0	75.0	0.0	0.0
4	780	42.5	2.5	140.0	0.0	0.0	57.5	5.0	0.0
5	860	57.5	0.0	112.5	0.0	0.0	60.0	0.0	0.0
6	690	40.0	0.0	85.0	0.0	0.0	67.5	0.0	0.0
7	765	52.5	2.5	87.5	2.5	0.0	72.5	0.0	0.0
8	930	47.5	0.0	107.5	0.0	0.0	45.0	0.0	0.0
9	773	40.0	0.0	110.0	2.5	0.0	45.0	2.5	0.0
10	813	57.5	0.0	157.5	5.0	0.0	40.0	0.0	0.0
Mean	842	49.3	1.0	116.3	1.8	0.0	61.0	1.0	0.0
CV	15.0	15.1	129.1	22.1	117.6		23.9	174.8	
s	126	7.5	1.3	25.7	2.1	0.0	14.6	1.7	0.0
Q95	90	5.3	0.9	18.4	1.5		10.4	1.3	
Max	1070	60.0	2.5	157.5	5.0	0.0	85.0	5.0	0.0
Min	690	40.0	0.0	85.0	0.0	0.0	40.0	0.0	0.0

Style Tests	100%PES-OE 10 / 1	Sample ID v= 400 m/min	08796 t= 1 min	Nom. count Meas. slot	Nm 34 3	Nom. twist Short staple	0 T/m
-------------	-------------------	------------------------	----------------	-----------------------	---------	-------------------------	-------

KTC 34 SP

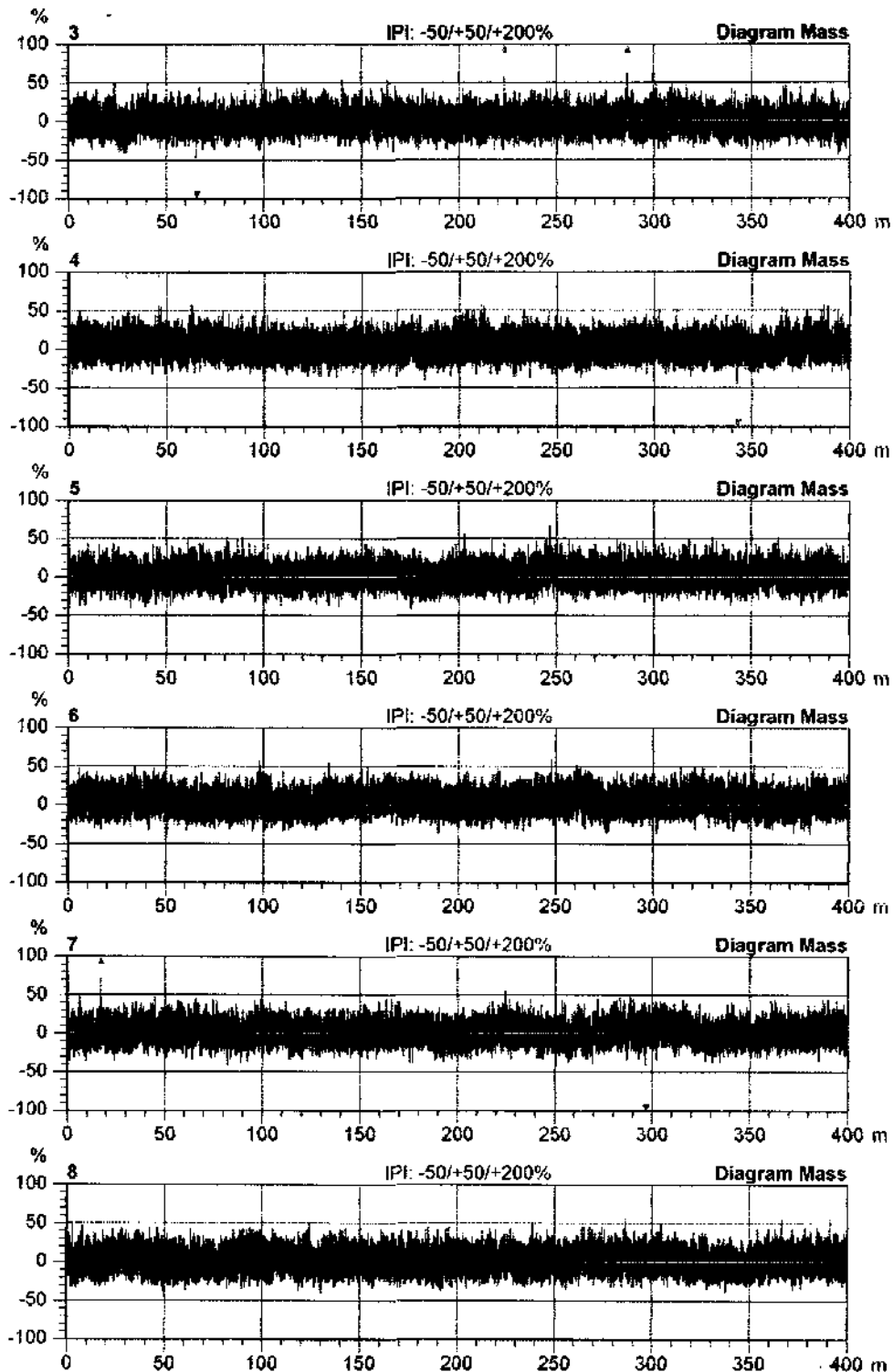
Nr	sh
1	1.26
2	1.22
3	1.24
4	1.22
5	1.17
6	1.16
7	1.19
8	1.21
9	1.24
10	1.25
Mean	1.22
CV	2.9
Q95	0.02
Max	1.26
Min	1.16



USTER TESTER 4 - SX R 1.8.0* Mon 19.01.09 08:28 Operator Kolarova Kat Page 2
02

Style 100%PES-OE Sample ID 08796 Nom. count Nm 34 Nom. twist 0 T/m
Tests 10 / 1 v= 400 m/min t= 1 min Meas. slot 3 Short staple

KTC 1

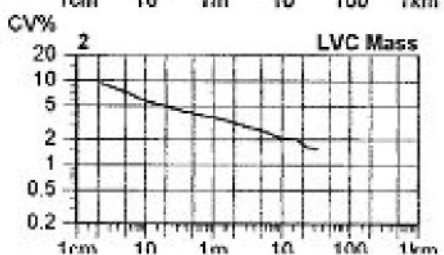
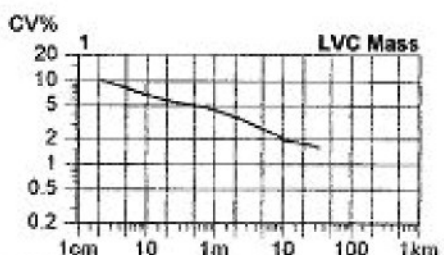
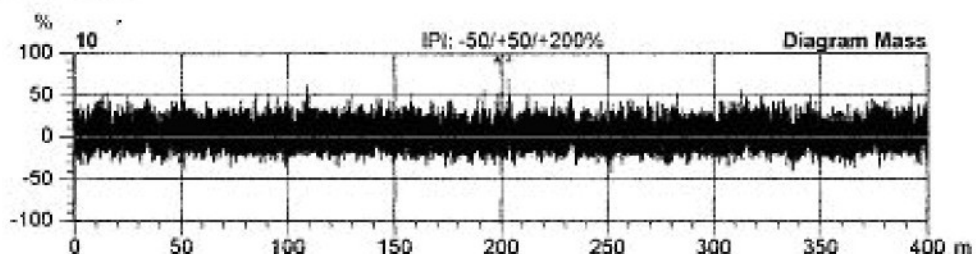


USTER TESTER 4 - SX R 1.8.0* Mon 19.01.09 08:28 Operator Kolarova
Kuempers Textil s.r.o. Plavy

Page 4

Style 100%PES-OE Sample ID 08796 Nom. count Nm 34
Tests 10 / 1 v= 400 m/min t= 1 min Meas. slot 3 Nom. twist 0 T/m
Short staple

KTC 34 SP

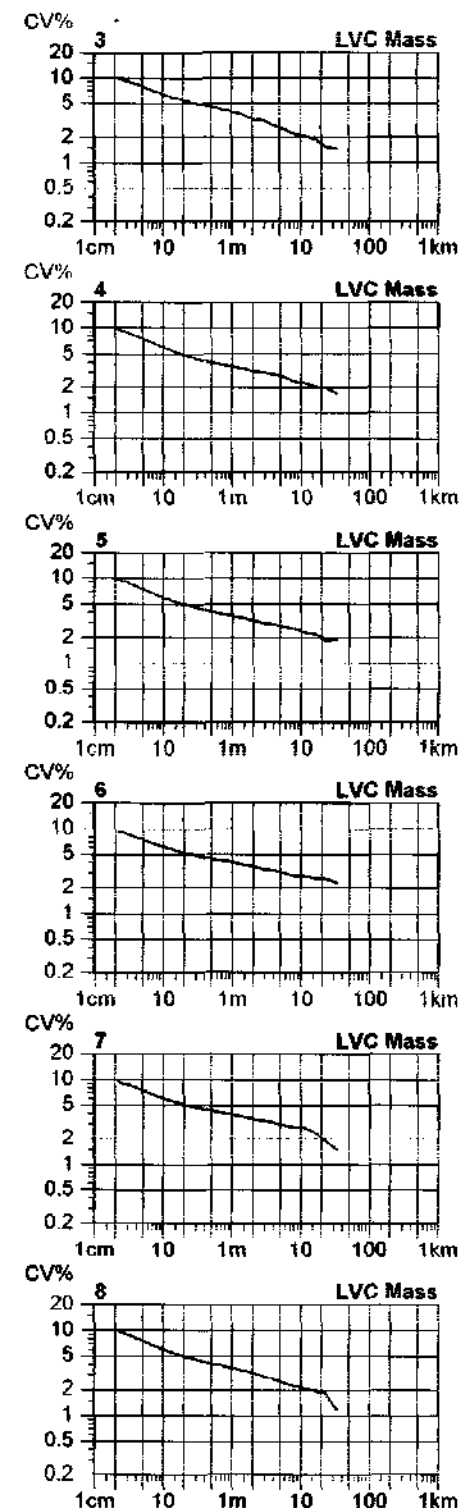


USTER TESTER 4 - SX R 1.8.0* Mon 19.01.09 08:28 Operator Kolarova
Kuempers Textil s.r.o. Plavy

Page 5

Style 100%PES-OE Sample ID 08796 Nom. count Nm 34
Tests 10 / 1 v= 400 m/min t= 1 min Meas. slot 3 Nom. twist 0 T/m
Short staple

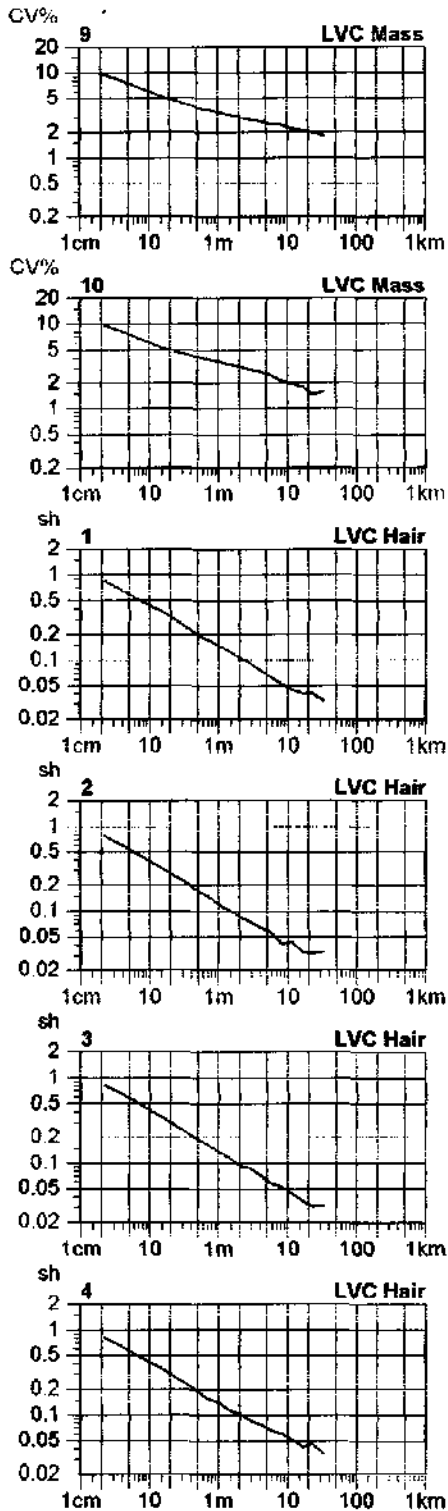
KTC 34 SP



USTER TESTER 4 - SX R 1.8.0* Mon 19.01.09 08:28 Operator Kolarova Page 6
Kuempers Textil s.r.o. Plavy

Style 100%PES-OE Sample ID 08796 Nom. count Nm 34
Tests 10 / 1 v= 400 m/min t= 1 min Meas. slot 3 Nom. twist 0 T/m
Nom. staple Short staple

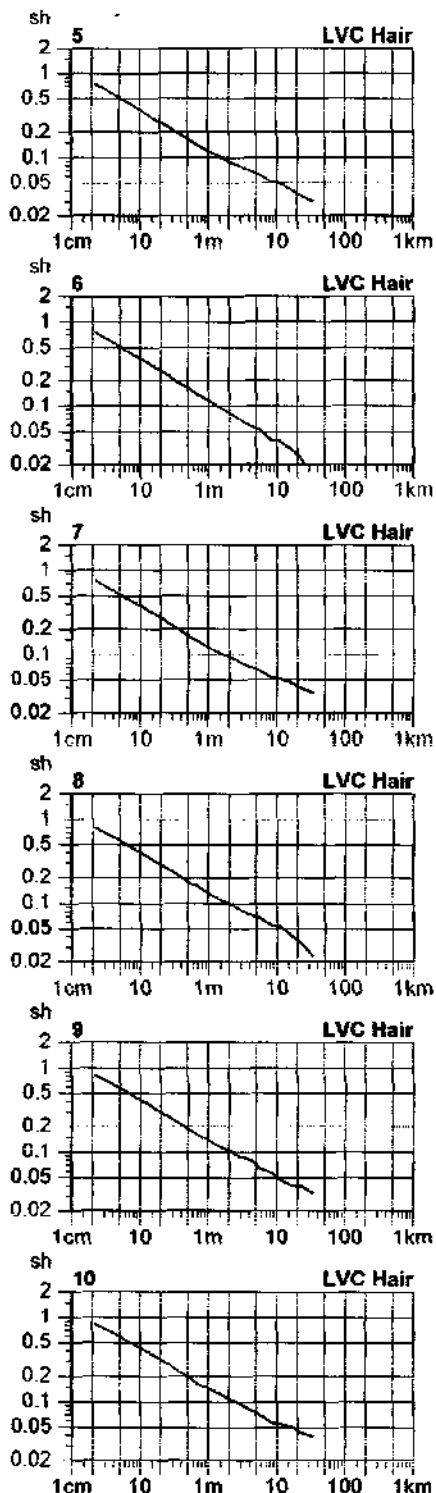
KTC 34 SP



USTER TESTER 4 - SX R 1.8.0* Mon 19.01.09 08:28 Operator Kolarova Page 7
Kuempers Textil s.r.o. Plavy

Style 100%PES-OE Sample ID 08796 Norm. count Nm 34 Norm. twist 0 T/m
Tests 10 / 1 v= 400 m/min t= 1 min Meas. slot 3 Short staple

KTC 34 SP



USTER TESTER 4 - SX R 1.8.0*
Kuempers Textil s.r.o. Plavy

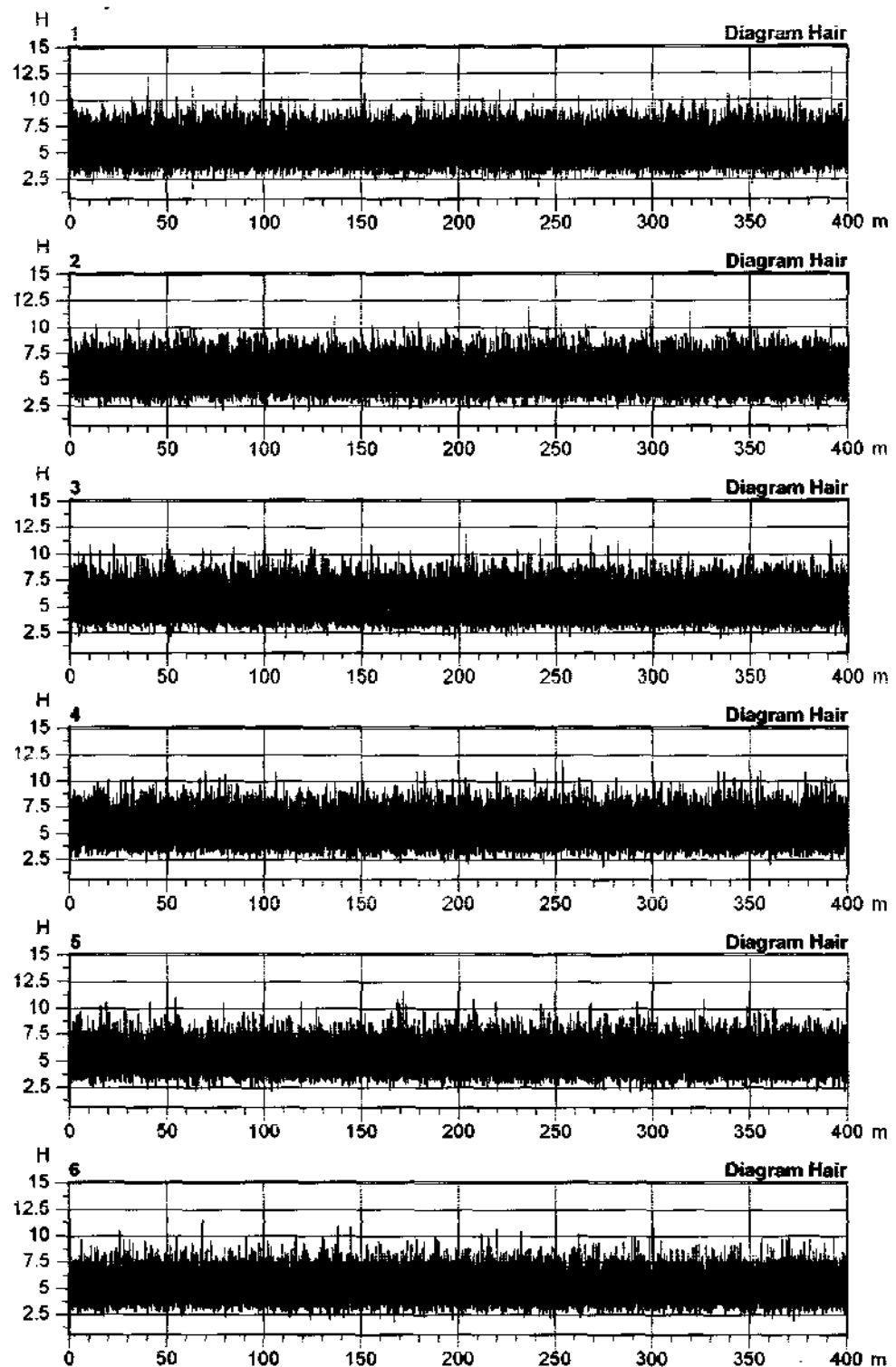
Mon 19.01.09 08:28

Operator Kolarova

Page 1

Style 100%PES-OE Sample ID 08796 Nom. count Nm 34 0 T/m
Tests 10 / 1 v= 400 m/min t= 1 min Meas. slot 3 Short staple

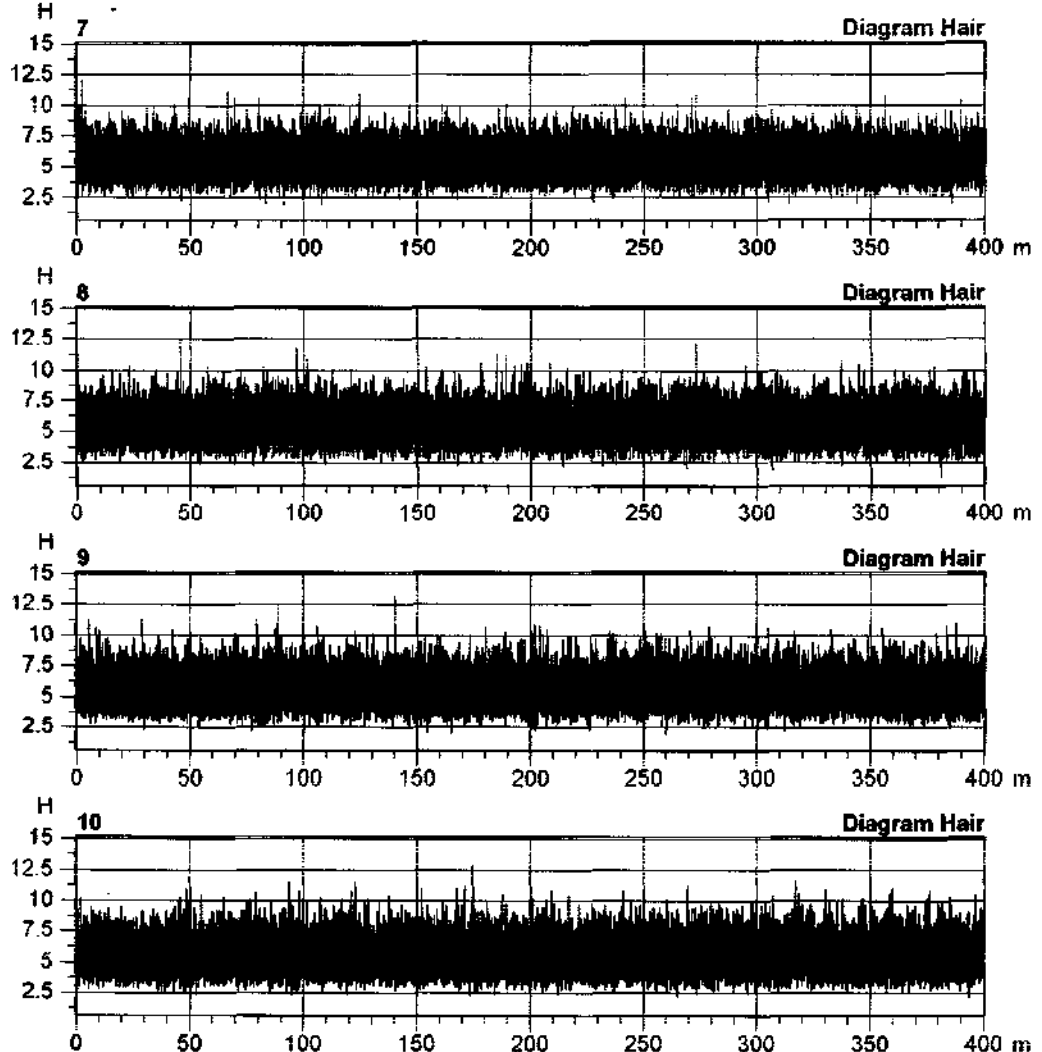
Hairiness Diagram



USTER TESTER 4 - SX R 1.8.0* Mon 19.01.09 08:28 Operator Kolarova Page
Kuempers Textil s.r.o. Plavy

Style Tests	100%PES-OE 10 / 1	Sample ID v= 400 m/min	08796 t= 1 min	Nom. count Meas. slot	Nm 34 3	Nom. twist Short staple	0 T/n
-------------	-------------------	------------------------	----------------	-----------------------	---------	-------------------------	-------

Hairiness Diagram



Style 100%PES-OE
Tests 10 / 1

Sample ID 08796
 $v = 400 \text{ m/min}$

08:28
 $t = 1 \text{ min}$

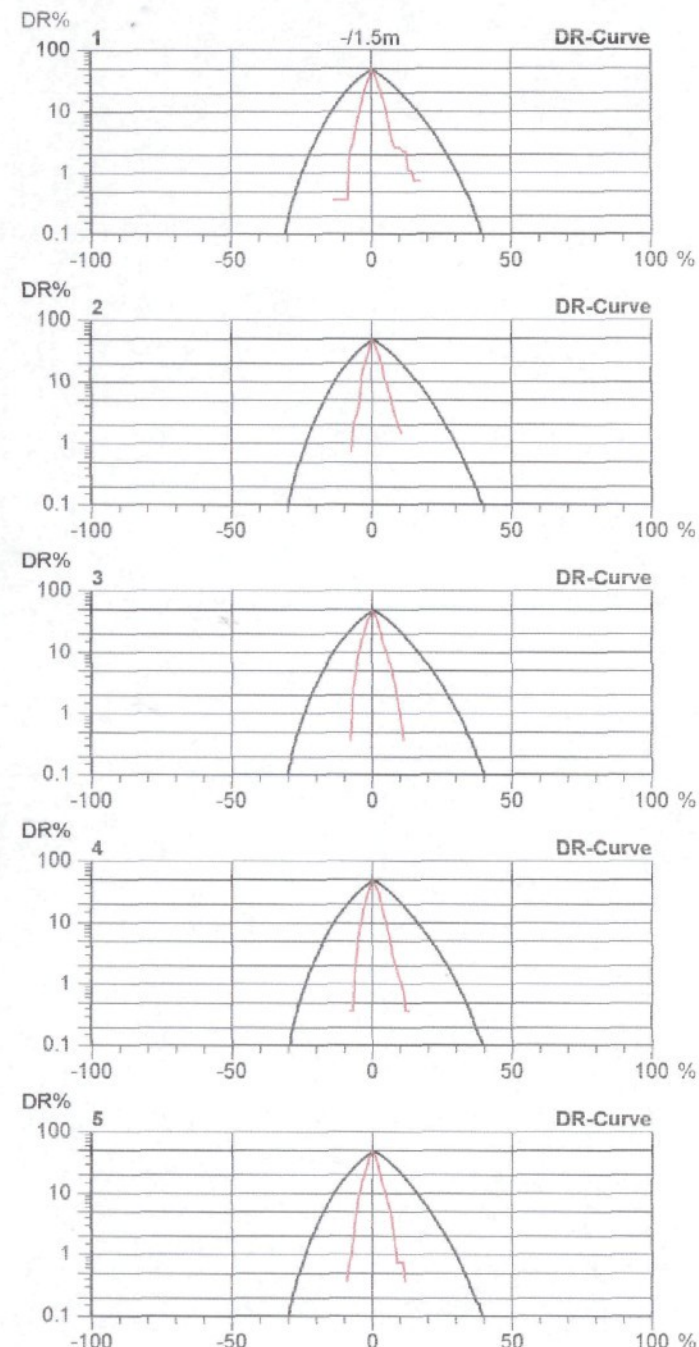
Nom. count
Meas. slot

Nm 34
3

Nom. twist
Short staple

0 T/m

KTC 34 SP



USTER TESTER 4 - SX R 1.8.0*
Kuempers Textil s.r.o. Plavy

Mon 19.01.09 08:28

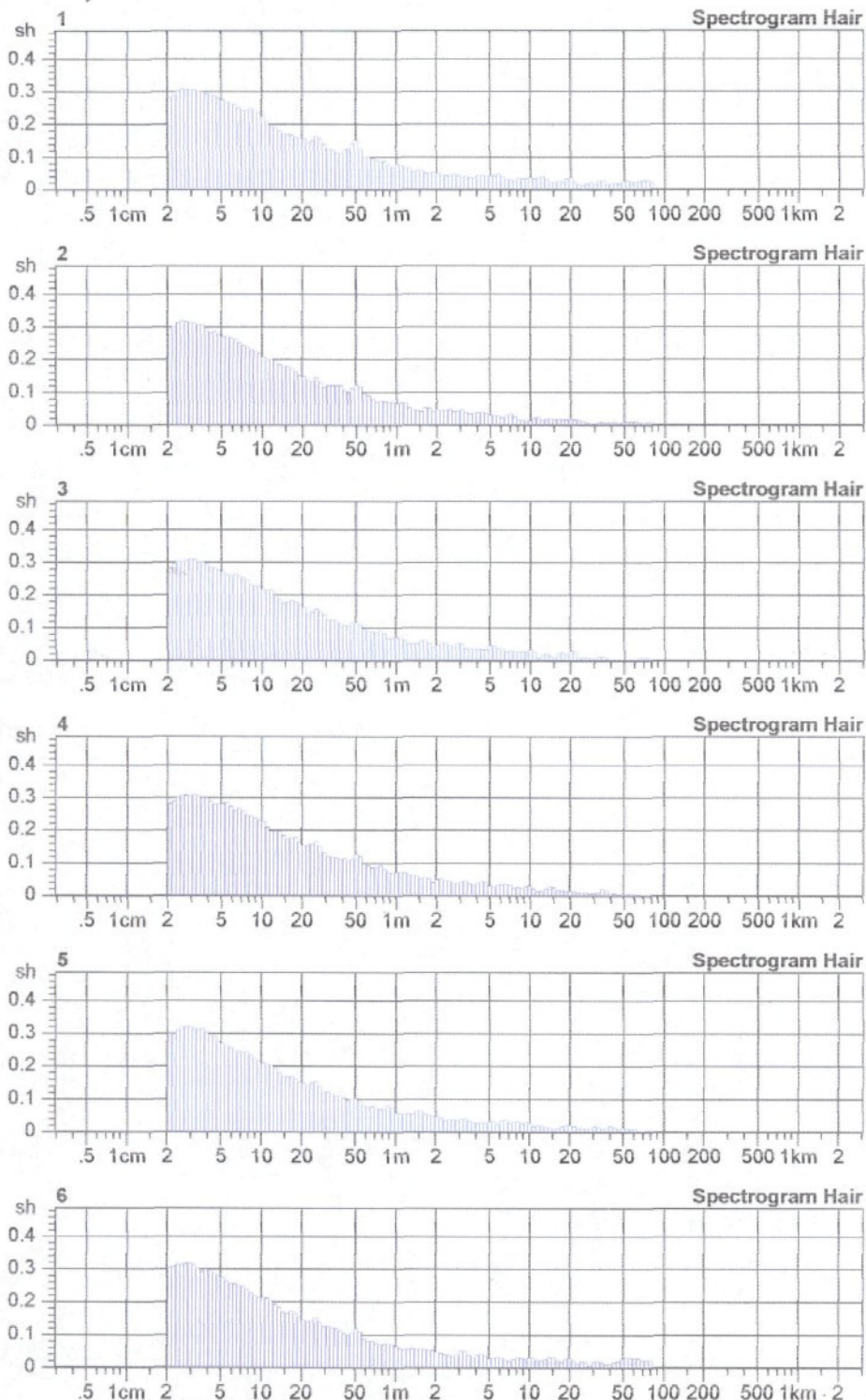
Operator

Kolarova

Page 1

Style 100%PES-OE Sample ID 08796 Norm. count Nm 34 Nom. twist 0 T/m
Tests 10 / 1 v= 400 m/min t= 1 min Meas. slot 3 Short staple

Hairiness Spectrogram



USTER TESTER 4 - SX R 1.8.0* Mon 19.01.09 08:28 Operator Kolarova Page 2
Kuempers Textil s.r.o. Plavy

Style 100%PES-OE Sample ID 08796 Nom. count Nm 34 Nom. twist 0 T/m
Tests 10 / 1 v= 400 m/min t= 1 min Meas. slot 3 Short staple

Hairiness Spectrogram

